

# Ελληνική Ιατρική

Τόμος 70 • Τεύχος 1  
Ιανουάριος – Μάρτιος 2004

## Περιεχόμενα

<i>Ενημερωτικά άρθρα</i>	5	<b>Ενδοσυντάριοι μικροοργανισμοί και ανοσιακή απάντηση</b> <i>E. Διζα-Ματαντσή</i>
	17	<b>Νόσος Lyme</b> <i>A. Κανσονζίδου-Κανακούδη</i>
	30	<b>Οίδημα ανθεκτικό στη διουρητική αγωγή: Αιτίες και αντιμετώπιση</b> <i>K. Μανδραματίδης</i>
	36	<b>Επιδράσεις της φαρμακευτικής αγωγής στην επικοινωνία και την κατάποση: Μια πρόταση για γλωσσοπαθολογική φαρμακολογία</b> <i>X. Πρώτου, N. Αρτέμης</i>
<i>Ερευνητικές εργασίες</i>	43	<b>Απομόνωση στελεχών <i>Escherichia coli</i> 0157 : H7 από τρόφιμα ζωικής προέλευσης και παραγωγικά ζώα</b> <i>A. Ντόντορου, X. Παπαδοπούλου, Γ. Φιλιούσης, E. Οικονόμου, I. Αποστόλου, Γ. Ζάκας, A. Σαλαμούρα, A. Κανσονζίδου, S. Λεβειδιώτου</i>
	50	<b>Επιπτώσεις στο αναπνευστικό σύστημα από την επεξεργασία ξηρών φύλλων</b> <i>Δ. Χλωρός, Λ. Σιχλετίδης, Γ. Κυριαζής, E. Βλαχογιάννη, I. Τσιότσιος, M. Κάκουρα</i>
	59	<b>Επίπεδα ρεζιστίνης στον ορό γυναικών με το σύνδρομο των πολυκυστικών ωοθηκών</b> <i>Δ. Πανίδης, Γ. Κολιάκος, A. Κούρτης, Δ. Φαρμακιώτης, T. Μούσλεχ, Δ. Ρούσσος</i>
	66	<b>Τραχειοστομία σε βαρέως πάσχοντες ασθενείς. Σύγκριση χειρουργικής και διαδεομικής τεχνικής</b> <i>I. Κεσίσογλου, N. Δεληγιαννίδης, Δ. Αποστολίδης, E. Βόλακη, X. Σκονόρτης, O. Γαμβρός</i>
<i>Ενδιαφέρονσες περιπτώσεις</i>	73	<b>Σπονδυλοδισκίτιδα και παρασπονδυλικό απόστημα από βρουκέλλα.</b> <b>Περιγραφή τριών περιπτώσεων</b> <i>P. Νικολαΐδης, S. Μεταλλίδης, P. Κολλάρας, A. Σοφός, A. Δρεβελέγκας, A. Τσώνα, E. Κουμεντάκη, A. Τουρκαντώνης</i>
<i>Άρθρα συντάξεως</i>	80	<b>Οι συνέπειες του καπνού από την καλλιέργεια, επεξεργασία... έως την κατανάλωση</b> <i>G. Ηλονίδης</i>
	83	<b>Αντιβιοτικοάντοχα βακτήρια και δημόσια υγεία</b> <i>P. Κοΐδης</i>

# Helleniki Iatriki

Volume 70 • No 1  
January – March 2004

---

## Contents

<i>Brief reviews</i>	5	<b>Intracellular microorganisms and immune response</b> <i>Diza-Mataftsi E.</i>
	17	<b>Lyme Borreliosis</b> <i>Kansouzidou-Kanakoudi A.</i>
	30	<b>Oedema refractory to the diuretic treatment. Causes and confrontation</b> <i>Mavromatidis K.</i>
	36	<b>Prug actions on communication and swallowing. A new “logopathological pharmacology”</b> <i>Proios H, Artemis N.</i>
<i>Investigative papers</i>	43	<b>Isolation of escherichia coli 0157:H7 in food of animal origin and in productive animals</b> <i>Dontorou A, Papadopoulou C, Filiosis G, Ekonomou V, Apostolou I, Zakas G, Salamoura A, Kansouzidou A, Levidiotou S.</i>
	50	<b>Effect on the respiratory system of the processing of dried tobacco leaves</b> <i>Chloros D, Sichletidis L, Kyriazis G, Vlachogianni E, Tsitsios I, Kakoura M.</i>
	59	<b>Serum resistin levels in women with polycystic ovary syndrome</b> <i>Panidis D, Koliakos G, Kourtis A, Farmakiotis D, Mouslech T, Roussos D.</i>
	66	<b>Tracheostomy in critically ill patients. Comparison between surgical and percutaneous technique</b> <i>Kesisoglou I, Deligiannidis N, Apostolidis D, Volakli E, Skourtis Ch, Gamvros O.</i>
<i>Cases report</i>	73	<b>Spondylitis and paravertebral abcess due to Brucella. Report of three cases</b> <i>Nikolaidis P, Metallidis S, Kollaras P, Sofos A, Drevelegas A, Tsona A, Koumentaki E, Tourkantonis A.</i>
<i>Editorials</i>	80	<b>Health consequence from cultivation, processing... use of tobacco products</b> <i>Illonidis G.</i>
	83	<b>Antibiotic resistant bacterial and public health</b> <i>Koidis P.</i>

## Ενδοκυττάριοι μικροοργανισμοί και ανοσιακή απάντηση

Ευδοξία Δίζα-Ματαυτσή

Α' Εργαστήριο Μικροβιολογίας, Ιατρικό Τμήμα ΑΠΘ, Θεσσαλονίκη

**Περιληφθ.** Οι ενδοκυττάριοι μικροοργανισμοί έχουν την ικανότητα να εισέρχονται στα κύτταρα του ξενιστή με ενδοκυττάρωση ή φαγοκυττάρωση, μέσω υποδοχέων, να επιζούν και να πολλαπλασιάζονται μέσα σε αυτά. Μικροοργανισμοί που ανήκουν στα βακτήρια, τους ιούς, τα πρωτόζωα και τους μύκητες μπορούν να παραμείνουν ενδοκυτταρίως δια βίου χωρίς κλινική συμπτωματολογία ή να οδηγήσουν σε χρόνια ενεργό λοίμωξη. Η άμυνα του ξενιστή βασίζεται κυρίως στους μηχανισμούς της κυτταρικής ανοσίας, τόσο κατά την ανάπτυξη της έμφυτης όσο και της επίκτητης ανοσίας. Στην ανασκόπηση αυτή τονίζεται ο σημαντικός ρόλος των κυττάρων του μονοπυρηνικού φαγοκυτταρικού συστήματος και των κυττάρων φυσικών φρονέων για την παρεμπόδιση του πολλαπλασιασμού και της διασποράς των ενδοκυτταρίων μικροοργανισμών στα αρχικά στάδια της λοίμωξης. Από τους μηχανισμούς της ειδικής ανοσίας περιγράφεται η σπουδαιότητα

των CD4-Th1 λεμφοκυττάρων για τον περιορισμό των μικροοργανισμών (μυκοβακτηριδίων, σαλμονελλών, βρουκελών, τοξοπλάσματος και άλλων), οι οποίοι επιζούν στα φαγοσωμάτια των μακροφάγων, καθώς και η σπουδαιότητα των κυτταρολυτικών/κυτταροτοξικών CTL λεμφοκυττάρων για την καταπολέμηση μικροοργανισμών (ιών, χλαμιδίων, ρικετσιών και άλλων), οι οποίοι ανευρίσκονται στο κυτταρόπλασμα των μολυσμένων κυττάρων. Αναφέρεται επίσης η δράση κυτταροκινών όπως της ιντερλευκίνης 12 και της ιντερφερόνης γ. Στη συνέχεια περιγράφονται οι μηχανισμοί με τους οποίους οι παθογόνοι μικροοργανισμοί διαφεύγουν την ανοσιακή απάντηση, με παρεμπόδιση της φαγολυσοσωματικής σύντηξης ή με παρεμπόδιση της παρουσίασης των αντιγόνων ή και με άλλους μηχανισμούς. Τονίζεται ακόμη η σημασία του σχεδιασμού νέων εμβολίων που θα διεγέρουν την κυτταρική ανοσία.

Ελλην Ιατρ 2004, 70: 5 - 16.

Ενδοκυττάριοι μικροοργανισμοί θεωρούνται αυτοί που έχουν την ικανότητα να εισέρχονται, να επιζούν και να πολλαπλασιάζονται μέσα σε κύτταρα του ξενιστή. Η ικανότητα αυτή καθορίζεται, κατά κύριο λόγο, από τη δυνατότητα του μικροοργανισμού να διαφεύγει ή να ανθίσταται στους μηχανισμούς της ανοσίας του ξενιστή. Η έκβαση δε της λοίμωξης εξαρτάται από τη δυναμική που αναπτύσσεται ανάμεσα στη στρατηγική του μικροοργανισμού και την ανοσιακή απάντηση, μια πολύπλοκη αλληλεπίδραση με ευαίσθητη ισορροπία.

### A. ΕΝΔΟΚΥΤΤΑΡΙΟΙ ΜΙΚΡΟΟΡΓΑΝΙΣΜΟΙ

Οι ενδοκυττάριοι μικροοργανισμοί οι οποίοι αναφέρονται στα κλασικά συγγράμματα<sup>1,2</sup> είναι: Όλοι

οι Ιοί, Βακτήρια, όπως τα μυκοβακτηρίδια της φυματίωσης και λέπρας, η λιστέρια η μονοκυτταρογόνος, η λεγιωνέλλα της πνευμονίας, είδη σαλμο-νελλών, είδη βρουκελών, οι ρικέτσιες, τα χλαμύδια, η μποροδέλια burgdorferi, Πλαράσιτα, όπως τα πλασμώδια, το τοξόπλασμα, είδη λεϊσμανιών, τα τρυπανοσώματα, Μόκητες, όπως είδη κάντιτα, ο κρυπτόκοκκος neoformans και το ιστόπλασμα.

Τελευταία, και άλλοι μικροοργανισμοί συμπεριλαμβάνονται μεταξύ των ενδοκυτταρίων ή μελετάται η ενδοκυτταρίος συμπεριφορά τους. Η *Porphyromonas gingivalis*, που ενοχοποιείται για περιοδοντίτιδες<sup>3</sup>, παραμένει σε κενοτόπια στα επιθηλιακά κύτταρα των παρειών του στόματος και στα ενδοθηλιακά της στεφανιαίας αρτηρίας,

στις αθηρωματώδεις πλάκες. Ο Σταφυλόκοκκος ο χρυσίζων, ένα εξωκυττάριο μικρόβιο εισέρχεται με ενδοκυττάρωση, μέσω υποδοχέων, και πολλαπλασιάζεται σε μη επαγγελματικά φαγοκύτταρα, όπως οι οστεοβλάστες. Ο φαινότυπος αυτός παραμένει μέσα στα κύτταρα υπό μορφή μικρών αποικιών και σχετίζεται με εμμένουσες και υποτροπιάζουσες λοιμώξεις<sup>4</sup>. Στελέχη του κολοβακτηριδίου επιζούν και πολλαπλασιάζονται σε κυτταροκαλλιέργειες, στη νόσο Crohn.

### Είσοδος των μικροοργανισμών στο κύτταρο

Ορισμένοι μικροοργανισμοί εισέρχονται στο κύτταρο-ξενιστή με **ενδοκυττάρωση** μέσω υποδοχέων<sup>5</sup>. Εγκολπώνονται με μηχανισμό εξαρτώμενο από την κλαθρίνη και μεταφέρονται στο κυτταροπλασμα, μέσα στα ενδοσωμάτια, πρώιμα και όψιμα. Μικροοργανισμοί και σωματίδια μεγαλύτερα από 0,5 μμ ενδοκυτταρώνονται με ιδιαίτερο μηχανισμό, ανεξάρτητο της κλαθρίνης και εξαρτώμενο από τον πολυμερισμό της ακτίνης, τη **φαγοκυττάρωση**. Μεταφέρονται στο κυτταροπλασμα μέσα σε ενδοκυττάρια κυστίδια, τα φαγοσωμάτια, τα οποία ωριμάζουν και συνενώνονται στη συνέχεια με τα λυσοσωμάτια (φαγολυσοσωματική σύντηξη). Οι μικροοργανισμοί καταστρέφονται με τη δράση των υδρολυτικών ενζύμων των λυσοσωμάτων και με τα δραστικά παράγωγα του οξυγόνου (ROI, Reactive Oxygen Intermediates) και του αζώτου (RNI, Reactive Nitrogen Intermediates)<sup>6,7</sup>, κατά την απανευστική έκρηξη.

Για τους περισσότερους ιούς που εισέρχονται με ενδοκυττάρωση έχει θεωρηθεί ότι πολλά συστατικά της επιφάνειας του κυττάρου δρούν ως υποδοχείς<sup>8</sup>. Ενδεικτικά αναφέρονται ορισμένοι ως πιθανοί υποδοχείς: **τα υπολείμματα σιαλικού οξείος** (ιοί γρίπης, Reo), **οι ιντεγρινές** (αδενοϊοί, Echo), **ο CR2** (EBV, Epstein-Barr virus), **CD4** (HIV-1, Human immunodeficient virus 1)<sup>9</sup>. Πολλοί επίσης είναι οι υποδοχείς της φαγοκυττάρωσης<sup>2,5,10,11</sup>. Οι υποδοχείς αυτοί, σε αντίθεση με αυτούς των ιών, δε βρίσκονται σε όλα τα κύτταρα, αλλά μόνο στα επαγγελματικά φαγοκύτταρα. Διακρίνονται σε: **1. Fc υποδοχείς** (FcγRI, FcγRIIA, FcγRIII) που φαγοκυτταρώνουν μικροοργανισμούς καλυμμένους με IgG1 και IgG3 (οφωνίνες). Η σύνδεση με Fc υποδοχείς είναι η πλέον ισχυρή σύνδεση και διεγείρει όλες τις φάσεις της φαγοκυττάρωσης, (αναγνώριση και δέσμευση του μικροοργανισμού, ενεργοποίηση του σχηματισμού φα-

γοσωματίου μέσω των G πρωτεΐνών της οικογένειας Rho και Rab<sup>12</sup>, σχηματισμός του φαγολυσοσωματίου και, τέλος, καταστροφή του μικροοργανισμού).

**2. Υποδοχείς μαννόζης.** Οι υποδοχείς αυτοί αναγνωρίζουν μόρια μαννόζης και φουκόζης που βρίσκονται στα γλυκολιπίδια και τις γλυκοπρωτεΐνες των μικροοργανισμών και όχι των κυττάρων του ξενιστή. Προκαλούν, όπως και οι Fc υποδοχείς, πλήρη φαγοκυττάρωση (λεκτινοφαγοκυττάρωση).

**3. Υποδοχείς συμπληρώματος και υποδοχείς μη ειδικών οφωνινών** (CD35 ή CR1, CD11b/CD18 ή MAC-1 ή CR3, CD11c/CD18 ή CR4). Οι υποδοχείς αυτοί αναγνωρίζουν μικροοργανισμούς καλυμμένους με κλάσματα του συμπληρώματος ή με άλλες μη ειδικές οφωνίνες (ινωδογόνο, φιμπρονεκτίνη, mannose binding lectin, C-reactive protein). Δεν ενεργοποιούν πλήρως τη φαγοκυττάρωση.

**4. Εκκαθαριστές (scavenger).** Μέσω των υποδοχέων αυτών οξειδωμένη LDL χοληστερίνη αλλά και μικροοργανισμοί, εισέρχονται στο κύτταρο.

Αναφορικά με τα παράσιτα δεν έχει εδραιωθεί ακόμη κατά πόσον οι μηχανισμοί που χρησιμοποιούν ομοιάζουν με αυτούς που περιγράφτηκαν για τους ιούς και τα βακτήρια. Ενδεικτικά μόνο αναφέρεται, ότι πρωτεΐνη που ομοιάζει με την κλαθρίνη συμμετέχει στην είσοδο του τοξοπλάσματος στο κύτταρο<sup>13</sup>.

Η φύση των διαφόρων υποδοχέων της ενδοκυττάρωσης και φαγοκυττάρωσης είναι αντικείμενο εκτεταμένης έρευνας, γιατί εάν επιτευχθεί θεραπευτική παρέμβαση πριν ο μικροοργανισμός εισέλθει στο κύτταρο, θα είναι πολύ αποτελεσματική<sup>9</sup>.

### Παθογένεια των νόσων που προκαλούν οι ενδοκυττάριοι μικροοργανισμοί

Οι βλάβες που προκαλούνται στον ξενιστή από τον πολλαπλασιασμό των ενδοκυτταρίων μικροοργανισμών οφείλονται: **1. Αμεσα, στην καταστροφή των κυττάρων στα οποία παρασιτούν.** Η λιστερολυσίνη της λιστέριας καταστρέφει κυτταρικές μεμβράνες, κυτταροτοξίνες της λεγιωνέλλας λύουν κύτταρα<sup>16</sup>, οι ρικέτσιες προκαλούν οξειδωτική καταστροφή των επιθηλιακών κυττάρων στα οποία παρασιτούν<sup>1</sup>, οι δε ιοί έχουν κυτταροπαθογόνο δράση προκαλώντας αναστολή της σύνθεσης των πρωτεΐνών του κυττάρου ξενιστή (ιοί polio, influenza, herpes simplex virus, λύσσας)<sup>8</sup>. **2. Έμμεσα, στην ανοσιακή απάντηση του ξενιστή.** Χαρακτηριστικό παράδειγμα είναι ο σχηματισμός κοκκιωμάτων<sup>5,7,14</sup>, στη φυματίωση και στη λέπρα. Στις

ιογενείς λοιμώξεις τα κυτταροτοξικά Τ λεμφοκύτταρα καταστρέφουν τα ηπατοκύτταρα (λοίμωξη από τον ιό της ηπατίτιδας Β), τις μήνιγγες (λοίμωξη από τον ιό της λεμφοκυτταρικής χοριομηνιγγίτιδας, LCHM)<sup>8</sup>.

## Έκβαση της λοιμώξης από ενδοκυττάριους μικροοργανισμούς

Η λοίμωξη μπορεί να είναι **οξεία ενεργός**, αλλά πολύ συχνά είναι **ασυμπτωματική**, καθώς έγκαιρα και αποτελεσματικά οι μικροοργανισμοί περιορίζονται από τους ανοσιακούς μηχανισμούς<sup>14</sup>. Η λοιμογόνος δύναμη και ο αριθμός των μικροοργανισμών, η πύλη εισόδου και η επαρκής ανοσιακή απάντηση, καθορίζουν την ευμενή αυτή εξέλιξη (ιογενείς λοιμώξεις, λοίμωξη από μυκοβακτηρίδια, *T. gondii*)<sup>5,15</sup>. Παρά όμως τον περιορισμό του μικροοργανισμού και της λοιμώξης, τις περισσότερες φορές δεν επιτυγχάνεται κάθαρση του ξενιστή και οι μικροοργανισμοί παραμένουν σε αυτόν δια βίου. Για το λόγο αυτό οι λοιμώξεις από ενδοκυτταρίους μικροοργανισμούς χαρακτηρίζονται από χρονιότητα, υπό την μορφή της **ενεργού ή λανθάνουσας ή υποτροπιάζουσας χρονίας λοιμώξης**<sup>7,14</sup>. Επίσης, για τον ίδιο λόγο, οι λοιμώξεις αυτές είναι συχνές στα ανοσοκατασταλμένα άτομα (ευκαιριακές λοιμώξεις).

## Β. ΑΝΟΣΙΑΚΗ ΑΠΑΝΤΗΣΗ ΣΤΟΥΣ ΕΝΔΟΚΥΤΤΑΡΙΟΥΣ ΜΙΚΡΟΟΡΓΑΝΙΣΜΟΥΣ

Οι ενδοκυττάριοι μικροοργανισμοί κατά την είσοδό τους στον ξενιστή και όσο βρίσκονται στον εξωκυττάριο χώρο ή στην κυκλοφορία του αίματος αντιμετωπίζονται, όπως και οι εξωκυττάριοι, με μηχανισμούς της χυμικής ανοσίας. Οι κύριοι όμως μηχανισμοί που συμβάλλουν στην αποτελεσματική αντιμετώπιση τους είναι οι μηχανισμοί της κυτταρικής ανοσίας, τόσο της έμφυτης όσο και της επίκτητης. Τα κύτταρα που παίζουν σημαντικό ρόλο είναι τα μονοπύρηνα φαγοκύτταρα (κύτταρα του μονοπυρηνικού φαγοκυτταρικού συστήματος), οι φυσικοί φονείς, τα CD4-Th1 λεμφοκύτταρα και τα δραστικά κυτταρολυτικά/κυτταροτοξικά Τ λεμφοκύτταρα (CTL, Cytolytic/Cytotoxic T Lymphocytes). Διερευνάται ο ρόλος των γδ Τ κυττάρων και των CD1 μορίων, ενώ μικρός είναι ο ρόλος των πολυμορφοπυρήνων. Σημαντικές στο συντονισμό της δράσης των κυττάρων που συμμετέχουν στην ανοσιακή απάντηση έναντι των ενδοκυτταρίων μικροοργανισμών είναι οι κυτταροκίνες, με σπου-

δαιότερες τις IL-12 και IFN-γ. Χυμοκίνες και μόρια προσοκόλλησης συμμετέχουν επίσης στην όλη αντίδραση<sup>18</sup>.

## Β1. Έμφυτη ή φυσική ανοσιακή απάντηση

Τα μονοπύρηνα φαγοκύτταρα και οι φυσικοί φονείς συνιστούν κατά κύριο λόγο την κυτταρική ανοσιακή απάντηση κατά τις πρώτες ώρες της εισόδου των ενδοκυτταρίων μικροοργανισμών. Τα μεν φαγοκύτταρα στρέφονται έναντι των βακτηρίων άλλα και των μυκήτων και ορισμένων πρωτοζώων, ενώ οι φυσικοί φονείς κυρίως έναντι των ιών και των πρωτοζώων, και λιγότερο έναντι των βακτηρίων. Λιγότερο σημαντικός είναι ωρός των ουδετεροφίλων πολυμορφοπυρήνων κυττάρων. Στην ανάπτυξη της έμφυτης ανοσιακής απάντησης και την ενεργοποίηση των κυττάρων συμμετέχουν κυρίως η IL-12 και η IFN-γ.

## Μονοπύρηνα φαγοκύτταρα

Οι ενδοκυττάριοι μικροοργανισμοί, πολύ γρήγορα μετά την είσοδό τους στο ξενιστή και για να αποφύγουν τους βλαπτικούς για αυτά μηχανισμούς στον εξωκυττάριο χώρο καταφεύγουν μέσα στα κύτταρα και μάλιστα μέσα στα μονοπύρηνα μακροφάγα (κύτταρα του μονοπυρηνικού φαγοκυτταρικού συστήματος). Αυτά προέρχονται από το μυελό των οστών και υφίστανται συνεχή διαφοροποίηση, αρχικά κυκλοφορούν στο αίμα, ως **μονοκύτταρα του αίματος** και στη συνέχεια εγκαθίστανται στους διάφορους ιστούς, ως **μακροφάγα των ιστών** (μικρογλοιακά κύτταρα, κύτταρα Kupffer, οστεοκλάστες κ.ά.). Οι ενδοκυττάριοι μικροοργανισμοί στην προσπάθειά τους να επιβιώσουν προσπαθούν να εισέλθουν στα μακροφάγα μέσω υποδοχέων που δε διεγείρουν πλήρως τη φαγοκυτταρωση. Έτσι το *M. tuberculosis* και οι λεισμάνιες χρησιμοποιούν κυρίως τους CR3 υποδοχές<sup>14,19</sup>. Τα μυκοβακτηρίδια επιτλέον συνδέονται με εστεροποιημένη χοληστερίνη της κυτταρικής μεμβράνης του μακροφάγου και η σύνδεση αυτή είναι απαραίτητη για τη φαγοκυτταρωση<sup>5</sup>. Παθογόνα και μη παθογόνα στελέχη λεγιωνέλλας χρησιμοποιούν διαφορετικούς τρόπους εισόδου στα μακροφάγα.

**Εγκατάσταση στα φαγοσώματα.** Μετά τη φαγοκυτταρωση τα μυκοβακτηρίδια, η λεγιωνέλλα, η βρουκέλλα, τα χλαμύδια, η σαλμονέλλα κ.α., εγκαθίστανται στα φαγοσωμάτια τα οποία και μετατρέπουν σε χώρους φιλικούς για την επιβίωσή τους.

Θεωρείται ότι η πιο σημαντική δράση αυτών είναι η **απορροπή της φαγολυσοσωματικής σύντηξης<sup>20</sup>**.

Έτσι αποφεύγουν τη βλαπτική επίδραση των δραστικών μορφών του οξυγόνου, του αζώτου και των λυσοσωματικών ενζύμων. Στα φαγοσωμάτια με ζωντανά μυκοβακτηρίδια έχουν βρεθεί δείκτες πρώτων (rab 5) και όχι όψιμων ενδοσωματίων (rab 7) και αυτό υποδηλώνει ότι τα μυκοβακτηρίδια εμποδίζουν την ωρίμαση των φαγοσωμάτων<sup>21</sup>. Στα φαγοσωμάτια με ζωντανά μυκοβακτηρίδια βρέθηκαν επίσης μόρια της πρωτεΐνης TACO (Tryptophane asparate containing coat protein), που δεν υπάρχουν στα φαγοσωμάτια με νεκρά μικρόβια, ούτε στα φαγοσωμάτια μη μολυσμένων μακροφάγων<sup>22</sup>. Με βάση τις παρατηρήσεις αυτές η πρωτεΐνη TACO έχει συσχετιστεί με τη μη ωρίμαση των φαγοσωμάτων. Η μελέτη επίσης των φαγοσωμάτων που περιέχουν ζωντανές βρουκέλλες έδειξε ότι η απόσταση των τοιχωμάτων μεταξύ τους είναι πολύ μικρή και διαφέρουν από τα αντίστοιχα που περικλείουν νεκρές βρουκέλλες<sup>23</sup>. Οι λεϊσμάνιες επίσης μέσα στο παρασιτοφόρο κενοτόπιο μετατρέπονται από την προμαστιγωτή σε αμαστιγωτή μορφή, που είναι ανθεκτική στις δυσμενείς συνθήκες. Με βάση τη γνώση αυτή χρησιμοποιήθηκε στη θεραπευτική η αμφοτεροκίνητη B συνδεδεμένη με λιποσωμάτια, τα οποία έχουν την ικανότητα να στοχεύουν στα όψιμα ενδοσωμάτια. Η θεραπευτική αυτή στρατηγική εφαρμόζεται σήμερα πολύ στις αναπτυσσόμενες χώρες<sup>19</sup>. Επιπλέον, η λεϊσμάνια donovani αναστέλλει τη σύντηξη του παρασιτοφόρου κενοτοπίου με τα λυσοσωμάτια.

Εκτός από την αναστολή της φαγολυσοσωματικής σύντηξης οι μικροοργανισμοί επιβιώνουν στο κύτταρο αναπτύσσοντας μηχανισμούς **αντίστασης στη βλαπτική επίδραση των δραστικών παραγώγων του οξυγόνου και του αζώτου<sup>7,16,24</sup>** και στην **αύξηση της οξύτητας μέσα στο φαγοσωμάτιο<sup>16</sup>**, ενώ άλλοι μικροοργανισμοί, όπως η λιστερία και το Trypanosoma cruzi έχουν την ικανότητα να διαφεύγουν στο κυτταροπλασμα<sup>1</sup>. Οι ενδείξεις για τη σημασία της βλαπτικής δράσης του μονοξειδίου του αζώτου (NO, nitrogen oxides) καθημερινά αυξάνουν<sup>7,14</sup>, και όχι μόνο στις λοιμώξεις από βακτήρια. Το NO φαίνεται ότι συμβάλλει στη διάσπαση του DNA και πρωτεϊνών και στην απόπτωση των μολυσμένων με μυκοβακτηρίδια μακροφάγων. Ενδιαφέρον παρουσιάζει ο ρόλος του NO στη λοιμώξη από τον MCMV (murine cytomegalovirus)<sup>28</sup>. Κατά την οξεία φάση της λοιμώξης σε πειραματόζωο από τον ίο αυτόν το NO παίζει προστατευτικό

ρόλο, ενώ αργότερα συμβάλλει ως παθογενετικός παράγοντας στην ανάπτυξη πνευμονίτιδας.

Γενικά, στις ιογενείς λοιμώξεις οι ιοί επιβιώνουν μέσα στα φαγοκύτταρα και μάλιστα μεταφέρονται μέσω αυτών και διασπέρζονται στον οργανισμό.

Η μοριακή βάση των μηχανισμών με τους οποίους οι ενδοκυττάροι μικροοργανισμοί κατορθώνουν να απορροφήσουν τη φαγοκυττάρωση και να επιβιώνουν είναι άγνωστη παρά την εκτεταμένη έρευνα<sup>7,16</sup>. Σε μελέτες σχετικά με την αντίσταση των μικροοργανισμών μέσα στα φαγοσωμάτια σε γονιδιακό επίπεδο, βρέθηκε το **γονίδιο Eis** που σχετίζεται με την επιβίωση του *M. tuberculosis*<sup>25</sup>, τα **γονίδια sodA, sodC και katG** που σχετίζονται με την αντίσταση του ίδιου μικροβίου στις δραστικές ριζες του οξυγόνου<sup>26</sup>, και το **γονίδιο ahpC** που ενδεχομένως σχετίζεται με αντίσταση αυτού στα δραστικά παράγωγα του οξυγόνου και του αζώτου<sup>24</sup>. Επειδή η σημασία των RNI για την καταστροφή των ενδοκυττάρων μικροοργανισμών είναι σημαντική, ερευνάται εντατικά η ύπαρξη γονιδίων ενζύμων, μέσω των οποίων οι μικροοργανισμοί ανθίστανται στην επίδραση των RNI. Σε άλλες γονιδιακές μελέτες η επιβίωση της λεγιωνέλλας συσχετίσθηκε, εκτός από την παραγωγή κυτταροτοξινών και ενζύμων, και με την ύπαρξη γονιδίων που υποθίζουν την ενδοκυττάρια κίνηση του μικροβίου. Με την ανάπτυξη δε της τεχνολογίας IVET (*in vivo technology*)<sup>27</sup> γίνεται προσπάθεια για μελέτη **γονιδίων in vivo**, δηλαδή για ανεύρεση γονιδίων που εκφράζονται κατά τη λοιμώξη, κάτω από την πίεση των αμυντικών μηχανισμών.

### Κύτταρα φυσικοί φονείς

Τα κύτταρα φυσικοί φονείς είναι δραστικά λευφοκύτταρα που λύουν κύτταρα μολυσμένα με τους ενδοκυττάρους μικροοργανισμούς και παράγουν IFN-γ. Είναι σημαντικοί κατά την αρχική φάση των ιογενών κυρίως λοιμώξεων, περιορίζοντας τον πολλαπλασιασμό και τη διασπορά του ιού.

Τα μολυσμένα με τους ενδοκυττάρους μικροοργανισμούς κύτταρα, που έχουν στην επιφάνειά τους αντισώματα έναντι του μικροοργανισμού αναγνωρίζονται από τα κύτταρα φυσικοί φονείς, μέσω του υποδοχέα FcγRIIIa. Όταν δεν υπάρχουν αντισώματα, πιθανολογείται ότι η αναγνώριση γίνεται με τον ακόλουθο μηχανισμό<sup>2</sup>: οι φυσικοί φονείς όταν έρχονται σε επαφή με μη μολυσμένο κύτταρο, αναγνωρίζουν στην επιφάνειά του μόρια

MHC-τάξης I (major histocompatibility complex class-I) μέσω αναστατικών υποδοχέων (KIRs, Killer Inhibitory Receptors) και δεν ενεργοποιούνται. Στα μολυσμένα όμως με ιό κύτταρα παρατηρείται μείωση της σύνθεσης των μορίων MHC- τάξης I, η τροποποίηση αυτών. Στην περίπτωση αυτή τα κύτταρα φυσικοί φονείς δεν αναγνωρίζουν μόρια MHC- τάξης I και έτσι ενεργοποιούνται και λύουν τα κύτταρα. Καταστρέφουν δε τα μολυσμένα κύτταρα με τους ίδιους μηχανισμούς που χρησιμοποιούν τα CTL κύτταρα.

### **Πολυμορφοπύρηνα φαγοκύτταρα**

Ο ρόλος των πολυμορφοπυρήνων φαγοκυττάρων, παρ' όλο ότι λίγο έχει μελετηθεί, φαίνεται ότι είναι μικρός. Ορισμένοι μικροοργανισμοί επιβιώνουν στα κύτταρα αυτά αλλά, λόγω της σύντομης ζωής των κυττάρων, γρήγορα απελευθερώνονται. Στη λοιμωξη από τοξόπλαστα φαίνεται ότι τα πολυμορφοπύρηνα είναι απαραίτητα για την άμυνα κατά τις πρώτες ώρες της λοιμωξης<sup>29</sup>. Οι λεϊσμάνιες φαγοκυτταρώνονται από πολυμορφοπύρηνα και οι περισσότερες φονεύονται. Ορισμένες όμως μπορούν να επιζήσουν τουλάχιστον επί μία ημέρα. Έτσι συμπεραίνεται ότι η επιβίωση στα πολυμορφοπύρηνα είναι σημαντική, τουλάχιστον κατά τις πρώτες ώρες, στην αρχή της λοιμωξης<sup>30</sup>.

### **Ιντερλευκίνη-12 (IL-12), Ιντερφερόνη-γ (IFN-γ)**

Σύμφωνα με τις μελέτες των τελευταίων ετών η κυτταροκίνη IL-12 έχει αναδειχτεί ως η προεξάρχουσα κυτταροκίνη για την εκκίνηση της έμφυτης ανοσίας, έναντι των ενδοκυτταρών παθογόνων και την ανάπτυξη της κυτταρικής ανοσίας<sup>31,32</sup>. Παραγέται από τα μονοπύρηνα μικροφάγα και δενδριτικά κύτταρα, μόλις αυτά διεγερθούν από λιποπολυσακχαρίτη (LPS, lipopolysaccharide) ή φαγοκυτταρώσουν μυκοβακτηρίδια ή άλλους ενδοκυτταρίους μικροοργανισμούς<sup>19</sup> ή ιούς. Σε πειράματα μάλιστα *in vivo* βρέθηκε ότι κατά την ασυμπτωματική λοιμωξη με *T. gondii*, στα πολύ αρχικά στάδια, παραγέται IL-12 από τα μολυσμένα δενδριτικά κύτταρα και αργότερα από τα μονοπύρηνα μικροφάγα<sup>33</sup> και ότι λοιμογόνα στελέχη της λεγιωνέλλας της πνευμονίας, σε αντίθεση με μη λοιμογόνα, προκαλούν αναστολή της σύνθεσης IL-12 από τα μολυσμένα μικροφάγα<sup>34</sup>.

Στη συνέχεια η IL-12 δρά στα κύτταρα φυσικούς φονείς για παραγωγή IFN-γ, που επαυξάνει περαιτέρω την παραγωγή της IL-12 από τα μα-

κροφάγα. Επιπλέον, κατά την ανάπτυξη της ειδικής ανοσίας η IL-12 διεγείρει τα T λεμφοκύτταρα για την παραγωγή IFN-γ. Έτσι η IL-12 όχι μόνον κινητοποιεί την ανοσιακή απάντηση στα αρχικά στάδια, αλλά συντηρεί αυτήν και αργότερα<sup>33</sup>.

Η IFN-γ (interferon-γ) παράγεται από τα κύτταρα φυσικούς φονείς με την επίδραση της IL-12<sup>19</sup>, δρά στα μικροφάγα και θεωρείται ο καλύτερος ενεργοποιητής των κυττάρων αυτών<sup>1,2</sup>. Μέσω των αντιγραφικών παραγόντων STAT-1 (Signal transducer and Activator of Transcription-1) και IRF-1(Interferon-Regulatory Factor-1) διεγείρει την έκφραση πολλών γονιδίων με αποτέλεσμα την καταστροφή των μικροοργανισμών στο μεγαλύτερο βαθμό.

Λιγότερο διευκρινισμένος είναι ο ρόλος του TNF (Tumor Necrosis Factor), παρ' ότι, σε ορισμένες περιπτώσεις έχει την ίδια δράση με την IFN-γ. Φαίνεται όμως ότι η κυτταροκίνη αυτή είναι σημαντική στην άμυνα του ξενιστή και ήδη έχουν αναφερθεί περιπτώσεις ασθενών με ρευματοειδή αρθρότιδα, που παρουσίασαν ενεργό φυματίωση<sup>35</sup> μετά τη χορήγηση αντι-TNF αντισωμάτων για θεραπευτικούς σκοπούς.

Οι μηχανισμοί της φυσικής ανοσίας, όπως προαναφέρθηκε, είναι πολύ σημαντικοί στην αρχή της λοιμωξης, δεν είναι όμως επαρκείς για την πλήρη καταπολέμηση του εισβολέα. Για το λόγο αυτό απατούνται και οι μηχανισμοί της επίκτητης ανοσίας.

### **B2. Επίκτητη ή ειδική ανοσιακή απάντηση**

Η επίκτητη ανοσιακή απάντηση του ξενιστή στους ενδοκυττάρους μικροοργανισμούς στηρίζεται στους δύο βασικούς μηχανισμούς της κυτταρικής ανοσίας, τη δράση των CD4-Th1 λεμφοκυττάρων και τη δράση των κυτταρολυτικών/κυτταροτοξικών (CTL) λεμφοκυττάρων. Μικροοργανισμοί που επιζούν στα φαγοσωμάτια, όπως τα μυκοβακτηρίδια, οι σαλμονέλλες, η λεγιωνέλλα, τα τρυπανοσώματα, το τοξόπλαστα, ο κρυπτόκοκκος και το ιστόπλαστα αντιμετωπίζονται κυρίως με τη δράση των CD4-Th1 κυττάρων, ενώ οι ιοί, τα χλαμύδια, οι ρικέτσιες, η λιστέρια και ορισμένα πρωτόζωα, μικροοργανισμοί δηλαδή που καταφεύγουν στο κυτταροπλαστικό αντιμετωπίζονται κυρίως με τη δράση των κυτταρολυτικών/κυτταροτοξικών λεμφοκυττάρων.

### **CD4-Th1 λεμφοκύτταρα**

Στα αρχικά στάδια της λοιμωξης, κατά τη φαγοκυττάρωση των ενδοκυτταρών μικροοργανισμών

που εντοπίζονται στα φαγοσωμάτια (π.χ. μυκοβακτηρίδια), προκύπτουν αντιγονικά πεπτίδια που ενώνονται στο φαγόσωμα με μόρια MHC-τάξης II, φέρονται στην επιφάνεια του μακροφάγου ή άλλων αντιγονοπαρουσιαστικών κυττάρων και **ενεργοποιούν τα ειδικά για το αντιγόνο CD4-T κύτταρα**. Άλλα και αντιγόνα μικροοργανισμών που εντοπίζονται στο κυτταρόπλασμα, όπως αυτά των ιών, μπορούν να παρουσιαστούν με μόρια τάξης II, με τη διαμεσολάβηση μηχανισμού αυτοφαγίας ή και άλλων μηχανισμών. Έτσι αρχίζει η ειδική ανοσιακή απάντηση του ξενιστή.

Η ευμενέστερη για τον ξενιστή εξέλιξη μετά την ενεργοποίηση των CD4-T κυττάρων είναι η **διαφοροποίηση αυτών προς το φαινότυπο Th1**.

Καθοριστικός παράγοντας για τη διαφοροποίηση προς CD4-Th1 κύτταρα είναι η έκκριση της IL-12 κατά την ανάπτυξη της έμφυτης ανοσίας<sup>14,32</sup>. Η IL-12 δρα στα ενεργοποιημένα από το αντιγόνο βοηθητικά T λεμφοκύτταρα (CD4-Th) και μέσω του συστήματος STAT-4 διαφοροποιεί αυτά σε Th1 φαινότυπο, ο οποίος χαρακτηρίζεται από την έκκριση της IFN-γ, άλλα και των TNF και IL-2<sup>1</sup>. Τα ενεργοποιημένα και διαφοροποιημένα CD4-Th1 κύτταρα επανερχόμενα στην περιοχή της φλεγμονής, αναγνωρίζουν τα μακροφάγα, στα οποία οι ενδοκυττάριοι μικροοργανισμοί εξακολουθούν να πολλαπλασιάζονται και προκαλούν ισχυρή ενεργοποίηση αυτών μέσω της IFN-γ<sup>7</sup>. Με την ενεργοποίηση των μακροφάγων αυξάνεται κατά πολύ η φαγολυσοσωματική σύντηξη, η αναπνευστική έκκρηξη και η παραγωγή NO, καθώς και η δράση των λυσοσωματικών ενζύμων. Έτσι το μακροφάγο καθίσταται περισσότερο δραστικό στους μικροοργανισμούς που παρασιτούν<sup>14</sup>. Μεγιστοποιείται επίσης η ανοσιακή απάντηση, καθώς στην επιφάνεια του ενεργοποιημένου μακροφάγου εκφράζονται σε μεγάλο βαθμό μόρια MCH-τάξης I και II και συνδιεγερτικά μόρια B7, οπότε και μεγιστοποιείται η ενεργοποίηση των T κυττάρων<sup>36</sup>.

Επιπλέον, τα CD4-Th1 κύτταρα, μέσω της IFN-γ, διεγείρουν την **παραγωγή IgG1 και IgG3 αντισωμάτων**, που δρουν ως οιφωνίνες και διευκολύνουν τη φαγοκυττάρωση των ενδοκυττάριων. Επιπλέον, σε συνεργασία με την IL-2, διεγείρουν τον **πολλαπλασιασμό και διαφοροποίηση των CD8 CTL κυττάρων** (κυτταρολυτικών/κυτταροξικών T λεμφοκυττάρων), σημαντικών στην αντιμετώπιση των λοιμώξεων από ενδοκυττάριους μικροοργανισμούς.

Η μεγάλη σημασία της IFN-γ και IL-12 για την κυτταροεξαρτώμενη ανοσία έναντι των ενδοκυττάριων μικροοργανισμών έχει καταδειχτεί με πολλούς τρόπους. Σημαντικά είναι τα πειράματα σε λευκούς μύσ γενετικώς τροποποιημένους (knockout mice) με ανεπάρκεια της IFN ή της IL-12. Μετά από λοιμωξη με M. tuberculosis οι μύες αυτοί καταλήγουν στο θάνατο, σε αντίθεση με μη τροποποιημένους μύσ που αντιμετωπίζουν ικανοποιητικά τη λοιμωξη<sup>37</sup>.

Τα ενεργοποιημένα μακροφάγα παράγουν και άλλες κυτταροκίνες όπως **IL-1, TNF-β και IL-12<sup>1,2</sup>**. Ο TNF-β, μεταξύ άλλων δράσεων, καταστρέφει και μακροφάγα που έχουν χάσει την ικανότητα να ενεργοποιούνται και έχουν χάσει την ικανότητα να καταστρέψουν τα ενδοκυττάρια. Με την καταστροφή τους από τον TNF απελευθερώνονται από αυτά οι μικροοργανισμοί, που στη συνέχεια φαγοκυττάρωνται από άλλα περισσότερο δραστικά φαγοκύτταρα και έτσι αυξάνουν οι πιθανότητες να καταστραφούν. Παράγονται επίσης **IL-3, MG-CSF, χημειοτακτικοί παράγοντες και μόρια προσκόλλησης** με σκοπό την παραγωγή, διαφοροποίηση και προσέλκυση στην περιοχή της φλεγμονής περισσότερων φαγοκυττάρων.

**Φαινότυπος Th2.** Στις περισσότερες ενδοκυττάριες λοιμώξεις από μικροοργανισμούς που επιβιώνουν στα φαγοσωμάτια, η Th1 απάντηση είναι η επικρατούσα<sup>14,19,32</sup>. Για άγνωστους λόγους, σε ορισμένες περιπτώσεις, κατά την ενδοκυττάρια λοιμωξη δεν αναπτύσσεται η Th1 αλλά η Th2 αντίδραση ή και ενδιάμεσες καταστάσεις. Τυπικό παράδειγμα είναι η λέπρα, που μπορεί να εκδηλώθει με τη φυματιώδη ή τη λεπροματώδη μορφή. Στη φυματιώδη μορφή επικρατεί η Th1 αντίδραση και η νόσος, με τη δράση των ενεργοποιημένων μακροφάγων και το σχηματισμό κοκκιωμάτων περιορίζεται. Αντίθετα στη λεπροματώδη μορφή επικρατεί η Th2 αντίδραση με την παραγωγή των IL-4, IL-5 και IL-10<sup>38</sup>. Παράγονται πολλά αντισώματα αλλά τα μυκοβακτηρίδια εξακολουθούν να πολλαπλασιάζονται μέσα στα μακροφάγα και η λοιμωξη γενικεύεται. Η σημασία της προστατευτικής Th1 αντίδρασης φαίνεται και στη λοιμωξη λευκών μυών με το πρωτόζωο Λεϊσμάνια major<sup>39</sup>. Στελέχη λευκών μυών που είναι αινθεκτικά στη λοιμωξη, αναπτύσσουν Th1 αντίδραση με μεγάλη παραγωγή IFN-γ, ενώ ευαίσθητα στελέχη μυών αναπτύσσουν την Th2 αντίδραση και πεθαίνουν. Εάν κατά τη μόλυνση με το παρασίτο ενεθεί και IL-12, οπότε και θα αναπτυχθεί Th1 αντίδραση, οι μύες

επιβιώνουν. Στο πείραμα αυτό καταφαίνεται η σημαντική δράση της IL-12 για τη διαφοροποίηση σε CD4-Th1. Η παρατήρηση ότι μετά από ιογενείς λοιμώξεις οι κρίσεις αλλεργικού άσθματος είναι συχνότερες, οδήγησε στην υπόθεση ότι αυτό οφείλεται στη στροφή προς την Th2 αντίδραση από τις κυτταροκίνες που παράγονται κατά την ιογενή λοιμωξη<sup>40</sup>.

**Ανάπτυξη από τους ενδοκυττάριους μικροοργανισμούς αμυντικών μηχανισμών σε απάντηση της ενεργοποίησης των CD4-Th1 κυττάρων και των μακροφάγων.** Οι ενδοκυττάριοι για να αποφύγουν την καταστροφική για αυτά δράση των CD4-Th1 κυττάρων και των ενεργοποιημένων μακροφάγων αναπτύσσουν διάφορους μηχανισμούς, με σπουδαιότερο τη μείωση ή πλήρη έλλειψη παρουσίασης των αντιγόνων τους, ώστε να διαφεύγουν την αναγνώρισή τους από τα T κύτταρα. Ενδεικτικά αναφέρεται ότι το Mycobacterium tuberculosis αναστέλλει την έκφραση των μορίων MHC-τάξης II σε μακροφάγα μυελού των οστών<sup>41</sup>. Η διαφορετική λοιμογόνος δύναμη των υποειδών paratuberculosis και avium του M. avium<sup>42</sup> σε πειράματα *in vitro*, συσχετίστηκε με την ικανότητα ή όχι να μειώνουν την έκφραση των MHC- τάξης II αλλά και τάξης I. Το τοξόπλασμα ελαττώνει την έκφραση των συνδιεγερτών κατά την παρουσίαση των αντιγονικών πεπτιδίων. Σε πρόσφατη μελέτη<sup>43</sup> βρέθηκε ότι το παρασιτο αυτό μειώνει τη γονιδιακή έκφραση των μορίων MHC-τάξης II, που επάγεται από την IFN-γ, με επίδραση στο μεταγραφικό παράγοντα STAT-1α. Άλλα και είδη λεύσμανιών αναστέλλουν την έκφραση των μορίων MHC-τάξης II<sup>19</sup>. Το M. tuberculosis προκαλεί επίσης ανοσοκαταστολή με την παραγωγή IL-10<sup>7</sup>.

**Χρόνια παραμονή των ενδοκυττάριων μικροοργανισμών στο ξενιστή.** Στις περισσότερες των περιπτώσεων αποτέλεσμα της δυναμικής που αναπτύσσεται μεταξύ της ισχυρής ανοσιακής απάντησης του ξενιστή, μέσω των CD4-Th1 και των μηχανισμών του μικροοργανισμού, είναι ο περιορισμός της λοιμωξης και η προστασία του ξενιστή από γενικευμένη λοιμωξη. Μάλιστα, πολύ συχνά, η λοιμωξη είναι ασυμπτωματική. Το χαρακτηριστικό όμως των ενδοκυτταριών λοιμώξεων είναι ότι παρά την αντιμετώπιση της λοιμωξης δεν επιτυγχάνεται, κατά το πλείστον, η κάθαρση του ξενιστή από το μικροοργανισμό<sup>7,14,43</sup> (φυματίωση, τοξοπλάσμωση) και η λοιμωξη μεταπίπτει σε χρόνια (λανθάνουσα στις περισσότερες περιπτώσεις, ενεργό ή υποτροπιαζουσα στις λιγότερες)<sup>14,31</sup>. Αποτέλεσμα

μπορεί να είναι ο σχηματισμός κοκκιωμάτων και η νέκρωση ιστών του ξενιστή<sup>5,7,14</sup>. Τα κοκκιώματα δημιουργούνται από τη συσσώρευση κυττάρων γύρω από τους μικροοργανισμούς, στην προσπάθεια του ξενιστή να τους περιχαρακώσει και να εμποδίσει τη διασπορά τους και τη γενίκευση της λοιμωξης. Τυπικό παραδειγμα της ανωτέρω διαδικασίας είναι ο σχηματισμός φυματίων στο πνευμονικό παρέγχυμα και η προστασία από γενικευμένη φυματίωση. Συγχρόνως όμως η απελευθέρωση δραστηριών ουσιών από τα φαγοκύτταρα προκαλεί και καταστροφή των κυττάρων του ξενιστή, που μπορεί να οδηγήσει σε λειτουργική ανεπάρκεια<sup>31</sup>. Η καταστροφή αυτή δεν είναι συνεχής γιατί τα μακροφάγα, για εξοικονόμηση ενέργειας, δεν είναι διαρκώς ενεργοποιημένα. Επιπλέον τα CD4-Th1 κύτταρα εκκρίνουν σε μικρές ποσότητες και IL-10, που έχει αναστατωτική δράση στα ενεργοποιημένα μακροφάγα και συμβάλλει στην ομοιόσταση<sup>44</sup>.

**Η ανάπτυξη ισορροπίας μεταξύ μικροοργανισμού και ξενιστή μπορεί να διατηρηθεί δια βίου.** Υπό την επιτήρηση δηλαδή του ανοσιακού συστήματος οι μικροοργανισμοί είναι περιορισμένοι και δεν πολλαπλασιάζονται, ή πολλαπλασιάζονται περιστασιακά, δεν εξολοθρεύονται όμως τελείως. Τυπικό παραδειγμα αποτελεί η φυματίωση που είναι σοβαρό πρόβλημα υγείας στις αναπτυσσόμενες χώρες του κόσμου, καθώς περίπου το ένα τρίτο του πληθυσμού των πλανήτη εκτιμάται ότι έχει μολυνθεί με το μυκοβακτηρίδιο και έχει λανθάνουσα λοιμωξη, ενώ περίπου 2 εκατομμύρια άνθρωποι πεθαίνουν ετησίως από τη νόσο<sup>7</sup>. Το μεγάλο όμως πρόβλημα είναι ότι στο 5-10% των ανοσοϊκανών ατόμων με χρόνια λανθάνουσα λοιμωξη η νόσος μπορεί να επανενεργοποιηθεί. Το ποσοστό αυτό είναι μεγαλύτερο στα ανοσοκατασταλμένα άτομα, όπως π.χ. στα άτομα με AIDS.

Η δια βίου παραμονή των μικροοργανισμών στον ξενιστή, με κίνδυνο αναζωπύρωσης της νόσου, καθιστά τις ενδοκυττάριες λοιμώξεις ένα σοβαρό πρόβλημα υγείας και για το λόγο αυτό οι ερευνητικές προσπάθειες για την αντιμετώπιση τους είναι εντατικές. Παρά όμως τις μεγάλες προόδους στην κατανόηση των ανοσιακών μηχανισμών, τα βασικά ερωτηματικά α. πώς ο ξενιστής ελέγχει την αρχική λοιμωξη και δεν εμφανίζεται ενεργός νόσος β. ποιοί παράγοντες οδηγούν στην εγκατάσταση λανθάνουσας λοιμωξης γ. πώς η λανθάνουσα λοιμωξη ελέγχεται και δεν επανενεργοποιείται δ. πώς ο μικροοργανισμός κατορθώνει να επιβιώσει κάτω από την ισχυρή επίδραση των

αμυντικών μηχανισμών, δεν έχουν απαντηθεί<sup>7,16,20</sup>. Το σπουδαιότερο που πρέπει να απαντηθεί και έχει σχέση με την ανάπτυξη εμβολίων είναι, πως το ανοσιακό σύστημα θα επιτύχει όχι μόνο να ελέγχει τη λοιμωξη, αλλά και να την περιορίζει.

### **Κυτταρολυτικά/Κυτταροτοξικά Τ λεμφοκύτταρα, CTL**

Τα CTL είναι στην πλειονότητα CD8 Τ λεμφοκύτταρα ενεργοποιημένα από αντιγόνα που παρουσιάζονται από MHC-I μόρια<sup>2</sup>. Τέτοια αντιγόνα προέρχονται από μικροοργανισμούς που βρίσκονται στο κυτταρόπλασμα, όπως οι ιοί. Πολύ σημαντική είναι η δράση των CD4-Th<sup>45,46</sup> κυττάρων, που υποβοηθούν την ενεργοποίηση των CTL με ένα δεύτερο ερέθισμα<sup>2</sup>. Τα CD8 CTL μπορούν να θανατώσουν όλα τα εμπύρηνα κύτταρα, καθώς όλα τα εμπύρηνα κύτταρα εκφράζουν μόρια MHC-τάξης I. Λίγα CTL κύτταρα έχουν CD4 μόρια, οπότε φονεύουν μόνο τα λίγα κύτταρα που εκφράζουν MHC-II.

Τα CTL κύτταρα συμβάλλουν στην αντιμετώπιση των ενδοκυτταρίων, **φονεύοντας κύτταρα μολυσμένα με ιούς ή άλλους μικροοργανισμούς, με βασικό μηχανισμό την κυτταρόλυση**<sup>2,46,47,48</sup>. Τα CTL αναγνωρίζονται τα μολυσμένα κύτταρα (κύτταρα στόχος) έρχονται σε πολύ στενή επαφή με αυτά. Στο σημείο επαφής, με επαναδιοργάνωση του κέντρου οργάνωσης των μικροσωληναρίων, συγκεντρώνονται πολλά κυτταροπλασματικά κοκκία του CTL, τα οποία απελευθερώνουν το περιεχόμενό τους στην επιφάνεια του κυττάρου στόχου. Τα κοκκία περιέχουν δύο πολύ σημαντικές για την κυτταρόλυση πρωτεΐνες, την **περφορίνη** και τα **κοκκιοένζυμα (granzymes)**. Η περφορίνη πολυμερίζεται και με μηχανισμό ανάλογο του συμπληρώματος δημιουργεί διαύλους στην κυτταροπλασματική μεμβράνη, με αποτέλεσμα διαταραχές

στην ανταλλαγή νερού και ηλεκτρολυτών, και θάνατο του κυττάρου, καθώς και είσοδο ποσοτήτων ασβεστίου στο κύτταρο, που μπορεί να οδηγήσουν σε απόπτωση. Τα κοκκιοένζυμα με σπουδαιότερο το κοκκιοένζυμο Β εισέρχονται στο κύτταρο στόχο μέσω των διαύλων της περφορίνης και, ενεργοποιώντας τα κυτταρικά ένζυμα κασπάσες, οδηγούν το κύτταρο σε απόπτωση. Τα CTL κύτταρα έχουν στην επιφάνειά τους το συνδέτη Fas (Fas ligand) και μέσω αυτού μπορούν, επίσης, να ενεργοποιούν την απόπτωση σε κύτταρα που έχουν Fas υποδοχέα<sup>49</sup>. Η **απόπτωση**, δηλαδή ο προγραμματισμένος θάνατος του κυττάρου, είναι πιο αποτελεσματική από τη νέκρωση του κυττάρου στην αντιμετώπιση των ενδοκυτταρίων, γιατί με την απόπτωση κατακερματίζεται όχι μόνο το DNA του κυττάρου αλλά και των μικροοργανισμών, και έτσι αυτοί καταστρέφονται άμεσα.

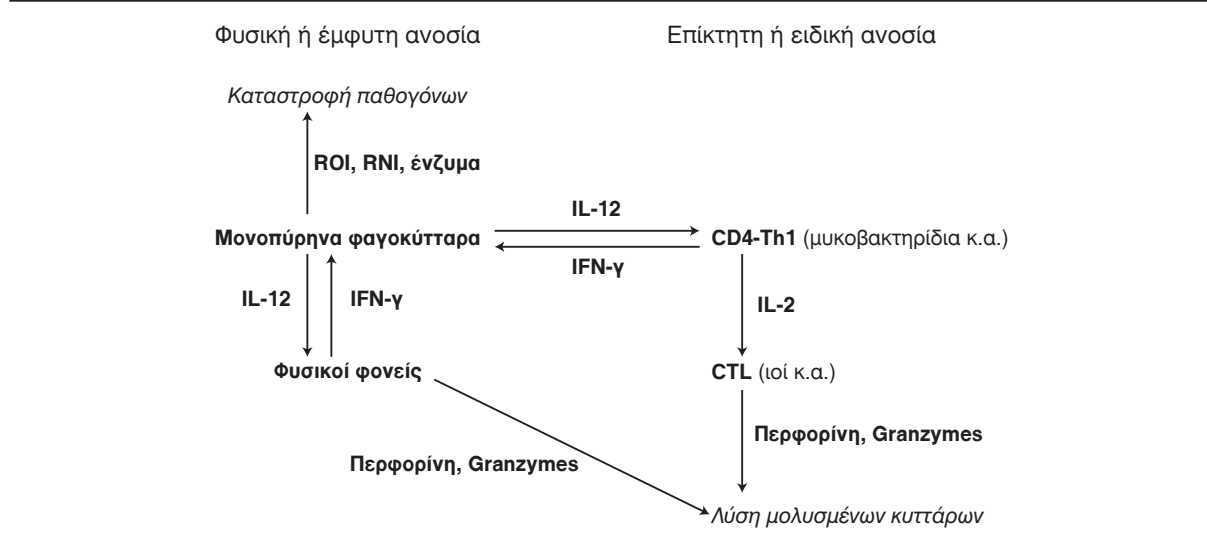
Γενικότερα η μελέτη της απόπτωσης έχει αρχίζει να φωτίζει νέες πτυχές στη δυναμική αλληλεπίδραση ανάμεσα στους ενδοκυττάρους μικροοργανισμούς και στον ξενιστή, και η ικανότητα των μικροοργανισμών να ρυθμίζουν την διαδικασία της απόπτωσης έχει αρχίσει να συγχετίζεται με εμμένουσες λοιμώξεις. Παραδειγμα της αναστολής της απόπτωσης από το χλαμύδιο τραχώματος έχει συσχετιστεί με την εμμένουσα φλεγμονή και τη δημιουργία των βλαβών του τραχώματος<sup>50</sup>. Πιθανολογείται ότι οι μικροοργανισμοί αναστέλλοντας την απόπτωση των κυττάρων του ξενιστή και επιμηκύνοντας τον χρόνο ζωής τους, διευκολύνουν τη διασπορά τους στα διάφορα δργανα του ξενιστή, γενικεύοντας έτσι τη λοιμωξη<sup>51</sup>.

Σημαντικός φαίνεται ότι είναι ο ρόλος των CTL λεμφοκυττάρων, ιδιαίτερα των CD8 κυττάρων μνήμης, και στην **παρεμπόδιση αναζωπύρωσης των ιογενών λοιμώξεων**<sup>52</sup>. Σε πρόσφατη μελέτη βρέθηκε ότι η προστατευτική δράση των CTL στην αναζωπύρωση λανθάνουσας λοιμωξης από

**Πίνακας 1.** Συμπεριφορά παθογόνων ανάλογα με τη θέση εγκατάστασής τους στο κύτταρο

Εγκατάσταση σε	Φαγοσωμάτια	Κυτταρόπλασμα
Είδη μικροοργανισμών	Μυκοβακτηρίδια, σαλμονέλλες λεγιωνέλλες, T.gondii, λεισμάνιες κ.ά.	Ιοί, χλαμύδια, ρικέτσιες λιστέριες, πρωτόζωα κ.α
Σύνδεση πεπτιδών με	MHC τάξη II	MHC τάξη I
Παρουσίαση σε	CD4 Τ κύτταρα	CD8 Τ κύτταρα
Αποτέλεσμα στο μολυσμένο κύτταρο	Ενεργοποίηση μακροφάγων Θανάτωση των παθογόνων (ROI, RNI, ένζυμα)	Λύση-θάνατος κυττάρου (περφορίνη, Granzymes)

Πίνακας 2. Κυτταρική ανοσιακή απάντηση στις λοιμώξεις από ενδοκυττάριους μικροοργανισμούς



τον ιό του απλού έρπητα οφείλεται, τουλάχιστον κατά ένα μέρος, στην IFN- $\gamma$ <sup>15</sup>.

**Καταστροφή ιστού από τη δράση των CTL κυττάρων.** Έχει παρατηρηθεί ότι σε ορισμένες περιπτώσεις προκαλείται βλάβη και στους υγιείς ιστούς από τα δραστικά CTL<sup>8</sup>. Έτσι στη λοιμωξη με τον ιό της λεμφοκυτταρικής χοριομηνιγίτιδας (LCMV) προκαλείται καταστροφή των κυττάρων των μηνίγγων, ενώ στην ηπατίτιδα B καταστρέφονται ηπατοκύτταρα.

Η κυτταρολυτική δράση των CTL είναι πρωταρχικής σημασίας στις ιογενείς λοιμώξεις. Αυτό καταδεικνύεται και από το γεγονός ότι πολλοί ιοί έχουν αναπτύξει μηχανισμούς αποφυγής της δράσης των CTL. Οι εργητοί οι καταφεύγουν στα νευρικά κύτταρα, που έχουν μικρή έκφραση μορίων MHC-τάξης I. Άλλα και τα πλασμώδια<sup>1</sup>, καταφεύγουν στα ερυθρά αιμοσφαίρια, κύτταρα που δεν εκφράζουν καθόλου μόρια MHC-τάξης I. Η παρεμπόδιση της παρουσίασης των μϊκών αντιγόνων με τα μόρια του MHC-I έχει ως αποτέλεσμα να μην αναγνωρίζονται από τα CTL. Σε διάφορους ιούς έχουν ανευρεθεί τουλάχιστον 50 γονίδια υπεύθυνα για τη μη παρουσίαση των μϊκών αντιγόνων, σε όλη τη διαδικασία επεξεργασίας του αντιγόνου μέσα στα αντιγονοπαρουσιαστικά κύτταρα (σύνδεση του πεπτίδιου με το MHC-I μόριο και μεταφορά του συμπλόκου στην επιφάνεια του κυττάρου<sup>1,2</sup>). Οι ιοί HCMV και EBV αναστέλλουν την πρωτεΐνολυτική δράση στο πρωτεΐνοσωμα. Οι εργητοί (HSV-1 και HSV-2) παραγουν την πρωτεΐνη ICP-47 που συναγωνίζεται τα μϊκά πεπτίδια στη σύνδεση με την πρωτεΐνη TAP. Οι παθογόνοι

αδενοϊοί προκαλούν αναστολή της μεταγραφής των μορίων MHC-τάξης I. Οι αδενοϊοί επίσης παράγουν την πρωτεΐνη E3 19kD που συναγωνίζεται τη σύνδεση των πεπτίδων με το μόριο I, μέσα στο ενδοπλασματικό δίκτυο. Ανάλογα δράση ο CMV με την πρωτεΐνη US3, ενώ ο ίδιος ιός με τις US2 και US11 μεταφέρει τα μόρια τάξης I εξω από το ενδοπλασματικό δίκτυο, στο κυτταροδόπλασμα<sup>53</sup>. Ο ανθρώπιος HIV, με τις πρωτεΐνες Vpu και Nef επίσης αναστέλλει την έκφραση των μορίων τάξης I στην επιφάνεια του κυττάρου<sup>54</sup>. Επιπλέον ορισμένοι ιοί αναστέλλουν την έκφραση και μορίων MHC-τάξης II (HCMV), γεγονός που επιβεβαιώνει τη σημασία και των CD4+ T λεμφοκυττάρων στην άμυνα εναντίον λοιμώξεων<sup>55</sup>.

Οι ιοί αποφεύγουν την ανοσιακή απάντηση και με άλλους πολλούς και ποικίλους τρόπους. Έτσι οι Poxviruses παράγουν πρωτεΐνες ομόλογες των υποδοχέων των κυτταροκινών IFN- $\gamma$ , TNF και IL-1, και έτσι αδρανοποιούν τη δράση τους. Οι EBV και CMV παράγουν πρωτεΐνες ομόλογες της κατασταλτικής IL-1<sup>56</sup>. Ο HIV-1 επιτλέον αποτρέπει την παρουσίαση των αντιγόνων από τα δενδριτικά κύτταρα και με τον τρόπο αυτό, ενδεχομένως, εγκαθίσταται η χρόνια λοιμώξη<sup>57</sup>.

**Τα CTL είναι σημαντικά και σε λοιμώξεις με μικροοργανισμούς που επιζούν στο φαγόσωμα, όπως το μυκοβακτηρίδιο<sup>7,14,47</sup>, το τοξόπλασμα<sup>43,58</sup> κ.ά., στις οποίες λοιμώξεις τον κύριο λόγο έχουν τα CD4-Th1 κύτταρα. Έτσι, στη φυματίωση τα CD8 δραστικά κύτταρα λύουν μολυσμένα με τα μυκοβακτηρίδια μακροφάγα. Τα μυκοβακτηρίδια που απελευθερώνονται φαγοκυτταρώνονται στη**

συνέχεια από άλλα πιο ενεργά φαγοκύτταρα, με αποτελεσματικότερη δράση<sup>14</sup>. Επιπλέον έχει αναγνωριστεί πρωτεΐνη των CTL, η κοκκιολυσίνη (granulysin), η οποία βρέθηκε ότι καταστρέφει άμεσα τα μυκοβακτηρίδια<sup>14,47</sup>. Άλλα και στην ελονοσία, τελευταίες μελέτες έδειξαν τη σπουδαιότητά των CTL<sup>2</sup>. Κατά το ηπατικό στάδιο της λοιμώξης φαίνεται ότι τα CTL καταστρέφουν άμεσα τα ηπατικά κύτταρα τα μιολυσμένα με σποροζωϊδια, ή έμμεσα διεγείρουν τα ηπατοκύτταρα για παραγωγή NO, με την IFN που παράγουν.

Η αναγνώριση ότι κυτταροτοξικά CD8 λεμφοκύτταρα είναι σημαντικά στον έλεγχο της φυματίωσης, της ελονοσίας και άλλων λοιμώξεων από μικρόβια που επιζούν στα φαγοσωμάτια έχει δρομολογήσει το σχεδιασμό εμβολίων που θα διεγείρουν τα κυτταροτοξικά αυτά κύτταρα. Οι πρώτες μελέτες στις οποίες αντιγόνα του μυκοβακτηριδίου παρουσιάστηκαν μέσω των μορίων MHC- τάξης I, όπως αυτό συμβαίνει στα εμβόλια DNA, είχαν πολύ ενθαρρυντικά αποτελέσματα<sup>59</sup>.

Οι γνώσεις που έχουν συσσωρευτεί από τη μελέτη των ενδοκυτταρίων λοιμώξεων και την ανοσοιακή απάντηση, ακόμη δεν έχουν δώσει απαντήσεις στα περισσότερα ερωτήματα που υπάρχουν. Το θετικό όμως είναι ότι έχουν προσανατολίσει την έρευνα προς νέες κατεύθυνσεις. Η σπουδαιότερη κατεύθυνση είναι η ανάπτυξη εμβολίων που θα διεγείρουν όχι μόνον την χυμική αλλά και την κυτταρική ανοσία, όχι μόνον τα CD4-Th1 αλλά συγχρόνως και τα CTL<sup>59</sup>. Επίσης σημαντική είναι η κατεύθυνση προς τη χρησιμοποίηση των ανοσενισχυτικών θεραπειών. Η χρησιμοποίηση της IL-12 ως ανοσοενισχυτικού<sup>60</sup> και τα DNA εμβόλια<sup>14,19</sup> ελπίζεται ότι θα αποδώσουν τους αναμενόμενους καρπούς και θα συμβάλλουν στην αντιμετώπιση των ενδοκυτταρίων λοιμώξεων, αντιμετώπιση που γίνεται δυσκολότερη με την ολοένα και μεγαλύτερη ανάπτυξη ανθεκτικότητας στα χημειοθεραπευτικά φάρμακα.

## ABSTRACT

*Diza-Mataftsi E. Intracellular microorganisms and immune response. Hell Iatr 2004, 70: 5-16.*

The intracellular microorganisms are able to enter host cells by receptor-mediated endocytosis, to survive and even replicate inside them. Pathogens belonging to bacteria, viruses, protozoa and fungi can persist lifelong without clinical sings or lead to chronic progressive disease conditions. Host

resistance consists mainly of cell-mediated immunity. This review focuses on important role of mono-nuclear phagocytes, CD4-Th1 and cytolytic/cytotoxic CTL cells, as well as on interleukin 12 and IFN $\gamma$ . It is hereby also described how the pathogens evade the immune system, by inhibition of antigen presentation and other mechanisms. The importance of designing novel vaccination strategies which elicit cellular immune response is underlined.

## ΒΙΒΛΙΟΓΡΑΦΙΑ

- Janeway Ch, Travers P, Walport M, Capra D. Immunobiology, the Immune system in health and disease. Current Biology Publications 4th ed., 1999.
- Abbas A, Lichtman A, Pober J. Cellular and Molecular Immunology. W.B. Saunders Publ, 4th ed, 2000.
- Dorn B, Dunn W, Progulske-Fox A. *Porphyromonas gingivalis* traffics to autophagosomes in human coronary artery endothelial cells. *Infect Immun* 2001, 69: 5698-708.
- Alexander EH, Hudson MC. Factors influencing the internalization of *Staphylococcus aureus* and impacts on the course of infections in humans. *Appl Microbiol Biotechnol* 2001, 56: 361-6.
- Pieters J. Entry and survival of pathogenic mycobacteria in macrophages. *Microbiol Infect* 2001, 3: 249-55.
- Chan J, Tanaka K, Carroll D, et al. Effect of nitric oxide synthase inhibitors on murine infection with mycobacterium tuberculosis. *Infect Immun* 1995, 63: 736-40.
- Flynn J, Chan J. Tuberculosis: Latency and reactivation. *Infect Immunity* 2001, 69: 4195-201.
- Tyler K, Field B. Pathogenesis of viral infections. In: Fields B, Knippe D, Howley M, et al, eds. *Fields Virology*, Philadelphia: Lippincot-Raven, 1996, 1: 173-218.
- Clapham PR, McKnight A. HIV-1 receptors and cell tropism. *Br Med Bull* 2001, 58: 43-9.
- Ofek I, Goldhar J, Keisari Y, Sharon N. Nonopsonic phagocytosis of microorganisms. *Annu Rev Microbiol* 1995, 49: 239-76.
- Daeron M. Fc receptor biology. *Annu Rev Immunol* 1997, 15: 203-34.
- Ellis S, Mellor H. Regulation of endocytic traffic by rho family GTPases. *Trends Cell Biol* 2000, 10: 85-9.
- Robibaro B, Hoppe H, Yang M, et al. Endocytosis in different lifestyles of protozoan parasitism: role in nutrient uptake with special reference to *Toxoplasma gondii*. *Int J Parasitol* 2001, 1343-53.
- Silva C, Vania LD, Bonato, et al. Cytotoxic T cells and mycobacteria. *FEMS Microbiol Let* 2001, 197: 11-8.
- Lieu T, Khanna K, Carriere B, et al. Gamma interferon can prevent Herpes simplex virus type 1 reactivation from latency in sensory neurons. *J Vir* 2001, 75: 1178-84.
- Belyi Y. Intracellular parasitism and molecular determinants of *Legionella* virulence. *Int Microbiol* 1999, 2: 145-54.

17. Eremeeva M, Dasch G, Silverman D. Quantitative analyses of variations in injury of endothelial cells elicited by 11 isolates of *Rickettsia rickettsii*. *Clin Diag Lab Immunol* 2001, 8: 788-96.
18. Schroeder MB, Worthen GS. Viral regulation of RANTES expression during human cytomegalovirus infection of endothelial cells. *J Vir* 2001, 75: 3383-90.
19. Alexander J, Satoskar A, Russell D. Leishmania species: models of intracellular parasitism. *J Cell Sci* 1999, 112: 2993-3002.
20. Haas A. Reprogramming the phagocytic pathway-intracellular pathogens and their vacuoles. *Mol Membr Biol* 1998, 15: 103-21.
21. Via LE, Deretic D, Ulmer RJ, et al. Arrest of mycobacterial phagosome maturation is caused by a block in vesicle fusion between stages controlled by rab5 and rab7. *J Biol Chem* 1997, 272: 13326-31.
22. Ferrari G, Naitom, Langen H, Pieters J. A coat protein on phagosomes involved in the intracellular survival of mycobacteria. *Cell* 1999, 97: 435-47.
23. Rittig M, Alvarez-Martinez MT, Porte F. Intracellular survival of *Brucella* spp. in human monocytes involves conventional uptake but special phagosomes. *Infect Immun* 2001, 69: 3995-4006.
24. Springer B, Master S, Sander P, et al. Silecing of oxidative stress response in *Mycobacterium tuberculosis*: expression patters of *ahpC* in virulent and avirulent strains and effect of *ahpC* inactivation. *Infect Immun* 2001, 69: 5967-73.
25. Wei J, Dahl J, Moulder J, et al. Identification of a *Mycobacterium tuberculosis* gene that enhances mycobacterial survival in macrophages. *J Bacteriol* 2000, 182: 377-84.
26. Piddington D, Fang F, Laessing T, et al. Cu, Zn superoxide dismutase of *Mycobacterium tuberculosis* contributes to survival in activated macrophages that are generating an oxidative burst. *Infect Immun* 2001, 69: 4980-7.
27. Heithoff D, Conner Ch, Hentschel U, et al. Coordinate intracellular expression of salmonella genes induced during infection. *J Bacter* 1999, 181: 799-807.
28. Tanaka K, Noda S. Role of nitric oxide in murine cytomegalovirus (MCMV) infection. *Histol Histopathol* 2001, 16: 937-44.
29. Bliss S, Gavrilescu C, Alcaraz A, et al. Neutrophil depletion during *Toxoplasma gondii* infection leads to impaired immunity and lethal systemic pathology. *Infect Immun* 2001, 69: 4898-905.
30. Laufs H, Muller K, Fleischer J, et al. Intracellular survival of *Leishmania major* in neutrophil granulocytes after uptake in the absence of heat-labile serum factors. *Infect Immun* 2002, 70: 826-35.
31. Yap GS, Sher A. Cell-mediated immunity to *Toxoplasma gondii* initiation, regulation and effector function. *Immunobiol* 1999, 201: 240-7.
32. Park AY, Scott P. IL-12: Keeping cell-mediated immunity alive. *Scand J Immunol* 2001, 53: 529-36.
33. Sher A, Reis E, Sousa C. Ignition of the type 1 response to intracellular infection by dendritic cell-derived in-tereukin-12. *Eur Cytokine Netw* 1998, 9: 65-8.
34. Matsunaga K, Klein Th, Newton C. Legionella pneumophila suppresses interleukin-12 production by macrophages. *Infect Immun* 2001, 69: 1929-33.
35. Maini RE, Clair WSt, Breedveld F, et al. Infliximab (chimeric anti-tumor necrosis factor monoclonal anti-body) versus placebo in rheumatoid arthritis patients receiving concomitant methotrexate: a randomized phase III trial. *Lancet* 1999, 354: 1932-39.
36. Subauste CS, de Waal Malefyt R, Fuh F. Role of CD80 (B7.1) and CD86 (B7.2) in the immune response to an intracellular pathogen. *J Immunol* 1998, 160: 1831-40.
37. Cooper AM, Dalton DK, Stewart JP. Disseminated tuberculosis in IFN- $\gamma$  gene disrupted mice. *J Exp Med* 1993, 178: 2243-8.
38. Yamamura MK, Uyemura RJ, Deans K, et al. Defining protective responses to pathogens: cytokine profiles in leprosy. *Science* 1991, 254: 277-9.
39. Chatelain R, Varkila K, Coffman RL. IL-4 induces a Th2 response in *Leishmania major* -infected mice. *J Immunol* 1992, 148: 1182-7.
40. Message SD, Johnston SL. The immunology of virus infection in asthma. *Eur Respir J* 2001, 18: 1013-25.
41. Noss EH, Harding CV, Boom WH. *Mycobacterium tuberculosis* inhibits MHC class II antigen processing in murine bone marrow macrophages. *Cell Immunol* 2000, 201: 63-74.
42. Weiss D, Evanson O, McClenahan D. Regulation of expression of major histocompatibility antigens by bovine macrophages infected with *Mycobacterium avium* subs. paratuberculosis or *mycobacterium avium* subs. Avium. *Infect Immun* 2001, 69: 1002-8.
43. Luder CG, Walter W, Beuerle B, et al. *Toxoplasma gondii* down-regulates MHC class II gene expression and antigen presentation by murine macrophages via interference with nuclear translocation of STAT1 alpha. *Eur J Immunol* 2001, 31: 1475-84.
44. Redpath S, Ghazal P, Gascoigne NR. Hijacking and exploitation of IL-10 by intracellular pathogens. *Trends Microbiol* 2001, 9: 86-92.
45. Flano E, Woodland D, Blackman M, et al. Analysis of virus-specific CD4+ T cells during long-term gamma-herpesvirus infection. *J Vir* 2001, 75: 7744-8.
46. Topham DJ, Cardin RC, Christensen JP, et al. Perforin and Fas in murine gamma herpesvirus-specific CD8(+) T cell control and morbidity. *J Gen Virol* 2001, 82: 1971-81.
47. Stenger S. Cytolytic T cells in the immune response to *Mycobacterium tuberculosis*. *Scand J Infect Dis* 2001, 33: 483-7.
48. Zhou S, Ou R, Huang L, Moskophidis D. Critical role for perforin-, Fas/FasL-, and TNFR1-mediated cytotoxic pathways in down-regulation of antigen-specific T cells during persistent viral infection. *J Virol* 2002, 76: 829-40.
49. Aung S, Rutigliano J, Graham B. Alternative mechanisms of respiratory syncytial virus clearance in perforin knockout mice lead to enhanced disease. *J Virol* 2001, 75: 9918-24.

50. Dean D, Powers V. Persistent Chlamydia trachomatis infections resists apoptotic stimuli. *Infect Immun* 2001, 69: 2442-7.
51. Nash PB, Purner MB, Leon RP, et al. Toxoplasma gondii-infected cells are resistant to multiple inducers of apoptosis. *J Immunol* 1998, 160: 1824-30.
52. Sobao Y, Tomiyama H, Sugi K, et al. The role of hepatitis B virus-specific memory CD8 T cells in the control of viral replication. *J Hepatol* 2002, 36: 105-15.
53. Kwangseog A, Angulo A, Ghazal P. Human cytomegalovirus inhibits antigen presentation by a sequential multistep process. *Proc Natl Acad Sci USA* 1996, 93: 10990-5.
54. Yang O, Thi Nguyen Ph, Kalams S, et al. Nef-mediated resistance of human immunodeficiency virus type 1 to antiviral cytotoxic T lymphocytes. *J Virol* 2002, 76: 1626-31.
55. Gao J, De B, Han Y, et al. Human parainfluenza virus type 3 inhibits gamma interferon-induced major histocompatibility complex class II expression directly and by inducing alpha/beta interferon. *J Vir* 2001, 75: 1124-31.
56. Spencer J, Lockridge K, Barry P, et al. Potent immunosuppressive activities of cytomegalovirus-encoded interleukin-10. *J Vir* 2002, 76: 1285-92.
57. Lu W, Andrieu JM. In vitro human immunodeficiency virus eradication by autologous CD8(+) T cells expanded with inactivated-virus-pulsed dendritic cells. *J Vir* 2001, 75: 8949-56.
58. Casciotti L, Ely K, Williams M, et al. CD8+T-cell immunity against Toxoplasma gondii can be induced but not maintained in mice lacking conventional CD4+ T cells. *Infect Immun* 2000, 70: 434-43.
59. Dora P, Fonseca J, Benissa-Trouw B. Induction of cell-mediated immunity against mycobacterium tuberculosis using DNA vaccines encoding cytotoxic and helper T-cell epitopes of the 38-kilodalton protein. *Infect Immun* 2001, 69: 4839-45.
60. Afonso LC, Scharon C, Vieira TM, et al. The adjuvant effect of interleukin-12 in a vaccine against Leishmania major. *Science* 1994, 263: 235-7.

*Αλληλογραφία:*

E. Διζα-Ματαυτσή

A' Εργαστήριο Μικροβιολογίας

Τμήμα Ιατρικής ΑΠΘ,

Θεσσαλονίκη

*Corresponding author:*

E. Diza-Mataftsi

A' Department of Microbiology

School of Medicine

Aristotle University

Thessaloniki, Greece

## Νόσος Lyme

### Αθηνά Κανσουζίδου-Κανακούδη

Μικροβιολογικό Εργαστήριο, Νοσοκομείο Ειδικών Παθήσεων (Λοιμωδών), Θεσσαλονίκη

**Περιληψη.** Η νόσος Lyme ή μπορρελώση Lyme είναι πολυσυστηματική νόσος και αποτελεί την πιο συχνή νόσο, που μεταδίδεται με αρθρόποδα στις ΗΠΑ και στην Ευρώπη. Αίτιο της νόσου είναι η σπειροχαίτη *Borrelia burgdorferi* sensu lato complex, η οποία περιλαμβάνει τρία κύρια παθογόνα ειδη για τον άνθρωπο (*Borrelia burgdorferi* sensu stricto, *Borrelia afzelii*, *Borrelia garinii*). Το μικρόβιο μεταδίδεται στον άνθρωπο με τους κρότωνες του είδους *Ixodes*, από τους οποίους στην Αμερική επικρατούν οι *Ixodes dammini* (*Ixodes scapularis*) και *Ixodes pacificus*, ενώ στην Ευρώπη οι *Ixodes ricinus*. Την κύρια δεξαμενή του μικροβίου αποτελούν τα μικρά τρωκτικά, αλλά και τα μεγάλα ζώα, που παιζουν σημαντικό ρόλο στον κύκλο ζωής των κροτώνων. Η νόσος χαρακτηρίζεται από τρία κλινικά στάδια με διαφορετικές κλινικές εκδηλώσεις. Οι πιο σημαντικές κλινικές εκδηλώσεις είναι το μεταναστευτικό ερύθημα, η μηνιγγίτιδα, η αρθρίτιδα, η μυοπερικαρδίτιδα, η ακροδερματίτιδα και η εγκεφαλομυελίτιδα. Από τα τρία ειδη, η *B.afzelii* σχετίζεται κυρίως με ατροφική ακροδερματίτιδα, η *B.garinii* με νευρολογικές διαταραχές

και η *B.burgdorferi* sensu stricto με αρθρίτιδα, ενώ το μεταναστευτικό ερύθημα προκαλείται και από τα τρία ειδη. Η διάγνωση της νόσου στηρίζεται στα τυπικά κλινικά συμπτώματα και επιβεβαιώνεται με τις εργαστηριακές δοκιμασίες. Επειδή η απομόνωση με καλλιέργεια και η άμεση αναζήτηση της *B.burgdorferi* στα κλινικά δείγματα των ασθενών είναι δύσκολη, η διάγνωση στηρίζεται συνήθως στην ανίχνευση ειδικών αντισωμάτων με δοκιμασίες, όπως ο ανοσοφθορισμός, η ELISA και η ανοσοαποτύπωση ως επιβεβαιωτική. Επειδή παρατηρούνται συχνά φευδώνες θετικά αποτελέσματα, το CDC προτείνει διπλή εργαστηριακή προσέγγιση της νόσου. Αρχικά να χρησιμοποιείται ευαίσθητη ELISA ή ανοσοφθορισμός και στη συνέχεια τα θετικά αποτελέσματα να επιβεβαιώνονται με ανοσοαποτύπωση. Τελευταία χρησιμοποιείται και η PCR για την αναζήτηση του DNA του μικροβίου σε διάφορα κλινικά δείγματα. Για την πρόληψη της νόσου εφαρμόζονται προφυλακτικά μέτρα, αλλά και εμβόλιο. Στην Ελλάδα πιστεύεται ότι η νόσος παρουσιάζει μικρή συχνότητα.  
Ελλην Ιατρ 2004, 70: 17 - 29.

Η νόσος Lyme ή μπορρελώση Lyme είναι πολυσυστηματική νόσος, που παρόλο ότι στην Ευρώπη οι κλινικές εκδηλώσεις της είχαν περιγραφεί στις αρχές του προηγουμένου αιώνα, ως νόσος αναγνωρίστηκε το 1975, όταν στην πόλη Lyme του Connecticut, κατά τη διάρκεια του καλοκαιριού, παρατηρήθηκαν περιπτώσεις μεταδοτικής αρθρίτιδας σε παιδιά<sup>1</sup>. Η μελέτη αυτών των περιπτώσεων οδήγησε στο συμπέρασμα, ότι η μετάδοση της νόσου γινόταν με αρθρόποδα. Το αίτιο της νόσου αναγνωρίστηκε το 1982, όταν οι Burgdorfer και Barbour απομόνωσαν μια σπειροχαίτη από κρότωνες του είδους *Ixodes dammini*<sup>2</sup>. Ένα χρόνο αρ-

γότερα, η ίδια σπειροχαίτη απομονώθηκε από ασθενείς στις ΗΠΑ<sup>3</sup>, καθώς και από ασθενείς στην Ευρώπη<sup>4</sup>, αναγνωρίστηκε ως νέο είδος του γένους *Borrelia* και ονομάστηκε *Borrelia burgdorferi* προς τιμή του Willy Burgdorfer<sup>5</sup>.

Στην Αμερική αποτελεί την πιο συχνή νόσο που μεταδίδεται με αρθρόποδα και ενδημεί κυρίως στις βιοεισανατολικές περιοχές των ΗΠΑ. Από το 1982, που άρχισε η επίσημη καταγραφή της νόσου στις ΗΠΑ, παρατηρήθηκε μια συνεχώς αυξανόμενη συχνότητα της νόσου και έως το 1996 καταγράφηκαν περισσότερες από 100.000 περιπτώσεις<sup>6</sup>. Ιδιαίτερα σημαντική αύξηση παρατηρή-

Θηρε στη δεκαετία του 1990, η επίπτωση της νόσου σχεδόν διπλασιάστηκε και η αύξηση αυτή αποδόθηκε σε μεταβολές του οικοσυστήματος στις περιοχές όπου εμφανίζεται η νόσος, δηλαδή σε απαγόρευση του κυνηγιού των ελαφιών, δημιουργία προστατευμένων περιοχών, και μετακίνηση και αύξηση του πληθυσμού στις περιοχές αυτές. Ακόμη και σήμερα συνεχίζει να αποτελεί σημαντική νόσο στις ΗΠΑ με συνεχώς αυξανόμενη συχνότητα<sup>7</sup>.

Στην Ευρώπη η νόσος ενδημεί στη Γερμανία, Αυστρία, Ελβετία, Γαλλία και Σουηδία και υπολογίζεται, ότι κάθε χρόνο συμβαίνουν περίπου 50.000 περιπτώσεις νόσου<sup>8,9</sup>. Η μεγαλύτερη επίπτωση της νόσου παρατηρείται στην Κεντρική Ευρώπη, κυρίως στην Αυστρία, όπου η επίπτωση κυμαίνεται από 300 έως 350 περιπτώσεις ανά 100.000 κατοίκους<sup>9</sup>. Επίσης συχνή είναι η νόσος και σε χώρες της Ανατολικής Ευρώπης, όπως η Σλοβακία, η Τσεχία και η Πολωνία, αλλά και σε Βαλκανικές χώρες, όπως η Βουλγαρία και η Σλοβενία. Με σκοπό την επιτίρηση της νόσου δημιουργήθηκε στην Ευρώπη δίκτυο καταγραφής της νόσου (European Concerted Action on Lyme Borreliosis, EUCLAB) που υποστηρίζεται από την Ευρωπαϊκή Ένωση. Επίσης πληροφορίες για τη νόσο δίνονται στην ηλεκτρονική διεύθυνση <http://www.dis.strath.ac.uk/lymeEU/>. Στη Ρωσία η νόσος ενδημεί στις παράκτιες περιοχές προς τη Βαλτική και τον Ειρηνικό Ωκεανό. Περιπτώσεις νόσου έχουν περιγραφεί και στην Αυστραλία, Κίνα και Ιαπωνία. Στην Ελλάδα η γενική εκτίμηση είναι ότι η νόσος δεν είναι συχνή και ορισμένες από τις περιπτώσεις που αναφέρονται ίσως είναι αποτέλεσμα υπερεκτίμησης.

Γενικά η πραγματική επίπτωση της νόσου δεν είναι απόλυτα γνωστή και διατυπώνονται εκ διαμέτρου αντίθετες απόψεις όσον αφορά στη συχνότητά της. Από άλλους πιστεύεται ότι η νόσος υπερεκτιμάται και εμφανίζονται περιπτώσεις νόσου πολύ περισσότερες από ότι συμβαίνουν στην πραγματικότητα και από άλλους ότι υποεκτιμάται.

Η νόσος χαρακτηρίζεται από εποχιακή κατανομή, εμφανίζεται κυρίως την άνοιξη και το καλοκαίρι και αυτό οφείλεται στο ότι τους μήνες αυτούς οι κρότωνες εμφανίζουν τη μεγαλύτερη δραστηριότητα<sup>10</sup>.

## ΑΙΤΙΟ ΤΗΣ ΝΟΣΟΥ

Ο αιτιολογικός παραγόντας της νόσου είναι η *Borrelia burgdorferi*, η οποία είναι μικρότερη και λεπτότερη από τις άλλες μπορρόλιες με μήκος 20-30 μμ και πάχος 0,1-0,3 μμ. Αποτελείται από πρω-

τοπλασματικό κύλινδρο, κυτταρική μεμβράνη, 7-11 περιπλασμικές βλεφαρίδες και εξωτερική μεμβράνη. Χαρακτηρίζεται από αβαθείς σπείρες, γραμμικό χρωμόσωμα και 4-9 πλασμίδια, τα οποία είναι υπερελιγμένα ή και γραμμικά και υπεύθυνα για την παραγωγή διαφόρων πρωτεΐνων. Περιέχει τουλάχιστον 30 διαφορετικές πρωτεΐνες, αρκετές από τις οποίες είναι ισχυρά αντιγόνα και παίζουν σημαντικό ρόλο στη λοιμογόνο δράση του μικροβίου<sup>11</sup>. Δεν φαίνεται με το κοινό μικροσκόπιο, αλλά μόνο με μικροσκόπιο αντίθεσης φάσεως και σκοτεινού πεδίου. Δεν μπορεί να θεωρηθεί Gram θετικό ή Gram αρνητικό μικρόβιο, γιατί δε χρωματίζεται με τη χρώση Gram, ενώ χρωματίζεται καλύτερα με τη χρώση Giemsa.

Από μοριακές και άλλες μελέτες βρέθηκε ότι υπάρχουν σημαντικές διαφορές μεταξύ των διαφόρων στελεχών. Ιδιαίτερα μεταξύ των στελεχών που απομονώνονται στην Αμερική και την Ευρώπη έχουν βρεθεί αρκετές διαφορές όσον αφορά στη μορφολογία, τις πρωτεΐνες της εξωτερικής μεμβράνης, τα πλασμίδια και την ομολογία του DNA<sup>11</sup>. Ακόμη, παρατηρείται σημαντική ετερογένεια και μεταξύ των στελεχών που απομονώνονται στην Ευρώπη, παρατηρούνται δηλαδή διαφορές τόσο μεταξύ των ειδών όσο και μέσα στο ίδιο είδος. Έτσι, στο γενικό όνομα *Borrelia burgdorferi* sensu lato complex ανήκουν όλα τα στελέχη και διαχωρίζονται σε είδη και οροτύπους. Έχουν βρεθεί τρία κύρια είδη παθογόνα για τον ανθρώπο η *Borrelia burgdorferi* sensu stricto, η *Borrelia afzelii* και η *Borrelia garinii*. Τα τρία αυτά είδη διαχωρίζονται σε τουλάχιστον 8 οροτύπους ανάλογα με τα αντιγόνα OspA της εξωτερικής μεμβράνης και σε 16 οροτύπους ανάλογα με τα αντιγόνα OspC<sup>12</sup>. Τα είδη αυτά παρουσιάζουν διαφορές στη γεωγραφική κατανομή, έτσι στην Αμερική επικρατεί η *Borrelia burgdorferi* sensu stricto, ενώ στην Ευρώπη έχουν απομονωθεί και τα τρία είδη από κλινικά δείγματα και από κρότωνες, τα επικρατέστερα όμως είναι η *Borrelia garinii* και η *Borrelia afzelii*<sup>13</sup>.

Από διάφορες μελέτες όμως προέκυψε ότι υπάρχουν και άλλα είδη της *Borrelia burgdorferi* sensu lato τα οποία πιθανόν να προκαλούν νόσο στον ανθρώπο, όπως είναι η *B. valaisiana* και η *B. lusitaniae*<sup>12,14</sup>.

## ΜΕΤΑΔΟΣΗ

Το μικρόβιο μεταδίδεται στον ανθρώπο με τους κρότωνες του είδους *Ixodes*, οι οποίοι λειτουργούν ως ενδιάμεσοι ξενιστές<sup>10</sup>. Στην Αμερι-

κή επικρατούν κυρίως οι κρότωνες του είδους *Ixodes dammini* (*Ixodes scapularis*) και *Ixodes pacificus*, ενώ στην Ευρώπη και στην Ελλάδα οι κρότωνες *Ixodes ricinus*. Η μετάδοση των μπορρειών στον άνθρωπο συμβαίνει κατά τη διάρκεια του δήγματος, η οποία πρέπει να είναι μεγαλύτερη των 24 ωρών, με το σίελο των κροτώνων, αλλά και με τα περιττώματα και το σώμα τους κατά τη σύνθλιψή του<sup>10,15</sup>. Μετάδοση από άνθρωπο σε άνθρωπο δεν έχει αναφερθεί, αλλά το μικρόβιο μεταδίδεται κατά την ενδομήτριο ζωή στο έμβρυο και σε σπάνιες περιπτώσεις προκαλεί το θάνατο του εμβρύου<sup>16</sup>.

Την κύρια δεξαμενή του μικροβίου αποτελούν τα μικρά τρωκτικά και κυρίως τα ποντίκια (field mouse, white-footed mouse), τα ελάφια και τα ζακούν, τα οποία συνήθως δε νοσούν, και από τα οποία μολύνονται οι κρότωνες κατά τη διάρκεια του γεύματός τους<sup>17</sup>. Οι κρότωνες χαρακτηρίζονται από διετή κύκλο ζωής και από τρία στάδια εξέλιξης (σκώληκας, νύμφη, ενήλικας) σε κάθε ένα από τα οποία γευματίζουν μία μόνο φορά για τη μετάπτωση από το ένα στάδιο στο άλλο<sup>11,17</sup>. Τα ελάφια είναι σημαντικά για την επιβίωση των κροτώνων, γιατί οι ενήλικοι κρότωνες διαχειμάζουν και ζευγαρώνουν πάνω στα ελάφια. Από τον άνθρωπο συνήθως τρέφονται οι νύμφες, οι οποίες λόγω του μικρού τους μεγέθους (<2 mm) σπάνια γίνονται αντιληπτές. Αντίθετα οι ενήλικοι κρότωνες σε μικρή αναλογία τρέφονται από τον άνθρωπο. Η αναλογία μόλυνσης των κροτώνων με μπορρέλιες διαφέρει από περιοχή σε περιοχή και κυμαίνεται από 2-50%<sup>17</sup>. Οι μπορρέλιες παραμένουν στον κρότωνα σε όλα τα στάδια εξέλιξής του. Η κάθετη μετάδοση των μπορρειών στους κρότωνες δεν έχει τεκμηριωθεί.

Η νόσος προσβάλλει και κατοικίδια ζώα (σκύλους, άλογα, βοοειδή) στα οποία προκαλεί εκδηλώσεις, όπως αρθρίτιδα.

## ΠΑΘΟΓΕΝΕΙΑ

Η παθογένεια της νόσου και οι λοιμογόνοι παράγοντες του μικροβίου παραμένουν άγνωστοι αν και τα τελευταία χρόνια έχει γίνει σημαντική πρόσοδος στη μελέτη και τον χαρακτηρισμό των διαφόρων αντιγόνων του. Η παθογενετική δράση του μικροβίου φαίνεται να σχετίζεται άμεσα με τις πρωτεΐνες της εξωτερικής μεμβράνης, οι οποίες χαρακτηρίζονται από διαφορετική δράση για την προσκόλληση και τη διείσδυση του μικροβίου

σε διαφόρους τύπους κυττάρων, ενώ άλλες έχουν δράση πορινών. Επίσης οι πρωτεΐνες αυτές παίρνουν μέρος στις φλεγμονώδεις διεργασίες. Μελέτες έχουν δείξει ότι μια πρωτεΐνη της εξωτερικής μεμβράνης (p66) η οποία έχει προσκολλητική δράση παίζει σημαντικό ρόλο στην παθογένεια της νόσου<sup>18</sup>. Επίσης βρέθηκε, ότι το μικρόβιο προσκολλάται και αποικίζει ιστούς που περιέχουν κολλαγόνο και η δράση αυτή σχετίζεται με την παρουσία δύο ειδικών πρωτεΐνων A και B (decorin binding proteins), οι οποίες συνδέονται με την πρωτεογλυκάνη decorin του κολλαγόνου<sup>19</sup>.

Η προσαρμογή του μικροβίου και η έκφραση των διαφόρων γονιδίων του είναι διαφορετική στους κρότωνες από ότι στον άνθρωπο και παίζει σημαντικό ρόλο στην αποτελεσματική αποίκιση του ξενιστή, στην ενεργοποίηση της αντισωματικής απάντησης και στην πρόκληση της νόσου<sup>20</sup>. Έτσι, πρωτεΐνες που εκφράζονται κατά την παραμονή του μικροβίου στον κρότωνα δεν εκφράζονται κατά την είσοδό του στον άνθρωπο. Επίσης οι πρωτεΐνες του μικροβίου παρουσιάζουν σημαντική αντιγονική ετερογένεια (OspC) που οφείλεται σε σημαντικές διαφορές που παρατηρούνται στην αλληλουχία των υπεύθυνων γονιδίων, τόσο μεταξύ των διαφόρων ειδών μπορρέλιας, όσο και μεταξύ των διαφόρων στελεχών του ίδιου είδους και αυτό φαίνεται να σχετίζεται άμεσα με την παθογενετική δράση του στελέχους και την κλινική μορφή της νόσου<sup>21</sup>.

Μετά την είσοδό του στο δέρμα με το δήγμα του κρότωνα το μικρόβιο πολλαπλασιάζεται τοπικά και ακολουθεί η διασπορά του στα άλλα όργανα, η οποία διευκολύνεται από τον αργό ρυθμό εξέλιξης της αντισωματικής απάντησης. Στα διάφορα όργανα η μπορρέλια κατορθώνει και επιβιώνει για μεγάλο χρονικό διάστημα με άγνωστο μέχρι στιγμής τρόπο. Πιθανώς να προστατεύεται από ένα στρώμα slime, το οποίο περιέχει και πρωτεΐνες του ξενιστή ή πιθανώς να κατορθώνει να επιβιώνει σε κάποιες ενδοκυτταρικές θέσεις<sup>11</sup>.

Οι οξείες και χρόνιες φλεγμονώδεις διεργασίες που παρατηρούνται στα διάφορα όργανα, κυρίως κατά το 2<sup>o</sup> και 3<sup>o</sup> στάδιο, πιστεύεται ότι οφείλονται τόσο στην παραμονή της μπορρέλιας, όσο και στην αντισωματική απάντηση και την παραμονή ανοσοσυμπλεγμάτων<sup>19</sup>. Η παραμονή του μικροβίου στους ιστούς έχει σχέση με την παθογενετική εξέλιξη της νόσου, αλλά και με αυτοάνοσες διεργασίες που φαίνεται να παίρνουν μέρος στην παθογένεια, κυρίως στις χρόνιες μορφές της νόσου<sup>22</sup>.

## ΚΛΙΝΙΚΗ ΕΙΚΟΝΑ

Η κλινική εικόνα της νόσου χαρακτηρίζεται από πολυμορφία και ποικιλία κλινικών εκδηλώσεων από διάφορα όργανα, οι οποίες διαφέρουν σημαντικά από άτομο σε άτομο. Η νόσος χαρακτηρίζεται από τρία κλινικά στάδια τα οποία δεν εμφανίζονται απαραίτητα όλα σε κάθε ασθενή. Η νόσος μπορεί να εκδηλωθεί με τα συμπτώματα του δευτέρου σταδίου ή με τα συμπτώματα του τρίτου σταδίου, χωρίς να εμφανιστούν τα συμπτώματα των προηγουμένων σταδίων. Από τα συμπτώματα όλων των σταδίων εμφανίζονται μόνο ένα, σπάνια δύο και πολύ σπάνια τρία.

**Στάδιο 1 ή πρώιμη εντοπισμένη νόσος:** Χαρακτηρίζεται από το μεταναστευτικό ερύθημα, το οποίο αποτελεί ίσως το πιο χαρακτηριστικό σύμπτωμα της νόσου<sup>11,23</sup>. Στο σημείο του δήγματος, 3-30 ημέρες μετά το δήγμα, σε 60-80% των περιπτώσεων, εμφανίζεται ερυθρός εξάνθημα συρρέον, το οποίο επεκτείνεται περιφερικά και φθάνει σε διάμετρο τα 75 mm<sup>23</sup>. Είναι επίπεδο με επηρημένη περιφέρεια και πολύ συχνά έχει δακτυλιοειδή μορφή με διαύγαση στο κέντρο<sup>24</sup>. Υποχωρεί μετά από 3-4 εβδομάδες, ακόμη και χωρίς θεραπεία και σε ορισμένους ασθενείς συνοδεύεται από πυρετό, πονοκέφαλο, μυαλγίες, κακουχία, αρθρολγίες και λεμφαδενίτιδα. Το ερύθημα μπορεί να υποτροπιάσει και να εμφανιστεί σε άλλα σημεία του σώματος. Με κατάλληλη θεραπεία σε αυτό το στάδιο το ερύθημα υποχωρεί και προλαμβάνονται οι επιπλοκές και η συνέχεια της νόσου. Χωρίς θεραπεία, μετά την είσοδό της στο δέρμα η μπορρέλια εξαπλώνεται φυγόκεντρα από το σημείο εισόδου. Στο στάδιο αυτό η μπορρέλια ανευρίσκεται σε τεμάχιο βιοψίας της δερματικής βλάβης<sup>11</sup>.

**Στάδιο 2 ή πρώιμη συστηματική νόσος:** Είναι αποτέλεσμα της εισόδου της μπορρέλιας στο αίμα. Η σπειροχαιταιμία διαρκεί για ημέρες ή εβδομάδες με αποτέλεσμα τη διασπορά του μικροβίου στα διάφορα όργανα του σώματος<sup>11,24</sup>. Μετά από εβδομάδες έως μήνες από τη μόλυνση εμφανίζονται οι κλινικές εκδηλώσεις από τα διάφορα όργανα.

Νευρολογικές εκδηλώσεις εμφανίζονται στο 10-15% των ασθενών με ερύθημα, και συνήθως είναι μηνιγγίτιδα, μηνιγγοριζονευρίτιδα, παραλύση του προσωπικού νεύρου και σπάνια ήπια εγκεφαλίτιδα. Η μηνιγγίτιδα χαρακτηρίζεται από αύξηση των κυττάρων στο ENY (περίπου 100/κχ, κυρίως λεμφοκύτταρα), αύξηση της πρωτεΐνης και φυσιολογική γλυκόζη<sup>11</sup>. Οι νευρολογικές εκδηλώσεις

παρατηρούνται συχνότερα στα παιδιά από ότι στους ενήλικους. Στην Ευρώπη η πιο συχνή εκδήλωση είναι το σύνδρομο Bannwarth που χαρακτηρίζεται από μηνιγγιτιδικά και οιζιτικά συμπτώματα.

Από το μυοσκελετικό σύστημα παρατηρούνται αρθρολγίες και μυαλγίες με μεταναστευτικό χαρακτήρα. Η αρθρίτιδα συνοδεύεται συνήθως από διόγκωση των αρθρώσεων και εμφάνιση υγρού<sup>24</sup>. Προσβάλλονται συνήθως οι μεγάλες αρθρώσεις, όπως το γόνατο, ενώ οι μικρές αρθρώσεις των χεριών και των ποδιών δεν επηρεάζονται<sup>24</sup>. Στο αρθρικό υγρό παρατηρείται αύξηση των πολυμορφοπυρήνων, των ανοσοσυμπλεγμάτων και των κρυοσφαιρινών. Η αρθρίτιδα σε αυτό το στάδιο είναι συχνότερη στα παιδιά από ότι στους ενηλίκους και σε αναλογία 6% εμφανίζεται ως πρώτο σύμπτωμα<sup>25</sup>.

Παρατηρούνται επίσης δερματικές βλάβες παρόμοιες με το αρχικό μεταναστευτικό ερύθημα. Μια σπάνια δερματική εκδήλωση είναι το λεμφοκύτταρα που εντοπίζεται κυρίως στο λοβό του αυτιού και στη θηλή του μαστού.

Από την καρδιά εμφανίζεται μυοκαρδίτιδα, περικαρδίτιδα ή και καρδιακή ανεπάρκεια. Επίσης εμφανίζονται συμπτώματα από διάφορα άλλα όργανα, όπως οφθαλμοί, ήπαρ, σπλήνας, κλπ. Τα συμπτώματα του σταδίου αυτού χωρίς θεραπεία συνεχίζονται περίπου για ένα χρόνο. Στο στάδιο αυτό η μπορρέλια ανευρίσκεται κυρίως στο αίμα, αρθρικό υγρό, ENY και στο υλικό βιοψίας διαφόρων οργάνων.

**Στάδιο 3 ή όψιμη νόσος:** Χαρακτηρίζεται κυρίως από χρόνια προσβολή οργάνων και εμφανίζεται μήνες ή και χρόνια μετά την αρχική μόλυνση. Τρεις είναι οι κύριες κλινικές εκδηλώσεις αυτού του σταδίου, η χρόνια ατροφική ακροδερματίτιδα, η οποία εμφανίζεται κυρίως στις εκτατικές επιφάνειες των άκρων, η χρόνια προοδευτική εγκεφαλίτιδα ή μηνιγγοεγκεφαλίτιδα, που εκδηλώνεται με σπαστική πάρεση και αταξία και η χρόνια μονοαρθρίτιδα ή πολυαρθρίτιδα, η οποία εμφανίζεται κυρίως στους ενηλίκους<sup>11</sup>. Σε αναλογία 10-15% των ασθενών εμφανίζεται χρόνια αρθρίτιδα στο γόνατο που δεν ανταποκρίνεται στα αντιβιοτικά και η οποία εμφανίζεται συχνότερα σε άτομα με αντιγόνο ιστοσυμβατότητας HLA-DR4<sup>25,26</sup>.

Η μόλυνση του ανθρώπου όμως μπορεί να είναι και ασυμπτωματική σε αναλογία 5-10%<sup>11</sup> και δεν είναι γνωστό πόσο επιβιώνουν οι μπορρέλιες στους ασυμπτωματικούς ασθενείς.

Από επιδημιολογικές μελέτες βρέθηκε ότι τα

διάφορα είδη της *B. burgdorferi* sensu lato έχουν διαφορετικό οργανοτροπισμό και σχετίζονται με την εμφάνιση διαφορετικών κλινικών εκδηλώσεων<sup>12</sup>. Έτσι, αρθρίτιδα προκαλεί στη μεγαλύτερη αναλογία (75%) η *B. burgdorferi* sensu stricto και σε πολύ μικρότερη αναλογία οι άλλες δύο<sup>27</sup>. Αντίθετα η νευρομπορρελώση παρατηρείται συχνότερα σε περιπτώσεις λοίμωξης από *B. garinii* και η ατροφική ακροδερματίτιδα συχνότερα σε περιπτώσεις λοίμωξης από *B. afzelii*<sup>27</sup>. Αποτέλεσμα αυτών των παρατηρήσεων είναι οι διαφορετικές κλινικές εκδηλώσεις σε Ευρώπη και Αμερική, δηλαδή στην Αμερική συχνότερα εμφανίζεται η αρθρίτιδα, ενώ στην Ευρώπη συχνότερα η νευρομπορρελώση και η ατροφική ακροδερματίτιδα.

### ΑΝΤΙΣΩΜΑΤΙΚΗ ΑΠΑΝΤΗΣΗ

Η εμφάνιση των αντισωμάτων στη νόσο είναι αργή και αντισώματα σε υψηλά επίπεδα εμφανίζονται συνήθως 5-10 εβδομάδες μετά την έναρξη των συμπτωμάτων στο 50-60% των περιπτώσεων με ερύθημα<sup>24</sup>. Σύμφωνα με νεότερες απόψεις όμως, η παραγωγή των αντισωμάτων δεν καθυστερεί, αλλά η ανίχνευσή τους εμποδίζεται από το σχηματισμό των ανοσοσυμπλεγμάτων στα αρχικά στάδια της νόσου<sup>28</sup>.

Τα IgM αντισώματα αρχίζουν να εμφανίζονται 2-3 εβδομάδες μετά την έναρξη των συμπτωμάτων και κορυφώνονται την 6<sup>η</sup>-8<sup>η</sup> εβδομάδα, παραμένουν για μήνες και επανέρχονται στα φυσιολογικά επίπεδα σε 4-8 μήνες. Σε ορισμένες περιπτώσεις τα IgM αντισώματα μπορεί να μην ανιχνεύονται και 6 μήνες μετά την έναρξη της νόσου. Η εμφάνιση των IgG αντισωμάτων αρχίζει την 4η-6η εβδομάδα και κορυφώνεται τον 4-6 μήνα. Τα αντισώματα παραμένουν για πολλά χρόνια. Έτσι, ενώ στην πρόσφατη πρώιμη νόσο ανευρίσκονται IgM και IgG αντισώματα, στα μετέπειτα στάδια της νόσου ανευρίσκονται συνήθως IgG. Τα IgM αντισώματα γενικά είναι λιγότερο ειδικά για τη νόσο από τα IgG<sup>24</sup>. Τα IgG αντισώματα όμως παραμένουν για πολλά χρόνια (10-20 χρόνια) μετά την αρχική λοίμωξη και η παρουσία τους δε σημαίνει απαραίτητα ενεργό λοίμωξη<sup>29</sup>. Η παραμονή αυτή δυσκολεύει πολύ τη διάκριση της ενεργού από την παλιά νόσηση. Γενικά τα αντισώματα κατά το 1<sup>ο</sup> στάδιο εμφανίζονται στο 20-50% των ασθενών, κατά το 2<sup>ο</sup> στάδιο στο 70-90% και κατά το 3<sup>ο</sup> στο 100% των ασθενών.

Ανάλογα με το στάδιο και την κλινική εκδήλωση της νόσου αντισώματα ανιχνεύονται, εκτός

από τον ορό, και σε άλλα κλινικά δείγματα, όπως στη νευρομπορρελώση παρατηρείται ενδορραχιαία παραγωγή αντισωμάτων.

Τα πρώτα αντισώματα που παράγονται με την έναρξη της νόσου είναι έναντι ορισμένων πρωτεΐνων αντιγόνων του μικροβίου, όπως το p41 βλεφαριδικό αντιγόνο, p21, p35 και p30. Στη συνέχεια με την πρόοδο της νόσου εμφανίζονται αντισώματα και έναντι άλλων πρωτεΐνων του μικροβίου. Επίσης κατά τη διάρκεια της νόσου παράγονται αντισώματα έναντι διαφορετικών επιτόπων της ίδιας πρωτεΐνης, οι οποίοι ενεργοποιούνται σταδιακά<sup>26</sup>. Χαρακτηριστικά τα αντισώματα έναντι της πρωτεΐνης OspC εμφανίζονται στην πρώιμη νόσο, ενώ τα αντισώματα έναντι της πρωτεΐνης OspA εμφανίζονται στην όψιμη νόσο και σχετίζονται με την εμφάνιση της αρθρίτιδας<sup>30</sup>.

Η αντισωματική απάντηση διαφέρει πολύ από ασθενή σε ασθενή και αυτό οφείλεται στη διαφορετική έκφραση των πρωτεΐνων αντιγόνων και την αντίσταση του ξενιστή. Τα αντισώματα που παράγονται δεν είναι προστατευτικά και συμβαίνει συχνά αναλοίμωξη του ίδιου ατόμου<sup>24</sup>.

Όταν η θεραπεία αρχίζει νωρίς μετά τη μόλυνση τα αντισώματα ελαττώνονται μέσα σε 3-6 μήνες. Στην όψιμη νόσο όμως παραμένουν για χρόνια, ακόμη και μετά από επιτυχημένη θεραπεία<sup>29</sup>. Αυτό οφείλεται στο γεγονός ότι κατά την πορεία της νόσου εμφανίζονται αντισώματα έναντι όλο και περισσοτέρων διαφορετικών πρωτεΐνων.

### ΔΙΑΓΝΩΣΗ

Ως Lyme ορίζεται η νόσος που χαρακτηρίζεται από την παρουσία μεταναστευτικού ερυθήματος με διάμετρο μεγαλύτερη ή ίση με 5 cm, ή από εργαστηριακή επιβεβαίωση της λοίμωξης με εκδήλωση τουλάχιστον ενός συμπτώματος από το μυοσκελετικό, νευρικό ή καρδιακό σύστημα<sup>7,23</sup>.

Η διάγνωση της νόσου παρουσιάζει σημαντικές δυσκολίες. Στο πρώιμο στάδιο στηρίζεται κυρίως στα κλινικά συμπτώματα και ιδιαίτερα στο μεταναστευτικό ερυθήμα, όταν υπάρχει. Γενικά η διάγνωση στηρίζεται στην κλινική εικόνα, στην άμεση αναζήτηση του μικροβίου ή στην καλλιέργεια και απομόνωση του μικροβίου από τα διάφορα κλινικά υλικά, στον έλεγχο της αντισωματικής απάντησης με διάφορες ανοσολογικές δοκιμασίες (ανοσοφθορισμός, ELISA, ανοσοαποτύπωση) και στην αναζήτηση του DNA του μικροβίου με μοριακές τεχνικές (PCR).

## Άμεση αναζήτηση της *B. burgdorferi*

Άμεση ανίχνευση της *B. burgdorferi* μπορεί να γίνει σε τεμάχιο βιοψίας από την περιφέρεια της δερματικής βλάβης, ούρα, ENY, αρθρικό υγρό, συνήθως με μικροσκόπιο αντίθεσης φάσεως ή σκοτεινού πεδίου ή με χρώσεις, όπως η Warthin-Starry ή acridine orange<sup>24</sup>.

## Καλλιέργεια – Απομόνωση της *B. burgdorferi*

Για την απομόνωση του μικροβίου το κλινικό υλικό το οποίο καλλιεργείται εξαρτάται από το στάδιο της νόσου και είναι ανάλογο με την κλινική μορφή, όπως τεμάχιο βιοψίας δέρματος, αίμα, πλάσμα ή ορός, ENY, αρθρικό υγρό, δείγματα βιοψίας από ήπαρ, σπλήνα, εγκέφαλο και άλλα όργανα<sup>24,31</sup>.

Η *B. burgdorferi* είναι απαιτητικό μικρόβιο και για την απομόνωσή της χρειάζονται πολύπλοκα θρεπτικά υλικά. Το θρεπτικό υλικό, που θεωρείται κλασικό για την απομόνωση του μικροβίου είναι το BSK (Barbour-Stoenner-Kelly)<sup>4</sup>. Ο χρόνος διπλασιασμού του μικροβίου είναι 10-12 ώρες. Έχουν περιγραφεί διάφορες τροποποιήσεις του υλικού αυτού με σκοπό τη μεγαλύτερη αναλογία απομόνωσης του μικροβίου<sup>24</sup>, αλλά και η χρησιμοποίηση άλλων υλικών, όπως είναι το MPM, με ιδιαίτερα καλά αποτελέσματα απομόνωσης του μικροβίου σε ασθενείς με χρόνια νόσο, ακόμη και όταν είναι σε L-μορφή, κάτι το οποίο δεν φαίνεται να επιτυγχάνεται με το υλικό BSK<sup>32</sup>.

Παρόλο που η καλλιέργεια και απομόνωση του μικροβίου είναι η μόνη σίγουρη μέθοδος για τη διάγνωση, δεν προτείνεται, γιατί είναι επίπονη, χρονοβόρα και με μικρή ευαισθησία. Η αναλογία απομόνωσης του μικροβίου από καλλιέργεια τεμαχίου βιοψίας δέρματος ή αίματος κυμαίνεται από 20-85%, ενώ στο ENY είναι πολύ μικρή κάτω από 10%<sup>33</sup>.

## Έλεγχος αντισωματικής απάντησης

Οι ορολογικές δοκιμασίες που χρησιμοποιούνται για τη διάγνωση της νόσου είναι ο ανοσοφθο-ρισμός, η ELISA και η ανοσοαποτύπωση (Western-Blot). Για την ανίχνευση των αντισωμάτων εξετάζεται αρχικά ένα δείγμα ορού και στη συνέχεια ένα δεύτερο δείγμα σε 3-6 εβδομάδες. Σημαντική αύξηση των IgM ή και των IgG αντισωμάτων μεταξύ των δύο δειγμάτων αποτελεί ισχυρό διαγνωστι-

κό κριτήριο. Όταν τα αποτελέσματα είναι αμφισβητούμενα, προτείνεται να εξετάζονται περισσότερα δείγματα ορού με μεσοδιάστημα ενός μηνός.

Η αναζήτηση των αντισωμάτων γίνεται στον ορό, άλλα και σε άλλα κλινικά δείγματα, όπως είναι το ENY για τη διάγνωση της νευρομπορρελίωσης<sup>34</sup>. Η νευρομπορρελίωση χαρακτηρίζεται από ενδορραχιαία παραγωγή IgM και IgG αντισωμάτων και η αναζήτηση τους απαραίτητα πρέπει να γίνεται συγχρόνως με την αναζήτηση των αντισωμάτων στον ορό<sup>35</sup>. Για την τεκμηρίωση της παρουσίας της μπορρελίας στο ENY και της ενδορραχιαίας παραγωγής αντισωμάτων υπολογίζεται ο δείκτης των ειδικών αντισωμάτων που είναι η σχέση του τίτλου των αντισωμάτων στο ENY προς τον τίτλο των αντισωμάτων στον ορό. Στον υπολογισμό λαμβάνεται υπόψη και η σχέση του λευκώματος του ENY προς το λευκόμα του αίματος, με σκοπό την εκτίμηση του βαθμού διαταραχής του αιματοεγκεφαλικού φραγμού. Η ευαισθησία της αναζήτησης των αντισωμάτων στο ENY φθάνει το 21% τις πρώτες 3 εβδομάδες της νόσου και το 90% μετά από 6 εβδομάδες<sup>35</sup>. Στη χρόνια νευρομπορρελίωση ανευρίσκονται μόνο IgG ειδικά αντισώματα στο ENY.

Στον ανοσοφθορισμό χρησιμοποιείται ως αντιγόνο ολόκληρο το μικροβιακό κύτταρο και οι τίτλοι που θεωρούνται θετικοί είναι >64 ή >256 ανάλογα με τα αντιδραστήρια που χρησιμοποιούνται. Συχνά όμως παρατηρούνται ψευδώς θετικά αποτελέσματα<sup>24</sup>.

Στην ELISA ως αντιγόνο χρησιμοποιήθηκε αρχικά ολόκληρο το μικροβιακό κύτταρο κατακερματισμένο με υπερήχους, με μεγάλη ευαισθησία αλλά μικρή ειδικότητα, με αποτέλεσμα μεγάλη αναλογία ψευδώς θετικών αποτελεσμάτων (30-55%)<sup>36</sup>. Στη συνέχεια με σκοπό να βελτιωθεί η ευαισθησία και κυρίως η ειδικότητα της μεθόδου χρησιμοποιήθηκαν κεκαθαριμένα αντιγόνα ή capture ELISA ή προσρόφηση με το σαπροφυτικό στέλεχος *Treponema phagedenis*, κ.α. Η παραγωγή επίσης και εφαρμογή ειδικών ανασυνδυασμένων πρωτεΐνων του μικροβίου (OspC, OspF, p22, p34, p39), αλλά και συνθετικών αντιγόνων έχει βελτιώσει αρκετά την ευαισθησία και την ειδικότητα της ELISA ιδιαίτερα στο 1<sup>ο</sup> στάδιο της νόσου<sup>37,38</sup>. Επίσης η χορήγηση γ-σφαιρίνης στον ασθενή επηρεάζει το αποτέλεσμα της ELISA και δίνει ψευδώς θετικά αποτελέσματα<sup>39</sup>.

Η ευαισθησία της ELISA στην πρώιμη νόσο με ερύθημα είναι 59-66% και 63-75% στην πρώιμη νευρομπορρελίωση<sup>40</sup>. Στην αρθρίτιδα η ευαισθη-

σία φθάνει το 89-95% και στην όψιμη νευρομπορδελώση το 91-100%<sup>40</sup>. Γενικά η ευαισθησία της ELISA εξαρτάται από το είδος του μικροβίου ή τα αντιγόνα που χρησιμοποιούνται στη μέθοδο, από το στάδιο και την κλινική μορφή της νόσου και από τη γεωγραφική περιοχή στην οποία χρησιμοποιείται.

Σε μια πολυκεντρική μελέτη στη Γερμανία με σκοπό την εκτίμηση των διαφόρων ειδών ELISA βρέθηκε ότι καλύτερη διακριτική ικανότητα στα IgM και IgG αντισώματα είχε η ELISA με αντιγόνο *B. afzelii* και τη μικρότερη η ELISA με αντιγόνο *B. burgdorferi sensu stricto* μεταξύ δειγμάτων ορού από ασθενείς με νόσο Lyme και μαρτύρων<sup>13</sup>.

Από μελέτες που έγιναν φαίνεται, ότι ο έλεγχος της avidity των IgG αντισωμάτων προσφέρει βοήθεια κυρίως στη διάγνωση του πρώιμου σταδίου όπου τα IgG χαρακτηρίζονται από χαμηλή avidity. Αντίθετα στους ασθενείς με όψιμη νόσο, αλλά και στα νυγή άτομα με ανοσία, τα IgG αντισώματα εμφανίζουν υψηλή avidity<sup>41</sup>.

Σε μια προσπάθεια να προτυποποιηθεί η διάγνωση της νόσου το CDC πρότεινε κάθε θετικό αποτέλεσμα με ανοσοφθορισμό ή ELISA να επιβεβαιώνεται με ανοσοαποτύπωση. Η ανοσοαποτύπωση χρησιμοποιείται με σκοπό να αυξήσει την ειδικότητα στην ορολογική διάγνωση της νόσου. Αποτέλεσμα αρνητικό με την ELISA ή με την ανοσοαποτύπωση θα πρέπει να θεωρείται αρνητικό για νόσο Lyme τουλάχιστον για τη στιγμή που γίνεται. Όσον αφορά την ερμηνεία της ανοσοαποτύπωσης το CDC έθεσε κριτήρια, τόσο για τα IgG, όσο και για τα IgM αντισώματα, με βάση τα οποία πρέπει να γίνεται η εκτίμηση των θετικών αποτελεσμάτων της ανοσοαποτύπωσης<sup>42</sup>.

Μετέπειτα μελέτες όμως έχουν εγείρει αμφιβολίες για την ευαισθησία και την ειδικότητα των κριτηρίων που έθεσε το CDC για την ανοσοαποτύπωση<sup>43-45</sup>. Ακόμη, επειδή τα κριτήρια αυτά δεν ήταν σίγουρο ότι μπορούν να εφαρμοστούν με επιτυχία και στην Ευρώπη, κατά το χρονικό διάστημα 1994-1996 έγινε μια πολυκεντρική μελέτη από εργαστήρια εννέα Ευρωπαϊκών χωρών με σκοπό τον καθορισμό κριτηρίων για την ερμηνεία των αποτελεσμάτων της ανοσοαποτύπωσης στην Ευρώπη<sup>46</sup>. Στη μελέτη αυτή βρέθηκε, ότι η ανοσοαποτύπωση έχει πολλά προβλήματα ερμηνείας στην Ευρώπη και εξαρτάται άμεσα από το είδος της *B. burgdorferi sensu lato* που χρησιμοποιείται ως αντιγόνο, αλλά και από την κλινική μορφή της νόσου. Η μελέτη αυτή ήταν μια προσπάθεια προτυποποίησης

της ανοσοαποτύπωσης, όμως δεν κατέληξε σε ένα απλό κανόνα αλλά σε πέντε διαφορετικούς με οκτώ ζώνες κοινής σημασίας (IgM p41, OspC-IgG p83/100, p58, p41, p39, OspC, p17), από τις οποίες πιο σημαντικές είναι οι OspC και p41 για τα IgM αντισώματα και οι p83/100 και p58 για τα IgG. Οι κανόνες αυτοί δεν μπορούν να προσαρμοστούν στο κάθε εργαστήριο, αλλά να χρησιμοποιηθούν μόνο ως οδηγοί. Σε μια άλλη μελέτη, στην οποία εξετάστηκαν οροί ασθενών από διάφορες χώρες της Ευρώπης, βρέθηκε ότι καλύτερα αποτελέσματα είχε η ανοσοαποτύπωση με αντιγόνο *B. afzelii* (PKo)<sup>47</sup>. Έτσι, προτείνεται στην Ευρώπη να χρησιμοποιούνται ορολογικές μέθοδοι που έχουν ως αντιγόνο τη *B. afzelii* για τη διάγνωση της πρώιμης και της όψιμης νόσου<sup>46,47</sup>.

Επίσης προβλήματα εδρηνείας της ανοσοαποτύπωσης προκύπτουν από την ένταση του χρώματος στις διάφορες ζώνες, ίσως αποτέλεσμα του βαθμού ανοσοαπάντησης στα διάφορα κλινικά στάδια της νόσου<sup>46</sup>.

### Αναζήτηση του DNA του μικροβίου με μοριακές τεχνικές-PCR

Τα κλινικά δείγματα στα οποία αναζητάται το DNA του μικροβίου με PCR είναι πλάσμα, τεμάχιο βιοψίας δέρματος, ENY και αρθρικό υγρό, ενώ τα ούρα δε θεωρούνται καλό κλινικό δείγμα<sup>48</sup>. Το αποτέλεσμα της PCR εξαρτάται άμεσα από το στάδιο της νόσου και το είδος του κλινικού δείγματος. Επίσης εξαρτάται από τον αριθμό των μπορεούμενων που υπάρχει στα κλινικά δείγματα, ο οποίος είναι εξαιρετικά μικρός (ιδιαίτερα στο ENY και το αρθρικό υγρό) πολλές φορές κάτω από 50 μικρόβια ανά ml<sup>35,48</sup>. Καλύτερα αποτελέσματα έχει η PCR σε τεμάχια βιοψίας δέρματος πριν από τη θεραπεία, καθώς και σε τεμάχια αρθρικού ιστού, στα οποία η ευαισθησία φθάνει το 81%<sup>49</sup>.

Έχει βρεθεί, ότι χωρίς θεραπεία το DNA του μικροβίου παραμένει στη δερματική βλάβη για 1-6 μήνες μετά την εξαφάνιση του ερυθρήματος. Ακόμη, έχει βρεθεί ότι το DNA παραμένει στο ENY και το αρθρικό υγρό για περισσότερα από 10 χρόνια από τη λοίμωξη. Έτσι, ένα θετικό αποτέλεσμα της PCR δεν σημαίνει απαραίτητα και ενεργό λοίμωξη. Μετά την έναρξη της θεραπείας όμως η PCR αποβαίνει αρνητική μέσα σε λίγες ημέρες<sup>48</sup>.

Έχουν γίνει πολλές μελέτες με διαφορετικά γονίδια-στόχους, διαφορές στα ζεύγη των εκκινητών και στην τεχνική, όπως nested PCR και real

time PCR, η οποία παρουσιάζει την καλύτερη ευαισθησία. Καλά αποτελέσματα έχει η PCR όταν χρησιμοποιείται ως στόχος το γονίδιο που κωδικοποιεί τις βλεφαρίδες<sup>48</sup>.

### Γενικές αρχές για την εκτίμηση των ορολογικών εξετάσεων

Για να υπάρχει συμφωνία μεταξύ των αποτελεσμάτων, προτάθηκαν από το CDC κάποιες γενικές αρχές για την εκτίμηση των ορολογικών εξετάσεων<sup>42</sup>.

- Όταν η διάγνωση γίνεται με ορολογικές δοκιμασίες το CDC προτείνει αρχικά να γίνεται με ευαίσθητη ELISA ή ανοσοφθορισμό και στη συνέχεια τα θετικά αποτελέσματα να επιβεβαιώνονται με ανοσοαποτύπωση.
- Δείγματα αρνητικά με ELISA ή ανοσοφθορισμό δεν πρέπει να εξετάζονται περαιτέρω.
- Όταν η ανοσοαποτύπωση γίνεται τις πρώτες 4 εβδομάδες της νόσου πρέπει να αναζητούνται και τα IgM και τα IgG αντισώματα.
- Ένα θετικό αποτέλεσμα IgM αντισωμάτων δεν αποτελεί ένδειξη ενεργού νόσου σε περίπτωση που η διάρκειά της είναι μεγαλύτερη από ένα μήνα, γιατί είναι πολύ πιθανό το αποτέλεσμα να είναι ψευδώς θετικό.
- Πρέπει να εξετάζονται δύο ή περισσότερα δείγματα ορού.
- Ασθενείς με όψιμο στάδιο νόσου έχουν συνήθως μόνο IgG αντισώματα.

### Προβλήματα κατά τη διάγνωση της νόσου

Κατά τη διάγνωση της νόσου όμως προκύπτουν πολλά προβλήματα τα οποία οφείλονται στο ότι:

- Τα κλινικά συμπτώματα πολλές φορές είναι ασαφή και μοιάζουν με τα συμπτώματα πολλών άλλων νόσων.
- Συχνά η λοιμωξη είναι αφανής με αποτέλεσμα την ύπαρξη αντισωμάτων χωρίς κλινικά συμπτώματα.
- Η εμφάνιση των αντισωμάτων καθυστερεί πολύ σε σχέση με την έναρξη των συμπτωμάτων.
- Η παραμονή των αντισωμάτων για μεγάλο χρονικό διάστημα ακόμη και μετά τη θεραπεία δημιουργεί πρόβλημα στη διάγνωση της όψιμης νόσου, ιδιαίτερα στις ενδημακές περιοχές.
- Συχνά παρατηρούνται ψευδώς θετικά αποτελέσματα στις ορολογικές δοκιμασίες λόγω διασταυρούμενων αντιδράσεων με άλλες νόσους (σύφιλη, ερυθματώδη λύκο, λοιμώδη μονοπυρήνωση, υπόστροφο πυρετό)<sup>24</sup>.

• Δεν έχουν προτυποποιηθεί οι ορολογικές μέθοδοι, με αποτέλεσμα να παρατηρούνται μεγάλες διαφορές στα αποτελέσματα των διαφόρων εργαστηρίων, ακόμη και στα ίδια δείγματα<sup>13</sup>. Το πρόβλημα αυτό επιτείνεται από τη μεγάλη ετερογένεια που παρατηρείται μεταξύ των στελεχών, από τα διάφορα αντιγόνα που χρησιμοποιούνται στις ορολογικές μεθόδους, καθώς και από την διαφορετική γεωγραφική κατανομή των ειδών, ιδιαίτερα στην Ευρώπη όπου επικρατούν και τα τρία είδη. Επίσης η ερμηνεία των αποτελεσμάτων των εργαστηριακών εξετάσεων είναι προβληματική εξ αιτίας των διαφορών που υπάρχουν στην ευαίσθησία και την ειδικότητα μεταξύ των διαφόρων μεθόδων.

### Ορολογική διάγνωση ανάλογα με την κλινική μορφή της νόσου

Η προσέγγιση της ορολογικής διάγνωσης της νόσου εξαρτάται από την κλινική μορφή και το στάδιο της νόσου (<http://www.dis.strath.ac.uk/lymeEU/>). Γενικά η διάγνωση της νόσου στηρίζεται σε συνδυασμό των αποτελεσμάτων των διαφόρων εργαστηριακών εξετάσεων (Πίν. 1).

Στους ασθενείς με μεταναστευτικό ερύθημα η διάγνωση στηρίζεται κυρίως στα κλινικά ευρήματα. Επιβεβαιώνεται με την ανεύρεση σημαντικής αύξησης των IgM ή και IgG αντισωμάτων μεταξύ δύο δειγμάτων ορού, τα οποία λαμβάνονται το πρώτο κατά την πρώτη επίσκεψη του ασθενούς και το δεύτερο 3-6 εβδομάδες αργότερα. Σημαντική ελάττωση του τίτλου των αντισωμάτων παρατηρείται μεταξύ ενός δείγματος που λαμβάνεται κατά την έναρξη της θεραπείας και ενός άλλου που λαμβάνεται 3 μήνες αργότερα.

Η διάγνωση του λεμφοκυττώματος στηρίζεται στην ανεύρεση αύξησης των IgM ή και IgG αντισωμάτων μεταξύ δύο δειγμάτων ορού, τα οποία λαμβάνονται το πρώτο κατά την πρώτη επίσκεψη και το δεύτερο 3-6 εβδομάδες αργότερα. Σημαντική ελάττωση του τίτλου των αντισωμάτων παρατηρείται μεταξύ ενός δείγματος που λαμβάνεται κατά την έναρξη της θεραπείας και ενός άλλου που λαμβάνεται τρεις μήνες αργότερα.

Στη χρόνια ατροφική ακροδερματίτιδα η διάγνωση στηρίζεται στην ανεύρεση ειδικών IgG αντισωμάτων σε αυξημένους τίτλους στον ορό.

Σημαντική αύξηση των IgM ή και IgG αντισωμάτων μεταξύ δύο δειγμάτων ορού είναι σοβαρή ένδειξη για τη διάγνωση της πρόσφατης νευρο-

**Πίνακας 1.** Εργαστηριακή διάγνωση ανάλογα με την κλινική μορφή

Κλινική μορφή	Εργαστηριακή διάγνωση
Μεταναστευτικό ερύθημα	<ul style="list-style-type: none"> <li>- Η διάγνωση στηρίζεται κυρίως στα κλινικά ευρήματα.</li> <li>- Ανίχνευση του μικροβίου σε τεμάχιο βιοψίας δέρματος με καλλιέργεια ή PCR.</li> <li>- Επιβεβαίωση με την ανεύρεση σημαντικής αύξησης των IgM ή/και IgG αντισωμάτων μεταξύ δύο δειγμάτων ορού.</li> </ul>
Λεμφοκύττωμα	<ul style="list-style-type: none"> <li>- Αύξηση των IgM ή και IgG αντισωμάτων μεταξύ δύο δειγμάτων ορού.</li> <li>- στολογική ένδειξη ψευδολεμφοκυττώματος Β-κυττάρων</li> </ul>
Χρόνια ατροφική ακροδερματίτιδα	<ul style="list-style-type: none"> <li>- Ανεύρεση ειδικών IgG αντισωμάτων σε αυξημένους τίτλους στον ορό.</li> <li>- Ανίχνευση του μικροβίου σε τεμάχιο βιοψίας δέρματος με καλλιέργεια ή PCR.</li> </ul>
Πρόσφατη νευρομπορρελίωση	<ul style="list-style-type: none"> <li>- Αύξηση των λεμφοκυττάρων στο ENY.</li> <li>- Αύξηση των IgM ή και IgG αντισωμάτων στο ENY ή και στον ορό.</li> <li>- Ανίχνευση του μικροβίου στο ENY με καλλιέργεια ή PCR.</li> <li>- Ανεύρεση ειδικών IgG αντισωμάτων στο ENY, αλλά και στον ορό.</li> <li>- Αύξηση των λεμφοκυττάρων στο ENY.</li> </ul>
Χρόνια νευρομπορρελίωση	<ul style="list-style-type: none"> <li>- Αύξηση των IgM ή/και IgG αντισωμάτων ή υψηλά επίπεδα IgG ειδικών αντισωμάτων μεταξύ δύο δειγμάτων ορού.</li> <li>- Ανίχνευση του μικροβίου με PCR ή καλλιέργεια στο αρθρικό υγρό</li> </ul>
Αρθρίτιδα	<ul style="list-style-type: none"> <li>- Αύξηση των IgM ή και IgG αντισωμάτων ή υψηλά επίπεδα IgG ειδικών αντισωμάτων μεταξύ δύο δειγμάτων ορού.</li> <li>- Ανίχνευση του μικροβίου με PCR ή καλλιέργεια στο αρθρικό υγρό</li> </ul>

μποροελίωσης. Τα αντισώματα όμως μερικές φορές εμφανίζονται νωρίτερα στο ENY από ότι στον ορό. Έτσι είναι απαραίτητη η ανίχνευση των αντισωμάτων στο ENY και απαραίτητη η σύγχρονη εξέταση ορού και ENY για τη διάγνωση της νόσου.

Για τη διάγνωση της χρόνιας νευρομπορρελίωσης είναι σημαντική η ανεύρεση ειδικών IgG αντισωμάτων στο ENY, αλλά και στον ορό. Η εξέταση ορού και ENY πρέπει να γίνεται συγχρόνως. Η ανίχνευση ειδικών αντισωμάτων στο ENY επιτρέπει τη διάγνωση της νευρομπορρελίωσης σε 80-100% των περιπτώσεων, γιατί αποτελεί το κύριο χαρακτηριστικό της νόσου και το κυριότερο κριτήριο για τη διαφορική διάγνωση από παρόμοιες κλινικές καταστάσεις (πολλαπλή σκλήρυνση).

Η δοκιμασία που χρησιμοποιείται ως πρώτη επιλογή για τη διάγνωση της αρθρίτιδας είναι η αναζήτηση των ειδικών αντισωμάτων. Σημαντική αύξηση των IgM ή και IgG αντισωμάτων ή υψηλά επίπεδα IgG ειδικών αντισωμάτων μεταξύ δύο δειγμάτων ορού είναι σοβαρή ένδειξη για τη διάγνωση της πρώιμης αρθρίτιδας. Η διάγνωση της χρόνιας αρθρίτιδας στηρίζεται κυρίως στην ανεύρεση υψηλών επιπέδων IgG ειδικών αντισωμάτων. Επειδή η αρθρίτιδα αποτελεί σχεδόν πάντοτε επιπλοκή της λοίμωξης που διαρκεί μήνες ή χρόνια, ψευδώς αρνητικά αποτελέσματα των ορολογικών δοκιμασιών σπάνια εμφανίζονται. Σε τετοιες περιπτώσεις με αρνητικές ορολογικές δοκιμασίες στον ορό ένα θετικό αποτέλεσμα της PCR στο αρθρικό υγρό θα πρέπει να θεωρείται ψευδώς θετικό<sup>50</sup>.

## ΘΕΡΑΠΕΙΑ

Η έγκαιρη διάγνωση της νόσου έχει μεγάλη σημασία για την έγκαιρη έναρξη της θεραπείας με αντιβιοτικά, η οποία είναι απαραίτητη και αποτελεσματική. Η κατάλληλη θεραπεία προλαμβάνει την εμφάνιση των δευτεροπαθών βλαβών της νόσου. Όταν η νόσος επεκταθεί σε άλλα όργανα η αποτελεσματικότητα της θεραπείας είναι περιορισμένη, γιατί το μικρόβιο καταλαμβάνει θέσεις στις οποίες δύσκολα επηρεάζεται από τα αντιβιοτικά<sup>51</sup>.

Για τη θεραπεία της νόσου στα δύο πρώτα στάδια, χωρίς την παρουσία νευρολογικών και καρδιακών εκδηλώσεων, συνιστάται η χορήγηση doxycycline, ή amoxicillin, για 14-28 ημέρες<sup>17,51</sup>. Στα παιδιά (<8 χρόνων) και τις έγκυες χορηγείται penicillin, amoxicillin, cefuroxime ή erythromycin. Για τη θεραπεία των ασθενών με σοβαρότερες επιπλο-κές, όπως αρθρίτιδα, μηνιγγίτιδα ή καρδιακές εκδηλώσεις, συνιστάται η θεραπεία με ceftriaxone, penicillin, cefotaxime ή doxycycline για 4 εβδομάδες<sup>17</sup>.

Η επιτυχία της θεραπείας συνήθως στηρίζεται σε κλινικά κριτήρια και δεν είναι απαραίτητος ο προσδιορισμός των αντισωμάτων για τον έλεγχο της αποτελεσματικότητάς της.

## ΠΡΟΛΗΨΗ ΤΗΣ ΝΟΣΟΥ

Για την προφύλαξη από τη νόσο είναι απαραίτητη η εφαρμογή των παρακάτω προφυλακτικών μέτρων, ιδιαίτερα στις ενδημικές περιοχές:

- Αποφυγή επαφής με κρότωνες.
- Επάλευψη με εντομοαπωθητικό.
- Κατά την παραμονή σε περιοχές που υπάρχουν

κρότωνες είναι απαραίτητη ενδυμασία ανοικτού χρώματος με μακριά μανίκια και μακριά παντελόνια.

- Κατά την παραμονή σε περιοχές που υπάρχουν κρότωνες το κάτω μέρος του παντελονιού να τοποθετείται μέσα στις κάλτσες.
- Συχνός έλεγχος των εκτεθειμένων σημείων του σώματος για παρουσία κροτώνων.
- Απομάκρυνση όσο το δυνατόν πιο γρήγορα του κρότωνα από το δέρμα με μικρή λαβίδα.
- Με την εμφάνιση συμπτωμάτων ενδεικτικών της νόσου απαιτείται άμεση επίσκεψη σε γιατρό.
- Σε περίπτωση δήγματος από κρότωνα η γενική άποψη είναι ότι δεν απαιτείται χημειοπροφύλαξη. Κατά μια αντίθετη άποψη όμως συνιστάται η χορήγηση doxycycline ή amoxicillin για 10 ημέρες ή μία δόση doxycycline<sup>51</sup>.

Στην Αμερική κυκλοφόρησε εμβόλιο (Lymerix, SmithKline Beecham) για την πρόληψη της νόσου, το οποίο είναι δραστικό μόνο έναντι της *B. burgdorferi* sensu stricto. Παρασκευάζεται από μια ανασυνδυασμένη πρωτεΐνη της εξωτερικής μεμβράνης, την OspA, γίνεται σε τρεις δόσεις, η αποτελεσματικότητά του είναι 80%, αλλά παρέχει προστασία για μικρό χρονικό διάστημα, για μερικούς μήνες. Η χορήγησή του συνιστάται σε άτομα ηλικίας 15-70 ετών που ζουν σε ενδημικές περιοχές με συνεχή έκθεση σε κρότωνες, σε ταξιδιώτες 15-70 ετών σε ενδημικές περιοχές και τέλος σε άτομα 15-70 ετών με προηγούμενη νόσο χωρίς επιπλοκές, οι οποίοι βρίσκονται σε συνεχή κίνδυνο. Η χορήγησή του δεν ενδείκνυται σε έγκυες και παιδιά κάτω των 15 ετών. Χρήσιμες πληροφορίες για την προφύλαξη και για την πρόληψη της νόσου δίνονται στην ηλεκτρονική διεύθυνση του CDC (<http://www.cdc.gov/incidod/dvbid/lyme>).

Υπάρχει όμως ένα σημαντικό πρόβλημα όσον αφορά στο εμβόλιο αυτό, γιατί η πρωτεΐνη OspA πιστεύεται ότι προκαλεί αυτοάνοση αντίδραση που οδηγεί σε αρθρίτιδα<sup>12</sup>. Επίσης ένα άλλο μειονέκτημα του εμβολίου είναι η ετερογένεια της OspA που παρατηρείται μεταξύ των διαφόρων ειδών της *B. burgdorferi*, με αποτέλεσμα να μην μπορεί να χορηγηθεί σε άλλες χώρες εκτός της Αμερικής<sup>52</sup>. Λόγω όλων αυτών των προβλημάτων, αλλά και για οικονομικούς λόγους το Φεβρουάριο του 2002 η Εταιρεία αποφάσισε να σταματήσει την παραγωγή του εμβολίου.

Η παρασκευή πολυδύναμου OspA εμβολίου θα μπορούσε να προσφέρει ικανή διασταύρωμε-

νη προστασία στα διάφορα μέρη του κόσμου. Για να χορηγηθεί το εμβόλιο στην Ευρώπη πρέπει να περιέχει επιπλέον την OspA πρωτεΐνη των άλλων δύο ειδών, της *B. garinii* και της *B. afzelii*.

## ΜΕΛΕΤΗ ΤΗΣ ΝΟΣΟΥ ΣΤΗΝ ΕΛΛΑΔΑ

Ελάχιστες είναι οι μελέτες στον ελληνικό χώρο σχετικά με τη νόσο. Αναφέρονται κυρίως στην αναζήτηση αντισωμάτων σε τυχαίο υγιή πληθυσμό με ELISA ή και ανοσοφθορισμό, ενώ σε λίγες από αυτές ακολουθεί επιβεβαίωση με ανοσοαποτύπωση.

Αναφέρεται αναζήτηση αντισωμάτων σε τυχαίο υγιή πληθυσμό με αναλογία ανεύρεσης 14,78% με ELISA και IFA<sup>53</sup>. Από την αναζήτηση των αντισωμάτων σε αθίγγανους αυτά βρέθηκαν σε αναλογία 1,1%<sup>54</sup>. Πρέπει όμως να τονιστεί ότι σε αυτές τις μελέτες η αναζήτηση των αντισωμάτων έγινε με ELISA ή ανοσοφθορισμό χωρίς επιβεβαίωση με ανοσοαποτύπωση. Αντίθετα σε μια άλλη μελέτη η οποία αναφέρεται στην αναζήτηση IgG αντισωμάτων σε ναύτες η αναλογία ανεύρεσης με ELISA ήταν πολύ χαμηλότερη (3,27%) και ακόμη χαμηλότερη μετά την επιβεβαίωση με ανοσοαποτύπωση (0,27%)<sup>55</sup>. Επίσης σε μια άλλη μελέτη περιγράφεται περίπτωση ασθενούς με νευρολογικές διαταραχές στον οποίο η διάγνωση στηρίχθηκε σε αναζήτηση αντισωμάτων στον ορό μόνο (όχι στο ENY) και μόνο με ELISA και ανοσοφθορισμό χωρίς επιβεβαίωση με ανοσοαποτύπωση και χωρίς διαφορά τίτλου μεταξύ των δύο δειγμάτων ορού που εξετάστηκαν<sup>56</sup>. Από την αναζήτηση των αντισωμάτων έναντι της *B. burgdorferi* σε ασθενείς με αρθρίτιδα προέκυψε ότι οι περιπτώσεις Lyme αρθρίτιδας είναι σπάνιες στη Βόρεια Ελλάδα<sup>57</sup>. Η μελέτη της νόσου στην Ελλάδα είναι φτωχή, αλλά παρόλα αυτά κατά γενική εκτίμηση η συχνότητα στη χώρα μας είναι μικρή. Βέβαια από άλλους υποστηρίζεται ότι η μικρή συχνότητα της νόσου πιθανώς να είναι αποτέλεσμα υπεκτίμησής της.

## ABSTRACT

*Kansouzidou A. Lyme Borreliosis. Hell Iatr 2004, 70: 17-29.*

Lyme borreliosis, a multi-system illness, is the most prevalent vector-borne disease in the USA. The disease is also endemic in some parts of Europe. Lyme borreliosis is caused by a cultivable spirochete *Borrelia burgdorferi* sensu lato, which includes three genospecies *B. burgdorferi* sensu stricto,

*Borrelia afzelii* and *Borrelia garinii*. The Lyme disease spirochete *B. burgdorferi* is transmitted to humans by *Ixodes* ticks. These include *I. dammini* (*I. scapularis*) and *I. pacificus* in USA and *I. ricinus* in Europe. Reservoirs are small animals (rodents), but large animals are also important for the life cycle of the tick. Lyme disease generally occurs in three stages with different clinical manifestations at each stage. The most important of the clinical manifestations are erythema migrans, meningitis, arthritis, myopericarditis, acrodermatitis and encephalomyelitis. Of the genospecies, *Borrelia afzelii* has predominantly been associated with acrodermatitis chronica atrophicans, *Borrelia garinii* with neurological manifestations and *B. burgdorferi* sensu stricto with arthritis, while erythema migrans is caused by all three genospecies. The diagnosis of the disease is based on the recognition of typical clinical signs and is supported by laboratory tests. Since the culture or direct visualization of *B. burgdorferi* from patient specimens is difficult, the diagnosis of the disease is usually supported by serologic methods as Immunofluorescence, ELISA and Western Blot as confirmation. As false positive serologic results may usually occur, the CDC suggests a two-step diagnostic approach: first use a sensitive ELISA or immunofluorescence followed by a more specific immunoblot test for all serum samples with a borderline or reactive ELISA result. PCR assays are also available for detecting the DNA of the agent of Lyme disease. For the prevention of the disease, personal preventive measures and also a vaccine are recommended. It is believed that the disease is of low frequency in our country.

### ΒΙΒΛΙΟΓΡΑΦΙΑ

1. Steere AC, Malawista SE, Syndman DR, et al. Lyme arthritis: an epidemic of oligoarticular arthritis in children and adults in three Connecticut communities. *Arthritis Rheum* 1977, 20: 7-17.
2. Burgdorfer W, Barbour AG, Hayes SF, Benach JL, Grunwaldt E, Davis JP. Lyme disease – a tick-borne spirochosis? *Science* 1982, 216: 1317-9.
3. Steere AC, Grodzicki RL, Kornblatt AN, et al. The spirochetal etiology of Lyme disease. *N Engl J Med* 1983, 308: 733-40.
4. Barbour AG, Burgdorfer W, Hayes SF, Peter O, Aeschlimann A. Isolation of a cultivable spirochete from *Ixodes ricinus* ticks in Switzerland. *Curr Microbiol* 1983, 8: 123-6.
5. Johnson R, Schmidt GP, Hyde FW, Stiegerwalt AC, Brenner DJ. *Borrelia burgdorferi* sp. Nov.: etiologic agent of Lyme disease. *Int J Syst Bacteriol* 1984, 34: 496-7.
6. CDC. Lyme disease – United States, 1996. *Morbid Mortal Weekly Re* 1997, 46: 531-3.
7. CDC. Lyme disease – United States, 2000. *Morbid Mortal Weekly Re* 2002, 51: 29-31.
8. Berglund J, Eitrem R, Ornstein K, et al. An epidemiologic study of Lyme disease in southern Sweden. *N Engl J Med* 1995, 333: 1319-24.
9. Granstrom M. Tick-borne zoonoses in Europe. *Clin Microbiol Infect* 1997, 3: 156-69.
10. Schwan TG, Piesman J. Vector interactions and molecular adaptations of Lyme disease and Relapsing Fever spirochetes associated with transmission by ticks. *Emerg Infect Dis* 2002, 8: 115-21.
11. Steere AC. Lyme disease. *N Engl J Med* 1989, 321: 586-96.
12. Wang G, van Dam AP, Schwartz I, Dankert J. Molecular typing of *Borrelia burgdorferi* sensu lato: taxonomic, epidemiological and clinical implications. *Clin Microbiol Rev* 1999, 12: 633-53.
13. Hauser U, Krahl H, Peters H, Fingerle V, Wilske B. Impact of strain heterogeneity on Lyme disease serology in Europe: comparison of enzyme-linked immunosorbent assays using different species of *Borrelia burgdorferi* sensu lato. *J Clin Microbiol* 1998, 36: 427-36.
14. Wang G, van Dam AP, Le Fleche A, et al. Genetic and phenotypic analysis of *Borrelia valaisiana* sp. nov. (Borrelia genomic groups VS116 and M19). *Int J Syst Bacteriol* 1997, 47: 926-32.
15. Des Vignes F, Piesman J, Heffernan R, Schulze TL, Stafford III KC, Fish D. Effect of tick removal on transmission of *Borrelia burgdorferi* and *Ehrlichia phagocytophila* by *Ixodes scapularis* nymphs. *J Infect Dis* 2001, 183: 773-8.
16. CDC. Current trends update: Lyme disease and cases occurring during pregnancy – United States. 1985, 34: 383-4.
17. Thompson C, Spielman A, Krause PJ. Coinfecting deer-associated zoonoses: Lyme disease, Babesiosis and Ehrlichiosis. *Clin Infect Dis* 2001, 33: 676-85.
18. Exner MM, Wu X, Blanco DR, Miller JN, Lovett MA. Protection elicited by native outer membrane protein Oms66 (p66) against host-adapted *Borrelia burgdorferi*: Conformational nature of bactericidal epitopes. *Infect Immun* 2000, 68: 2647-54.
19. Hanson MS, Gassatt DR, Guo BP, et al. Active and passive immunity against *Borrelia burgdorferi* decorin binding protein A (DpbA) protects against infection. *Infect Immun* 1998, 66: 2143-53.
20. Anguita J, Samanta S, Revilla B, et al. *Borrelia burgdorferi* gene expression in vivo and spirochete pathogenicity. *Infect Immun* 2000, 68: 1222-30.
21. Baranton G, Seinost G, Theodore G, Postic D, Dykhuizen D. Distinct levels of genetic diversity of *Borrelia burgdorferi* are associated with different aspects of pathogenicity. *Res Microbiol* 2001, 152: 149-56.
22. Ganapamo F, Dennis VA, Philipp MT. *Borrelia burgdorferi* stimulates in vitro a selective expansion of CD3-CD4-CD8- (triple negative) autoreactive cells in naïve Rhesus Monkey lymphocytes. *J Infect Dis* 2001, 183:

- 1221-8.
23. *CDC*. Case definitions for infectious conditions under public health surveillance. *Morb Mortal Weekly Rep* 1997, 46 (RR-10): 20-1.
  24. *Barbour AG*. Laboratory aspects of Lyme Borreliosis. *Clin Microbiol Rev* 1988, 1: 399-414.
  25. *Gerber MA, Zemel LS, Shapiro ED*. Lyme arthritis in children: clinical epidemiology and long-term outcomes. *Pediatrics* 1998, 102: 905-8.
  26. *Kalish RA, Leong JM, Steere AC*. Early and late antibody responses to full-length and truncated constructs of outer surface protein A of *Borrelia burgdorferi* in Lyme disease. *Infect Immun* 1995, 63: 2228-35.
  27. *Lunemann JD, Zarmas S, Priem S, et al*. Rapid typing of *Borrelia burgdorferi* sensu lato species in specimens from patients with different manifestations of Lyme borreliosis. *J Clin Microbiol* 2001, 39: 1130-3.
  28. *Brunner M, Sigal LH*. Use of serum immune complexes in a new test that accurately confirms early Lyme disease and active infection with *Borrelia burgdorferi*. *J Clin Microbiol* 2001, 39: 3213-21.
  29. *Kalish RA, McHugh G, Granquist J, Shea B, Ruthazer R, Steere AC*. Persistence of immunoglobulin M or immunoglobulin G antibody responses to *Borrelia burgdorferi* 10-20 years after active Lyme disease. *Clin Infect Dis* 2001, 33: 780-5.
  30. *Akin E, McHugh GL, Flavell RA, Fikrig E, Steere AC*. The immunoglobulin (IgG) antibody response to OspA and OspB correlates with severe and prolonged Lyme arthritis and the IgG response to P35 correlates with mild and brief arthritis. *Infect Immun* 1999, 67: 173-81.
  31. *Karlsson M, Hovind-Hougen K, Svenungsson B, Stiernstedt G*. Cultivation and characterization of spirochetes from cerebrospinal fluid of patients with Lyme disease. *J Clin Microbiol* 1990, 28: 473-9.
  32. *Phillips SE, Mattman LH, Hulinska D, Moayad H*. A proposal for the reliable culture of *Borrelia burgdorferi* from patients with chronic Lyme disease, even from those previously aggressively treated. *Infection* 1998, 26: 18-21.
  33. *Marques AR, Stock F, Gill V*. Evaluation of a new culture medium for *Borrelia burgdorferi*. *J Clin Microbiol* 2000, 38: 4239-41.
  34. *Stiernstedt GT, Granstrom M, Hederstedt B, Skoldenberg B*. Diagnosis of spirochetal meningitis by enzyme-linked immunosorbent assay and indirect immunofluorescence assay in serum and cerebrospinal fluid. *J Clin Microbiol* 1985, 21: 819-25.
  35. *Zbinden R, Goldenberger D, Martenetti Lucchini G, Altweig M*. Comparison of two methods for detecting intrathecal synthesis of *Borrelia burgdorferi*-specific antibodies and PCR for diagnosis of Lyme Neuroborreliosis. *J Clin Microbiol* 1994, 32: 1795-8.
  36. *Bakken LL, Callister SM, Wand PJ, Schell RF*. Interlaboratory comparison of test results for detection of Lyme disease by 516 participants in the Wisconsin State Laboratory of Hygiene/College of American Pathologists proficiency testing program. *J Clin Microbiol* 1997, 35: 537-43.
  37. *Ting Liang F, Steere AC, Marques AR, Johnson BJB, Miller JN, Philipp MT*. Sensitive and specific serodiagnosis of Lyme disease by enzyme-linked immunosorbent assay with a peptide based on an immunodominant conserved region of *Borrelia burgdorferi* VisE. *J Clin Microbiol* 1999, 37: 3990-6.
  38. *Magnarelli LA, Ijdo JW, Padula SJ, Flavell RA, Fikrig E*. Serologic diagnosis of Lyme Borreliosis by using enzyme-linked immunosorbent assays with recombinant antigens. *J Clin Microbiol* 2000, 38: 1735-9.
  39. *Luyasu V, Mullier S, Bauraind O, Dupuis M*. A usual case of anti-*Borrelia burgdorferi* immunoglobulin G seroconversion caused by administration of intravenous gammaglobulins. *Clin Microbiol Infect* 2001, 7: 697-9.
  40. *Craven RB, Quan TJ, Bailey RE, et al*. Improved serodiagnostic testing for Lyme disease: results of a multi-center serologic evaluation. *Emerg Infect Dis* 1996, 2: 136-40.
  41. *Rauer S, Beilich P, Neubert U, Rasiah C, Kaiser R*. Avidity determination of *Borrelia burgdorferi*-specific IgG antibodies in Lyme disease. *Scand J Infect Dis* 2001, 33: 809-11.
  42. *CDC*. Notice to readers recommendations for test performance and interpretation from the Second National Conference on Serologic Diagnosis of Lyme Disease. *Morbid Mortal Weekly Rep* 1995, 44: 590-1.
  43. *Hilton E, Devoti J, Sood S*. Recommendation to include OspA and OspB in the new immunoblotting criteria for serodiagnosis of Lyme disease. *J Clin Microbiol* 1996, 34: 1353-4.
  44. *Ponwancher R*. A reanalysis of IgM Western Blot criteria for the diagnosis of Early Lyme disease. *J Infect Dis* 1999, 179: 1021-4.
  45. *Gilmore RD, Murphree RL, James AM, Sullivan SA, Johnson BJB*. The *Borrelia burgdorferi* 37-kilodalton immunoblot band (P37) used in serodiagnosis of early Lyme disease is the flaA gene product. *J Clin Microbiol* 1999, 37: 548-52.
  46. *Robertson J, Guy E, Andrews N, et al*. A European multi-center study of immunoblotting in serodiagnosis of Lyme Borreliosis. *J Clin Microbiol* 2000, 38: 2097-102.
  47. *Hauser U, Lehnert G, Wilske B*. Validity of interpretation criteria for standardized Western Blots (Immunoblots) for serodiagnosis of Lyme Borreliosis based on sera collected throughout Europe. *J Clin Microbiol* 1999, 37: 2241-7.
  48. *Schmidt BL*. PCR in laboratory diagnosis of human *Borrelia burgdorferi* infections. *Clin Microbiol Rev* 1997, 10: 185-201.
  49. *Nowakowski J, Schwartz I, Liveris D, et al*. Laboratory diagnostic techniques for patients with early Lyme disease associated with erythema migrans: a comparison of different techniques. *Clin Infect Dis* 2001, 33: 2023-7.
  50. *Molloy PJ, Persing DH, Berardi VP*. False-positive results of PCR testing for Lyme disease. *Clin Infect Dis* 2001, 33: 412-3.
  51. *Murray T, Feder HM*. Management of tick bites and early Lyme disease: A survey of Connecticut physicians. *Pediatrics* 2001, 108: 1367-70.

52. *Luft BJ, Dunn JJ, Lawson CL.* Approaches toward the directed design of a vaccine against *Borrelia burgdorferi*. *J Infect Dis* 2002, 185(suppl 1): 46-51.
53. *Sticht-Groh V, Chatzipanagiotou S, Raptou V.* Antibody determinations against the causative agent of Lyme disease (*Borrelia burgdorferi*) in randomly collected sera in Athens, Greece. *Δελτ Ελλην Μικροβιολ Εταιρ* 1987, 32: 234-46.
54. *Chatzipanagiotou S, Papandreou-Rakitzis P, Palamou-Ladas H, Antoniou P.* Determination of antibody titres for *Borrelia burgdorferi* in the serum of Gypsies living in Attika, Greece. *Eur J Clin Microbiol Infect Dis* 1992, 11: 477-8.
55. *Stamouli M, Totos G, Braun H-B, Michel G, Gizaris V.* Very low seroprevalence of Lyme borreliosis in young Greek males. *Eur J Epidemiol* 2000, 16: 495-6.
56. *Χατζηπαναγιώτου Σ, Ταβερναράκης Α, Μπαλάκας Ν, Μαλάμουν-Λαδά Ε.* Νευρολογική περίπτωση νόσου Lyme στην περιοχή Αθηνών. *Εφαρμ Κλιν Μικροβιολ Εργαστ Διαγν* 1991, 6: 38-40.
57. *Σέττας Λ, Διζα Ε, Κυριαζοπούλου Β, et al.* Ανεύρεση αντισωμάτων έναντι *Mπορρέλιας burdorferi* σε ασθενείς με αρθρίτιδα στην περιοχή της Μακεδονίας και Θράκης. *Ελλην Ρευματολογία* 1996, 7: 11-20.

**Αλληλογραφία:**

Α. Κανσουζίδου-Κανακούδη  
Κορυτσάς 14  
551 33 Θεσσαλονίκη

**Corresponding author:**

A. Kansouzidou-Kanakoudi  
14, Koritsas Str.  
551 33 Thessaloniki  
Greece

## Οίδημα ανθεκτικό στη διουρητική αγωγή: Αιτίες και αντιμετώπιση

Κώστας Μαυροματίδης

Νεφρολογικό Τμήμα, Νοσοκομείο Κομοτηνής

**Περιληψη.** Ο οιδηματικός ασθενής αποτελεί καθημερινό πρόβλημα στην κλινική πράξη, διότι η ανάγκη αφαίρεσης υγρών είναι πολλές φορές επεγγουσα και επιτακτική. Πόσο εύκολο είναι όμως να αντιμετωπίζονται αποτελεσματικά τέτοιες περιπτώσεις; Η απάντηση είναι ότι, αν και είναι δύσκολο να επιτευχθεί ένα ικανοποιητικό διουρητικό αποτέλεσμα, τελικά αυτό επιτυγχάνεται τις περισσότερες φορές. Πρέπει να επισημανθεί, ότι κάθε περίπτωση οιδηματικού ασθενή είναι ιδιαίτερη και χρειάζεται εξειδικευμένη εκτίμηση και αντιμετώπιση. Γενικά όμως είναι απαραίτητο να αποκαλύπτονται οι μηχανισμοί που ευθύνονται για την αυξημένη κατακράτηση υγρών και τη μειονεκτική απάντηση του νεφρού στα διουρητικά και κατόπιν η εφαρμογή ως αντίδοτου των μέσων που τους

εξουδετερώνουν, αποτελεί τις περισσότερες φορές τη λύση. Τέλος, επειδή πολλές φορές η προσπάθεια για επίτευξη διουρησης είναι έντονη, οι ενέργειες μας μπορεί να οδηγήσουν τον ασθενή στην αντίθετη πλευρά (έντονη αφυδάτωση, επιβάρυνση νεφρικής λειτουργίας κ.ά.). Για το λόγο αυτό είναι σκόπιμο να ελέγχεται συχνά, έτσι ώστε να προλαμβάνονται τέτοιες καταστάσεις. Η καλή γνώση της φυσιολογίας και των μηχανισμών που ευθύνονται για τη δημιουργία του οιδήματος, η καλή γνώση των μηχανισμών δράσης των διουρητικών και αυτών που εξουδετερώνουν την αποτελεσματικότητά τους, αποτελεί το κλειδί λύσης του προβλήματος που ονομάζεται "οίδημα ανθεκτικό στα διουρητικά".

Ελλην Ιατρ 2004, 70: 30 - 35.

Η θεραπεία του οιδηματικού ασθενή αρχίζει με διουρητικά της αγκύλης, τα οποία είναι ισχυρά και αποδίδουν τα μέγιστα στις καταστάσεις αυτές. Επιπλέον, οι νεφροί όπως διαπιστώθηκε πειραματικά, προσαρμόζουν τη λειτουργία τους σε περιπτώσεις χρόνιας λήψης διουρητικών. Έτσι τα τμήματα των σωληναρίων που βρίσκονται μετά το σημείο δράσης του διουρητικού που προκαλεί αύξηση της αποβολής του NaCl, αυξάνουν την επαναρρόφηση του NaCl, επειδή αυξάνεται το φροτίο που φθάνει στα σημεία αυτά. Δεύτερον, όταν η συγκεντρωση του διουρητικού στα σωληνάρια μειώνεται, αυτά αυξάνουν την επαναρρόφηση του NaCl, μέχρι να δοθεί η επόμενη δόση του. Τρίτον, η ικανότητα του διουρητικού να αυξήσει την αποβολή του NaCl μειώνεται με την πρόσοδο του χρόνου, γεγονός που

οφείλεται τόσο στην μείωση του όγκου των εξωκυττάριου χώρου, όσο και σε μεταβολές της δομής και λειτουργίας των σωληναρίων. Όλες οι παραπάνω αλλαγές αυξάνουν το ρυθμό της επαναρρόφησης του NaCl και με τον τρόπο αυτό αμβλύνουν την αποτελεσματικότητα των διουρητικών<sup>1</sup>. Τέλος, όσον αφορά στους κιρρωτικούς ασθενείς είναι γνωστό, ότι το 10% που έχει πραγματική αντίσταση στη δράση των διουρητικών, έχει έντονη ενεργοποίηση των νευροχυμικών μηχανισμών, οι οποίοι προκαλούν στους νεφρούς αγγειοσύσπαση και αυξημένη επαναρρόφηση νατρίου στα εγγύς (επίδραση αγγειοτασίνης II και νορεπινεφρίνης) και στα αθροιστικά σωληνάρια (επίδραση αλδοστερόνης). Μερικοί ασθενείς με προχωρημένη καρδιακή ανεπάρκεια μπορεί να εμφανίζουν αντί-

σταση στη δράση των διουρητικών, ακόμη και σε μεγάλες δόσεις, παρά την ύπαρξη φυσιολογικής νεφρικής λειτουργίας. Σημαντική αιτία για την αντίσταση αυτή, κυρίως στα διουρητικά της αγκύλης, είναι η αποκαλούμενη “rebound επίδραση” μετά από μία δόση διουρητικού, η οποία χαρακτηρίζεται από δυσανάλογη αύξηση της επαναρρόφησης του νατρίου από τους νεφρούς μετά τη δράση του φαρμάκου (αντιμετωπίζεται με συχνότερη χορήγηση του διουρητικού της αγκύλης).

Για να χαρακτηριστεί όμως ένα οίδημα ανθεκτικό στα διουρητικά, είναι απαραίτητο να ελεγχθεί κατά πόσο ακολουθεί ο ασθενής τη δίαιτα περιορισμένης περιεκτικότητας σε αλάτι (προσδιορισμός νατρίου ούρων 24/ωρου). Στους κιρωτικούς βέβαια ασθενείς το ανθεκτικό οίδημα και ο ασκήτης δεν απαντούν στη δίαιτα με περιορισμένο νάτριο και σε υψηλές δόσεις διουρητικών (400 mg σπειρονολακτόνης και 160 mg φουροσεμίδης), όταν βέβαια ο ασθενής δε λαμβάνει μη στεροειδή αντιφλεγμονώδη φάρμακα. Η κατάσταση αυτή χαρακτηρίζεται από την ανάγκη όλο και μεγαλύτερης δόσεως διουρητικών, τα οποία όμως βοηθούν για λίγο και στη συνέχεια η απάντηση σ' αυτά εξασθενίζει με την πρόοδο του χρόνου. Όταν τέλος κάποιος κιρωτικός ασθενής χαρακτηριστεί ανθεκτικός στη δράση των διουρητικών, η κατάστασή του πρέπει να θεωρείται μη αναστρέψιμη, εκτός κι αν η βλάβη του ήπατος που ευθύνονταν για την μεταβολή αυτή ήταν αναστρέψιμη (λ.χ. αλκοολική κίρωση).

## ΑΙΤΙΟΠΑΘΟΓΕΝΕΙΑ ΑΝΘΕΚΤΙΚΟΥ ΟΙΔΗΜΑΤΟΣ ΣΤΑ ΔΙΟΥΡΗΤΙΚΑ ΚΑΙ ΘΕΡΑΠΕΙΑ

Οι συχνότερες αιτίες αντίστασης στα διουρητικά είναι η μη ικανοποιητική αντιμετώπιση της πρωτοπαθούς νόσου, η υψηλή περιεκτικότητα της δίαιτας σε αλάτι, η μη συμμόρφωση του ασθενούς με τις οδηγίες του γιατρού και η μειωμένη απορρόφηση των διουρητικών φαρμάκων από το έντερο. Άλλες λιγότερο συχνές αιτίες περιλαμβάνουν την υποογκαιμία, κατά την οποία μειώνεται η διήθηση των διουρητικών και άρα και η πρόσβασή τους στον αυλό των σωληναρίων (όπου και δρουν) και την αύξηση της εγγύς σωληναριακής επαναρρόφησης των υγρών, εξ αιτίας της οποίας περιορίζεται η ποσότητα νατρίου και ύδατος που φθάνει στα άπω σωληνάρια (όπου δρουν και τα περισσότερα διουρητικά), ενώ παράλληλα η υποογκαιμία διεγίρει την έκκριση αλδοστερόνης (αυξάνει την επαναρρόφηση του νατρίου στα άπω σωληνάρια).

Τέλος, ακόμη λιγότερο συχνές αιτίες αντίστασης στη δράση των διουρητικών είναι η ταυτόχρονη λήψη μη στεροειδών αντιφλεγμονώδων φαρμάκων (μειώνουν τη νεφρική ροή αίματος), κορτικοειδών (κατακρατούν νάτριο) κ.ά.

## Αυξημένη πρόσληψη νατρίου

Ο ασθενής που λαμβάνει διουρητικά και ταυτόχρονα προσλαμβάνει αυξημένες ποσότητες νατρίου δια της τροφής, εμποδίζει την απώλεια ύδατος, ακόμη και όταν επιτυγχάνεται έντονη διούρηση<sup>2</sup>. Ο περιορισμός του άλατος είναι πολύ σημαντικό μέσο για την αντιμετώπιση της καρδιακής ανεπάρκειας, διότι οι αντιρροποιητικοί μηχανισμοί της κατάστασης αυτής αυξάνουν την κατακράτηση νατρίου και ύδατος στους νεφρούς, με αποτέλεσμα να αυξάνεται ο όγκος των υγρών της κυκλοφορίας. Γι' αυτό η διαιτητική πρόσληψη νατρίου πρέπει να περιορίζεται γύρω στα δύο γραμμάρια/ημέρα, κατί που για τους περισσότερους ασθενείς είναι σχεδόν ανέφικτο, ενώ τα τρία γραμμάρια νατρίου την ημέρα πρέπει να είναι η μέγιστη ποσότητα που επιτρέπεται να καταναλώνει ένας ασθενής με καρδιακή ανεπάρκεια. Φυσικά απαγορεύεται η προσθήκη αλατιού στο φαγητό μετά την παρασκευή του<sup>3</sup>.

Τονίζεται, ότι δεν πρέπει να χαρακτηρίζονται ως ανθεκτικοί στα διουρητικά οι ασθενείς αν πρώτα δεν αποκλειστεί η αυξημένη εξωγενής πρόσληψη του νατρίου. Αυτό επιβεβαιώνεται εύκολα με προσδιορισμό του νατρίου των ούρων 24ώρου (επίπεδα >100 mEq/ημέρα επιβάλλουν τη σύσταση για αυστηρότερο περιορισμό του). Η κατάσταση αυτή διαπιστώνεται συνήθως μετά την έξοδο του ασθενούς από το νοσοκομείο, οπότε μπορεί και ξεφεύγει από τον αυστηρό διαιτητικό περιορισμό, όσον αφορά στο αλάτι. Έτσι, το ικανοποιητικό ισοζύγιο νατρίου και ύδατος που επιτεύχθηκε ενδονοσοκομειακά παύει πλέον να υφίσταται, οπότε ο ασθενής μπορεί να εμφανίσει οιδήματα, χωρίς μάλιστα να έχει μεταβληθεί η κατάσταση της πρωτοπαθούς νόσου.

## Μειωμένη απορρόφηση φουροσεμίδης από το έντερο

Τα διουρητικά της αγκύλης είναι τα ισχυρότερα, αφού μπορούν και αποβάλλουν το 20% του διηθούμενου νατρίου. Δρουν μέσα σε 20-40 λεπτά, όταν δίδονται από το στόμα και μέσα σε 5 λεπτά όταν χορηγούνται ενδοφλεβίως, ο δε χρόνος ημίσειας ζωής τους είναι 1 και 1/2 ώρες.

Αν και μερικοί ασθενείς δεν απαντούν ικανοποιητικά σε μεγάλες δόσεις φουροσεμίδης από το στόμα (λ.χ. 240 mg), απαντούν ικανοποιητικά όταν λαμβάνουν 40 mg ενδοφλεβίως. Το πρόβλημα αυτό διαπιστώθηκε σε προχωρημένη καρδιακή ανεπάρκεια<sup>4</sup> ή σε κίρρωση του ήπατος, λόγω ελάττωσης της απορρόφησης του φαρμάκου από το έντερο. Η ελάττωση αυτή μπορεί να οφείλεται σε οίδημα του βλεννογόνου του εντέρου, σε μείωση της αιμάτωσής του ή και της κινητικότητάς του (λόγω περιορισμού της άρδευσης εξ αιτίας της μειωμένης καρδιακής παροχής). Έτσι, η ενδοφλέβια χορήγηση του διουρητικού (παρακαμψη προβλήματος οιδήματος και κινητικότητας) και η βελτίωση της καρδιακής παροχής (αύξηση αιμάτωσης εντέρου)<sup>4</sup>, αποκαθιστούν τουλάχιστον μερικά τα παραπάνω προβλήματα και επιφέρουν το αναμενόμενο θεραπευτικό αποτέλεσμα<sup>4</sup>. Ακόμη, διαπιστώθηκε ότι η στάγδην ενδοφλέβια έγχυση της φουροσεμίδης είναι αποτελεσματικότερη από την ταχεία έγχυση (bolus) σε ασθενείς μη αντιρροπούμενη καρδιακή ανεπάρκεια και ανθεκτικό οίδημα στη διουρητική αγωγή<sup>5</sup>.

### **Μειωμένη είσοδος διουρητικού στον αυλό των σωληναρίων**

Τα διουρητικά της αγκύλης συνδέονται σε μεγάλο ποσοστό με τη λευκωματίνη ορού και για το λόγο αυτό για να φθάσουν στον αυλό των σωληναρίων και να δράσουν, είναι απαραίτητο να εκχριθούν και όχι απλά να διηγηθούν διαμέσου του σπειράματος<sup>1</sup>. Ενώ λοιπόν σε φυσιολογικά άτομα το μέγιστο διουρητικό αποτέλεσμα επιτυγχάνεται με 40 mg φουροσεμίδης, σε ασθενείς με καρδιακή ανεπάρκεια, νεφρωσικό σύνδρομο ή κίρρωση ήπατος χρειάζονται μεγαλύτερες δόσεις. Η μειωμένη είσοδος του διουρητικού στον αυλό των σωληναρίων (όπου ασκεί τη δράση του) μπορεί να περιορίσει την απάντηση των ασθενών με ηπατική ανεπάρκεια, υπολευκωματιναιμία ή προχωρημένη καρδιακή ανεπάρκεια.

**Ηπατική ανεπάρκεια :** Μερικοί ασθενείς με ηπατική ανεπάρκεια ανθίστανται ακόμη και σε υψηλές δόσεις φουροσεμίδης (160-240 mg/ημέρα)<sup>6</sup>, ενώ αντίθετα απαντούν εύκολα στη σπειρονολακτόνη. Η εξήγηση του φαινομένου βρίσκεται στο γεγονός ότι έχουν έντονο υπεραλδοστερονισμό, με αποτέλεσμα το νάτριο που δεν επαναρρόφηθηκε στο ανιόν σκέλος της αγκύλης του Henle (από τη δράση της φουροσεμίδης) να φθάνει στα άπω και

αθροιστικά σωληνάρια, όπου η αλδοστερόνη το επαναρρόφα απληστα εξουδετερώνοντας κατά τον τρόπο αυτό τη δράση της πρώτης. Βέβαια σε κιρρωτικούς ασθενείς περιορίζεται και η είσοδος της φουροσεμίδης στον αυλό των σωληναρίων, εξ αιτίας ανταγωνισμού που υπάρχει μεταξύ του φαρμάκου και των χολικών αλάτων, τα οποία συσσωρεύονται στο αίμα (και τα δύο για να αποβληθούν χορηγιμοποιούν την οδό των οργανικών οξέων). Αντίθετα, η σπειρονολακτόνη είναι το μόνο διουρητικό που ασκεί τη δράση της, χωρίς να είναι απαραίτητη η είσοδος της στο σωληναριακό αυλό (εισέρχεται από τη βασική επιφάνεια των σωληναριακών κυττάρων στο κυτταρόπλασμά τους, όπου και αναστέλλει τη δράση της αλδοστερόνης). Επιπλέον στην κίρρωση του ήπατος εξ αιτίας σύσπασης των νεφρικών αγγείων (που υπάρχει λόγω διαστολής των σπλαχνικών αγγείων), είναι μειωμένη η ποσότητα του διουρητικού που φθάνει στο σωληναριακό αυλό.

**Νεφρωσικό σύνδρομο με υπολευκωματιναιμία:** Η έντονη υπολευκωματιναιμία (λευκωματίνη ορού <2 mg/dl), που μπορεί να χαρακτηρίζει το νεφρωσικό σύνδρομο, σχετίζεται με μειωμένη δυνατότητα εισόδου των διουρητικών στο σωληναριακό αυλό. Η εξήγηση του φαινομένου αυτού βρίσκεται στο ότι φυσιολογικά το πρωτεΐνοσύνδετο φάρμακο, έχει δύκο κατανομής αυτόν του ενδαγγειακού χώρου, γεγονός που περιορίζει τη δυνατότητα εισόδου του στα κύτταρα ή το διάμεσο χώρο, οπότε κατά τον τρόπο αυτό αυξάνει το ρυθμό απελευθέρωσης του στα νεφρικά σωληνάρια<sup>7</sup>. Όταν όμως μειώνεται η δέσμευση του διουρητικού της αγκύλης με τα λευκώματα, όπως σε περιπτώσεις ασθενών με υπολευκωματιναιμία, αυξάνεται η είσοδος του στο διάμεσο χώρο και υπάρχει μικρότερος ρυθμός εισόδου στο σωληναριακό αυλό.

Η περιορισμένη αποτελεσματικότητα του διουρητικού αντιμετωπίζεται με αύξηση της δόσης του (οπότε αυξάνεται η έκκριση του φαρμάκου στον αυλό του σωληναρίου). Ακόμη, σε τέτοιες περιπτώσεις η αντίσταση στο διουρητικό αποκαθίσταται και με χορήγηση λευκωματίνης μαζί με φουροσεμίδη (40 mg φουροσεμίδης μαζί με 6,5 g λευκωματίνη)<sup>8</sup>. Όμως στο νεφρωσικό σύνδρομο, που συνοδεύεται από λευκωματουργία, το διουρητικό που εκκρίνεται μέσα στον αυλό των σωληναρίων μάλλον συνδέεται με τη λευκωματίνη που βρίσκεται εκεί, οπότε με τον τρόπο αυτό παρεμποδίζεται η δράση του (μείωση της απάντησης στη λευκωματίνη κατά 50%), κάτι που ξεπερνιέται επίσης με αύξηση της δόσεως του διουρητικού, αν και

ο μηχανισμός αυτός αντίστασης σήμερα δε θεωρείται πολύ πιθανός.

**Καρδιακή ανεπάρκεια:** Στη βαριά καρδιακή ανεπάρκεια λόγω χαμηλού κλάσματος εξωθήσεως είναι μειωμένη η ποσότητα του διουρητικού που φθάνει τελικά στο σωληναριακό αυλό για να δράσει. Η μέγιστη αποτελεσματική ημερήσια ενδοφλέβια δόση της φουροσεμίδης στην καρδιακή ανεπάρκεια είναι 80-120 mg<sup>6</sup>.

### Αυξημένη επαναρρόφηση νατρίου

Η επίδραση ενός διουρητικού αμβλύνεται από την αυξημένη επαναρρόφηση του νατρίου σε απώτερα σημεία των σωληναρίων από το σημείο δράσης του. Έτσι ορισμένοι ασθενείς παρουσιάζουν μερική ή σχετικά πλήρη αντίσταση στη δράση των διουρητικών. Είναι ενδεικτικό ότι στο εγγύς σωληνάριο αυξάνει η επαναρρόφηση του νατρίου εξ αιτίας αυξημένης απελευθέρωσης αγγειοτασίνης II και νορεπινεφρίνης, στο άπω σωληνάριο λόγω υπερτροφίας του, που οφείλεται στην έντονη ροή του διηθήματος, εξ αιτίας της χρόνιας λήψεως διουρητικού της αγκύλης (αυξημένη απελευθέρωση νατρίου στα άπω σωληνάρια) και στα αθροιστικά σωληνάρια εξ αιτίας αυξημένης έκκρισης αλδοστερόνης.

Σε ασθενείς που παρουσιάζουν αντίσταση στη δράση των διουρητικών της αγκύλης, συχνά αντιμετωπίζεται το πρόβλημα με αύξηση του αριθμού των δόσεων (2-3 φορές/ημέρα), με ταυτόχρονη χορήγηση θειαζίδης ή καλιοσυντηρητικών διουρητικών (αναστολή επαναρρόφησης νατρίου σε περισσότερα και απώτερα σημεία των σωληναρίων από την αγκύλη όπου δρα η φουροσεμίδη)<sup>7,9</sup>. Όταν τα φάρμακα αυτά δίδονται από την ίδια οδό χορηγούνται ταυτόχρονα, ενώ όταν δίδονται από διαφορετική, τότε τα από τον στόματος πρέπει να λαμβάνονται 30-60 λεπτά νωρίτερα από αυτά που χορηγούνται ενδοφλέβια. Σε τέτοιες περιπτώσεις έχει ιδιαίτερη σημασία ο προσεκτικός έλεγχος του ασθενή, μήπως και επιτευχθεί εντονότερη διουρηση από την επιθυμητή, με ταυτόχρονα μεγάλη απώλεια καλίου (θειαζίδη + φουροσεμίδη)<sup>10</sup>. Ωστόσο, πρέπει να τονιστεί ότι η αντίσταση στη δράση της φουροσεμίδης δεν αντιμετωπίζεται με τη χορήγηση ενός άλλου διουρητικού της ίδιας ομάδας (μπουμετανίδη, τορσεμίδη κ.ά.)<sup>8</sup>.

Μεγάλη επίσης σημασία έχει η χορήγηση της κατάλληλης δόσης φουροσεμίδης (είναι προτιμότερη η μεγαλύτερη δόση ανά χορήγηση από τη χορήγηση της ίδιας δόσης περισσότερες φορές)<sup>6,8</sup>, η

οδός χορήγησής της (προτιμότερη η ενδοφλέβια συνεχής σταγόνη έγχυση από την ταχεία έγχυση [20 mg/h και αν δεν υπάρξει αποτέλεσμα συστήνεται διπλασιασμός της])<sup>4,5,11</sup>, τόσο επειδή είναι αποτελεσματικότερη, όσο και επειδή είναι ασφαλέστερη (αποφεύγεται ο κίνδυνος της ωτοτοξικότητας).

Τέλος αφού στην κατάσταση αυτή η αύξηση της εγγύς σωληναριακής επαναρρόφησης του νατρίου ευθύνεται για το ανθεκτικό οίδημα, είναι λογική η χρήση αναστολέων της καρδιονικής ανυδράσης μαζί με τα διουρητικά της αγκύλης<sup>12</sup>.

### Μειωμένη προσφορά νατρίου στην αγκύλη του Henle

Σε μερικούς ασθενείς με σημαντικού βαθμού καρδιακή ανεπάρκεια ή με κίρρωση του ήπατος, η μείωση του ρυθμού της σπειραματικής διήθησης μαζί με την αυξημένη εγγύς επαναρρόφηση του νατρίου (που γίνεται μερικά από τη δράση της αγγειοτασίνης II), συμβάλλουν ώστε να υπάρχει πολύ μικρή προσφορά νατρίου και ύδατος στα απώτερα τμήματα των σωληναρίων, όπου δρουν κυρίως τα διουρητικά (θειαζίδες και φουροσεμίδη)<sup>12</sup>. Ακόμη οι παραπάνω ασθενείς τείνουν να έχουν μειωμένο δραστικό όγκο κυκλοφορίας (ΔΟΚ) και αγγειοσύσπαση στα ενδονεφρικά αγγεία, γεγονότα που οφείλονται εν μέρει στη δράση της αγγειοτασίνης II και της νορεπινεφρίνης (τα φαινόμενα αυτά επιτείνονται στην όρθια θέση του ασθενή).

Έτσι, η αύξηση της δραστηριότητας ασθενών με συμφορητική καρδιακή ανεπάρκεια μπορεί να συμβάλλει στην μείωση της διουρησης, αφού στις περιπτώσεις αυτές ενώ η καρδιά αντιρροπεί ικανοποιητικά τις ανάγκες τους κατά την κατάκλιση και στις συνθήκες του νοσοκομείου, δεν μπορεί να αντεπεξέλθει σε αυξημένη δραστηριότητα, διότι τότε τα παραπάνω φαινόμενα επιτείνονται. Στην όρθια λοιπόν θέση οι ασθενείς αυτοί αδυνατούν να αυξήσουν την καρδιακή παροχή, οπότε η αιμάτωση των νεφρών και η προσφορά διουρητικού σ' αυτούς είναι μειωμένα, με αποτέλεσμα να περιορίζεται και το διουρητικό αποτέλεσμα. Η ύπτια θέση τελικά μπορεί να αυξήσει την κάθαρση της κρεατινίνης κατά 40% και να διπλασιάσει το διουρητικό αποτέλεσμα της φουροσεμίδης.

### Άλλα μέσα αντιμετώπισης του ανθεκτικού οιδήματος στα διουρητικά

Σε ασθενείς που δεν απαντούν σε όλα τα παραπάνω μέσα και μέτρα, μπορεί να εφαρμοστεί η συνε-

χής αιμοδιήθηση (αρτηριοφλεβική-[ΣΑΦΑ] ή φλεβοφλεβική -[ΣΦΦΑ])<sup>13,14</sup>, μέθοδος αποτελεσματική, η οποία όμως απαιτεί αγγειακή προσπέλαση, γνώση της από μέρους των ιατρών και ανάλογο εξοπλισμό (για τη ΣΦΦΑ)<sup>15</sup>. Κατά τους Blake & Paganini στη συμφορογητική καρδιακή ανεπάρκεια, η αφαίρεση υγρών με υπερδιήθηση (αιμοδιήθηση) μπορεί να διακόψει το φαύλο κύκλο που υπάρχει στην κατάσταση αυτή και ευθύνεται για την κατακράτηση υγρών (διακοπή λειτουργίας νευροχυμικών αιμοδυναμικών μηχανισμών)<sup>16</sup>. Η αιμοδιήθηση σε ασθενείς με καρδιακή ανεπάρκεια σταδίου III έως IV που αποβάλλουν λιγότερο από 1000 ml ούρων/ημέρα είναι ασφαλής και αποτελεσματική. Η διαδικασία αυτή ανακουφίζει από το πνευμονικό οίδημα, μειώνει τον ασκίτη και το περιφερικό οίδημα, αυξάνει την αποτελεσματικότητα των διουρητικών, και παραλληλα μειώνει τη συχνότητα νοσηλειών στο νοσοκομείο<sup>16</sup>. Άλλοι συστήνουν και τη συνεχή φορητή περιτοναϊκή κάθαρση (ΣΦΠΚ), της οποίας τα αποτελέσματα είναι μάλλον καλύτερα σε συμφορογητική καρδιακή ανεπάρκεια, γεγονός με το οποίο συμφωνούμε κι εμείς με παρατηρήσεις σε 7 ασθενείς στους οποίους την εφαρμόσαμε.

Ακόμη, στο οίδημα ασθενών με νεφροσικό σύνδρομο, που είναι ανθεκτικό στα διουρητικά και οι οποίοι ήταν σε πρόγραμμα αιμοκάθαρσης ή και σ' αυτούς χωρίς τελικό στάδιο νεφρικής ανεπάρκειας μπορεί να επιτευχθεί έντονη διούρηση με τη χορήγηση λευκωματίνης (διάλυμα 100 ml 25%)<sup>17</sup>.

Τέλος, σε πολλές μελέτες φάνηκε ότι λιγότερο από το 10% των ασθενών με κίρρωση ήπατος και ασκίτη έχουν ανθιστάμενο στην οποιαδήποτε αγωγή οίδημα και ασκίτη. Σ' αυτούς η χοήση των διουρητικών δε βοηθά σε καμία περίπτωση και πρέπει να διακόπτονται, ενώ χρήσιμα μέτρα μπορεί να είναι: α) η κατ' επανάληψη εφαρμογή παρακεντήσεων της κοιλίας, β) η περιτοναιοφλεβική παράκαμψη (shunt), γ) η μεταμόσχευση ήπατος (είναι η καλύτερη αντιμετώπιση του κιρρωτικού με ανθιστάμενο στην αγωγή ασκίτη, δεν είναι όμως εφικτή για όλους όσους τη χρειάζονται) και η ηπατοσφαγιτιδική παράκαμψη. Η παρακεντηση επιβάλλεται κάθε 15 ημέρες και να αφαιρούνται περύπου 6 λίτρα κάθε φορά, διότι το περιτοναιϊκό υγρό περιέχει το ίδιο νάτριο που περιέχει και το πλάσμα και άρα τα 6 λίτρα που αφαιρούνται περιέχουν περύπου  $6 \times 130 = 780$  mEq νατρίου. Ο ασθενής όμως καθημερινά επιτρέπεται να λαμβάνει 88 mEq νατρίου, οπότε αφού από αυτά τα 10 mEq τα ξάνει με

εξωνεφρικές οδούς (δέρμα, κόπρανα), είναι προφανές ότι υπολείπονται τα 78 mEq για αποβολή. Αν υποτεθεί ότι χάνεται και μια ποσότητα νατρίου με τα ούρα, τότε αυτή μαζί με τα  $130 \times 6 = 780$  mEq ανά 2 εβδομάδες που θα χαθούν με την παρακεντηση αρχούν για να καλυφθεί επαρχώς το ισοζύγιο νατρίου του ασθενούς. Παρά το γεγονός ότι με την παρακεντηση της κοιλίας του κιρρωτικού αφαιρείται και λευκωματίνη, σε μελέτες διαπιστώθηκε ότι δεν προσφέρει ιδιαίτερα η χορήγηση της κατά την αφαίρεση του ασκιτικού υγρού, στη μείωση της θνητότητας και θνησιμότητας των ασθενών αυτών, ωστόσο αυτή χορηγιμοποιείται απ' όλους μετά την παρακεντηση.

Συνοψίζοντας λοιπόν, σε κιρρωτικούς ασθενείς με ανθεκτικό οίδημα συστήνονται κατ' επανάληψη παρακεντήσεις της κοιλίας (ανά δύο εβδομάδες αφαίρεση 6 λίτρων κάθε φορά χωρίς τη χορήγηση λευκωματίνης, ενώ σε αφαίρεση μεγαλύτερου όγκου χορηγείται ποσότητα  $< 50$  g λευκωματίνης (δύο και 1/2 fl διαλύματος λευκωματίνης 20%) ή 6-8 g λευκωματίνης ανά λίτρο υγρού που αφαιρέθηκε, αλλά εφαρμόζεται και ΣΑΦΑ ιδιαίτερα όταν ο κιρρωτικός έχει επιβάρυνση της νεφρικής του λειτουργίας<sup>14</sup>.

## ΣΧΟΛΙΟ

Το πρόβλημα του οιδηματικού ασθενή που δεν ανταποκρίνεται στα διουρητικά είναι γνωστό και αρκετά συχνό. Για την αντιμετώπιση του χρειάζεται πρώτα απ' όλα αποκλεισμός των αναστρέψιμων αιτίων (λ.χ. αυξημένη εξωγενής πρόσληψη νατρίου, λήψη μη στεροειδών αντιφλεγμονώδων φαρμάκων κ.ά.). Στη συνέχεια αφού διαπιστωθεί ο μηχανισμός που ευθύνεται για τη κατακράτηση των υγρών και την μη ικανοποιητική διούρηση, επιχειρείται παράκαμψη του προβλήματος. Σπάνια αυτό είναι αξεπέραστο, αφού η μεθοδικότητα και επιμονή μας μπορούν να δώσουν ικανοποιητικές λύσεις.

## ABSTRACT

**Mavromatidis K. Oedema refractory to the diuretic treatment. Causes and confrontation.** Hell Iatr 2004, 70: 30-35.

Diuretic drugs are usually an effective treatment for oedema when used judiciously. However, some patients become resistant to their action. Adaptation to diuretic drugs and diuretic resistance may be caused by similar mechanisms. Diuretic adaptations can be classified as those occurring du-ring

diuretic action, those causing sodium retention in the short term, as well as those increasing sodium retention chronically. The oedematous patient constitutes a routine problem in the clinical practice and the necessity for diuresis in these cases is usually urgent and imperative. However, the question is how easy and effectively is to treat patients in such cases? The answer is that in most of these cases it is difficult to have a satisfactory result. Here it should be emphasized that each case of oedematous patient is different, hence there is a need for different assessment and confrontation. Therefore, it is necessary to reveal the mechanisms that are responsible for the increased withhold of water and the unfavourable response of the kidney to the diuretics. Later the application of a treatment as an antidote will neutralize these mechanisms and will constitute, in most cases, the solution of the problem. Finally, there are many cases where the effort for achievement of diuresis is intense, and as a result, patients may have the opposite results (intense dehydration, acute renal failure etc.). Therefore, it is necessary for patients to be checked frequently, in order to prevent such cases. In conclusion, knowledge about the physiology, as well as the mechanisms that are responsible for the creation of oedema, the knowledge of the mechanisms of diuretic action and the ways of neutralizing their effectiveness, constitute the key for the solution of the problem that is called "refractory oedema to the diuretics".

## ΒΙΒΛΙΟΓΡΑΦΙΑ

1. Ellison DH. Diuretic resistance: physiology and therapeutics. Semin Nephrol 1999, 19: 581-97.
2. Haller C, Salbach P, Katus H, Kubler W. Refractory oedema in congestive heart failure: a contribution role of loop diuretics? J Intern Med 1995, 237: 211-4.
3. Haller Ch. Diuretic in congestive heart failure: new evidence for old problems. Nephrol Dial Transplant 1999, 14: 1358-60.
4. Brater DC. Resistance to diuretics: mechanisms and clinical implications. Adv Nephrol 1993, 22: 349-69.
5. Pivac N, Rumboldt Z, Sardelic S, et al. Diuretic effects of furosemide infusion versus bolus injection in congestive heart failure. Int J Clin Pharmacol Res 1998, 18: 121-8.
6. Rose BD, Loh Evan. Use of diuretics in congestive heart failure. UpToDate Vol 9.1, 2001.
7. Sica DA, Cehr TW. Diuretic combinations in refractory oedema stages: pharmacokinetic-pharmacodynamic relationships. Clin Pharmacokinet 1996, 30: 229-49.
8. Andreucci M, Russo D, Fuiano G, Minutolo R, Andreucci VE. Diuretics in renal failure. Miner Electrolyte Metab 1999, 25: 32-8.
9. Oster JR, Epstein M, Smoller S. Combination therapy with thiazide-type and loop diuretic agents for resistant sodium retention. Ann Int Med 1983, 99: 405-6.
10. Taylor SH. Diuretics in heart failure: some knowns and unknowns. J Cardiovasc Pharmacol 1993, 22: S40-S50.
11. Kramer BK, Schweda F, Rieger GA. Diuretic treatment and diuretic resistance in heart failure. Am J Med 1999, 106: 90.
12. Knauf H, Mutschler E. Sequential nephron blockade breaks resistance to diuretics in edematous states. J Cardiovasc Pharmacol 1997, 29: 367-72.
13. Valle BK, Valle GA, Lemberg L. Volume control: a reliable option in the management of "refractory" congestive heart failure. Am J Crit Care 1995, 4: 169-73.
14. Epstein M, Perez GO, Bedoya LA, Molina R. Continuous arteriovenous ultrafiltration in cirrhotic patients with ascites or renal failure. Int J Artif Organs 1986, 9: 252-6.
15. Dormans TP, Huige RM, Gerlag PG. Chronic intermittent haemofiltration and haemodialysis in end stage chronic heart failure with oedema refractory to high dose furosemide. Heart 1996, 75: 341-51.
16. Blake P, Paganini EP. Refractory congestive heart failure: overview and application of extracorporeal ultrafiltration. Adv. Ren Replace Ther 1996, 3: 166-73.
17. McLigeyo SO. Experience with the use of human albumin in renal patients at the Kenyatta National Hospital. East Afr Med J 1993, 70: 15-7.

### Αλληλογραφία:

Κ. Μαυροματίδης  
Αντ. Ρωσσίδη 7  
691 00 Κομοτηνή

### Corresponding author:

Κ. Μαυροματίδης  
7, Αντ. Ρωσσίδη Str.  
691 00 Κομοτηνή  
Greece

## Επιδράσεις της φαρμακευτικής αγωγής στην επικοινωνία και την κατάποση: Μία πρόταση για γλωσσοπαθολογική φαρμακολογία

Χαρίκλεια Πρώιου, Νικόλαος Αρτέμης

Β' Νευρολογική Κλινική ΑΠΘ, Νοσοκομείο ΑΧΕΠΑ, Θεσσαλονίκη

**Περιληψη.** Ορισμένα φάρμακα που χορηγούνται για παθήσεις άσχετες με τις διαταραχές του λόγου και της ομιλίας, όπως είναι τα αντιεκκριτικά του γαστρικού υγρού και κάποια αντιμικροβιακά χημειοθεραπευτικά φάρμακα, καθώς και όλα σχεδόν τα φάρμακα που δρουν στο κεντρικό και περιφερικό νευρικό σύστημα, μπορεί να επηρεάσουν την ικανότητα επικοινωνίας του ασθενή είτε άμεσα, δημιουργώντας για παράδειγμα προβλήματα άρθρω-

σης και ακοής, είτε έμμεσα, δημιουργώντας προβλήματα μνήμης, συγκέντρωσης ή γνωστικών λειτουργιών. Στον παρόν ενημερωτικό άρθρο γίνεται προσπάθεια ανάδειξης της ανάγκης δημιουργίας μιας νέας γλωσσοπαθολογικής φαρμακολογίας βασισμένης στις νέες δράσεις φαρμάκων στην επικοινωνία και την κατάποση.

Ελλην Ιατρ 2004, 70: 36 - 42.

Η φαρμακευτική αγωγή που εφαρμόζει ο γιατρός στον ασθενή πρέπει να γίνεται απολύτως κατανοητή από τον γλωσσοπαθολόγο, ώστε η διάγνωση και το πρόγραμμα θεραπείας να είναι αποτελεσματικότερα. Ο όρος γλωσσοπαθολογική φαρμακολογία προέρχεται από τη σύνθεση των όρων γλωσσοπαθολογία (επικοινωνιολογία) και φαρμακολογία. Η γλωσσοπαθολογία ασχολείται με τη μελέτη των διαταραχών της επικοινωνίας, ενώ η φαρμακολογία με τη μελέτη της δράσης των φαρμάκων στα βιολογικά συστήματα. Η κάθε μια από αυτές τις επιστήμες έχει τη δική της μεθοδολογία.

Η οδός χορήγησης φαρμάκων ποικίλλει. Φάρμακα που χορηγούνται από το στόμα εισέρχονται στην κυκλοφορία του αίματος μέσω του εντερικού τοιχώματος. Φάρμακα που χορηγούνται υπογλωσσίως διαλύνονται από το σάλιο και απορριφούνται γρήγορα από τους βλεννογόνους του στόματος. Μερικά φάρμακα εφαρμόζονται τοπικά στο δέρμα και μερικά εισπνέονται ως αέρια. Η χορήγηση από το ορόφο με τη μορφή υποθέτων γίνεται συνή-

θως, όταν ο ασθενής πάσχει από ναυτία και δεν ανέχεται τη χορήγηση από το στόμα. Ένεση ενός φαρμάκου μπορεί να γίνει ενδομυϊκά, υποδόρια, ενδοδερμικά ή ενδοφλέβια. Όποια όμως και να είναι η οδός χορήγησης, κάθε φάρμακο που διέρχεται τον αιματοεγκεφαλικό φραγμό μπορεί να προκαλέσει προβλήματα επικοινωνίας<sup>1,2</sup>.

Οι διαδικασίες της παραγωγής ομιλίας και της κατάποσης μοιράζονται τους ίδιους περιφερικούς μηχανισμούς, αλλά επιτυγχάνονται μέσω διαφορετικών συστημάτων. Αυτά τα συστήματα μερικές φορές μοιράζονται την κεντρική και περιφερική οργάνωση, η οποία συναντάται σε όλο το κεντρικό νευρικό σύστημα. Τόσο η επικοινωνία, όσο και η κατάποση είναι δυναμικές διεργασίες και μία διαταραχή που επηρεάζει μία από τις δύο είναι ένδειξη αρνητικών ή θετικών αλλαγών στη φυσική υγεία<sup>3</sup>. Η αποτελεσματικότητα της κατάποσης υπακούει σε ένα συστηματικότερο μοντέλο από εκείνο της επικοινωνίας, αλλά η προσαρμογή στις μεταβολές των συνθηκών σύτισης (μέγεθος

βλωμού, υφή κ.λ.π.) είναι τόσο περίπλοκη όσο η ομιλία και χρησιμοποιεί παραπλήσια νευρά και μύες με την ομιλία. Μια παθολογική βλάβη, η οποία επηρεάζει τον λόγο, την ομιλία ή την κατάποση μπορεί να αφορά είτε στο περιφερικό, είτε στο κεντρικό νευρικό σύστημα. Αυτό ισχύει και στην περίπτωση άμεσης επέμβασης εξωγενών παραγόντων όπως είναι τα φάρμακα.

Οι δυσκολίες επικοινωνίας είναι συνήθως δευτερογενείς συνέπειες άλλων νευρολογικών παθήσεων. Καθώς η αντιμετώπιση της πρωτογενούς νόσου προέχει, η φαρμακευτική αγωγή καθοδίζεται από τις παραμέτρους της πρωτογενούς νόσου και όχι από πιθανές αρνητικές επιδράσεις της στην ικανότητα επικοινωνίας. Για παράδειγμα, η μορφίνη η οποία χρησιμοποιείται για την καταστολή ισχυρών πόνων μπορεί να προκαλέσει ακόμα και αφασικές διαταραχές. Η χλωροφανιδαμίνη, ένα αντισταμινικό το οποίο χρησιμοποιείται για την αντιμετώπιση ήπιων αλλεργιών, προκαλεί δυσκολία στην ομιλία και την κατάποση, ξηροστομία και ρινική συμφόρηση. Η διαταραχή της ομιλίας συνίσταται σε υποφωνία και σε προβλήματα άρθρωσης. Πολλές φορές τα φάρμακα που χρωγούνται για τη θεραπεία της πρωτογενούς νόσου βελτιώνουν την κλινική εικόνα και της δευτερογενούς νόσου<sup>4</sup>. Η χορήγηση, για παράδειγμα, αντιμικροβιακών χημειοθεραπευτικών φαρμάκων σε περίπτωση μιας βακτηριακής νόσου που προκαλεί προβλήματα στην άρθρωση ή τη φωνή, βελτιώνουν την κατάσταση του λόγου καθώς αντιμάχονται τη μόλυνση.

Είναι πολύ σημαντικό να γνωρίζει ο γλωσσοπαθολόγος τις δράσεις και τις δόσεις των φαρμάκων που λαμβάνουν οι ασθενείς του, διότι οι ασθενείς μπορεί να μην είναι σε θέση να διαβάσουν τις οδηγίες χρήσης ή μπορεί να μην είναι σε θέση να ενημερώσουν τον γιατρό ότι εμφανίζουν ανεπιθύμητες ενέργειες ή ότι ξέχασαν να πάρουν το φάρμακο. Σε αυτές τις περιπτώσεις οι συμβουλές του γλωσσοπαθολόγου διασφαλίζουν ότι ο ασθενής λαμβάνει το σωστό φάρμακο στη σωστή δοσολογία. Απότομες αλλαγές στην ικανότητα επικοινωνίας του ασθενή μπορεί να σχετίζονται με αύξηση, μείωση, διακοπή ή αλλαγή του φαρμάκου και αυτό πρέπει να είναι ένα από τα πρώτα ζητήματα που εξετάζει ο γλωσσοπαθολόγος όταν παρατηρεί μείωση των ικανοτήτων επικοινωνίας του ασθενή του. Συνήθως, η απόφαση έγκρισης ή απόσυρσης φαρμάκου στηρίζεται στα αποτελέσματα νεότερων ερευνών. Καθώς οι αναφορές νέων ανακαλύψεων στη φαρμακολογία παρουσιάζονται

εγκαίρως στο κοινό, καλό θα ήταν ο γλωσσοπαθολόγος να προπορεύεται στην ενημέρωση<sup>5</sup>.

Η επίδραση ενός φαρμάκου στην επικοινωνία μπορεί να σχετίζεται με τη δόση και τη γενική κατάσταση της υγείας του ασθενή. Συνήθως απαιτούνται υψηλές δόσεις για μεγάλα χρονικά διαστήματα για να επηρεάσουν την επικοινωνία, ενώ κανονικές ή και υποθεραπευτικές δόσεις μπορούν να επηρεάσουν την κατάποση<sup>6</sup>. Είναι σημαντικό να σημειωθεί, ότι οι περισσότερες κατηγορίες φαρμάκων επηρεάζουν και την επικοινωνία και την κατάποση. Στη συνέχεια παρατίθενται κατηγορίες φαρμάκων και οι έντονες επιπλοκές που μπορεί να προκαλέσουν είτε στην ικανότητα επικοινωνίας είτε στην ικανότητα κατάποσης είτε και στις δύο αυτές λειτουργίες<sup>7</sup>.

## Προβλήματα στην κατάποση από τη λήψη φαρμάκων

### 1. Βρογχοδιασταλτικά:

- *Αλβουτερόλη* (ξηρότητα ή ερεθισμό του στόματος και του λαιμού)
- *Βιτολερόλη*, (βήχας, άλγος στο λαιμό και ερεθισμό του στόματος)
- *Πιρβουτερόλη*, (βήχας και ξηροστομία)
- *Χρωμολίνη* (δυσκολία στην αναπνοή και την κατάποση, οίδημα στο πρόσωπο, τα χεῖλη και το στόμα, ισχυρό λαχάνιασμα, βήχα, ερεθισμό στο στόμα και στον λαιμό, βραχνάδα και ρινική συμφόρηση)

### 2. Αντιπηκτικά:

- Δικουμαρόλη* (άλγος στο λαιμό, ευαισθησία στα ούλα, πληγές ή λευκές κηλίδες στο στόμα και στο λαιμό).

### 3. Καθαρικά:

- Ψύλλιο* (δυσκολία στην κατάποση).

## Προβλήματα στην επικοινωνία και στην κατάποση από τη λήψη φαρμάκων

### 1. Οι ανταγωνιστές των H1 υποδοχέων της ισταμίνης:

Οι ανταγωνιστές των H<sub>1</sub> υποδοχέων της ισταμίνης (αντισταμινικά), όπως η αστεμιζόλη, χλωροφανιδαμίνη, κυπροεπταδίνη, τερφεναδίνη, βρωμοφαννοραμίνη, διφαννυδραμίνη, υδροξυζίνη, μπορεί να προκαλέσουν ξηροστομία, ξηρότητα στη μύτη και στο λαιμό, άλγος στο λαιμό, δυσκολία στην αναπνοή, σύγχυση, προβλήματα στην πρόσφατη μνήμη, εξασθένιση της ικανότητας συγκέντρωσης και αποπροσανατολισμό.

Η χλωροφαίνυραμίνη και η κυπροεπταδίνη μπορούν να προκαλέσουν επιπροσθέτως εμβοή ώτων, η δε τερφεναδίνη και βήχα.

### 2. Κυτταροστατικά φάρμακα:

- Σισπλατίνη (εμβοή ώτων και κάρφωση).
- Κυκλοφαραμίδη (άλγος στο λαιμό, σύγχυση, βήχα, δυσκολία στην αναπνοή, πληγές στο στόμα και τα χεῖλη, οίδημα στα χεῖλη και ξηροστομία).
- Ακτινομυκίνη (δυσκολία στην κατάποση, άλγος στο λαιμό και οισοφαγίτιδα).
- Ετοποσίδη (οίδημα στο πρόσωπο και τη γλώσσα, βήχα, σφίξιμο στο λαιμό και λαρυγγοσπασμό).

### 3. Κορτικοστεροειδή:

Μερικά κορτικοστεροειδή, όπως είναι η *Βεκλομεθαζόνη*, *Βεταμεθαζόνη*, *δεξαμεθαζόνη*, *υδροκορτιζόνη*, *τριαμσινολόνη*, *πρεδνιζόνη*, μπορεί να προκαλέσουν βήχα, δυσκολία στην αναπνοή, συμφόρηση της μύτης και των ώτων, άλγος στο λαιμό, βραχνάδα ή άλλες αλλαγές της φωνής και δυσκολία στην κατάποση. Τα κορτικοστεροειδή γενικά προκαλούν ευφορία, αλλά μερικοί ασθενείς μπορεί να εμφανίσουν κατάθλιψη ή ψυχωτικά συμπτώματα<sup>8</sup>. Η πρεδνιζόνη μπορεί να προκαλέσει αποσύνδεση της μνήμης και συνολική παρακμή των γνωστικών λειτουργιών.

### 4. Φάρμακα που χρησιμοποιούνται στην ρευματοειδή αρθρίτιδα, την ονυκή αρθρίτιδα ή ως ανοσοκαταστατικά:

- Η λήψη ενώσεων του χρυσού μπορεί να προκαλέσει βήχα, δυσκολία στην αναπνοή και στην κατάποση, άλγος στο λαιμό, οίδημα της γλώσσας και ερεθισμό των ούλων.
- Υδροξυχλωροκίνη (δυσκολία στην αναπνοή, εμβοή ώτων και κάρφωση)
- Σουλφασαλαζίνη μπορεί να προκαλέσει (δυσκολία στην κατάποση και άλγος στο λαιμό)
- Προβενεσίδη (οίδημα του προσώπου, πόνο στο λαιμό και στα ούλα και δυσκολία στην αναπνοή)
- Αζαθειοπρίνη (δυσκολία στην αναπνοή, βήχα, βραχνάδα, πληγές στο στόμα και στα χεῖλη)
- Κυκλοσπορίνη (οίδημα των ούλων, πληγές στο στόμα, δυσκολία στην κατάποση και σύγχυση).

### 5. Αντιτοπαμινεργικά:

Τα αντιτοπαμινεργικά χρησιμοποιούνται ως αντιεμετικά (μετοκλοπραμίδη, προχλωροπερα-

ζίνη, προμεθαζίνη) στην νευροληπταναλγησία και ως νευροληπτικά ή αντιψυχωτικά (χλωροπρομαζίνη, φλουφεναζίνη, θειοριδαζίνη, τριφθοροπεραζίνη, αλοπεριδόλη, σουλπιριδη). Μπορεί να προκαλέσουν ξηροστομία, οινική συμφόρηση, πόνο στο στόμα, τα ούλα και το λαιμό, προβλήματα αναπνοής, δυσκολία στην κατάποση, βήχα, δυστονία της γλώσσας, σιελόρροια, παλιλαλία, ταχυλαλία, δυσαρθρία, τραυλισμό, σύγχυση, προβλήματα πρόσφατης μνήμης, αποπροσανατολισμό και μείωση της προσοχής. Σε περίπτωση εμφάνισης παρκινσονισμού παρατηρείται δυσκολία στην ομιλία και στην κατάποση, απαθέτης προσωπείο. Σε περίπτωση εμφάνισης όψιμης δυσκινησίας παρατηρούνται ηχηρές κινήσεις των χειλιών, μασητικές κινήσεις, πρήξιμο των παρειών, ακούσιες κινήσεις της γλώσσας.

- Η κλοπαζίνη, το πρώτο άτυπο αντιψυχωτικό που εισήχθη στην κλινική πράξη το 1989 μπορεί να προκαλέσει τραυλισμό, τικ, δυσαρθρία, απώλεια μνήμης, ξηρότητα στο λαιμό, βήχα, δυστονία της γλώσσας και σιελόρροια<sup>9</sup>.

### 6. Αντιπαρκινσονικά:

- Βρωμοκριπτίνη (ξηροστομία, οινική συμφόρηση και σύγχυση)
- Σελεγιλίνη (δυσκολία στην αναπνοή και στην ομιλία, εμβοή ώτων, ξηροστομία, κάψιμο στα χεῖλη και το λαιμό, τριγμό των δοντιών)
- Αμανταδίνη (σύγχυση, προβλήματα άρθρωσης, άλγος στο λαιμό, δυσκολία στην αναπνοή, ξηροστομία, ξηρότητα της μύτης και του λαιμού, δυσκολία συγκέντρωσης)
- Λεβοντόπα (χοριοειδείς κινήσεις του προσώπου, σύγχυση, αποπροσανατολισμό και σπανιότερα σχιζοειδή συνδρομή<sup>10</sup> με παραισθήσεις και ψευδαισθήσεις)<sup>8</sup>

### 7. Μουσκαρινικοί ανταγωνιστές:

Οι μουσκαρινικοί ανταγωνιστές χρησιμοποιούνται ως βοηθητικά αντι-παρκινσονικά (βενζοτροπίνη), βοηθητικά βρογχοδιασταλτικά (ιπρατρόπιο), στην οφθαλμοσόπηση και σε φλεγμονές των οφθαλμών (κυκλοπεντολάτη, τροπικαμίδη) και ως σπασμολυτικά (ατροπίνη, σκοποπλαμίνη). Μπορεί να προκαλέσουν ξηροστομία, προβλήματα άρθρωσης, βραχνάδα, βήχα, οινική συμφόρηση, σύγχυση, προβλήματα απώλειας πρόσφατης μνήμης, αποπροσανατολισμό και μειωμένη ικανότητα προσοχής.

## 8. Ήπια ηρεμιστικά – υπνωτικά – αντιεπιληπτικά:

- Οι βενζοδιαζεπίνες χρησιμοποιούνται ως ηρεμιστικά (οξαζεπάμη), ως αντιεπιληπτικά (κλοναζεπάμη) ή μαζί με σπασμολυτικό ή αντικαταθλιπτικό (χλωροδιαζεποξείδιο). Μπορεί να προκαλέσουν άλγος στο λαιμό, διαρκείς πληγές στο στόμα και στο λαιμό, ξηροστομία, δύψα, ασυνήθιστη ενυδάτωση του στόματος, προβλήματα άρθρωσης, ρινική συμφόρηση, δυσκολία στην αναπνοή, σύγχυση, οίδημα του προσώπου, προβλήματα απώλειας πρόσφατης μνήμης και μειωμένη προσοχή.
- Η φαινοβαρβιτάλη χρησιμοποιείται ως υπνωτικό και αντιεπιληπτικό. Μπορεί να προκαλέσει δυσκολία στην αναπνοή, προβλήματα άρθρωσης, σύγχυση, οίδημα του προσώπου και των χειλών και άλγος στο λαιμό.
- Η γλουτεθμίδη (υπνωτικό) μπορεί να προκαλέσει προβλήματα άρθρωσης και αργή προβληματική αναπνοή.
- Η καρβαμαζεπίνη (αντιεπιληπτικό) μπορεί να προκαλέσει ακανόνιστη αναπνοή, σύγχυση, προβλήματα άρθρωσης, εμβοή ώτων, ξηροστομία, ερεθισμό ή φλεγμονή της γλώσσας και μερικές φορές σοβαρές νοητικές διαταραχές.
- Η φανντούνη (αντιεπιληπτικό, αντιαρρυθμικό) μπορεί να προκαλέσει άλγος στο λαιμό, οίδημα προσώπου, διόγκωση και αιμορραγία των ούλων, προβλήματα άρθρωσης, σύγχυση και νοητική αποδιοργάνωση.

## 9. Αντικαταθλιπτικά:

- Αμυντοπιτιλίνη (σύγχυση, διαταραχές της πρόσφατης μνήμης, μείωση της προσοχής, αποπροσανατολισμό και ξηροστομία)
- Βουπροπιόνη (ξηροστομία ή σιελόρροια, φλεγμονή του στόματος, σύγχυση, αποδιοργάνωση της σκέψης, προβλήματα μνήμης, μείωση της προσοχής, αποπροσανατολισμό και εμβοή ώτων)
- Δεσιπραμίνη (δυσκολία στην αναπνοή, σύγχυση, προβλήματα απώλειας πρόσφατης μνήμης, μείωση της προσοχής, αποπροσανατολισμό, τραύλισμα, άλγος στο λαιμό, ξηροστομία, κλονικούς μυϊκούς σπασμούς του σαγονιού και σε περίπτωση εμφάνισης παρκινσονισμού δυσκολία στην ομιλία και απαθέτης προσωπείο)
- Φλουοξετίνη (δυσκολία στην αναπνοή, οίδη-

μα των αδένων, ξηροστομία, ρινική συμφόρηση, βήχα, τραύλισμό, μείωση της ικανότητας συγκέντρωσης, σύγχυση και προβλήματα μνήμης)

- Άλατα των λιθίου (αντιμανιοκαταθλιπτικά), (προβλήματα άρθρωσης, δυσκολία στην αναπνοή, ξηροστομία ή σιελόρροια, δύψα, σύγχυση, αποπροσανατολισμό, απώλεια μνήμης και σε περίπτωση παρκινσονισμού δυσκολία στην ομιλία και στην κατάποση, απαθέτης προσωπείο). Σε περίπτωση υποθυρεοειδισμού μπορεί να προκληθούν βράγχος φωνής και οίδημα στο λαιμό)
- Νορτριπτιλίνη, η αμοξαπίνη, η δοξεπίνη, η ιμιπραμίνη, η μαπροτιλίνη και η τραζοδόνη, (προβλήματα αναπνοής, ξηροστομία, άλγος στο λαιμό, σύγχυση, πρόβλημα στην πρόσφατη μνήμη, αποπροσανατολισμό και μείωση της προσοχής).
- Σετραλίνη (τραύλισμα, διαταραχές της ομιλίας και φτωχά αρθρωμένο λόγο).
- Τρανυλκυπρομίνη (ήπιο τραύλισμό ή λεκτική δυσχέρεια, αυξάνει με την αύξηση της δόσης), μειωμένη λεκτική και μη λεκτική ευφράδεια).
- Κλομιπραμίνη, που χρησιμοποιείται στην αντιμετώπιση της ψυχαναγκαστικής διαταραχής, μπορεί να προκαλέσει ξηροστομία και εμβοή ώτων.

## 10. Μυοχαλαρωτικά:

- Ορφανιναδρίνη (ξηροστομία, σύγχυση, προβλήματα στην πρόσφατη μνήμη, αποπροσανατολισμό και μείωση της προσοχής)

## 11. Νικοτίνη:

Οι μαστίχες νικοτίνης, που χρησιμοποιούνται για την απεξάρτηση από το κάπνισμα, δυσκολία στην αναπνοή, ξηροστομία, πόνο στο στόμα και το λαιμό, μυϊκές συσπάσεις του σαγονιού και διαταραχές στην ακοή.

## 12. Φάρμακα που χρησιμοποιούνται στην αναισθησία:

- Μπουτορφανόλη (ξηροστομία, βήχα, φαρυγγίτιδα, ερεθισμό και συμφόρηση της ρινός, σύγχυση, εμβοή ώτων και πόνο στα αυτιά).
- Δαντρολένη (διαταραχή του λόγου και σύγχυση).

## 13. Αντιαρρυθμικά – αντιστηθαγχικά – αντιυπερτασικά:

- Λιδοκαΐνη (αντιαρρυθμικό) (αποπροσανατολισμό και υπνηλία)
- Κινιδίνη (αντιαρρυθμικό) (λαχάνιασμα,

- σύγχυση, εμβοή ώτων και απώλεια της ακοής)
- *Προκαΐναμίδη* (αντιαρρυθμικό) (ξηρότητα στο στόμα, τη μύτη και το λαιμό καθώς και σύγχυση)
  - *Δισοπυραμίδη* (αντιαρρυθμικό) (ξηρότητα στο στόμα, τη μύτη και το λαιμό, άλγος στο λαιμό, δυσκολία στην αναπνοή, σύγχυση, προβλήματα απώλειας πρόσφατης μνήμης, μείωση της προσσοχής και αποπροσανατολισμό).
  - *Τοκαϊνίδη* (αντιαρρυθμικό) (δυσκολία στην αναπνοή, βήχα, άλγος στο λαιμό και σύγχυση)
  - *Φλεκαϊνίδη* (αντιαρρυθμικό) (οίδημα στα χειλη, στο στόμα και τη γλώσσα, ξηροστομία και εμβοή ώτων)
  - β-αδρενεργικοί ανταγωνιστές (προπρανόλόλη, ακεμποντολόλη, αλπρενολόλη, μετοπρολόλη, πρακτολόλη) χρησιμοποιούνται ως αντιαρρυθμικά, αντι-στηθαγχικά, αντιυπερτασικά, και η τιμολόλη στην αντιμετώπιση του γλαυκώματος. Μπορεί να προκαλέσουν δυσκολία στην αναπνοή, σύγχυση, ξηροστομία, πόνο στο στόμα και το λαιμό, ρινική συμφόρηση, νυχτερινό βήχα και απώλεια μνήμης.
  - *Αμιοδαρόνη* (αντιαρρυθμικό) (επώδυνη δυσκολία στην αναπνοή, σιελόρροια και επώδυνη αναπνοή).
  - *Ανταγωνιστές ασβεστίου* (*ισραδιπίνη, νικαρδιπίνη, νιφεδιπίνη, βεραπαμίλη, διλτιαζέμη*) χρησιμοποιούνται ως αντιαρρυθμικά, αντιστηθαγχικά και αντιυπερτασικά. Μπορεί να προκαλέσουν ξηροστομία, δίψα, διόγκωση και αιμορραγία των ούλων, βήχα, λαχάνιασμα και σύγχυση
  - *Εδροφάνιο* (αντιχολινεστερασικό, αντιαρρυθμικό) (δυσαρθρία, δυσφωνία και δυσκολία κατάποσης)
  - *Αμυλονιτρίδιο* και *νιτρικοί εστέρες* (αντιστηθαγχικά) (δυσκολία στην αναπνοή, ξηροστομία και προβλήματα στην άρθρωση)
  - *Αναστολείς του μετατρεπτικού ενζύμου της αγγειοτασίνης II* (αντιυπερτασικά) (δυσκολία στην αναπνοή, ξαφνικό οίδημα των χειλιών, της γλώσσας και του λαιμού, σύγχυση, βράγχος, μούδιασμα ή κνησμό στα χειλη, δυσκολία στην κατάποση, βήχα ή αίσθηση γαργαλητού στο λαιμό)
  - *Διαξοξίδη* (αντιυπερτασικό) (σφίξιμο στηθος, ξηροστομία, στιγμαία απώλεια της

ακοής και εμβοή ώτων)

- *Διουρητικά της αγκύλης του Helne* (φουροσεμίδη, βουμετανίδη) (ξηροστομία και δίψα)
- *Σπειρονολακτόνη* (διουρητικό, ανταγωνιστής της αλδοστερόνης) (δυσκολία στην αναπνοή, άλγος στο λαιμό, ξηροστομία, σύγχυση και αλλαγή της χροιάς της φωνής στις γυναίκες)
- *Συμπληρώματα καλίου* (μούδιασμα ή κνησμό στα χεῖλη και σύγχυση).

#### 14. Αντιεκκριτικά γαστρικού υγρού:

- *Ανταγωνιστές των H<sub>2</sub>* υποδοχέων της ισταμίνης (σιμετιδίνη, φαμοτιδίνη, νιζατιδίνη) (άλγος στο λαιμό, ρινική συμφόρηση, οίδημα του προσώπου και των χειλιών, δυσκολία στην αναπνοή και την ομιλία)
- *Αναστολείς της αντλίας υδρογόνου-καλίου* (ομεπραζόλη) (δυσκολία στην αναπνοή, άλγος στο λαιμό και πληγές στο στόμα).

#### 15. Φάρμακα που χρησιμοποιούνται στο γλαύκωμα:

- *Αναστολείς της καρβονικής ανύδρασης (ακεταζολαμίδη, μεθαζολαμίδη)* (ξηροστομία, δίψα, άλγος στο λαιμό, σύγχυση, δυσκολία στην αναπνοή, εμβοή ώτων, μούδιασμα, κνησμό ή καυσαλγίες στο στόμα, τα χεῖλη και τη γλώσσα)
- *Μουσκαρινικοί αγωνιστές (καρβαχόλη, πιλοκαρπίνη)* (λαχάνιασμα και σιελόρροια).

#### 16. Ορμόνες

- *Οιστρογόνα και προγεστεροειδή (οιστραδιόλη, διαιθυλστιλβεστρόλη, οιστροπιπάτη, μεδροξυπρογεστερόνη, νορεθινδόρνη)* (δυσκολία στην αναπνοή και προβλήματα άρθρωσης).
- *Ανδρογόνα (φλονοξυμεστερόνη, μεθυλοεστοστερόνη)* (βαθαίνουν τη φωνή και μπορεί να προκαλέσουν δυσκολία στην αναπνοή, άλγος στο λαιμό και πορφυρέρυθρες κηλίδες στο στόμα).
- *Καλσιτονίνη* (βήχας, ξηροστομία, εμβοή ώτων, απώλεια ακοής και πόνο στο αυτί)
- *Ετιδρονικό νάτριο* (οισοφαγίτιδα, οίδημα στη γλώσσα και σύγχυση)
- *Αντιδιαβητικά που λαμβάνονται από το στόμα* (γλιζιπίδη, γλυβουριδη, τολαζαμίδη, τολβουταμίδη) (ξηροστομία, άλγος στο λαιμό, δυσκολία στην αναπνοή, βαθιές γρήγορες αναπνοές και σύγχυση)

**17. Αντιμικροβιακά χημειοθεραπευτικά φάρμακα:**

- Πενικιλίνες (αμπικιλίνη, αμοξισιλίνη, πενικιλίνη G, πενικιλίνη V, κλοξακιλίνη, καρβενικιλίνη) (ξηροστομία, οίδημα στη γλώσσα, τραχεία γλώσσα, αποχωριματισμό στη γλώσσα, πόνο στο στόμα και τη γλώσσα, δίψα)
- Κεφαλοσπορίνες (κεφιξιμίνη, κεφουροξίμη, κεφακλόρη, κεφαδροξίλη, κεφαλεξίνη, κεφαδρίνη) (δυσκολία στην αναπνοή, ξηροστομία, δίψα, πόνο στο στόμα και τη γλώσσα).
- Τετρακυλίνες (δοξυκυκλίνη, τετρακυκλίνη, δεμεκλοκυκλίνη) (άλγος στο λαιμό, στο στόμα και τη γλώσσα, αποχωριματισμό του στόματος και της γλώσσας, οίδημα στη γλώσσα, οισοφαγίτιδα και δυσκολία στην κατάποση)
- Κλινταμυκίνη (λινκοξαμίδιο) (δίψα και πόνο στο στόμα και τη γλώσσα)
- Ερυθρομυκίνη (μακρολίδιο) (άλγος στο στόμα και τη γλώσσα και σπανίως προσωρινή απώλεια ακοής)
- Αμινογλυκοσίδες (στρεπτομυκίνη, γενταμυκίνη, καναμυκίνη, νεομυκίνη, αμικασίνη) (βλάβη του λαβυρίνθου με αποτέλεσμα ίλιγγο, αταξία και βλάβη του κοχλία που οδηγεί στην κώφωση).
- Ισονιαζίδη (αντιφυματικό) (προβλήματα άρθρωσης, δυσκολία στην αναπνοή, σύγχυση, ανικανότητα συγκέντρωσης, πόνο στο λαιμό, στο στόμα και τη γλώσσα)
- Τριμεθοπρόμη (αναστολέας της βακτηριακής δεϋδρογονάσης του διϋδροφολικού οξέος), (πόνο στο λαιμό, στο στόμα και τη γλώσσα, μελάνιασμα των χειλιών και δυσκολία στην αναπνοή)
- Μετρονιδαζόλη (είναι και αντιπρωτοξωικό) (ξηροστομία και πόνο στο λαιμό, στο στόμα και τη γλώσσα).

**18. Ανθελμινθικά:**

Μεμπενταζόλη (άλγος στο λαιμό και εμβοή ώτων).

**19. Φάρμακα που επιδρούν στη σύνθεση, το μεταβολισμό και την απορρόφηση της χολητεροδόλης:**

- Χολεστυραμίνη (ερεθισμό της γλώσσας και εμβοή των ώτων)
- Λοβαστατίνη (δυσκολία στην αναπνοή, οίδημα στο πρόσωπο και τα χεῖλη)
- Προβουκόλη (οίδημα στο πρόσωπο και το στόμα, μούδιασμα ή κνησμό στο πρόσωπο και εμβοή των ώτων).

**Προβλήματα στην επικοινωνία από τη λήψη φαρμάκων**

**1. Αναστολείς της κυκλοοξυγενάσης του αραχιδονικού οξέος:**

Οι αναστολείς της κυκλοοξυγενάσης του αραχιδονικού οξέος είναι μη στεροειδή αντιφλεγμονώδη αναλγητικά, όπως το ακετυλοσαλικυλικό οξύ, η σαλικυλική χολίνη, δικλοφενάκη, φενοπροφένη, μιπουπροφένη, κετοπροφένη, μεκλοφαιναμικό, ναπροξίνη, σουλιντάκη, φλουρμπροφένη. Μπορεί να προκαλέσουν αλλαγές στην ακοή, εμβοή ώτων, δυσκολία στην αναπνοή, σύγχυση και διαταραχές μνήμης.

**2. Οπιοειδής αγωνιστές:**

Οι οπιοειδής αγωνιστές χρησιμοποιούνται στην αντιμετώπιση του πόνου (ναρκωτικά αναλγητικά: καθεδίνη, υδρομορφόνη, μεπεριδίνη), στην αναισθησία (νευροληπτο-αναλγησία: φαιντανύλιο), ως αντιβηχικά (υδροκαδόνη) και σε γαστρεντερικές διαταραχές (λοπεραμίδη). Μπορεί να προκαλέσουν ξηροστομία, οίδημα στο πρόσωπο, εμβοή των ώτων, αναπνευστική καταστολή, σύγχυση, προβλήματα πρόσφατης μνήμης, απορροσανατολισμό, αποσύνδεση της προσοχής, διαταραχή της σκέψης, διαταραχή του λόγου, αφασία.

**3. Τοπικά αναισθητικά:**

Η λιδοκαΐνη (δυσκολία στην αναπνοή, εμβοή ώτων, ευφορία, νευρικότητα και έντονη ανησυχία).

**4. Αντιμυκητιασικά:**

Η αμφοτερικίνη B, τέλος, μπορεί να προκαλέσει λαχάνιασμα, εμβοή ώτων, ίλιγγο και απώλεια ακοής.

## ΣΥΜΠΕΡΑΣΜΑΤΑ

Οι θεραπευτές που θέτουν τη διάγνωση και βοηθούν στην περίθαλψη ατόμων που παρουσιάζουν διαταραχές της οιμιλίας και της γλώσσας, είναι εξοικειωμένοι με τις αρνητικές φαρμακολογικές επιδράσεις ορισμένων φαρμάκων στην οιμιλία, τη γλώσσα και το σύστημα κατάποσης. Οι επιδράσεις αυτές ίσως παρουσιάζουν διακυμάνσεις από ασθενή σε ασθενή σε συνάρτηση με τη δόση και τη φάση της ασθενειας. Ένας αυξανόμενος αριθμός φαρμάκων προσφέρει ανακούφιση στη συντριπτική πλειοψηφία των πρωτογενών ασθενειών, ίσως οι επιδράσεις των φαρμάκων αυτών στην οιμιλία, τη γλώσσα και την κατάποση έχουν απασχολήσει την έρευνα σε περιορισμένο μόνο βαθμό. Η παρούσα ανασκόπηση προσπαθεί να κάνει μία επι-

σκόπηση αυτών των φαρμάκων, να υπογραμμίσει δηλαδή θεμελιώδη κλινικά συμπτώματα, τα οποία μερικές φορές δε συνδέονται, ή δε συνδέονται αποκλειστικά με ενδογενείς διαταραχές του λόγου και της κατάποσης, αλλά και με την πρόσληψη φαρμάκων. Η επιτακτική ανάγκη δημιουργίας μιας γλωσσοπαθολογικής φαρμακολογίας αναδύθηκε από την επιθυμία συνδυασμού των γνώσεων γύρω από τα φάρμακα με την προσπάθεια επίλυσης των καθημερινών προβλημάτων που εμφανίζονται στην κλινική πρακτική της γλωσσοπαθολογίας. Εκτός από τις ανεπιθύμητες ενέργειες των φαρμάκων που ήδη αναφέρθηκαν υπάρχει και η θετική πλευρά η οποία αφορά στην ύπαρξη ενός αριθμού φαρμάκων, τα οποία παρουσιάζουν θεραπευτικό αποτέλεσμα σε κάποιες διαταραχές της ομιλίας, όπως, για παράδειγμα, η προπρανολόλη, η οποία χρησιμοποιείται ήδη στην αντιμετώπιση της οφειλόμενης σε μυϊκό τρόμο σπασμωδικής δυσφωνίας<sup>11</sup>, ενώ επιπρόσθετα έχουν αναφερθεί και φάρμακα τα οποία βοηθούν αποτελεσματικά στην αντιμετώπιση του τραυλισμού<sup>12</sup>.

## ABSTRACT

*Proios H, Artemis N. Drug actions on communication and swallowing. A new “logopathological pharmacology”. Hell Iatr 2004, 70: 36-42.*

The majority of drugs used for diseases not relevant to speech and language disturbances (e.g., some antiulcer and some antibacterial drugs), and practically all drugs that act on the central and peripheral nervous system, may influence the communication capabilities of patients either directly, causing for example dysarthria and tinnitus, or indirectly, causing memory, concentration and cognitive problems. The present review attempts to emphasize the need to construct a new “logopathological pharmacology” with subject matter these new drug actions on communication and swallowing.

## ΒΙΒΛΙΟΓΡΑΦΙΑ

1. AARP Pharmacy Service Prescription Drug Handbook, 2nd ed., New York: Harper Perennial, 1992.
2. Arky R. Physician's Desk Reference. Montvale, NJ: Medical Economics Data Production Co. 48th ed., 1994.
3. Bhatnager SC. Neuroscience: For the study of Communicative Disorders, 2nd ed., Lippincott Williams & Wilkins 2002: 1-373.
4. Margolis S. (ed.) The Johns Hopkins Handbook of Drugs. New York: Rebus, Inc. 1993.
5. Vogel D, Carter, J. The effects of drugs on communication disorders, San Diego, CA: Singular Publishing Group, Inc 1995.
6. Miller RM, Groher ME. Medical Speech Pathology. Aspen Publishers, Inc. 1990: 1-396.
7. Burdavari S. (ed.) The Merck Index. Rahway, NJ: Merck & Co. 11<sup>th</sup> ed., 1993.
8. Rang HP, Dale MM. Pharmacology, Livingstone Churchill, Medical Division of Longman Group 1987.
9. Παναγής, Γ.Θ. Γέφυρα προσέγγισης ανάμεσα στην Ψυχολογία και τη Φαρμακολογία, Ψυχολογία, 2002, 9: 396-407.
10. Avorn, J. Neuroleptic drug exposure and treatment of parkinsonism in the elderly: A case-control study. The American Journal of Medicine 1995, 99: 48-54.
11. Rosenfield DB. Pharmacologic approaches to speech motor disorders. In Vogel D. and Cannito M.P., editors: Treating disordered speech motor control, Austin TX 1991, Pro-Ed.
12. Avallone DM. Drug therapy for stutterers: A review of research, American Archive Rehabilitative Therapy, 1975, 23: 4-7.

Αλληλογραφία:

Χ. Πρώιου  
Μητροπόλεως 52  
546 21 Θεσσαλονίκη

Corresponding author:  
H. Proios  
52, Mitropoleos Str.  
546 21 Thessaloniki  
Greece

## Απομόνωση στελεχών *Escherichia coli* O157: H7 από τρόφιμα ζωικής προέλευσης και παραγωγικά ζώα

Α. Ντόντορου<sup>1</sup>, Χ. Παπαδοπούλου<sup>1</sup>, Γ. Φιλιούσης<sup>2</sup>, Ε. Οικονόμου<sup>1</sup>,  
Ι. Αποστόλου<sup>1</sup>, Γ. Ζάκας<sup>1</sup>, Α. Σαλαμούρα<sup>1</sup>, Α. Κανσουζίδου<sup>3</sup>,  
Σ. Λεβειδιώτου<sup>1</sup>

<sup>1</sup> Μονάδα Μικροβιολογίας Τροφίμων, Εργαστήριο Μικροβιολογίας,  
Ιατρική Σχολή, Πανεπιστήμιο Ιωαννίνων, Ιωάννινα

<sup>2</sup> Εργαστήριο Μικροβιολογίας Τροφίμων, 406 Γενικό Στρατιωτικό Νοσοκομείο, Ιωάννινα

<sup>3</sup> Εθνικό Κέντρο Αναφοράς, Μικροβιολογικό Εργαστήριο,  
Νοσοκομείο Ειδικών Παθήσεων, Θεσσαλονίκη

**Περίληψη.** Η παρουσία της *Escherichia coli* O157: H7 σε τρόφιμα ζωικής προέλευσης και παραγωγικά ζώα, αναζητήθηκε στην περιοχή της ΒΔ Ελλάδας. Εξακόσια πενήντα πέντε δείγματα μη παστεριωμένου ογκελαδινού, πρόβειου και γίδινου γάλακτος, νωπού μοσχαρίσιου κιμά, χάμπουργκερς, σάντουιτς αλλαντικών, χωριάτικων λουκάνικων και χοιρινών εντέρων έτοιμων για την παρασκευή παραδοσιακών εδεσμάτων (κοκορέτσι), καθώς και τριακόσια πενήντα ένα δείγματα κοπράνων ζώων, εξετάστηκαν με τις μεθόδους της κλασικής καλλιέργειας, του ανοσομαγνητικού διαχωρισμού και της PCR. Το βακτήριο απομονώθηκε από τα 122 (0,8%) δείγματα πρόβειου γάλακτος, 1 από τα 92 (1,1%) χωριάτικα λουκάνικα, ένα από τα 50 (2%)

δείγματα παραδοσιακών εδεσμάτων και από ένα από τα 82 (1,2%) δείγματα κοπράνων αιγών. Τα στελέχη που απομονώθηκαν από τα τρόφιμα δεν ζύμωναν τη σορβιτόλη, ήταν MUG αρνητικά και έφεραν τα γονίδια για τις βεροτοξίνες VT1 και VT2. Το στελέχος που απομονώθηκε από τα κόπρανα αίγας ήταν MUG θετικό, μια ιδιαίτερα σπάνια βιοχημική ιδιότητα και έφερε το γονίδιο για τη βεροτοξίνη VT2. Τα στελέχη που απομονώθηκαν εξετάστηκαν και βρέθηκαν ευαίσθητα σε οκτώ αντιβιοτικά (αμπικιλίνη, χλωροφραΐκολη, καναμυκίνη, ναλιδιξικό οξύ, νορφλοξασίνη, στρεπτομυκίνη, σουλφαμεθοξαζόλη-τριμεθοπρίμη και τετρακυκλίνη).

Ελλην Ιατρ 2004, 70: 43 - 49.

Η *Escherichia coli* O157:H7 αποτελεί ένα ολοένα και συχνότερο αίτιο γαστρεντερικής νόσου και περιλαμβάνεται στα σημαντικότερα εντερικά παθογόνα του ανθρώπου. Η *E.coli* O157:H7 αναγνωρίστηκε για πρώτη φορά ως εντερικό παθογόνο το 1982, οπότε και προκάλεσε δύο μεγάλες επιδημίες αιμορραγικής κολίτιδας στις Η.Π.Α.<sup>1</sup>. Από τότε μέχρι σήμερα, το βακτήριο θεωρήθηκε υπεύθυνο για εκατοντάδες επιδημίες αλλά και μεμονωμένα περιστατικά παγκοσμίως. Η *E.coli* O157:H7 μπορεί να προκαλέσει αιμορραγική κολίτιδα, αιμολυ-

τικό ουραιμικό σύνδρομο, θρομβωτική θρομβοπενική πορφύρα και σε σοβαρές περιπτώσεις, θάνατο<sup>2</sup>. Δεξαμενή του βακτηρίου στη φύση αποτελούν υγιή βοοειδή<sup>3</sup>, ενώ η κατανάλωση ατελώς ψημένου βοείου αρέατος<sup>1,4</sup> και μη παστεριωμένου αγελαδινού γάλακτος<sup>5</sup>, είναι οι σημαντικότεροι τρόποι μετάδοσής του στον άνθρωπο. Ωστόσο, και άλλα είδη τροφίμων έχουν ενοχοποιηθεί κατά καιρούς για τη μετάδοση της *E.coli* O157:H7 στον άνθρωπο, όπως το γίδινο γάλα και τυρί<sup>6,7</sup>, τα λουκάνικα<sup>8</sup>, το γιαούρτι<sup>9</sup>, τα σάντουιτς αρεατικών<sup>10</sup>, κα-

θώς και ο μη παστεριωμένος μηλίτης οίνος και ο χυμός μήλου<sup>11,12</sup>.

Στη χώρα μας, δεν υπάρχουν πολλά στοιχεία για την παρουσία της *E.coli* O157:H7 τόσο σε ανθρώπους, όσο και σε ζώα και τρόφιμα. Στην Ελλάδα δεν έχει συμβεί καμία επιδημία εξαιτίας του βακτηρίου, ενώ τα τελευταία 15 χρόνια έχουν καταγραφεί στα αρχεία του Εθνικού Κέντρου Αναφοράς, τέσσερα σποραδικά περιστατικά σε ανθρώπους.

Σκοπός της παρούσας εργασίας ήταν η αναζήτηση στελεχών της *E.coli* O157:H7 σε τρόφιμα ζωικής προέλευσης, συμπεριλαμβανομένων κάποιων παραδοσιακών ελληνικών εδεσμάτων και ο έλεγχος της μικροβιοφορίας στα παραγωγικά ζώα.

## ΥΛΙΚΟ ΚΑΙ ΜΕΘΟΔΟΣ

**Συλλογή των δειγμάτων:** Η συλλογή των δειγμάτων τροφίμων έγινε από εκτροφές γαλακτοπαραγωγικών ζώων, από σουπερμάρκετ, καταστήματα λιανικής πώλησης και καντίνες στρατοπέδων, κατά τα έτη 2000 και 2001. Τα τρόφιμα ομαδοποιήθηκαν σε τέσσερις κατηγορίες. Η πρώτη κατηγορία περιελάμβανε 339 δείγματα μη παστεριωμένου γάλακτος (116 δείγματα αγελαδινού, 122 δείγματα πρόβειου και 100 δείγματα γίδινου γάλακτος). Η δεύτερη κατηγορία περιελάμβανε δείγματα κρέατος που δεν είχαν υποστεί θερμική επεξεργασία και συγκεκριμένα 50 ωμά προμαγειρευμένα μοσχαρίσια μπιφτέκια (χάμπουργκερς), 61 σάντουντς που περιείχαν ζαμπόν ή γαλοπούλα, ανάμικτες σαλάτες λαχανικών με μαριγονέζα και μαρούλι, καθώς και 64 δείγματα νωπού μοσχαρίσιου κιμά. Η τρίτη κατηγορία περιελάμβανε δείγματα αλλαντικών και συγκεκριμένα 92 χωριάτικα λουκάνικα, ενώ η τέταρτη κατηγορία περιελάμβανε 50 δείγματα χοιρινών εντέρων που χρησιμοποιούνταν για την παρασκευή παραδοσιακών εδεσμάτων, όπως το κοκορέται.

Όλα τα δείγματα τροφίμων συλλέγονταν κάτω από άσητης συνθήκες σε αποστειρωμένους περιέκτες και μεταφέρονταν στο εργαστήριο στους 4°C τα νωπά και στους -4°C τα καταψυγμένα τρόφιμα, μέσα σε ισόθερμα κιβώτια. Τα νωπά τρόφιμα έχετάξονταν αμέσως μετά την άφιξή τους στο εργαστήριο, ενώ τα καταψυγμένα αποθηκεύονταν στους -18°C και εξετάζονταν μετά την απόψυξή τους.

Τα δείγματα των κοπράνων ζώων συλλέχθηκαν από εκτροφές αγελάδων (99 δείγματα), προβάτων (171 δείγματα) και αιγάνων (81 δείγματα). Τα δείγματα κοπράνων συλλέγονταν με βαμβακοφόρους στυλεούς από το απευθυνόμενο των ζώων και μεταφέρονταν στο εργαστήριο σε αποστειρωμένους περιέκτες στους -4°C.

**Καλλιέργεια και απομόνωση της *E.coli* O157:H7:** Ποσότητα 25 g από κάθε δείγμα τροφίμου προστίθετο σε 225 ml ζωμού tryptone soya broth (TSB/CM129, Oxoid, UK), το οποίο περιείχε 20 mg/l novobiocin (Novobiocin/N1628, Sigma, Germany). Ακολούθως ομογενοποιήση σε αναδευτήρα τύπου stomacher για τουλάχιστον δύο λεπτά και επώαση του δείγματος στους 37°C για 16-18 ώρες. Μετά την επώαση, εφαρμόζονταν η μεθοδολογία του ανοσομαγνητικού διαχωρισμού σύμφωνα με τις οδηγίες της κατασκευάστριας εταιρεί-

ας (Dynal, Norway). Στη συνέχεια, δύο ποσότητες 50 μl από το κάθε δείγμα τροφίμου, ενοφθαλμίζονταν σε Sorbitol Mac Conkey Agar (SMAC Agar, Merck, Germany), το οποίο περιείχε 0,05 mg Cefixime και 2,5 mg Tellurite (CT Supplement 109202, Merck), καθώς και σε Fluorocult Agar (Fluorocult Agar/104036, Merck). Τέλος, ακολούθως επώαση στους 37°C για 18-24 ώρες. Μετά την επώαση, εξετάζονταν οι αποικίες ως προς τη ζύμωση της σορβιτόλης και την παρουσία β-γλυκούρουνιδάσης. Οι ύποπτες αποικίες εξετάζονταν για τις βιοχημικές τους ιδιότητες με το σύστημα API 20E (API 20E/2010, Biomerieux, France).

Για τα δείγματα κοπράνων ζώων, εφαρμόζονταν η μεθοδολογία της κλασικής καλλιέργειας με το ίδιο προεπιλογικό υλικό και στα ίδια στερεά θρεπτικά υποστρώματα όπως περιγράφηκαν και για τα δείγματα των τροφίμων.

**Ορολογική ταυτοποίηση:** Όλες οι σορβιτόλη-αρνητικές αποικίες από το CT-SMAC Agar, καθώς και όλες οι MUG-αρνητικές αποικίες από το Fluorocult Agar, δοκιμάζονταν ορολογικά με σωματίδια latex καλυμμένα με αντιορό ειδικό για την *E.coli* O157.

**Μέθοδος PCR:** Από τα δείγματα τροφίμων 55 δείγματα και συγκεκριμένα, 22 δείγματα πρόβειου γάλακτος, 16 δείγματα αγελαδινού γάλακτος και 17 χωριάτικα λουκάνικα, εξετάστηκαν και με τη μέθοδο της PCR. Για τη μέθοδο αυτή χρησιμοποιήθηκαν τα αντιδραστήρια AutoBax-E. Coli O157:H7 του αυτοματοποιημένου κλειστού συστήματος PCR, BAX (Qualicon, Wilmington, Del), στο οποίο έγινε η εξέταση των δειγμάτων αυτών.

**Ταυτοποίηση, φαγοτυπία, ανίχνευση παραγωγής τοξινών:** Τα στελέχη της *E.coli* O157:H7 που απομονώθηκαν, στάλθηκαν στο Εθνικό Κέντρο Αναφοράς (Θεσσαλονίκη) και στο Special Projects Lab (Laboratory for Enteric Pathogens, CPHLS, UK) για την *E.coli* O157:H7, για φαγοτυπία και ανίχνευση παραγωγής τοξινών. Η ανίχνευση της παραγωγής τοξινών από τα στελέχη, πραγματοποιήθηκε με multiplex PCR (SPL, CPHLS).

**Εναυσθησία στα αντιβιοτικά:** Τα στελέχη της *E.coli* O157:H7 που απομονώθηκαν, δοκιμάστηκαν ως προς την ευαισθησία τους σε οκτώ αντιβιοτικά (αμπικιλίνη, χλωραμφουνικόλη, καναμικίνη, ναλιδιξικό οξύ, νορφλοξασίνη, στρεπτομυκίνη, σουλφαμεθοξαζόλη-τριμεθοπριμίη και τετρακυκλίνη) με τη μέθοδο Kirby-Bauer<sup>13</sup>.

## ΑΠΟΤΕΛΕΣΜΑΤΑ

Από τα δείγματα των τροφίμων που εξετάστηκαν, απομονώθηκαν τρία στελέχη της *E.coli* O157:H7, ένα από τα 122 δείγματα πρόβειου γάλακτος (0,8%), ένα από τα 92 χωριάτικα λουκάνικα (1,1%) και ένα από τα 50 δείγματα παραδοσιακών εδεσμάτων (2%). Τα αποτελέσματα παρουσιάζονται στον πίνακα 1. Και τα τρία στελέχη δε ζύμωναν τη σορβιτόλη και δεν παρήγαν β-γλυκούρουνιδάση, έδιναν συγκόλληση με τον ειδικό αντιορό και έφεραν τα γονίδια και για τις δύο τοξίνες (VT1, VT2). Το στελέχος που απομονώθηκε από το πρόβειο γάλα ανήκε στο φαγότυπο 21/28, ενώ τα άλλα δύο στελέχη ανήκαν στο φαγότυπο 21. Τα

Πίνακας 1. Απομόνωση στελεχών της E. coli O157:H7 από τρόφιμα

Είδος τροφίμου	Αρ. δειγμάτων	Αρ. θετικών δειγμάτων (%)	Αρ. απομονωθέντων στελεχών	Παραγωγή VT1, VT2
Πρόβειο γάλα	122	1 (0,8)	1	1
Αγελαδινό γάλα	116	0 (0)	—	—
Γίδινο γάλα	100	0 (0)	—	—
Νωπός κιμάς	64	0 (0)	—	—
Χάμπουργκερς	50	0 (0)	—	—
Σάντουιτς	61	0 (0)	—	—
Κοκορέτσι	50	1 (2)	1	1
Λουκάνικα	92	1 (1,1)	1	1

Πίνακας 2. Χαρακτηριστικά των στελεχών της E.coli O157:H7 που απομονώθηκαν

Είδος δείγματος	Ζύμωση σορβιτόλης	MUG	VT1	VT2	Φάγος	Συγκόλληση με αντιορό
Πρόβειο γάλα	—	—	+	+	21/28	+
Λουκάνικο	—	—	+	+	21	+
Κοκορέτσι	—	—	+	+	21	+
Κόπρανα αίγας	—	+	—	+	14	+

στελέχη της E.coli O157:H7 που απομονώθηκαν ήταν ευαίσθητα και στα οκτώ αντιβιοτικά στα οποία δοκιμάστηκαν.

Από τα δείγματα των κοπράνων ζώων απομονώθηκε ένα στέλεχος της E.coli O157:H7 από τα 81 δείγματα κοπράνων αιγών που εξετάστηκαν (1,2%). Τα αποτελέσματα παρουσιάζονται στον πίνακα 2. Το στέλεχος δε ζύμωνε τη σορβιτόλη, αλλά παρήγε β-γλυκούρονιδάση, έδινε συγκόλληση με τον ειδικό αντιορό και έφερε το γονίδιο μόνο για τη βεροτοξίνη VT2. Τέλος, το στέλεχος ανήκε στο φαγότυπο 14. Τα χαρακτηριστικά των στελεχών της E.coli O157:H7 που απομονώθηκαν παρουσιάζονται στον πίνακα 2.

## ΣΥΖΗΤΗΣΗ

Στη διεθνή βιβλιογραφία υπάρχουν αρκετές αναφορές από έρευνες σχετικά με την παρουσία της E.coli O157:H7 σε διάφορα είδη τροφίμων (Πίν. 3). Στην Αίγυπτο, ποσοστό 6% των δειγμάτων νωπού αγελαδινού γάλακτος που εξετάστηκαν, βρέθηκαν μολυσμένα με E.coli O157:H7<sup>14</sup>. Στην Αυστρία αναφέρεται ποσοστό 3% μολυσμένου αγελαδινού γάλακτος<sup>15</sup>, ενώ στη Γερμανία μόλις 0,3%<sup>16</sup>. Αντίθετα, σε αντίστοιχες έρευνες στις Η.Π.Α.<sup>17</sup>, στη Βρετανία<sup>18</sup> και στην Ολλανδία<sup>19</sup>, δεν απομονώθηκε κανένα στέλεχος της E.coli O157:H7 από τα εξετασθέντα δείγματα νωπού αγελαδινού γάλακτος. Όσον αφορά στο μη παστεριωμένο πρόβειο και γίδινο γάλα, σε έρευνα που πραγματοποιήθηκε στη Βρετανία δεν απομονώθηκε

κανένα στέλεχος του βακτηρίου<sup>20</sup>, σε αντίθεση με τη δική μας εργασία στην οποία απομονώθηκε ένα στέλεχος από το πρόβειο γάλα (0,8%), αλλά κανένα από το γίδινο γάλα.

Έρευνες έχουν πραγματοποιηθεί και σε λουκάνικα, όπου το ποσοστό απομόνωσης της E.coli O157:H7 από αυτά είναι: στη Γαλλία 0,4%<sup>21</sup>, στην Αργεντινή 4,8% για τα νωπά λουκάνικα και 3,3% για εκείνα που έχουν υποστεί ξήρανση<sup>22</sup>. Στη δική μας έρευνα, ποσοστό 1,1% από τα χωριάτικα λουκάνικα που εξετάστηκαν βρέθηκαν μολυσμένα με E.coli O157:H7.

Όσον αφορά στα χάμπουργκερς, στην Κολομβία αναφέρεται ποσοστό μόλυνσής τους 8,7%<sup>23</sup>, ενώ αντίθετα στη Βραζιλία<sup>24</sup> δεν απομονώθηκε κανένα στέλεχος του βακτηρίου από τα εξετασθέντα δείγματα, όπως και στη δική μας εργασία.

Δείγματα νωπού μοσχαρίσιου κιμά εξετάστηκαν σε αρκετές χώρες για την παρουσία E.coli O157:H7. Στη Δανία αναφέρεται ποσοστό μόλυνσης του κιμά 0,3%<sup>25</sup>, στην Ολλανδία 1,1%<sup>26</sup> και στην Ελβετία 0%<sup>27</sup>, όπως και στη δική μας έρευνα. Αντίστοιχες έρευνες σε σάντουιτς και δείγματα από κοκορέτσι δεν αναφέρονται στη διεθνή βιβλιογραφία.

Η μικροβιοφορία της E. coli O157 σε παραγωγικά ζώα έχει αναφερθεί σε πολλές χώρες. Συγκεκριμένα, 16,6% των αγελάδων στην Ιταλία<sup>28</sup>, 12,9% στη Βρετανία<sup>29</sup>, 11,1% στην Ολλανδία<sup>30</sup>, 10,8% στη Γερμανία<sup>31</sup>, 9% στην Ισπανία<sup>32</sup>, 6,5% στην Κολομβία<sup>23</sup>, 1,8% στην Ιαπωνία<sup>33</sup>, 1,3% στη

Πίνακας 3. Απομόνωση στελεχών της E.coli O157 από τρόφιμα σε διάφορες χώρες

Χώρα	Αγελαδ. γάλα (%)	Πρόβειο γάλα (%)	Γίδινο γάλα (%)	Μοσχ. κρέας (%)	Λουκάνικα (%)	Χάμπουργκερς (%)
Αίγυπτος	6*			6*		
Αργεντινή				3,8**	4,8-3,3**	0**
Αυστρία	3***					
Βρετανία	0****	0****	0****			
Βραζιλία						0 <sup>+</sup>
Γαλλία					0,4++	
Γερμανία	0,3+++					
Δανία				0,3++++		
Ελβετία				0 <sup>§</sup>		
Ελλάδα	0	0,8	0	0	1,1	0
Η.Π.Α.	0 <sup>§§</sup>					
Κολομβία						8,7 <sup>§§§</sup>
Ολλανδία	0 <sup>§§§§</sup>			1,1 <sup>§§§§</sup>		

\*Abdul-Raouf et al, 1996, \*\*Chinen et al, 2001, \*\*\*Allerberger και Dierich, 1997, \*\*\*\*Coia et al, 2001

+Silveira et al, 1999, ++Vernoy-Rozard et al, 1997, +++Klie et al, 1997, +++++Boel et al, 1997

§Fantelli και Stephan 2001, §§Ansay και Kaspar, 1997, §§§Matta και V'squez, 1998, §§§§Heuvelink et al, 1998

Φινλανδία<sup>34</sup>, 1% στο Χονγκ Κονγκ<sup>35</sup>, 1,1% στη Σουηδία<sup>36</sup>, 0,3% στη Νορβηγία<sup>37</sup> και 0,13% στην Ταϊβάν<sup>38</sup> είναι φορείς αυτού του βακτηρίου. Σε παρόμοιες έρευνες στην Ουγκάντα<sup>39</sup> και στην Πολωνία<sup>40</sup> δεν απομονώθηκε κανένα στέλεχος της E. coli O157, όπως και στη δική μας εργασία.

Ανάλογη έρευνα στις Η.Π.Α. αποκάλυψε ποσοτό φορείας των προβάτων έως και 31% το μήνα Ιούνιο<sup>41</sup> ενώ μια άλλη μελέτη στη Βρετανία αναφέρει πολύ χαμηλότερο ποσοστό (7,4%) του βακτηρίου<sup>29</sup>. Αντίθετα, στη Νορβηγία κανένα στέλεχος της E. coli O157 δεν απομονώθηκε από τα πρόβατα<sup>42</sup>, όπως διαπιστώθηκε και στη δική μας εργασία.

Απομόνωση στελεχών της E. coli O157 από κόπρανα αιγάνων σπάνια έχει αναφερθεί. Για πρώτη φορά αναφέρθηκε απομόνωση του βακτηρίου από αιγάς το 1994 στη Βρετανία οπότε και προκάλεσε επιδημία σε ανθρώπους<sup>43</sup> και το 1995 πάλι από επιδημία στην Τσεχία<sup>6</sup>.

Η απομόνωση στελεχών της E.coli O157:H7, τόσο από τρόφιμα όσο και από παραγωγικά ζώα, αναφέρεται για πρώτη φορά στην Ελλάδα. Έρευνα που πραγματοποιήθηκε το 1994 σε 187 δείγματα κοπράνων μοσχαριών αγελάδων και πουλερικών, καθώς και σε 87 δείγματα νωπού και καταψυμένου κιμά, δεν αναφέρει απομόνωση στελεχών του βακτηρίου<sup>44</sup>. Η ίδια ομάδα ερευνητών, αναφέρει την απομόνωση ενός στελέχους E.coli O157:H7, από τα κόπρανα βρέφους εννέα μηνών με μη αιμορραγική διάρροια<sup>45</sup>. Το βακτήριο αναζητήθηκε στη χώρα μας και στο περιβάλλον και στο προσωπικό του μαγειρίου ενός νοσοκομείου στη Θεσ-

σαλονίκη, χωρίς επίσης να απομονωθεί κάποιο στέλεχος<sup>46</sup>. Τέλος, η E.coli O157:H7 αναζητήθηκε στην Ελλάδα και σε δείγματα πόσιμου και επιφανειακών νερών, χωρίς θετικό αποτέλεσμα<sup>47</sup>.

Όσον αφορά στην ευαισθησία των απομονωθέντων στελεχών στα αντιβιοτικά, αντίστοιχες έρευνες αναφέρουν την ύπαρξη στελεχών ανθεκτικών. Συγκεκριμένα, οι Meng και συν., εξέτασαν στελέχη της E.coli O157:H7 που απομονώθηκαν από ανθρώπους, ζώα και τρόφιμα, τα οποία σε ποσοστό 24% ήταν ανθεκτικά σε ένα αντιβιοτικό και 19% σε δύο ή περισσότερα αντιβιοτικά<sup>48</sup>. Επίσης, οι Radu και συν., εξέτασαν 28 στελέχη του βακτηρίου από τρόφιμα και βρέθηκε ότι όλα ήταν ανθεκτικά σε δύο ή περισσότερα αντιβιοτικά από τα 14 στα οποία δοκιμάστηκαν<sup>49</sup>.

Η μη απομόνωση, μέχρι τώρα στην Ελλάδα, στελεχών της E.coli O157:H7 από ζώα, τρόφιμα και νερά, ίσως να οφείλονταν στη μεθοδολογία που χρησιμοποιήθηκε (μόνο καλλιέργεια σε SMAC, δε χρησιμοποιήθηκε ανοσομαγνητικός διαχωρισμός ούτε μοριακές τεχνικές), καθώς και στον περιορισμένο αριθμό δειγμάτων. Ωστόσο, η απομόνωση τροιών στελεχών από τρόφιμα, όπως και ενός στελέχους από κόπρανα αιγάς, αποκαλύπτουν την ύπαρξη της E.coli O157:H7 και στη χώρα μας. Η μη καταγραφή επιδημιών σε ανθρώπους ίσως να οφείλεται: α) στις διατροφικές συνήθειες των Ελλήνων, που προτιμούν τα γεύματά τους που περιέχουν κρέας, καλά ψημένα, β) στη μη κατανάλωση απαστερίων γάλακτος και τυριών, γ) στην ανάγκη εφαρμογής πιο εξειδικευμένων τεχνικών

(ανοσομαγνητικός διαχωρισμός, μοριακές τεχνικές) για την εργαστηριακή διάγνωση, δ) στην αρκετά χαμηλή συχνότητα φορίας της E.coli O157:H7 από τα παραγωγικά ζώα και ε) στην ευαισθησία των υπαρχόντων στελεχών του βακτηρίου σε κοινά αντιβιοτικά.

Συμπερασματικά, θα πρέπει να τονιστεί, ότι παρά τη χαμηλή συχνότητα ανίχνευσης της E.coli O157:H7 στην Ελλάδα, θα πρέπει να εφαρμοστεί στρατηγική ελέγχου, τόσο από τις ιατρικές όσο και από τις κτηνιατρικές αρχές, προκειμένου να διασφαλιστεί η δημόσια υγεία.

## Ευχαριστίες

Οι συγγραφείς επιθυμούν να ευχαριστήσουν τον Διεθνή την LEP Colindale CPHLS Dr.Tom Cheasty και τη Dr.Geraldine Willshaw-Smith (Special Projects Lab, CPHLS) για τη επιβεβαίωση και ταυτοποίηση των στελεχών που στάλθηκαν από το Εθνικό Κέντρο Αναφοράς. Επίσης, οι συγγραφείς επιθυμούν να ευχαριστήσουν την και Βασιλική Οικονόμου, τεχνολόγο εργαστηρίου, για τη συμβολή της στην πραγματοποίηση αυτής της εργασίας, καθώς και τις κτηνιατρικές υπηρεσίες, παραγωγούς ζώων, τα συντεριμάρκετ και ιδιοκτήτες καταστημάτων και καντινών για τη συνεργασία τους στη σύλλογή των δειγμάτων της παρούσας εργασίας.

## ABSTRACT

**Dontorou A, Papadopoulou C, Filiosis G, Ekonomou V, Apostolou I, Zakas G, Salamoura A, Kansouzidou A, Levidiotou S. Isolation of Escherichia coli 0157:H7 in food of animal origin and in productive animals. Hell Iatr 2004, 70: 43 - 49.**

The presence of Escherichia coli O157:H7 in food of animal origin and in productive animals was investigated in the region of Northwestern Greece. A total of 1001 samples were examined using the standard cultural method and the immunomagnetic separation technique. Specifically 650 samples of various foods including non pasteurized cow's, goats and ewe's milk, minced bovine meat, uncooked frozen hamburgers, meat sandwiches, fresh traditional Greek pork sausages, swine intestines appropriate for traditional Greek kokoretsi and 351 fecal samples collected from goat, sheep and cattle breeding farms in the area of Epirus, Northwestern assayed for E. coli serogroup O157:H7. The pathogen was detected in 1 out of 122 (0.8%) samples of ewes' milk, 1 out of 92 (1.1%) fresh sausages and 1 out of 50 (2.0%) swine intestines prepared for ko-

koretsi and in 1 out of 82 (1.2%) goat fecal samples. The food isolates were non-sorbitol fermenters, MUG-negative, O157 agglutinating, verotoxin producing and carried both VT1 and VT2 genes. The E. coli O157:H7 isolate from the goat feces was non sorbitol-fermenter, produced only VT2 and showed a  $\beta$ -glucuronidase positive activity, a rather unusual biochemical feature for the E. coli O157:H7 serotype. The isolated strains were tested for antibiotic resistance and were found to be susceptible to 8 antimicrobial agents (ampicillin, chloramphenicol, kanamycin, nalidixic acid, norfloxacin, streptomycin, sulfamethoxazole-trimethoprim, tetracycline).

## ΒΙΒΛΙΟΓΡΑΦΙΑ

1. Riley LW, Remis RS, Helgerson SD, et al. Hemorrhagic colitis associated with a rare Escherichia coli serotype. N Engl J Med 1983, 308: 681-5.
2. Tarr PI. Escherichia coli O157:H7: clinical, diagnostic and epidemiological aspects of human infection. Clin Infect Dis 1995, 20: 1-10.
3. Borzyck AA, Karmali MA, Lior H, Duncan LMC. Bovine reservoir for verotoxin-producing Escherichia coli O157:H7. Lancet 1987, i: 98.
4. Willshaw GA, Thirlwell J, Jones AP, Parry S, Salmon RL, Hickey M. Vero cytotoxin-producing Escherichia coli O157 in beefburgers linked to an outbreak of diarrhea, haemorrhagic colitis and haemolytic uraemic syndrome in Britain. Lett Appl Microbiol 1994, 19: 304-7.
5. Martin ML, Shipman LD, Wells JG, et al. Isolation of Escherichia coli O157:H7 from dairy cattle associated with two cases of hemolytic uremic syndrome. Lancet 1986, i: 1043.
6. Bielaszewska M, Janda J, Bluhov K, et al. Human Escherichia coli O157:H7 infection associated with the consumption of unpasteurized goat's milk. Epidemiol Infect 1997, 119: 299-305.
7. Deschenes G, Casenave C, Grimont PA, et al. Cluster of cases due to unpasteurized cheese. Pediatr Nephrol 1996, 10: 203-5.
8. FAO/WHO. Newsletter: outbreak of EHEC infections in Bavaria. 1996, 49/50: 1-2.
9. Morgan D, Newman CP, Hutchinson DN, Walker AM, Rowe B, Majid F. Verotoxin producing Escherichia coli O157 infections associated with the consumption of yoghurt. Epidemiol Infect 1993, 111: 181-7.
10. McDonnell RJ, Rampling A, Crook S, et al. An outbreak of Vero cytotoxin producing Escherichia coli O157 infection associated with takeaway sandwiches. CDR Wkly 1997, 7: R201-5.
11. Besser RE, Lett SM, Weber JT, et al. An outbreak of diarrhea and hemolytic uremic syndrome from Escherichia coli O157:H7 in fresh-pressed apple cider. JAMA 1993, 269: 2217-20.
12. Centers for Disease Control and Prevention. Outbreak of Escherichia coli O157:H7 infections associated with

- drinking unpasteurized commercial apple juice-British Columbia, California, Colorado and Washington, October 1996. *Morb Mortal Wkly Rep* 1996, 45: 975.
13. *Bauer AW, Kirby W, Sherris JC, Truck M.* Antibiotic susceptibility testing by a standardized single disc method. *Am J Clin Pathol* 1966, 45: 493-6.
  14. *Abdul-Raouf UM, Ammar MS, Beuchat LR.* Isolation of *Escherichia coli* O157:H7 from some Egyptian foods. *Int J Food Microbiol* 1996, 29: 423-6.
  15. *Allerberger F, Dierich MP.* Enterohemorrhagic *Escherichia coli* in Austria. In: Proceedings of the 3rd International Symposium and Workshop on Shiga toxin (Verocytotoxin)-producing *Escherichia coli* Infections. Baltimore, MD, USA, 1997, abstr. V37/I.
  16. *Klie H, Timm M, Richter H, Gallien P, Perlberg KW, Steinruck H.* Detection and occurrence of verotoxin-forming and/or shiga toxin producing *Escherichia coli* (VTEC and/or STEC) in milk. *Berl Munch Tierarztl Wochenschr* 1997, 110: 337-41.
  17. *Ansay SE, Kaspar CW.* Survey of retail cheese, dairy processing environments and raw milk for *Escherichia coli* O157:H7. *Lett Appl Microbiol* 1997, 25: 131-4.
  18. *Coia JE, Johnston Y, Steers NJ, Hanson MF.* A survey of the prevalence of *Escherichia coli* O157:H7 in raw meat, raw cow's milk and raw-milk cheeses in south-east Scotland. *Int J Food Microbiol* 2001, 66: 63-9.
  19. *Heuvelink AE, Bleumink B, van den Biggelaar FL, Te Giffel MC, Beumer RR, de Boer E.* Occurrence and survival of verocytotoxin producing *Escherichia coli* O157:H7 in raw cow's milk in The Netherlands. *J Food Prot* 1998, 61: 1597-601.
  20. *Little CL, de Louvois J.* Health risks associated with unpasteurized goat's and ewes' milk on retail sale in England and Wales. A PHLS Dairy Products Working Group Study. *Epidemiol Infect* 1999, 122: 403-8.
  21. *Vernozy-Rozard C, Mazuy C, Ray-Gueniot S, Boutrand-Loei S, Meyrand A, Richard Y.* Detection of *Escherichia coli* O157 in French food using an immunomagnetic separation and the VIDAS *Escherichia coli* O157. *Lett Appl Microbiol* 1997, 25: 442-6.
  22. *Chinen I, Tanaro JD, Miliwebsky E, et al.* Isolation and characterization of *Escherichia coli* O157:H7 from retail meats in Argentina. *J Food Prot* 2001, 64: 1346-51.
  23. *Mattar S, V'squez E.* *Escherichia coli* O157:H7 in Colombia. *Emerg Infect Dis* 1998, 4: 126-7.
  24. *Silveira NT, Silva N, Conteras C, et al.* Occurrence of *Escherichia coli* O157:H7 in hamburgers in Brazil. *J Food Prot* 1999, 62(11): 1333-5.
  25. *Boel J, Aabo S, Mariager B, Jacobsen B.* Prevalence of *Escherichia coli* O157 in meat in Denmark. In: Proceedings of the 3rd International Symposium and Workshop on Shiga toxin (Verocytotoxin)-producing *Escherichia coli* Infections. Baltimore, MD, USA, 1997, abstr V129/II.
  26. *Heuvelink AE, Zwartkruis-Nahuis JT, Beumer BR, de Boer E.* Occurrence and survival of verocytotoxin-producing *Escherichia coli* O157 in meat obtained from retail outlets in The Netherlands. *J Food Prot* 1999, 62: 1115-22.
  27. *Fantelli K, Stephan R.* Prevalence and characteristics of shigatoxin-producing *Escherichia coli* and *Listeria monocytogenes* strains isolated from minced meat in Switzerland. *Int J Food Microbiol* 2001, 70: 63-9.
  28. *Bonardi S, Maggi E, Bottarelli A, et al.* Isolation of verocytotoxin-producing *Escherichia coli* O157:H7 from cattle at slaughter in Italy. *Vet Microbiol* 1999, 67: 203-11.
  29. *Chapman PA, Cerdan-Malo AT, Ellin M, Ashton R, Harkin MA.* *Escherichia coli* O157 in cattle and sheep at slaughter, on beef and lamb carcasses and in raw beef and lamb products in South Yorkshire, UK. *Int J Food Microbiol* 2001, 64 (1-2): 139-50.
  30. *Heuvelink AE, Van den Biggelaar FLAM, de Boer E, et al.* Isolation and characterization of verocytotoxin-producing *Escherichia coli* O157 strains from Dutch cattle and sheep. *J Clin Microbiol* 1998, 36: 878-82.
  31. *Montenegro MA, Buelte M, Trumpf T, et al.* Detection and characterization of faecal verotoxin-producing *Escherichia coli* from dairy cattle. *J Clin Microbiol* 1990, 28: 1417-21.
  32. *Blanco M, Blanco J, Blanco JE, Ramos J.* Enterotoxigenic, verotoxigenic, and necrotoxigenic *Escherichia coli* isolated from cattle in Spain. *Am J Vet Res* 1993, 54: 1446-51.
  33. *Miyao Y, Kataoka T, Nomoto T, Kai A, Itoh T, Itoh K.* Prevalence of verotoxin-producing *Escherichia coli* harbored in the intestine of cattle in Japan. *Veter Microbiol* 1998, 61: 137-43.
  34. *Lahti E, Keshimaki M, Rantala L, Hyvonen P, Siitonen A, Honkanen-Buzalski T.* Occurrence of *Escherichia coli* O157 in Finnish cattle. *Vet Microbiol* 2001, 79,3: 239-51.
  35. *Leung PH, Yam WC, Hg WW, Peiris JS.* The prevalence and characterization of verotoxin-producing *Escherichia coli* isolated from cattle and pigs in an abattoir in Hong Kong. *Epidem Infect* 2001, 126,2: 173-79.
  36. *Albihn A, Zimmerman U, Rehbinder V, Jansson C, Tysen E, Engvall A.* Enterohaemorrhagic *E. coli* (EHEC)-a nation-wide Swedish survey of bovine faeces. *Epidémiol Santé Anim* 1997,31-32, 04.13.1-04.13.3.
  37. *Vold L, Klungseth Johansen B, Kruse H, Skjerve E, Wasteson Y.* Occurrence of shigatoxigenic *Escherichia coli* O157 in Norwegian cattle herds. *Epidem Infect* 1998, 120: 21-8.
  38. *Lin YL, Chou CC, Pan TM.* Screening procedure from cattle feces and the prevalence of *Escherichia coli* O157:H7 in Taiwan dairy cattle. *J Microb Immun Infect* 2001, 34,1: 17-24.
  39. *Kaddu-Mulindwa DH, Aisu T, Gleier K, Zimmerman S, Beutin L.* Occurrence of Shiga toxin-producing *Escherichia coli* in fecal samples from children with diarrhea and from healthy zebu cattle in Uganda. *Int J Food Microbiol* 2001, 66,1-2: 95-101.
  40. *Osek J, Winiarczyk S.* Prevalence of eae and shiga toxin genes among *Escherichia coli* strains isolated from healthy calves. *J Vet Microb B Infect Dis Vet Public Health* 2001, 48,1: 67-72.
  41. *Kudva IT, Hatfield PG, Hovde CJ.* *Escherichia coli*

- O157:H7 in microbial flora of sheep. *J Clin Microb* 1996, 34: 431-3.
42. Johnsen G, Wasteson Y, Heir E, Berget OI, Herikstad H. Escherichia coli O157:H7 in faeces from cattle, sheep and pigs in the southwest part of Norway during 1998 and 1999. *Int J Food Microb* 2001, 65,3: 193-200.
43. Shukla R, Slack R, George A, Cheasty T, Rowe B, Scutter J. Escherichia coli O157 infection associated with a farm visitor center. *CDR* 1995, 5: R86-R90.
44. Κανσονξίδον-Κανακούδη Α, Λίτκε OM, Καραμπαξόγλου Δ, Δανιηλίδης Β. Αναζήτηση Escherichia coli O157:H7 σε κόπρανα ζώων και κυμά. Εφαρμ Κλιν Μικροβ Εργαστ Διάγν 1994, 9,4: 264-8.
45. Κανσονξίδον Α, Πανέρη Β, Μπουρελάκης Δ, Δανιηλίδης Β. Εντεροσαμορραγικά κολοβακτηρίδια O157:H7. Υπάρχουν στην Ελλάδα. Εφαρμ Κλιν Μικροβ Εργαστ Διάγν 1991, 6,1: 30-4.
46. Αμπραχάμι Α, Κανσονξίδον Α, Παπά Α, Δανιηλίδης Β, Καραϊωάννογλου Π. Αναζήτηση Listeria spp, *Salmonella* spp, *Campylobacter* spp και Escherichia coli O157:H7 στο προσωπικό και στο περιβάλλον του μαγειρίου ενός νοσοκομείου. Δελτ Ελλην Μικροβ Εταιρ 1997, 42,1: 141-5.
47. Arvanitidou M, Constantinidis TC, Katsouyannopoulos V. Searching for Escherichia coli O157:H7 in drinking and recreational waters in northern Greece. *Water Res* 1996, 30: 493-4.
48. Meng J, Zhao S, Doyle MP, Joseph SW. Antibiotic resistance of Escherichia coli O157:H7 and O157:NM isolated from animals, food and humans. *J Food Prot* 1998, 61: 1511-14.
49. Radu S, Ling O, Rusul G, Karim MI, Nishibuchi M. Detection of Escherichia coli O157:H7 by multiplex PCR and their characterization by plasmid profiling, antimicrobial resistance, RAPD and PFGE analyses. *J Microbiol Methods* 2001, 46: 131-9.

**Αλληλογραφία:**

Χ. Παπαδοπούλου  
Εργαστήριο Μικροβιολογίας  
Ιατρική Σχολή Πανεπιστημίου Ιωαννίνων  
451 10 Ιωάννινα

**Corresponding author:**

C. Papadopoulou  
Microbiology Department  
Medical School, University of Ioannina  
451 10 Ioannina – Greece

## Επιπτώσεις στο αναπνευστικό σύστημα από την επεξεργασία ξηρών φύλων

Δ. Χλωρός, Λ. Σιχλετίδης, Γ. Κυριαζής, Ε. Βλαχογιάννη,  
Ι. Τσιότσιος, Μ. Κάκουρα

Πνευμονολογική Κλινική ΑΠΘ, Εργαστήριο Έρευνας Παθήσεων από το Περιβάλλον

**Περιληφθη.** Σκοπός της εργασίας ήταν η διερεύνηση των επιπτώσεων της επεξεργασίας ξηρών φύλων καπνού στο αναπνευστικό σύστημα των εργαζόμενων σε καπνεργοστάσια. Διεθνώς οι σχετικές μελέτες είναι ελάχιστες. Στην Ελλάδα, από τις κυριότερες καπνοπαραγωγής χώρες του κόσμου, δεν έχουν διεξαχθεί ανάλογες έρευνες επίσης. Μελετήθηκαν 1.020 εποχικοί και μη καπνεργάτες (188 άνδρες και 832 γυναίκες) σε εργοστάσιο της Θεσσαλονίκης. Η μελέτη περιελάμβανε: 1) Συμπλήρωση ειδικού ερωτηματολογίου (British Medical Research Council-MRC, 1986), 2) Σπιρομέτρηση και 3) Ρινομανομέτρηση. Ταυτόχρονα έγινε έλεγχος των επιπέδων της σκόνης του καπνού στον αέρα των εργασιακών χώρων. Ως ομάδα ελέγχου χρησιμοποιήθηκαν 469 εργαζόμενοι (87 άνδρες και 382 γυναίκες) σε Νοσοκομείο της Θεσσαλονίκης. Εβδομήντα έξι εργαζόμενοι με ρινικά συμπτώματα υποβλήθηκαν σε: 1) Ειδική ρινική πρόκληση με αντιγόνο της σκόνης του καπνού, 2) Δερματικές δοκιμασίες (prick tests) και 3) Μέτρηση ολικής IgE, ειδικής IgE και ειδικών IgG έναντι πρωτεΐνης καπνού. Βρέθηκαν πολύ υψηλά επίπεδα συ-

νολικής αιωρούμενης σκόνης στον εργασιακό χώρο (από 45,3 έως 54,4 mg/m<sup>3</sup>). Η συχνότητα της χρόνιας βρογχίτιδας ήταν 8,6% έναντι 20,9% των μαρτύρων. Χρόνια αποφρακτική πνευμονοπάθεια βρέθηκε σε 13 εργάτες (1,3%) και σε 16 μάρτυρες (3,4%). Η FVC, ο FEV<sub>1</sub> και ο λόγος FEV<sub>1</sub>/FVC ήσαν χαμηλότεροι στην ομάδα ελέγχου, ενώ η FEF<sub>25-75%</sub> ήταν χαμηλότερη στους εργαζόμενους (ως τιμές % των προβλεπόμενων). Δε βρέθηκαν εργαζόμενοι με βρογχικό άσθμα ή έωχανη αλλεργική κυψελίτιδα. Ρινίτιδα ανέφερε το 27,3% έναντι 17,9% της ομάδας ελέγχου, ενώ οι ρινικές ροές ήσαν 563±211 έναντι 645±321 ml/sec αντίστοιχα. Από τον αλλεργιολογικό έλεγχο των εργαζόμενων με ρινίτιδα βρέθηκε ότι 6 από αυτούς είχαν ευαισθητοποιηθεί στη σκόνη των ξηρών φύλων καπνού. Συμπεραίνεται ότι η επεξεργασία ξηρών φύλων καπνού δεν προκαλεί χρόνιες παθήσεις του καπνώτερου αναπνευστικού. Αντιθέτως, συχνά παρουσιάζονται προβλήματα των ανώτερων αεροφόρων οδών που σχετίζονται με τα υψηλά επίπεδα ρύπανσης με σκόνη των εργασιακών χώρων. *Ελλην Ιατρ 2004, 70: 50 - 58.*

Πολλοί εργαζόμενοι απασχολούνται στη διαδικασία παραγωγής και επεξεργασίας του καπνού και εκτίθενται σε κινδύνους, που προέρχονται από τα δομικά στοιχεία του φυτού και από τον τρόπο επεξεργασίας των ξηρών φύλων του. Δύο είναι οι πηγές των ουσιών, που θεωρείται ότι ευθύνονται για τα προβλήματα υγείας των εργαζόμενων σε καπνεργοστάσια: 1) Η σκόνη καπνού που δημιουργείται στους χώρους εργασίας και 2) Οι αλ-

λοιώσεις των φύλων καπνού, που οφείλονται στην ύγρανση και θέρμανσή τους. Οι μελέτες σχετικά με την επίδραση της επαγγελματικής έκθεσης των εργαζόμενων σε καπνεργοστάσια είναι ελάχιστες. Αναπνευστικές διαταραχές και ειδικότερα δύσπνοια, εμφύσημα και χρόνια βρογχίτιδα έχουν περιγραφεί κατά το παρελθόν<sup>1</sup>. Στις επιπτώσεις στην υγεία των εργαζόμενων περιλαμβάνονται, σήμερα, κυρίως η ευαισθητοποίηση σε ουσίες του

εργασιακού περιβάλλοντος και η ανάπτυξη βρογχικού άσθματος<sup>2-4</sup>. Ακόμη αναφέρονται εξωγενείς αλλεργικές κυψελιδίτιδες<sup>5</sup> και αύξηση της συχνότητας αλλεργικής ρινίτιδας<sup>6</sup>. Συνολικά, δεν υπάρχει συμφωνία των ερευνητών για τις επιπτώσεις της απασχόλησης στην επεξεργασία του καπνού στο αναπνευστικό σύστημα<sup>7</sup>.

Στην Ελλάδα, μια από τις κυριότερες καπνοπαραγωγούς χώρες του κόσμου, δεν έχουν διεξαχθεί παρόμοιες επιδημιολογικές έρευνες.

Σκοπός της μελέτης αυτής ήταν ο έλεγχος των επιπέδων ρύπανσης του εργασιακού χώρου και η διερεύνηση των επιπτώσεων της επαγγελματικής έκθεσης στη σκόνη καπνού στο αναπνευστικό σύστημα των καπνεργατών, κατά την εμπορική επεξεργασία ξηρών καπνοφύλλων.

## ΥΛΙΚΟ ΚΑΙ ΜΕΘΟΔΟΙ

### 1. Δείγμα της έρευνας

**Καπνεργάτες και μάρτυρες:** Η έρευνα έγινε κατά το χρονικό διάστημα 1996-99, σε καπνεργοστάσιο στην περιοχή της Θεσσαλονίκης. Εξετάστηκαν 1.020 εποχικοί και μη καπνεργάτες (188 άνδρες και 832 γυναίκες) ηλικίας 19-71 ετών (μέσος όρος ηλικίας  $45,9 \pm 9,8$  έτη). Οι εποχικοί εργαζόμενοι απασχολούνταν κατά μέσον όρο 4 μήνες το χρόνο, από το τέλος της άνοιξης μέχρι την αρχή του φθινοπώρου, όσο δηλαδή διαφορετική η περίοδος εμπορικής επεξεργασίας του καπνού. Ο συνολικός χρόνος απασχόλησης μετρήθηκε σε μήνες.

Υπήρχε η σύμφωνη γνώμη του Εργασιακού Σωματείου και της Διεύθυνσης του εργοστασίου, για την έρευνα.

Ως ομάδα ελέγχου χρησιμοποιήθηκαν εργαζόμενοι στο Γενικό Νοσοκομείο “Γ. Παπανικολάου” της Θεσσαλονίκης, στο οποίο απασχολούνται 1618 άτομα, από τα οποία επιλέχτηκαν 469 άτομα παρόμοιου φύλου και ηλικίας με τους καπνεργάτες, δηλαδή 87 άνδρες και 382 γυναίκες ηλικίας 19-67 ετών (μέσος όρος ηλικίας  $46,0 \pm 13,2$  έτη). Αποκλείστηκαν άτομα με ιστορικό τραυμάτους ή εγχειρησής στο θώρακα, καρδιακού νοσήματος, βρογχικού άσθματος, πνευμονικού νεοτλάσματος ή φυματίωσης.

**Περιγραφή των εργοστάσιον:** Στο εργοστάσιο υπάρχουν οι εξής χώροι: 1) Ισόγειο και πρώτος όροφος. Είναι εκτεταμένοι ενιαίοι χώροι, όπου διατίθενται εν παραλήγων ξύλινες κατασκευές με ράφια. Εκεί αποθηκεύονται τα δέματα τόσο κατά την υποδοχή του ανεπεξέργαστου καπνού, όσο και μετά την επεξεργασία. 2) Ο άνω όροφος είναι και αυτός ενιαίος, με πολλά εξωτερικά ανοίγματα, για να εξασφαλίζεται ο φωτισμός του. Στο χώρο αυτό γίνεται η επεξεργασία των φύλλων καπνού, το ξεσπάγγιασμα (τροφοδοσία), η διαλογή, η ανάμιξη και αναξήρανση και η δεματοποίησή τους. Εδώ υπάρχουν ειδικοί πάγκοι, τανίες μεταφοράς, αναδευτήρες και πρέσες για τη δεματοποίηση.

Οι εργαζόμενοι ήσαν κατά ειδικότητα 5 μεταφορείς, 142 στιβαδόροι, 569 τροφοδότριες, 132 εργάτριες διαλογής, 5 μάστορες, 68 ράπτριες, 38 καθαρίστριες, 37 τεχνικοί ενώ 24 αποτελούσαν το διοικητικό προσωπικό. Τέσσερεις ομάδες (τροφοδότριες, εργάτριες διαλογής, ράπτριες, καθαρί-

στριες) εργάζονταν σε συνθήκες ιδιαίτερα επιβαρυμένες, γι' αυτό σε ορισμένες περιπτώσεις ελέγχθηκαν κάθε μια χωριστά. Οι άλλες 5 ειδικότητες θεωρήθηκαν κατά τη σύγκριση ως μία ομάδα.

### 2. Μέθοδοι έρευνας

**Ιστορικό και έλεγχος αναπνευστικής λειτουργίας:** 1) Συμπλήρωση ερωτηματολογίου της Επιτροπής για την Περιβαλλοντική και Επαγγελματική Υγειεινή του Βρετανικού Συμβουλίου Ιατρικών Ερευνών (Medical Research Council-MRC 1986)<sup>8</sup>, κατάλληλου για επιδημιολογικές έρευνες που αφορούν στον έλεγχο του αναπνευστικού συστήματος. Η λήψη του ιστορικού γινόταν σε ένα γραφείο, που παραχώρησε η διεύθυνση του εργοστασίου, όπου οι εργαζόμενοι προσέρχονταν ξεχωριστά και συμπλήρωναν το ερωτηματολόγιο υπό την καθοδήγηση ιατρού. Παρέχονταν οι απαραίτητες διευκρινίσεις, όπως χρειαζόταν. Από την ανάλυση των απαντήσεων υπολογίστηκαν η συχνότητα της χρόνιας βρογχίτιδας και της ρινίτιδας<sup>9</sup>.

2) Σπιρομέτρηση που γινόταν με ξηρό σπιρόμετρο τύπου Vitalograph Ltd, Buckingham, England, σύμφωνα με τις οδηγίες της Αμερικανικής Εταιρείας Θώρακος (American Thoracic Society)<sup>10</sup>. Το σπιρόμετρο βαθμονομούνταν καθημερινά πριν τις σπιρομετρήσεις. Καταγραφόταν ο δυναμικός εκπνευστικός όγκος αέρα στο πρώτο δευτερόλεπτο (Forced Expiratory Volume in one second- FEV<sub>1</sub>) και η δυναμική ζωτική χωρητικότητα (Forced Vital Capacity- FVC). Κατόπιν υπολογίζονταν ο λόγος FEV<sub>1</sub>/FVC και η δυναμική εκπνευστική ροή μεταξύ 25-75% της FVC (Forced Expiratory Flow 25-75%- FEF<sub>25-75%</sub>). Χρησιμοποιήθηκαν οι προβλεπόμενες τιμές της European Respiratory Society<sup>11</sup>. Η χρόνια αποφρακτική πνευμονοπάθεια (ΧΑΠ) χαρακτηρίστηκε από την υπαρχή συμπτωμάτων από το ερωτηματολόγιο του MRC8 και από FEV<sub>1</sub><80% προβλεπόμενων τιμών και FEV<sub>1</sub>/FVC <70%, σύμφωνα με τις οδηγίες της Βρετανικής Εταιρείας Θώρακος (British Thoracic Society)<sup>12</sup>.

3) Ρινομανομέτρηση με ρινομανόμετρο Rhinotest mP500 της Allergopharma Joachin Ganzer KG Γερμανίας. Με τη μέθοδο της πρόσθιας ρινομανομέτρησης προσδιορίστηκαν οι ορινικές ροές και, έμμεσα, οι ορινικές αντιστάσεις<sup>13</sup>. Οι μετρήσεις γίνονταν σε 150 Pascal (Pa) και οι ροές μετρώνταν σε ml/sec. Η βαρύτητα της ορινικής απόφραξης εκτιμήθηκε από τις τιμές της ρινομανομέτρησης<sup>14,15</sup>.

**Μελέτη περιβάλλοντος:** Ο έλεγχος των περιβαλλοντικών συνθηκών στο καπνεργοστάσιο διενεργήθηκε με ειδική δειγματοληπτική συσκευή τύπου 13040/1 της CF Casella & Co Ltd, London England, κατάλληλη για τη μέτρηση της συνολικής αιωρούμενης σκόνης στον αέρα του εργασιακού χώρου<sup>16</sup>. Η λήψη των δειγμάτων έγινε σε δώδεκα σημεία του χώρου επεξεργασίας (στατικές δειγματοληψίες), τα οποία επιλέχθηκαν μετά από χαρτογράφηση του χώρου εργασίας με φορητό κονίμετρο τύπου aus JENA γερμανικής κατασκευής. Η ροή αέρα της αναρροφητικής αντλίας της συσκευής ρυθμίστηκε στα 1,9 l/min, σύμφωνα με τις οδηγίες του κατασκευαστή. Τα σωματίδια της σκόνης κατακρατούνταν σε ειδικό ημίδιο (φιλτρο). Φιλτρο και θήρη μαζί ξυγίζονταν, πριν και μετά από το τέλος της προκαθορισμένης διάρκειας (4 ωρών) περιόδου συλλογής, σε ηλεκτρονικό ξυγό ακριβείας (με σφάλμα της τάξης του 10-5 g), αφού προηγουμένως είχε

αφαρεθεί κάθε ίχνος υγρασίας σε ξηραντήριο. Το φιλτρο, που χρησιμοποιήθηκε, ήταν τύπου AA της Millipore Corporation, Bedford MA USA, με διάμετρο πόδων 0,8 μμ. Τέλος, υπολογίστηκε η συγκέντρωση της σκόνης (σε mg/m<sup>3</sup> αέρα) με αναγωγή του βάρους της σκόνης που συγκρατήθηκε πάνω στο φιλτρο στον όγκο του αέρα που εισοροφήθηκε συνολικά.

**Ειδικές εξετάσεις:** Στάλθηκε σκόνη φύλλων καπνού από το εργασιακό περιβάλλον στα εργαστήρια της Allergopharma Joachim Ganzer KG Γερμανίας για την, κατά παραγγελία, παρασκευή ειδικού αντιγονικού διαλύματος σε μορφή καπάλληλη: 1) Για δερματικές δοκιμασίες (prick tests) και 2) Για οινυκή πρόσκληση (provocation test).

Οι εργαζόμενοι, που ανέφεραν οινικά συμπτώματα κατά τη συμπλήρωση του ερωτηματολογίου και δέχτηκαν περαιτέρω έλεγχο, εφόσον δεν παρουσίαζαν εμφανείς διαταραχές της ανατομίας της οινός ούτε είχαν υποστεί χειρουργικές επεμβάσεις στις οινικές κόρχες, υποβλήθηκαν σε: 1) Ρινική πρόκληση με το ειδικό αντιγόνο σκόνης φύλλων καπνού, αφού είχε προηγηθεί τοπικός ψεκασμός με φυσιολογικό ορό. Η δοκιμασία χαρακτηρίζονταν θετική, αν η πτώση της ροής ήταν μεγαλύτερη από το 40% της αρχικής τιμής<sup>15</sup>. 2) Δερματικές δοκιμασίες νυγμού (prick tests) με το ειδικό διάλυμα αντιγόνου σκόνης φύλλων καπνού<sup>17</sup>. 3) Αιμοληψία για τη μετρηση της οιλικής IgE και των ειδικών IgE και IgG αντισωμάτων έναντι του αντιγόνου της σκόνης φύλλων καπνού. Ο προσδιορισμός της οιλικής IgE στον ορό γινόταν με τη μέθοδο της μικροσωματιδιακής ανοσοενζυμικής ανάλυσης (micro-particle enzyme immunoassay, MEIA), με αντιδραστήρια του οίκου Abbott Laboratories, σε αναλυτή IMX system του ίδιου οίκου. Ο προσδιορισμός της συγκεντρώσης στον ορό της ειδικής IgE έναντι αντιγόνου σκόνης φύλλων καπνού γινόταν με την ανοσοενζυμική μέθοδο (RAST), με χοησιμοποίηση δισκων κυτταρίνης, επί των οποίων είχαν προσδοφηθεί πρωτεΐνες καπνού που προέρχονταν από το καπνεργοστάσιο. Οι δίσκοι παρασκευάστηκαν στα εργαστήρια της Allergopharma Joachim Ganzer KG Γερμανίας. Η ανίχνευση των ειδικών IgG (ιζηματινών) στον ορό έναντι πρωτεΐνικου αντιγόνου καπνού, που παρασκευάστηκε όπως ήδη περιγράφηκε, γινόταν με τη μέθοδο της διπλής ανοσοδιάχυσης (double immunodiffusion, DID) σε αγαρός<sup>18</sup>. Οι εξετάσεις έγιναν στο Ανοσολογικό Εργαστήριο της Πνευμονολογικής Κλινικής του ΑΠΘ. Τα αποτελέσματα συγκρίθηκαν με τα ανάλογα εργαζόμενων στα γραφεία του εργοστασίου χωρίς συμπτώματα οινίτιδας.

Όσοι εργαζόμενοι ανέφεραν προσβολές δύσπνοιας ή και συριγμού ή είχαν ιστορικό βρογχικού άσθματος υποβλήθηκαν σε: 1) Δοκιμασία αναστρεψιμότητας (σπιρομετρικό ελεγχο πριν και μετά βρογχοδιαστολή με εισπνοή 400 μg σαλβουταμόλης) και 2) Συστηματική μέτρηση της μέγιστης εκπνευστικής ροής (PEFR) πριν και στο τέλος της εργασίας καθώς και πριν από τη βοαδινή κατάλληση για δύο εβδομάδες.

με δούμετρο τύπου mini-Wright της Clement Clarke International Ltd. Τα αποτελέσματα συγκρίθηκαν με τα ανάλογα εργαζόμενων στα γραφεία του εργοστασίου χωρίς συμπτώματα άσθματος.

### 3. Στατιστική ανάλυση

Για τη στατιστική ανάλυση των αποτελεσμάτων των ποσοτικών μεταβλητών, εφόσον η κατανομή των δεδομένων ήταν κανονική, χρησιμοποιήθηκε η δοκιμασία Student's t-test, ενώ για τη σύγκριση των ποιοτικών μεταβλητών χρησιμοποιήθηκε η δοκιμασία  $\chi^2$ . Στην περίπτωση συγκριώσεων ποσοτικών δεδομένων μεταξύ περισσότερων από δύο υποομάδες χρησιμοποιήθηκε η ανάλυση διακύμανσης (ANOVA). Για τον έλεγχο γραμμικών τάσεων εφαρμόστηκε η δοκιμασία  $x^2$  τροποποιημένη κατά Mantel-Haenszel<sup>19</sup>.

ΑΠΟΤΕΛΕΣΜΑΤΑ

**Μετρήσεις περιβάλλοντος:** Έγιναν 12 μετρήσεις σκόνης στο χώρο επεξεργασίας, διάρκειας 4 ωρών η κάθε μια, σε διαφορετικά σημεία του εργοστασίου. Οι ευρεθείσες τιμές της ολικής αιωδούμενης σκόνης κυμαίνονται από 45,3-54,4 mg/ m<sup>3</sup> αέρα.

**Δεύτημα:** Εξετάστηκαν 1.020 καπνεργάτες και 469 μάρτυρες. Η μέση ηλικία εργατών και μαρτύρων δεν παρουσιάζει στατιστικά σημαντική διαφορά. Ως προς τις καπνισματικές συνήθειες: α) Από τους εργαζόμενους κάπνιζε το 34%, ενώ πρώην καπνιστές ήσαν το 2,8% και β) Από τους μάρτυρες κάπνιζε το 35,8%, ενώ πρώην καπνιστές ήσαν το 10,9%. Οι διαφορές ήσαν στατιστικά σημαντικές ( $p<0,001$ ) λόγω του μεγάλου αριθμού πρώην καπνιστών μεταξύ των μαρτύρων.

*A) Επιδράσεις στο κατώτερο αναπνευστικό σύστημα*

Στον πίνακα 1 αναφέρονται τα σπιρομετρικά ευρήματα ( $m \pm SD$ ) και το επίπεδο στατιστικής σημαντικότητας των διαφορών μεταξύ εργατών και μαστύων.

Η FVC % προβλεπόμενης, ο FEV<sub>1</sub> % προβλεπόμενου και ο λόγος FEV<sub>1</sub>/FVC% είχαν χαμηλότερες τιμές στους μάρτυρες σε στατιστικά σημαντικό βαθμό. Η FEF<sub>25-75%</sub> % προβλεπόμενης ήταν χαμηλότερη στους ευογάτες ( $p<0,01$ ).

Η συγνότητα της χρόνιας βρογχίτιδας βρέθη-

### **Πίνακας 1. Σπιρομετρικά ευρήματα**

	No	FVC, %πρ	FEV <sub>1</sub> , %πρ	FEF <sub>25-75</sub> , %πρ	FEV <sub>1</sub> /FVC, %
Εργάτες	1.020	102 ±14,9	106,5±17	90,6±19,2	88,3±4,6
Ομάδα ελέγχου	469	99,9±17,3	103,7±18,8	95,6±31,1	83,4±8,4
p		< 0,05	<0,01	< 0,01	< 0,001

Οι τιμές της FVC, του FEV<sub>1</sub> και της FEF<sub>25-75%</sub> εκφράζονται επί τοις εκατό των προβλεπόμενων.

κε από την ανάλυση του ερωτηματολογίου του MRC<sup>8</sup>. Διαπιστώθηκε ότι: α) Στους εργάτες 8,6% (απλή 5,2%, λοιμώδης 1,4% και αποφρακτική 2,1%) και β) Στους μάρτυρες 20,9% (απλή 12,1%, λοιμώδης 5,1% και αποφρακτική 3,4%). Η διαφορά ήταν στατιστικά σημαντική,  $p<0,001$ .

Χρόνια αποφρακτική πνευμονοπάθεια, από τις σπιρομετρικές τιμές σύμφωνα με τις οδηγίες της BTS12, διαπιστώθηκε σε 13 εργαζόμενους (1,3%) και 16 μάρτυρες (3,4%),  $p<0,01$ . Η χρόνια βρογχίτιδα και η αποφρακτική χρόνια βρογχίτιδα ήταν συχνότερες στους μάρτυρες, επειδή μεταξύ τους υπήρχαν περισσότεροι καπνιστές.

Στον πίνακα 2 φαίνονται το φύλο, η ηλικία, η θέση εργασίας, ο χρόνος απασχόλησης, η καπνισματική συνήθεια και ο έλεγχος της αναπνευστικής λειτουργίας κατά ειδικότητα των καπνεργατών. Η πιθανότητα στατιστικού λάθους, στην άκρα δεξιά στήλη του πίνακα, έχει υπολογιστεί με τη μέθοδο ανάλυσης της διακύμανσης (ANOVA).

Η ηλικία διέφερε ανά ομάδα ( $p<0,001$ ). Πα-

ρατηρείται, ότι οι υπόλοιποι εργαζόμενοι (στιβαδόροι, υπάλληλοι γραφείων κλπ) που ήσαν στην πλειονότητά τους άνδρες καπνιστές και εργάστηκαν περισσότερο χρόνο, εμφάνισαν χαμηλότερο  $FEV_1$  ( $p<0,001$ ).

Με την εφαρμογή του μοντέλου πολλαπλής συσχέτισης (multiple regression) βρέθηκε ο  $FEV_1$  επηρεαζεται περισσότερο από το χρόνο απασχόλησης ( $p<0,001$ ). Ο  $FEV_1$  και ο χρόνος απασχόλησης συσχετίζονται ισχυρότερα στους μη καπνιστές ( $p<0,01$ ) παρά στους καπνιστές ( $p<0,05$ ), (Εικ. 1).

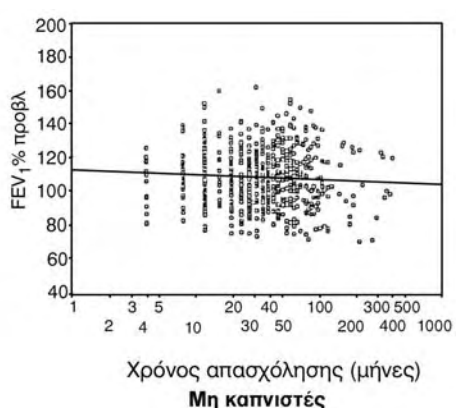
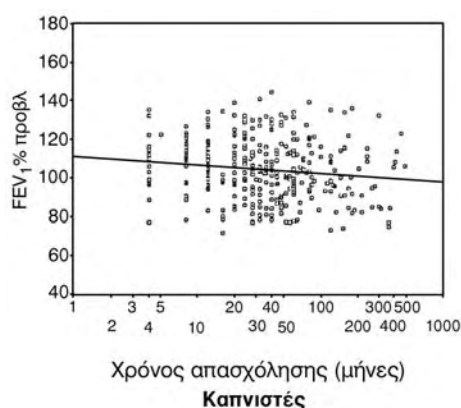
Τόσο στους εικοσιεπτά εργαζόμενους, που ανέφεραν στο ερωτηματολόγιο του MRC προσβόλες συριγμού ή και δύσπνοιας ή είχαν ιστορικό βρογχικού άσθματος, όσο και στους δεκατέσσερις άλλους, που δεν παρουσίαζαν παρόμοια συμπτώματα και χρησιμοποιήθηκαν ως ομάδα σύγκρισης, δε διαπιστώθηκε ότι έπασχαν από βρογχικό άσθμα μετά τον έλεγχο.

B) Επιδράσεις στο ανώτερο αναπνευστικό σύ-

**Πίνακας 2.** Αναπνευστική λειτουργία και θέση εργασίας

	Εργ. διαλογής	Εργ. τροφοδ.	Ράπτριες	Καθαρίστριες	Λοιποί	p
Αριθμός	132	569	68	38	213	
Άνδρες	0	6	0	0	182	
Γυναίκες	132	563	68	38	31	
Ηλικία	47,6±9,2	47±8,6	42,1±8,7	39,2±9	44,2±12,3	0,001
Χρ.εργασίας (μήνες)	41,6±28	36,8±24,5	52,5±26,9	57,6±57,8	107,7±108,9	
Καπνιστές, %	23,5	23,7	42,6	44,7	63,4	
FVC, %πρ	102±13,3	103,4±14,6	102±14,5	103,6±13,7	97,8±16,2	0,001
FEV <sub>1</sub> , %πρ	106,5±15,4	108,1±16,9	104,6±17	107,9±15,3	102,8±18,1	0,01
FEF <sub>25-75</sub> , %πρ	88,1±18	91±17,8	82,8±18,2	86,5±15,6	94,5±22,9	0,001
FEV <sub>1</sub> /FVC, %	88,6±3,8	88,8±4,4	87,7±4,5	89,2±3,1	86,7±5,5	0,01

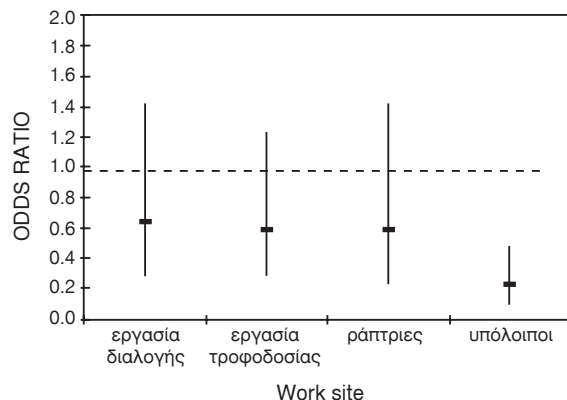
Οι τιμές της FVC, του FEV<sub>1</sub> και της FEF<sub>25-75</sub>% εκφράζονται επί τοις εκατό των προβλεπόμενων.



**Εικ. 1.** Επίδραση του χρόνου απασχόλησης στον  $FEV_1$ .

Πίνακας 3. Συχνότητα ρινίτιδας και ρινική λειτουργία

	Εργάτες (Νο=1.020)	Μάρτυρες (Νο=469)	p
Συχνότητα ρινίτιδας, %	27,3	17,9	<0,001
Flow Sum, ml/sec	563±211	645±321	<0,001
Σοβαρή απόφραξη, %	46,2	36,2	<0,001



Εικ. 2. Σχετικός κίνδυνος (odds ratio) για την εμφάνιση σοβαρής ρινικής απόφραξης ανάλογα με τη θέση εργασίας (1=καθαρίστριες).

#### στημα

Η συχνότητα της ρινίτιδας, το άθροισμα των εισπνευστικών ροών και από τους δύο ρώθωνες (Flow Sum σε ml/sec,  $m \pm SD$ ) και η συχνότητα της σοβαρής ρινικής απόφραξης (Flow Sum < 500 ml/sec) φαίνονται στον πίνακα 3.

Μεταξύ των εργατών και των μαρτύρων παρουσιάστηκαν στατιστικά σημαντικές διαφορές.

Ο εκτιμώμενος σχετικός κίνδυνος (odds ratio) για την εμφάνιση σοβαρής ρινικής απόφραξης βρέθηκε με βάση 1 στις καθαρίστριες και με πτωτική τάση, 0,64 για τους εργαζόμενους στη διαλογή, 0,59 για τους εργαζόμενους στην τροφοδοσία, 0,58 για τις ράπτριες και 0,22 για τους υπόλοιπους ( $p<0,001$ , Εικ. 2).

Στον πίνακα 4 φαίνονται οι σχέσεις θέσης εργασίας, βαριάς ρινικής απόφραξης και μεσοεκπνευστικής ροής. Φαίνεται, ότι τα άτομα που είχαν σοβαρή ρινική απόφραξη είχαν και χαμηλή μεσο-

Πίνακας 5. Ευρήματα από τον αλλεργιολογικό έλεγχο

	Ασθενείς (Νο=76)	Μάρτυρες (Νο=35)
Ρινική πρόκληση θετική	53/76	3/35
Prick test θετικό	6/76	—
Ολική IgE υψηλή	21/76	3/35
Ανίχνευση ειδικής IgE	4/76	—
Ανίχνευση ειδικής IgG	-	—

εκπνευστική ροή στη σπιρομέτρη.

Κατά τη συμπλήρωση του ερωτηματολογίου του MRC, 279 (27,3%) εργαζόμενοι ανέφεραν ρινίτιδα. Από αυτούς δέχτηκαν να υποβληθούν σε αναλυτικότερο έλεγχο οι 76, ενώ ως μάρτυρες χοησιμοποιήθηκαν 35 εργαζόμενοι στα γραφεία της καπνοβιομηχανίας που δεν είχαν σύμφωνα με το ερωτηματολόγιο συμπτώματα ρινίτιδας. Όλοι υποβλήθηκαν σε ειδική ρινική πρόκληση με αντιγόνα σκόνης καπνού, δερματικές δοκιμασίες στη σκόνη του καπνού και σε μέτρηση ολικής IgE, ειδικής IgE και IgG έναντι αντιγόνων σκόνης καπνού. Τα αποτελέσματα φαίνονται στον πίνακα 5.

Από τα αποτελέσματα φαίνεται, ότι τα άτομα που είχαν ευαισθητοποιηθεί στη σκόνη των ξηρών φύλλων καπνού ήσαν μόλις 6%, από τα οποία τα τέσσερα είχαν θετική και την ειδική IgE.

#### ΣΥΖΗΤΗΣΗ

Οι ευρεθείσες τιμές της συνολικής αιωρούμενης σκόνης στον εργασιακό χώρο κυμάνθηκαν από 45,3-54,4 mg/m<sup>3</sup> αέρα. Αυτές οι τιμές ήσαν υπερβολικά υψηλές σε σύγκριση με ανάλογες μελέτες, όπου οι τιμές κυμαίνονταν σε σχετικά χαμηλά επίπεδα. Μεταξύ αυτών αναφέρονται: Valic και συν.<sup>2</sup>

Πίνακας 4. Θέση εργασίας, σοβαρή ρινική απόφραξη και μεσοεκπνευστική ροή

Θέση εργασίας	No	Flow Sum, <500 ml/sec (%)	FEF <sub>25-75</sub> , % προβλ
Εργ. διαλογής	132	52,3	88,1±18,0
Εργ. τροφοδοσίας	569	50,4	91,0±17,8
Ράπτριες	68	50	82,8±18,2
Καθαρίστριες	38	63,2	86,5±15,6
Υπόλοιποι	213	27,2	94,5±22,9

0,9-27,5 mg/m<sup>3</sup>, Lander και Gravesen<sup>4</sup> 0,27-0,89 mg/m<sup>3</sup>, Viegi και συν.<sup>6</sup> 0,7-24,9 mg/m<sup>3</sup>, Kjaergaard και συν.<sup>7</sup> 0,02-5,69 mg/m<sup>3</sup> και Ghosh και συν.<sup>20</sup> 29,37 mg/m<sup>3</sup>. Πρέπει εδώ να τονιστεί, ότι δεν έχουν καθοριστεί επιτρεπτά επίπεδα έκθεσης στη σκόνη του καπνού.

Από την ανάλυση του ερωτηματολογίου του MRC διαπιστώθηκε, ότι το 8,6% των εργατών και το 20,9% των μαρτύρων παρουσίαζε χρόνια βρογχίτιδα. Η χρόνια βρογχίτιδα ήταν συχνότερη στους μάρτυρες, επειδή οι τελευταίοι υπερτερούσαν ως προς την καπνισματική έξη (εν ενεργείᾳ καπνιστές 35,8% έναντι 34% στους εργάτες και πρώην 10,9% έναντι 2,8% αντίστοιχα). Οι Valic και συν.<sup>2</sup> μελέτησαν 318 μη καπνίστριες εργαζόμενες σε καπνεργοστάσιο με τη χρήση ειδικού ερωτηματολογίου του MRC και βρήκαν συχνότητα χρόνιας βρογχίτιδας 7,5%, ποσοστό συγκρίσιμο με της παρούσας μελέτης. Οι Kjaergaard και συν. μελέτησαν 75 εργαζόμενους σε βιομηχανία κατασκευής πούρων και δε διαπίστωσαν αυξημένη συχνότητα χρόνιας βρογχίτιδας<sup>7</sup>. Αλλά ο Huuskonen και συν.<sup>5</sup> σε μελέτη 57 εργαζόμενων σε καπνοβιομηχανία διαπίστωσαν υψηλά ποσοστά χρόνιας βρογχίτιδας (22,2%). Ο μικρός αριθμός των εξετασθέντων εργατών στις τελευταίες αυτές μελέτες καθιστά τη σύγκριση με την παρούσα επισφαλή.

Αισθητά μικρότερη από την αναμενόμενη ήταν και η συχνότητα της χρόνιας αποφρακτικής πνευμονοπάθειας που βρέθηκε σε ποσοστό 1,3% στους εργάτες και 3,4% στους μάρτυρες ( $p<0,01$ ). Οι Sichletidis και συν.<sup>21</sup> διαπίστωσαν ανάλογα μικρό ποσοστό αποφρακτικής πνευμονοπάθειας σε έρευνα στη Βόρεια Ελλάδα που κυμαινόταν από 2,4% έως 4% σε ειδικές πληθυσμού.

Οι τιμές των FVC % προβλεπόμενης, FEV<sub>1</sub> % προβλεπόμενου και FEV<sub>1</sub>/FVC% ήταν χαμηλότερες στους μάρτυρες, εκτός από την FEF<sub>25-75%</sub> προβλεπόμενης που ήταν χαμηλότερη στους εργάτες. Φαίνεται, ότι ο συνολικός χρόνος απασχόλησης στο καπνεργοστάσιο επηρέασε με στατιστικά σημαντικό τρόπο την αναπνευστική λειτουργία των εργατών. Με την εφαρμογή του προτύπου ανάλυσης πολλαπλής συσχέτισης βρέθηκε, ότι ο FEV<sub>1</sub> επηρεάστηκε κυρίως από το χρόνο απασχόλησης και λιγότερο από τις καπνισματικές συνήθειες των εργαζόμενων. Η διαπίστωση ότι η εργασία επηρεάζει την αναπνευστική λειτουργία και κυρίως τις μικρές αεροφόρδες οδούς βρίσκεται, σε γενικές γραμμές, σε συμφωνία με τα ευρήματα και άλλων συγγραφέων<sup>6,7,22,23</sup>.

Δε διαπιστώθηκε βρογχικό άσθμα στους εργαζόμενους, γεγονός ωστόσο που μπορεί να οφείλεται στην επίδραση του φαινομένου του «υγιούς εργαζόμενου», δηλαδή της εγκατάλειψης της εργασίας από τους πάσχοντες, ενώ ο υγιής πληθυσμός συνεχίζει να εργάζεται, με αποτέλεσμα την υποεκτίμηση του προβλήματος. Οι προσβολές συριγμού ή και δύσπνοιας στους περισσότερους από τους 27 υπό συζήτηση εργαζόμενους θα μπορούσε να αποδοθούν σε έξαρση χρόνιας βρογχίτιδας. Σε αντίθεση με τα ευρήματα της παρούσας μελέτης, ποσοστό 69% των εργαζόμενων σε βιομηχανία κατασκευής πούρων που μελέτησαν οι Lander και Gravesen ανέφερε συμπτώματα συμβατά με άσθμα σε σχέση με 6% μόνο των μαρτύρων. Το γεγονός αποδόθηκε στα αντιγονικά συστατικά της σκόνης του καπνού<sup>4</sup>. Οι Viegi και συν. σε μελέτη 223 εργαζόμενων σε βιομηχανία κατασκευής σιγαρέττων και πούρων βρήκαν, ότι η συχνότητα ασθματικών συμπτωμάτων στους εργαζόμενους ήταν μεγαλύτερη από εκείνη του γενικού πληθυσμού της περιοχής<sup>6</sup>. Οι Kjaergaard και συν. μελέτησαν 75 εργαζόμενους σε βιομηχανία κατασκευής πούρων και τους συνέκριναν με 50 μάρτυρες. Στον έλεγχο της ευαισθητοποίησης στη σκόνη καπνού των εργαζόμενων με δερματικές δοκιμασίες (prick tests) οι αντιδράσεις, μολονότι συχνότερες σε σχέση με τους μάρτυρες, ήσαν πολύ ελαφρές και χωρίς κλινική σημασία<sup>7</sup>. Η ασυμφωνία των ευρημάτων των παραπάνω μελετών και της παρούσας θα μπορούσε να ερμηνευτεί από τις πιθανές διαφορές των καπνοφύλλων ως προς την προέλευση και την ποικιλία. Είναι γεγονός πάντως, ότι αντιγόνα ικανά να προκαλέσουν το σχηματισμό αντισωμάτων περιέχονται σε εκχυλίσματα φύλλων καπνού<sup>24</sup>. Πρέπει επίσης να σημειωθεί, ότι δεν υπάρχει στο εμπόριο τυποποιημένο διάλυμα αντιγόνου καπνού, ώστε να εξαχθούν ασφαλή συμπεράσματα από συγκρίσιμες δοκιμασίες.

Ουδείς από τους μελετηθέντες εργάτες παρουσίασε συμπτώματα εξωγενούς αλλεργικής κυψελιδίτιδας.

Διαπιστώθηκε, ότι η συχνότητα της ρινίτιδας ήταν 27,3% στους εργαζόμενους και 17,9% στους μάρτυρες. Η διατύπωση ενός ακριβούς ορισμού της ρινίτιδας αποτελεί πολύ δύσκολο πρόβλημα κατά το σχεδιασμό επιδημιολογικών ερευνών για την ανίχνευση του επιπολασμού της. Κατά κάποιον τρόπο ο καθένας έχει «ρινίτιδα», αφού ο ρινικός βλεννογόνος προκαλείται συνεχώς από ποικιλία περιβαλλοντικών ρύπων, ιών και μικροβίων και

στην πραγματικότητα «φυσιολογικός» ρινικός βλεννογόνος δεν υπάρχει<sup>25</sup>. Οι Sibbald και Rink<sup>26</sup> διαπίστωσαν σε δείγμα 5.349 εξετασθέντων ατόμων στο Λονδίνο, ότι ο επιπλασμός της ρινίτιδας ήταν 24%. Οι μελέτες σχετικά με τη συχνότητα της επαγγελματικής ρινίτιδας είναι σπανιότατες. Οι Hytonen και συν. κατά τη διάρκεια περιόδου παραπρήσεων 5 ετών κατέγραψαν στη Φινλανδία 1.244 νέες περιπτώσεις επαγγελματικής ρινίτιδας<sup>27</sup>.

Από τη συσχέτιση των ρινικών συμπτωμάτων και των ευρημάτων της ρινομανομέτρησης με την ειδικότητα των εργαζομένων φάνηκε, ότι για την εμφάνιση ρινίτιδας στους εργάτες σημαντικό όρλο έπαιξε η θέση εργασίας και άρα η συκνότητα της σκόνης καπνού στον αέρα.

Η χρόνια εισπνοή σκόνης είναι η συνηθέστερη αιτία βλάβης του ρινικού βλεννογόνου, για την πρόκληση της οποίας δεν έχουν τόση σημασία οι μηχανικές ιδιότητες της σκόνης, όσο η χημική της ενέργεια και η περιεκτικότητά της σε μικρόβια. Έχει διαπιστωθεί ότι η έκθεση σε σκόνη των εργαζομένων σε βιομηχανία κατεργασίας ξύλου προκαλεί σοβαρή διαταραχή της ρινικής βλεννοκροσσωτής κάθαρσης<sup>28</sup>. Αντιθέτως, η εισπνοή αδρανούς σκόνης σε επίπεδα μέχρι και 25 mg/m<sup>3</sup> δεν προκαλεί μεταβολές στη ρινική βλεννοκροσσωτή κάθαρση ή στις ρινικές αντιστάσεις<sup>29</sup>.

Από τη μελέτη των σχέσεων θέσεις εργασίας, μεσοεκπνευστικής ροής και βαρύτητας της ρινικής απόφραξης μπορεί να πιθανολογηθεί, ότι η βλάβη των ανώτερων αναπνευστικών οδών, που εκδηλώνεται ως ρινική δυσλειτουργία, σχετίζεται με την εμφάνιση έκπτωσης της λειτουργίας του κατώτερου αναπνευστικού συστήματος. Η ελάττωση της μεσοεκπνευστικής ροής μπορεί να οφείλεται σε ενεργοποίηση νευρικών αντανακλαστικών μηχανισμών που συνδέουν τη μύτη με τους βρόγχους<sup>30</sup>.

Από τον αλλεργιολογικό έλεγχο βρέθηκε, ότι μόνον 6 εργάτες είχαν ευαισθητοποιηθεί και παρουσίαζαν αλλεργική ρινίτιδα στη σκόνη των ξηρών φύλλων καπνού. Οι υπόλοιποι δεν είχαν ευαισθητοποιηθεί στα αντιγόνα της σκόνης καπνού (non sensitized), ούτε βεβαίως μπορεί να θεωρηθούν ως απευαισθητοποιηθέντες (desensitized), δεδομένου ότι σε κανέναν δεν ανιχνεύθηκαν IgG έναντι αντιγόνου σκόνης καπνού. Η διαπίστωση θετικής ρινικής πρόκλησης στους υπόλοιπους από τους 53 εργαζόμενους με συμπτωματολογία από τη μύτη, που δεν φαίνεται να είχαν ευαισθητοποιηθεί στα αντιγόνα της σκόνης καπνού, υποδηλώνει μάλλον την παρουσία ιδιοπαθούς (αγγειοκινητικής)

ρινίτιδας. Το γεγονός δε ότι η ρινική πρόκληση ήταν θετική μόνο σε 3 από τους 35 μάρτυρες δείχνει, ότι η συκνότητα του διαλύματος του αντιγόνου σκόνης καπνού που χρησιμοποιήθηκε δεν ήταν ερεθιστική για το φυσιολογικό ρινικό βλεννογόνο. Οι Valic και συν.<sup>2</sup> στη μελέτη τους σε 318 μη καπνίστριες εργαζόμενες σε καπνεργοστάσιο βρήκαν ρινική καταροή σε 11%, ποσοστό που δε διέφερε από την ομάδα ελέγχου. Οι Viegi και συν.<sup>6</sup> αντίθετα διαπίστωσαν, ότι η συχνότητα ρινίτιδας των εργαζόμενων ήταν μεγαλύτερη από εκείνη του γενικού πληθυσμού της περιοχής. Οι Gleich και συν.<sup>3</sup> ανέφεραν μία περίπτωση αλλεργικής ρινίτιδας και άσθματος που εμφανίστηκε μετά τοία έτη εργασίας στην επεξεργασία φύλλων καπνού. Έχει βρεθεί, ότι η επίδραση καπνού τσιγάρου ή άλλων μηχανικών ή χημικών ερεθισμάτων προκαλεί φλεγμονή του αναπνευστικού βλεννογόνου που οφείλεται σε απελευθέρωση ουσίας P από αμύλες C-νευρικές ίνες<sup>31</sup>. Η φλεγμονή του επιθηλίου των αεραγωγών και η ανάπτυξη ρινικής υπεραντιδραστικότητας συνδέονται στενά<sup>32</sup>, με αποτέλεσμα την εγκατάσταση μόνιμης δυσλειτουργίας του ρινικού βλεννογόνου. Όμως, δε μπορεί να απορριφθεί το ενδεχόμενο της τοπικής παραγωγής και έκκρισης IgE χωρίς συστηματική ευαισθητοποίηση, υπόθεση που έχει προταθεί για την εξήγηση της αλλεργικής ρινίτιδας σε ασθενείς με αρνητικές δερματικές δοκιμασίες<sup>33</sup>.

Η εργασία επιδοτήθηκε από το Κεντρικό Συμβούλιο Υγείας του Υπουργείου Υγείας- Πρόνοιας και Κοινωνικών Ασφαλίσεων.

## ABSTRACT

*Chloros D, Sichletidis L, Kyriazis G, Vlachogianni E, Tsitsios I, Kakoura M. Effect on the respiratory system of the processing of dried tobacco leaves. Hell Iatr 2004; 70: 50-58.*

Aim of this study was to examine the pollution levels of the occupational environment and to investigate the effects of the occupational exposure to tobacco dust on the respiratory system of tobacco workers, during the processing of dried tobacco leaves. No such study has been previously conducted in Greece, which is one of the important tobacco producing countries. Cases of 1,020 seasonal and permanent tobacco workers (188 men and 832 women) were studied in a factory of Thessaloniki. The study included: 1) Filling out of a questionnaire (British Medical Research Council 1986), 2) Spirometry

and 3) Rhinomanometry. At the same time, measurement of the tobacco dust levels in the working environment was performed. As controls, 469 (87 men and 382 women) workers of a Thessaloniki hospital were used. Seventy six workers with nasal symptoms underwent: 1) Special nasal provocation test with tobacco dust antigen, 2) Prick tests and 3) Measurement of total IgE, specific IgE and specific IgG against tobacco protein. Very high levels of the total suspended dust were found in the work site air (45.3-54.4 mg/m<sup>3</sup>). The chronic bronchitis prevalence was 8.6% versus 20.9% in controls. Chronic obstructive pulmonary disease was found in 13 workers (1.3%) and in 16 controls (3.4%). FEV1% pred, FVC%pred and FEV1/FVC ratio were lower in controls, whereas FEF25-75%pred was lower in workers. There were no workers with bronchial asthma or extrinsic allergic alveolitis. Rhinitis was reported in 27.3% versus 17.9% of controls, whereas nasal flows were 563±211 against 645±321 ml/sec, respectively. According to prick tests results, 6 workers were sensitized to the dust of dried tobacco leaves. The results of our study do not support an association between the development of chronic diseases of the lower respiratory system and pollutants associated with the processing of dried tobacco leaves. On the contrary, an association between disorders of the upper airways and tobacco dust in work sites is postulated.

## ΒΙΒΛΙΟΓΡΑΦΙΑ

1. International Labour Office. Encyclopedia of Occupational Health and Safety. ILO, Geneva 1983: 2182-4.
2. Valic F, Beritic D, Butkovic D. Respiratory response to tobacco dust exposure. Am Rev Respir Dis 1976, 113: 751-5.
3. Gleich GL, Welsh PW, Yunginer JW, Hyatt RE, Catlett JB. Allergy to tobacco: an occupational hazard. N Engl J Med 1980, 302: 617-9.
4. Lander F, Gravesen S. Respiratory disorders among tobacco workers. Br J Ind Med 1988, 45: 500-2.
5. Huuskonen MS, Husman K, Jarvisalo J, Korhonen O, Kottimaa M, Kuusela T, Nordman H, Zitting A, Mantyjarvi R. Extrinsic allergic alveolitis in the tobacco industry. Br J Ind Med 1984, 41: 77-83.
6. Viegi G, Paggiaro PL, Beliominini E, Vaghetti E, Paoletti P, Giuntini C. Respiratory effects of occupational exposure to tobacco dust. Br J Ind Med 1986, 43: 802-8.
7. Kjaergaard SK, Pedersen OF, Frydenberg M, Schonheyder H, Andersen P, Bonde GL. Respiratory disease and lung function in a tobacco industry. Arch Environ Health 1989, 44: 164-70.
8. Medical Research Council's Committee on Environmental and Occupational Health. Questionnaire on respiratory symptoms. London 1986.
9. Medical Research Council Special Committee on Aetiology of Chronic Bronchitis. Definition and classification of chronic bronchitis for clinical and epidemiological purposes. Lancet 1965, 1: 775-9.
10. American Thoracic Society. Standardization of spirometry-1987 update. Am Rev Respir Dis 1987, 136: 1285-98.
11. Quanjer PH, Tammeling GL, Cotes JE, Pedersen OF, Peplin R, Yernault JC. Lung volumes and forced ventilatory flows. Report Working Party, Standardization of lung function tests, European Community for Steel and Coal, Official statement of the European Respiratory Society. Eur Respir J 1993, 6 (Suppl 16): 5-40.
12. The COPD Guidelines Group of the Standards of Care Committee of the British Thoracic Society: BTS guidelines for the management of chronic obstructive pulmonary disease. Thorax 1997, 52 (Suppl 5): 1-28.
13. Clement PAR. Committee report on standardization of rhinomanometry. Rhinology 1984, 22: 151-5.
14. Clement PAR, Hirsch C. Rhinomanometry-a review. ORL 1984, 46: 173-91.
15. Bachmann W, Bachert C (eds). Die behinderte Nasenatmung: Ein diagnostisches Vademecum. Munchen-Deisenhofen, Dusti-Verlag Dr. Karl Feistel, 1987: 25.
16. General Purpose Personal Sampler. Instruction Leaflet 3110/TT. CF Casella & Co Ltd, London 1979.
17. The Committee on Skin Test Standardization of the Netherlands Society of Allergology. Report on skin test standardization. Clin Allergy 1988, 18: 305-10.
18. Wilson MR, Karr RM, Salvaggio JE. Contribution of immunologic techniques to current understanding of occupational lung disease. In: Weil H and Turner-Warwick M (eds). Occupational Lung Diseases. Research Approaches and Methods. New York Marcel Decker Inc, 1981: 125-42.
19. Dawson-Saunders Bo, Trapp RG. Basic and Clinical Biostatistics. London Prentice-Hall International (UK) Ltd, 1990.
20. Ghosh SK, Parikh JR, Gokani VN, Rao NM, Doctor PB. Occupational health problems among tobacco workers: a preliminary study. Arch Environ Health 1985, 40: 318-21.
21. Sichletidis L, Daskalopoulou E, Tsitsios I, Chloros D, Ziomas I, Zerefos Ch, Michailidis K, Pechlivanidis Th. The effects of air pollution on the respiratory system of coal-workers. Eur Respir J 1997, 10 (Suppl 25): 229.
22. Mukhtar M-S R, Rao GMM, Gamra NS, Afan AM, Zendah MI. Respiratory effects of occupational exposure to tobacco dust. Respiration 1991; 58: 271-6.
23. Spezzale M, Fornaciai G, Monechi MV. Una manifattura di tabacco: indagine ambientale e sanitaria. Med Lav 1994; 85: 149-56.
24. Gleich GL, Welsh PW. Immunochemical and physico-chemical properties of tobacco extracts. Am Rev Respir Dis 1979, 120: 995-1001.
25. van Cauwenberge P. Diagnosis of rhinitis coexisting with

- asthma. Eur Respir Rev 1997, 7: 288-91.
26. *Sibbald B, Rink E.* Epidemiology of seasonal and perennial rhinitis: clinical presentation and medical history. Thorax 1991, 46: 895-901.
27. *Hytonen M, Kanerva L, Malmberg H, Martikainen R, Mutanen P, Toikkanen J.* The risk of occupational rhinitis. Int Arch Occup Environ Health 1997, 69: 487-90.
28. *Black A, Evans J, Hadfield E, Macbeth R, Morgan A, Walsh M.* Impairment of nasal mucociliary clearance in woodworkers in the furniture industry. Br J Ind Med 1974, 31: 10-7.
29. *Andersen IB, Lundqvist GR, Proctor DF, Swift DL.* Human response to controlled levels of inert dust. Am Rev Respir Dis 1979, 119: 619-27.
30. *Kaufman J, Wright GW.* The effect of nasal and nasopharyngeal irritation on airway resistance in man. Am Rev Respir Dis 1969, 100: 626-30.
31. *Lundberg JM, Saria A.* Capsaicin-induced desensitization of airway mucosa to cigarette smoke, mechanical and chemical irritants. Nature 1983, 302: 251-3.
32. *Anggard A.* Perennial rhinitis. In: Lichtenstein LM and Fauci AS (eds). Current Therapy in Allergy, Immunology and Rheumatology, 4th ed. St Louis Mosby-Year Book Inc, 1992: 10-7.
33. *Huggins KG, Brostoff J.* Local production of specific IgE antibodies in allergic rhinitis with negative skin tests. Lancet 1975, ii: 148-50.

Αλληλογραφία:

Λ. Σιχλετίδης  
Κ. Ντηλ 3  
546 23 Θεσσαλονίκη

Corresponding author:

L. Sihletidis  
3, Ch. Diehl Str.  
546 23 Thessaloniki  
Greece

## Επίπεδα ρεζιστίνης στον ορό γυναικών με το σύνδρομο των πολυκυστικών ωοθηκών

Δ. Πανίδης<sup>1</sup>, Γ. Κολιάκος<sup>2</sup>, Α. Κούρτης<sup>1</sup>, Δ. Φαρμακιώτης<sup>1</sup>,  
Τ. Μούσλεχ<sup>1</sup>, Δ. Ρούσσος<sup>1</sup>

<sup>1</sup> Τμήμα Ενδοκρινολογίας και Ανθρώπινης Αναπαραγωγής, Β' Μαιευτική και  
Γυναικολογική Κλινική, ΑΠΘ

<sup>2</sup> Εργαστήριο Βιολογικής Χημείας, ΑΠΘ

**Περίληψη.** Η μελέτη αυτή σχεδιάστηκε με σκοπό: α) την εκτίμηση των επιπέδων της ρεζιστίνης στον ορό γυναικών με PCOS και με φυσιολογικό ή παθολογικό δείκτη μάζας σώματος (BMI), και β) την αναζήτηση πιθανής συσχέτισης των τιμών της ρεζιστίνης με το BMI και με τις ορμονικές και μεταβολικές παραμέτρους. Μελετήθηκαν 90 επιλεγμένες γυναίκες, οι οποίες κατατάχθηκαν σε τρεις ομάδες, ανάλογα με την τιμή του BMI και με την ύπαρξη ή όχι του συνδρόμου των πολυκυστικών ωοθηκών. Η πρώτη ομάδα αποτελούνταν από 35 γυναίκες με PCOS και παθολογικό BMI. Στη δεύτερη ομάδα ανήκαν 35 γυναίκες με PCOS και φυσιολογικό BMI. Η τρίτη, τέλος, ομάδα περιλάμβανε 20 ωοθυλακιορρητικές γυναίκες, χωρίς υπερανδρογοναιμία και με φυσιολογικό BMI. Αιμοληψίες για τον προσδιορισμό της FSH, της LH, της τεστοστερόνης, της Δ4-ανδροστενδιόνης, της DHEA-S, της προλακτίνης, της 17α-υδροξυπρογεστερόνης, της SHBG, της ινσουλίνης,

της ρεζιστίνης και της γλυκόζης, έγιναν μεταξύ της τρίτης και της έκτης ημέρας του εμμηνορρυσιακού κύκλου, στις 9 π.μ., ύστερα από ολονύκτια νηστεία. Τα αποτελέσματά μας έδειξαν ότι: α) τα επίπεδα της ρεζιστίνης στον ορό των γυναικών της πρώτης ομάδας ήταν σημαντικά υψηλότερα από εκείνα των γυναικών της δεύτερης ομάδας και από εκείνα των γυναικών της τρίτης ομάδας, β) δεν υπήρχαν σημαντικές διαφορές στις τιμές της ρεζιστίνης του ορού ανάμεσα στις γυναίκες της δεύτερης και της τρίτης ομάδας, και γ) ο δείκτης μάζας σώματος αποτελούσε το μόνο ανεξάρτητο παράγοντα που επηρέαζε τα επίπεδα ρεζιστίνης. Τα ευρήματα αυτά ενισχύουν την άποψη ότι η ρεζιστίνη δε φαίνεται να συνδέεται με την αντίσταση στην ινσουλίνη, όταν η αντίσταση στην ινσουλίνη δε συνοδεύεται από παχυσαρκία. Επιπλέον, η ρεζιστίνη δεν παίζει, πιθανότατα, σημαντικό ρόλο στην παθογένεια του PCOS.  
Ελλην Iatρ 2004, 70: 59 - 65.

### ΕΙΣΑΓΩΓΗ

Το σύνδρομο των πολυκυστικών ωοθηκών (PCOS), που χαρακτηρίζεται από χρόνια ανωθυλακιορρητική και υπερανδρογοναιμία, προσβάλλει το 5-10% των γυναικών αναπαραγωγικής ηλικίας<sup>1</sup>. Αποτελεί την κύρια ενδοκρινοπάθεια των γυναικών και τη συχνότερη αιτία ανωθυλακιορρητικής υπογονιμότητας<sup>2</sup>. Έτσι, ποσοστό 50-70% των περιπτώσεων με υπογονιμότητα, λόγω ανωθυλακιορρητικής, εμφανίζει το σύνδρομο των πο-

λυκυστικών ωοθηκών<sup>3,4</sup>.

Η παθογένεια του συνδρόμου των πολυκυστικών ωοθηκών παραμένει αδιευκρίνιστη<sup>5</sup>. Υψηλό ποσοστό γυναικών με PCOS παρουσιάζει αντίσταση στην ινσουλίνη και αντισταθμιστική υπερινσουλιναιμία, που αποτελούν ιδιαίτερα χαρακτηριστικά του συνδρόμου και ενδέχεται να παίζουν σημαντικό ρόλο στην παθογένεια της υπερανδρογοναιμίας. Τόσο οι λεπτόσωμες όσο και οι παχύσαρκες γυναίκες με PCOS παρουσιάζουν ενδεί-

ξεις μειωμένης ευαισθησίας των ιστών στη δράση της ινσουλίνης<sup>6</sup>, αλλά η αντίσταση στην ινσουλίνη και η αντισταθμιστική υπερινσουλιναιμία είναι περισσότερο εκσεσημασμένες στις παχύσαρκες γυναίκες με PCOS<sup>7,8</sup>.

Η αντίσταση στην ινσουλίνη και η υπερινσουλιναιμία αυξάνουν τον κίνδυνο για πιθανές μακροπρόθεσμες μεταβολικές επιπλοκές. Στις επιπλοκές αυτές περιλαμβάνονται η διαταραχή της ανοχής της γλυκόζης (μέχρι 35%) και ο σακχαρώδης διαβήτης τύπου 2 (μέχρι 10%)<sup>9</sup>, η δυσλιπιδαιμία και η καρδιαγγειακή νόσος<sup>10</sup>.

Το λιποκύτταρο θεωρείται, πλέον, δυναμικό στοιχείο του συστήματος των ενδοκρινών αδένων, που συντονίζει τον ενεργειακό μεταβολισμό και τροποποιεί την ευαισθησία των ιστών στη δράση της ινσουλίνης, μέσω της έκκρισης ποικιλίας ουσιών, των "λιποκινών"<sup>11,12</sup>. Από τις ουσίες αυτές, πιο πρόσφατα ανακαλύφθηκε η ζεξιστίνη, πεπτίδιο με 114 αμινοξέα, που πήρε το όνομά του από το γεγονός ότι θεωρήθηκε ο κρίκος ο οποίος συνδέει την παχυσαρκία με το σακχαρώδη διαβήτη<sup>13</sup>. Έτσι, τα επίπεδα της ζεξιστίνης στον ορό αυξάνονται σε διάφορες μιορφές παχυσαρκίας, γενετικής ή επίκτητης αιτιολογίας, ενώ ελαττώνονται ύστερα από χορήγηση δοσιγλιταζόνης. Επιπλέον, η χορήγηση αντισωμάτων έναντι της ζεξιστίνης βελτιώνει τα επίπεδα της γλυκόζης και την ανταπόκριση στην ινσουλίνη σε παχύσαρκα, λόγω ειδικής δίαιτας, ποντίκια. Ακόμη, η χορήγηση ανασυνδυασμένης ζεξιστίνης σε φυσιολογικά ποντίκια διαταράσσει την ανοχή στη γλυκόζη και την ομαλή δράση της ινσουλίνης. Τέλος, η ινσουλινοεξαρτώμενη πρόσληψη γλυκόζης από τα λιποκύτταρα αυξάνεται ύστερα από αδρανοποίηση της ζεξιστίνης και ελαττώνεται ύστερα από χορήγηση της ορμόνης αυτής<sup>13</sup>.

Με τα παραπάνω δεδομένα οι Steppan και συν.<sup>13</sup> πρότειναν τη ζεξιστίνη ως τον κρίκο που συνδέει την παχυσαρκία με το σακχαρώδη διαβήτη. Η άποψη, όμως, αυτή δε γίνεται αποδεκτή από όλους τους ερευνητές<sup>14-22</sup>.

Επειδή υψηλό ποσοστό γυναικών με PCOS παρουσιάζει παχυσαρκία, διαταραγμένη ανοχή γλυκόζης και σακχαρώδη διαβήτη τύπου 2 και επειδή η ζεξιστίνη αποτελεί, ενδεχομένως, τον κρίκο που συνδέει την παχυσαρκία με το σακχαρώδη διαβήτη, η μελέτη αυτή σχεδιάσθηκε με σκοπό: α) την εκτίμηση των επιπέδων της ζεξιστίνης στον ορό γυναικών με PCOS και με φυσιολογικό ή παθολογικό δείκτη μάζας σώματος (BMI), και β) την

αναζήτηση πιθανής συσχέτισης των τιμών της ζεξιστίνης με το BMI και με τις ορμονικές και μεταβολικές παραμέτρους. Σημειώνεται ότι δεν υπάρχουν άλλες μελέτες στη διεθνή βιβλιογραφία, που να αναφέρονται στα επίπεδα ζεξιστίνης ορού σε γυναίκες με το σύνδρομο των πολυκυστικών ωοθηκών.

## ΑΣΘΕΝΕΙΣ ΚΑΙ ΜΕΘΟΔΟΙ

Μελετήθηκαν 90 επιλεγμένες γυναίκες, ηλικίας 14-39 ετών (μέση τιμή $\pm$ SD:  $26,8 \pm 4,7$  έτη), οι οποίες προσήλθαν στο Εξωτερικό Ιατρείο Γυναικολογικής Ενδοκρινολογίας με ένα ή περισσότερα από τα παρακάτω συμπτώματα: ολιγομηνόρροια, πρόβλημα γονιμότητας, υπερτρέχωση, ακμή και απόπτωση των τριχών της κεφαλής ανδρικού τύπου. Καμιά από τις γυναίκες δεν παρουσιάζει γαλακτόρροια και συστηματικές ή άλλες παθήσεις, που θα μπορούσαν να επηρεάσουν τη λειτουργία του γεννητικού άξονα. Επίσης, καμιά γυναίκα δεν ανέφερε λήψη φαρμάκων το τελευταίο εξάμηνο, που θα μπορούσαν να επηρεάσουν τη λειτουργία του άξονα υποθάλαμος-υπόφυση-ωοθήκες.

Οι 90 γυναίκες κατατάχθηκαν σε τρεις ομάδες, ανάλογα με την τιμή του BMI και με την ύπαρξη ή όχι του συνδρόμου των πολυκυστικών ωοθηκών. Η πρώτη ομάδα (Ομάδα I) αποτελούνταν από 35 γυναίκες με PCOS και παθολογικό BMI (μέση τιμή $\pm$ SD:  $32,5 \pm 6,6$  Kg/m<sup>2</sup>, όρια 25,3 έως 44,9 Kg/m<sup>2</sup>). Στη δεύτερη ομάδα (Ομάδα II) ανήκαν 35 γυναίκες με PCOS και φυσιολογικό BMI ( $21,6 \pm 1,6$  Kg/m<sup>2</sup>, όρια 18,6 έως 24,8 Kg/m<sup>2</sup>). Η τρίτη, τέλος, ομάδα (Ομάδα III) περιλάμβανε 20 ωοθηλακιορρητικές γυναίκες, χωρίς υπερανδρογοναυμία, και με φυσιολογικό BMI ( $21,6 \pm 3,0$  Kg/m<sup>2</sup>, όρια 18,3 έως 24,9 Kg/m<sup>2</sup>).

Η διάγνωση του PCOS στις ασθενείς των Ομάδων I και II στηρίχθηκε στο ιστορικό, στην κλινική εξέταση, στην υπερηχογραφική εκτίμηση των έσω γεννητικών οργάνων και στον προσδιορισμό των βασικών επιπέδων της θυλακιοτρόπου ορμόνης (FSH), της ωχρινοτρόπου ορμόνης (LH), της τεστοστερόνης (T), της Δ<sub>4</sub>-ανδροστενδιόνης (Δ<sub>4</sub>A) και της θειυκής δεϋδροεπιανδροστερόνης (DHEA-S). Επιπλέον, προσδιορίσθηκαν τα επίπεδα της προλακτίνης (PRL), της 17α-υδροξυ προγεστερόνης, της σφαιρίνης που συνδέει τις ορμόνες του φύλου (SHBG), της ινσουλίνης, της ζεξιστίνης και της γλυκόζης. Τέλος, υπολογίστηκαν ο δείκτης ελεύθερων ανδρογόνων (FAI: Free Androgen Index) και η σχέση γλυκόζης προς ινσουλίνη.

Οι αιμοληψίες για τον προσδιορισμό των παραπάνω παραμέτρων έγιναν μεταξύ της τρίτης και της έκτης ημέρας του εμπινορρυτισμού κύκλου, στις 9 π.μ., ύστερα από ολονύκτια νηστεία. Η γλυκόζη του ορού προσδιορίσθηκε με την ενζυμική μέθοδο (GOD/POD). Οι τιμές της LH, της FSH και της PRL μετρήθηκαν με την ανοσοενζυμική μέθοδο (MEIA), οι τιμές της ινσουλίνης, των ανδρογόνων και της 17α-υδροξυ προγεστερόνης με τη ραδιοιανσολογική μέθοδο, ενώ οι τιμές της SHBG με την ανοσοραδιομετρική μέθοδο, με τη βοήθεια έτοιμων αντιδραστηρίων, που φέρονται στο εμπόριο με τη μιορφή kits (FSH: Radioisotopic Kit, Nichols Institute Diagnostics, San Juan Capistrano, California, 92675, USA. LH: Radioisotopic Kit, Nichols Institute Diagnostics, San Juan Capistrano, California, 92675, USA. PRL: Radioisotopic Kit,

Nichols Institute Diagnostics, San Juan Capistrano, California, 92675, USA. T: Direct Radio-immunoassay Kit, Sorin, Biomedica.  $\Delta_4\text{A}$ : Gamma Coat [ $^{125}\text{I}$ ] Radio-immunoassay Kit, Incstar Corporation. DHEA-S: Direct Radio-immunoassay Solid Phase Coated Tubes, Zer Science Based Industries Ltd. 17 $\alpha$ -OH προγεστερόνη: ImmuChem Double Antibody [ $^{125}\text{I}$ ] Radio-immunoassay Kit, ICN Pharmaceuticals, Inc. SHBG: [ $^{125}\text{I}$ ] Immunoradiometric Assay Kit, Orion Diagnostica. Insulin: Coat-A-count Insulin, Diagnostic Products Corporation). Τέλος, τα επίπεδα της ρεξιστίνης προσδιορίσθηκαν με την ανοσοενζυμική μέθοδο, με τη βοήθεια έτοιμων αντιδραστηρίων, που φέρονται στο εμπόριο με τη μορφή kits (Phoenix Pharmaceuticals Inc. Belmond CA).

Για τη σύγκριση των μέσων τιμών χρησιμοποιήθηκε το unpaired t-test, ύστερα από λογαριθμική μετατροπή των τιμών. Οι συσχετίσεις ανάμεσα στη ρεξιστίνη και στις διάφορες παραμέτρους έγιναν με τον υπολογισμό του συντελεστή συσχέτισης Pearson, ύστερα από λογαριθμική μετατροπή των τιμών. Ο βαθμός της ανεξάρτητης συσχέτισης των διαφόρων παραμέτρων στα επίπεδα της ρεξιστίνης εκτιμήθηκε με τη δοκιμασία πολλαπλής εξάρτησης (Multiple regression analysis), ύστερα από λογαριθμική μετατροπή των τιμών. Για τη στατιστική ανάλυση των αποτελεσμάτων χρησιμοποιήθηκε το πρόγραμμα SPSS (ver.11.0)

## ΑΠΟΤΕΛΕΣΜΑΤΑ

Στον πίνακα 1 παρουσιάζονται τα κλινικά στοιχεία των γυναικών των τριών ομάδων που μελετήθηκαν. Δεν υπήρχαν σημαντικές διαφορές στην ηλικία μεταξύ των γυναικών των τριών ομάδων. Αντίθετα, οι γυναίκες της Ομάδας I εμφάνιζαν σημαντικά υψηλότερο BMI από εκείνο των γυναικών της Ομάδας II ( $p<0,001$ ) και της Ομάδας III ( $p<0,001$ ). Δεν υπήρχε σημαντική διαφορά στο BMI μεταξύ των γυναικών των Ομάδων II και III.

Στον πίνακα 2 καταγράφονται τα επίπεδα της FSH, της LH, της προλακτίνης, της τεστοστερόνης, της  $\Delta_4$ -ανδροστενδιόνης, της θειυκής δεϋδροεπιανδροστερόνης, της 17 $\alpha$ -υδροξυπρογεστερόνης, της SHBG, της ινσουλίνης, της γλυκόζης και της ρεξιστίνης, καθώς και ο δείκτης ελεύθερων ανδρογόνων και ο λόγος γλυκόζης προς ινσουλίνη στον ορό των γυναικών των τριών ομάδων που μελετήθηκαν. Οι γυναίκες με το σύνδρομο των πολυκυστι-

κών ωοθηκών (Ομάδες I και II) παρουσίαζαν σημαντικά χαμηλότερα επίπεδα FSH ορού από τις μάρτυρες (Ομάδα III). Έτσι, οι τιμές της FSH των γυναικών της Ομάδας I ήταν σημαντικά χαμηλότερες από εκείνες των γυναικών της Ομάδας III ( $p<0,05$ ), όπως και οι τιμές της FSH των γυναικών της ομάδας II ήταν σημαντικά χαμηλότερες από εκείνες των γυναικών της Ομάδας III ( $p<0,01$ ). Εξάλλου, οι τιμές της LH των λεπτόσωμων γυναικών με PCOS (Ομάδα II) ήταν υψηλότερες από εκείνες των παχύσαρκων γυναικών με PCOS (Ομάδα I) και από εκείνες των μαρτύρων (Ομάδα III). Έτσι, οι τιμές της LH των γυναικών της Ομάδας II ήταν σημαντικά υψηλότερες από εκείνες των γυναικών των Ομάδων I και III ( $p<0,005$  και  $p<0,05$ , αντίστοιχα). Τέλος, δεν υπήρχαν σημαντικές διαφορές στα επίπεδα της προλακτίνης ορού ανάμεσα στις γυναίκες των τριών ομάδων, μολονότι πέντε γυναίκες της Ομάδας I (14,3%) και δύο γυναίκες της Ομάδας II (5,7%) είχαν τιμές προλακτίνης ορού υψηλότερες από το ανώτερο φυσιολογικό όριο.

Οι τιμές της ολικής τεστοστερόνης στον ορό των παχύσαρκων και των λεπτόσωμων γυναικών με PCOS δεν διέφεραν σημαντικά μεταξύ τους. Οι τιμές αυτές, όμως, ήταν σημαντικά υψηλότερες από ό,τι στις μάρτυρες (Ομάδα I έναντι Ομάδας III:  $p<0,001$ , Ομάδα II έναντι Ομάδας III:  $p<0,001$ ). Παρόμοια ήταν και η σχέση των τιμών της  $\Delta_4$ -ανδροστενδιόνης (Ομάδα I έναντι Ομάδας III:  $p<0,001$ , Ομάδα II έναντι Ομάδας III:  $p<0,001$ ). Παρόμοια ήταν, τέλος, η σχέση των τιμών της θειυκής δεϋδροεπιανδροστερόνης, καθώς δεν υπήρχαν σημαντικές διαφορές στα επίπεδα της ορμόνης ανάμεσα στις Ομάδες I και II, ενώ οι τιμές της θειυκής δεϋδροεπιανδροστερόνης στον ορό των γυναικών των ομάδων αυτών ήταν σημαντικά υψηλότερες από εκείνες της Ομάδας III (Ομάδα I έναντι Ομάδας III:  $p<0,001$ , Ομάδα II έναντι Ομάδας III:  $p<0,001$ ). Όσον αφορά τις τιμές του FAI, οι γυναίκες με πολυκυστικές ωοθηκές είχαν σημαντικά υψηλότερες τιμές FAI από ό,τι οι μάρτυρες (Ομάδα I έ-

**Πίνακας 1.** Κλινικά στοιχεία των γυναικών των τριών ομάδων που μελετήθηκαν (μέση τιμή  $\pm$  SD, όρια των τιμών)

Κλινικά στοιχεία	Ομάδες ατόμων		
	I	II	III
Αριθμός ατόμων (n)	35	35	20
Διάγνωση	PCOS, παθολογικό BMI	PCOS, φυσιολογικό BMI	Μάρτυρες, φυσιολογικό BMI
Ηλικία (έτη)	$26,80 \pm 5,2$ (14-39)	$25,7 \pm 4,0$ (18-38)	$28,6 \pm 4,5$ (21-36)
BMI ( $\text{Kg}/\text{m}^2$ )	$32,5 \pm 6,1$ (25,3-44,9)	$21,6 \pm 1,6$ (18,6-24,8)	$21,6 \pm 3,0$ (18,3-24,9)

Πίνακας 2. Επίπεδα ορμονών στον ορό των γυναικών των τριών ομάδων που μελετήθηκαν (μέση τιμή  $\pm$  SD, όρια των τιμών)

Ορμόνες που μετρήθηκαν	I	Ομάδες ατόμων II	III	Φυσιολογικές τιμές
FSH (mIU/ml)	5,6 $\pm$ 2,0 (1,5-10,2)	5,7 $\pm$ 1,4 (3,2-9,0)	6,8 $\pm$ 2,2 (3,6-10,6)	3,6-13,7
LH (mIU/ml)	6,1 $\pm$ 3,2 (1,6-16,2)	9,1 $\pm$ 5,3 (2,4-26,7)	6,3 $\pm$ 2,2 (3,9-10,4)	1,9-11,9
PRL (ng/ml)	13,9 $\pm$ 8,4 (4,8-35,5)	14,5 $\pm$ 6,1 (5,0-31,5)	11,5 $\pm$ 5,1 (4,4-21,6)	3,0-23,2
T (ng/dl)	92,6 $\pm$ 23,9 (60,0-165,0)	93,8 $\pm$ 24,9 (47,0-170,0)	33,4 $\pm$ 10,3 (12,9-45,0)	10-80
$\Delta_4$ A (ng/ml)	3,0 $\pm$ 1,1 (1,2-6,5)	2,9 $\pm$ 1,0 (1,2-6,0)	1,6 $\pm$ 0,4 (1,0-2,2)	0,6-2,7
DHEA-S (ng/ml)	2954,6 $\pm$ 896,6 (1690-5586)	2807,5 $\pm$ 1106,0 (1254-5100)	1380,7 $\pm$ 282,1 (984,0-1949,0)	400-3800
17α-υδροξυπρογε- στερόνη (ng/ml)	1,1 $\pm$ 0,4 (0,4-2,0)	1,1 $\pm$ 0,4 (0,4-2,0)	0,6 $\pm$ 0,2 (0,3-1,0)	0,2-1,0
SHBG (nmol/l)	28,5 $\pm$ 14,6 (11,0-68,0)	38,9 $\pm$ 17,0 (12,0-80,0)	69,4 $\pm$ 24,7 (38,0-110,0)	20,0-120,0
Ινσουλίνη (μΙU/l)	14,7 $\pm$ 9,7 (4,0-37,0)	7,9 $\pm$ 3,8 (2,4-20,0)	5,7 $\pm$ 2,0 (3,0-10,0)	4,0-25,0
Γλυκόζη (mg/dl)	91,1 $\pm$ 13,0 (70,0-135,0)	84,2 $\pm$ 10,2 (70,0-113,0)	82,2 $\pm$ 6,8 (75,0-96,0)	70-110
FAI (Τ σε nmol/l)				
X100/SHBG σε nmol/l)	14,6 $\pm$ 8,3 (3,8-35,3)	10,6 $\pm$ 7,0 (3,7-33,5)	2,0 $\pm$ 1,2 (0,5-4,1)	<5
Γλυκόζη/Ινσουλίνη (Γλυκόζη σε mg/dl- Ινσουλίνη σε μΙU/l)	8,9 $\pm$ 5,1 (2,5-20,0)	12,6 $\pm$ 5,2 (4,5-29,2)	15,9 $\pm$ 4,7 (9,0-25,0)	>4,5
Ρεζιστίνη (ng/ml)	19,2 $\pm$ 27,4 (2,1-139,5)	6,6 $\pm$ 8,2 (1,3-49,5)	5,8 $\pm$ 3,5 (1,9-16,5)	—

ναντι Ομάδας III:  $p<0,001$ , Ομάδα II έναντι Ομάδας III:  $p<0,05$ ). Σε αντίθεση, όμως, με ό,τι συνέβαινε με τις τιμές των ολικών ανδρογόνων οι τιμές του FAI των γυναικών της Ομάδας I ήταν σημαντικά υψηλότερες από εκείνες των γυναικών της Ομάδας II ( $p<0,05$ ).

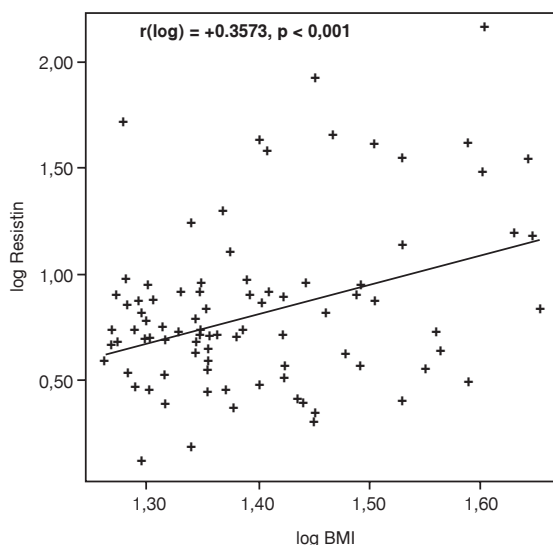
Οι τιμές της 17α-υδροξυπρογεστερόνης στον ορό των γυναικών των τριών ομάδων παρουσιάζονται στον πίνακα 2. Δεν διαπιστώθηκαν σημαντικές διαφορές ανάμεσα στις τιμές της 17α-υδροξυπρογεστερόνης στον ορό των παχύσαρκων (Ομάδα I) και των λεπτόσωμων (Ομάδα II) γυναικών με το σύνδρομο των πολυκυστικών ωοθηκών. Οι γυναίκες, όμως, των Ομάδων I και II είχαν σημαντικά υψηλότερες τιμές 17α-υδροξυπρογεστερόνης από εκείνες των γυναικών της Ομάδας III (Ομάδα I έναντι Ομάδας III:  $p<0,001$ , Ομάδα II έναντι Ομάδας III:  $p<0,001$ ).

Τα επίπεδα της SHBG στον ορό των γυναικών της Ομάδας I ήταν σημαντικά χαμηλότερα από εκείνα των γυναικών της Ομάδας II ( $p<0,005$ ) και από εκείνα των γυναικών της Ομάδας III ( $p<0,001$ ). Επιπλέον, τα επίπεδα της σφαιρινής αυτής στον ορό των γυναικών της Ομάδας II ήταν σημαντικά χαμηλότερα από εκείνα των γυναικών της Ομάδας III ( $p<0,001$ ). Οι τιμές της ινσουλίνης, εξάλλου, στον ορό των γυναικών με PCOS (Ομάδες I και II) ήταν σημαντικά υψηλότερες από ό,τι στις μάρτυρες (Ομάδα III) (Ομάδα I έναντι Ομάδας III:  $p<0,001$ , Ομάδα II έναντι Ομάδας III:  $p<$

0,05). Σημειώνεται ότι οι τιμές της ορμόνης αυτής στον ορό των γυναικών της Ομάδας I ήταν σημαντικά υψηλότερες από εκείνες των γυναικών της Ομάδας II ( $p<0,001$ ). Επιπλέον, οι τιμές της γλυκόζης στον ορό των γυναικών της Ομάδας I ήταν σημαντικά υψηλότερες από εκείνες των γυναικών της ομάδας II ( $p<0,05$ ) και από εκείνες των γυναικών της Ομάδας III ( $p<0,005$ ). Οι τιμές, όμως, της γλυκόζης των γυναικών της Ομάδας II δεν διέφεραν σημαντικά από εκείνες των γυναικών της Ομάδας III. Τέλος, ο λόγος της γλυκόζης προς ινσουλίνη στις γυναίκες της Ομάδας I ήταν σημαντικά χαμηλότερος από εκείνον των γυναικών των Ομάδων II και III ( $p<0,001$  και  $p<0,001$ , αντίστοιχα), και ο λόγος της γλυκόζης προς ινσουλίνη στις γυναίκες της Ομάδας II ήταν σημαντικά χαμηλότερος από εκείνον των γυναικών της Ομάδας III ( $p<0,05$ ).

Τα επίπεδα της ζεξιστίνης στον ορό των γυναικών των τριών Ομάδων που μελετήθηκαν παρουσιάζονται στον πίνακα 2. Οι μέσες τιμές της ζεξιστίνης στον ορό των γυναικών της Ομάδας I ήταν σημαντικά υψηλότερες από εκείνες των γυναικών της Ομάδας II ( $p<0,005$ ) και από εκείνες των γυναικών της Ομάδας III ( $p<0,05$ ). Οι τιμές της ορμόνης αυτής στον ορό των γυναικών της ομάδας II δεν παρουσιάζαν σημαντικές διαφορές από εκείνες των γυναικών της Ομάδας III.

Ο υπολογισμός του συντελεστή συσχέτισης Pearson, που έγινε ύστερα από λογαριθμική μετατροπή των τιμών, έδειξε ότι υπήρχε σημαντική θε-



**Εικ. 1.** Συσχέτιση ανάμεσα στα επίπεδα της ρεζιστίνης στον ορό των 90 γυναικών και στις τιμές του δείκτη μάζας σώματος (ύστερα από λογαριθμική μετατροπή των τιμών).

τική συσχέτιση ανάμεσα στα επίπεδα της ρεζιστίνης και στις τιμές του BMI (Εικ. 1,  $p<0,001$ ), στις τιμές της ινσουλίνης ( $p<0,01$ ) και στις τιμές της γλυκόζης ( $p<0,05$ ), και σημαντική αρνητική συσχέτιση μεταξύ των επιπέδων της ρεζιστίνης και των τιμών της SHBG ( $p<0,05$ ), καθώς και μεταξύ των επιπέδων της ρεζιστίνης και των τιμών του λόγου γλυκόζης προς ινσουλίνη ( $p<0,05$ ). Δεν βρέθηκε συσχέτιση ανάμεσα στα επίπεδα της ρεζιστίνης και στις τιμές των γοναδοτροπινών, όπως και ανάμεσα στα επίπεδα της ρεζιστίνης και στα επίπεδα των ανδρογόνων. Στη συνέχεια, με τη δοκιμασία πολλαπλής εξάρτησης (Multiple regression analysis), ύστερα από λογαριθμική μετατροπή των τιμών, βρέθηκε ότι ο δείκτης μάζας σώματος αποτελεί τον ανεξάρτητο παράγοντα, που επηρεάζει τα επίπεδα της ρεζιστίνης ( $p<0,001$ ). Ανεξάρτητη από το BMI συσχέτιση, στατιστικά σημαντική, των υπολοίπων παραγόντων (ινσουλίνη, γλυκόζη, λόγος γλυκόζης προς ινσουλίνη, SHBG) με τη ρεζιστίνη δεν διαπιστώθηκε.

## ΣΥΖΗΤΗΣΗ

Οι λεπτόσωμες και οι παχύσαρκες γυναίκες των Ομάδων I και II εμφάνιζαν το σύνδρομο των πολυκυστικών ωθητικών, δεδομένου ότι παρουσίαζαν χρόνια ανωθυλακιορρηξία (λιγότεροι από έξι εμμηνορρυσιακούς κύκλους σε 12 μήνες) και υπερανδρογοναιμία. Επιπλέον, αποκλείσθηκαν τα γνωστά

αίτια υπερανδρογοναιμίας και διαταραχές του εμμηνορρυσιακού κύκλου όπως το προλακτίνωμα, η συγγενής υπερπλασία των επινεφριδίων, το σύνδρομο Cushing και οι αρρενοποιητικοί όγκοι των ωθητικών και των επινεφριδίων<sup>23</sup>. Οι γυναίκες της τρίτης ομάδας είχαν φυσιολογικούς ωθυλακιορρηξικούς κύκλους (προγεστερόνη αίματος σε δύο συνεχόμενους κύκλους υψηλότερη από 10 ng/ml) και δεν παρουσίαζαν υπερανδρογοναιμία.

Τα επίπεδα της ρεζιστίνης στις παχύσαρκες γυναίκες με το σύνδρομο των πολυκυστικών ωθητικών (Ομάδα I) ήταν σημαντικά υψηλότερα τόσο από εκείνα των λεπτόσωμων γυναικών με το σύνδρομο (Ομάδα II,  $p<0,005$ ), όσο και από εκείνα των μαρτύρων (Ομάδα III,  $p<0,05$ ) (Πίν. 2). Δεν υπήρχε σημαντική διαφορά στις τιμές της ρεζιστίνης ανάμεσα στις λεπτόσωμες γυναίκες με PCOS (Ομάδα II) και στις μάρτυρες (Ομάδα III). Η παρατήρηση αυτή συμφωνεί με το εύρημα του Savage και των συνεργατών του<sup>21</sup>, οι οποίοι διαπίστωσαν αυξημένη έκφραση του γονιδίου της ρεζιστίνης (επίπεδα mRNA) στο υποδόριο λίπος παχύσαρκων ατόμων, σε σχέση με την έκφραση του γονιδίου της ρεζιστίνης στο υποδόριο λίπος λεπτόσωμων ατόμων. Στη συγκεκριμένη, όμως, μελέτη δε διαπιστώθηκε συσχέτιση ανάμεσα στην έκφραση του γονιδίου της ρεζιστίνης σε απομονωμένα ανθρώπινα λιποκύτταρα και στο δείκτη μάζας σώματος. Οι συγγραφείς ερμηνεύουν το εύρημα αυτό διατυπώνοντας την άποψη ότι η απουσία συσχέτισης ανάμεσα στην έκφραση του γονιδίου της ρεζιστίνης σε απομονωμένα λιποκύτταρα και στο BMI, οφείλεται είτε στη μεταβολή των επιπέδων mRNA κατά την απομόνωση των λιποκυττάρων ή, πιθανότερα, στη μεγαλύτερη συμβολή των στρωματικών στοιχείων του λιπώδη ιστού στην παραγωγή και στην έκφραση της ρεζιστίνης. Σημειώνεται ότι στη δική μας μελέτη βρέθηκε υψηλή θετική συσχέτιση ανάμεσα στα επίπεδα της ρεζιστίνης στον ορό και στις τιμές του δείκτη μάζας σώματος (Εικ. 1,  $p<0,001$ ).

Ο ρόλος της ρεζιστίνης στην ανάπτυξη αντίστασης στην ινσουλίνη παραμένει αδιευκρίνιστος. Ορισμένοι ερευνητές υποστήριζαν την άποψη ότι η ρεζιστίνη αποτελεί τον κρίκο που συνδέει την παχύσαρκία με την αντίσταση στην ινσουλίνη<sup>13,24-32</sup>. Η άποψη, όμως, αυτή δεν είναι καθολικά αποδεκτή<sup>14-22</sup>. Με τα ευρήματα της δικής μας μελέτης είναι δύσκολο να υποστηρίξουμε τη μία ή την άλλη θέση. Πρέπει, πάντως, να σημειωθεί ότι δεν υπήρχε σημαντική διαφορά στα επίπεδα της ρεζιστίνης ανάμεσα στις λεπτόσωμες γυναίκες με PCOS (Ο-

μάδα II) και στις λεπτόσωμες μάρτυρες (Ομάδα III), μολονότι οι λεπτόσωμες γυναίκες με PCOS παρουσίαζαν σημαντικά υψηλότερα επίπεδα ινσουλίνης νηστείας και σημαντικά χαμηλότερο λόγο γλυκόζης προς ινσουλίνη από εκείνα των μαρτύρων. Με το εύρημα αυτό θα μπορούσαμε να υποστηρίξουμε ότι η ζεξιστίνη δε φαίνεται να συνδέεται με την αντίσταση στην ινσουλίνη, όταν η αντίσταση στην ινσουλίνη δε συνοδεύεται από παχυσαρκία.

Όπως ήδη αναφέρθηκε, οι παχύσαρκες γυναίκες με το σύνδρομο των πολυκυστικών ωοθηκών (Ομάδα I) παρουσίαζαν σημαντικά υψηλότερα επίπεδα ζεξιστίνης στον ορό τόσο από τις λεπτόσωμες γυναίκες με το σύνδρομο (Ομάδα II,  $p < 0,005$ ) όσο και από τις μάρτυρες (Ομάδα III,  $p < 0,05$ ). Ο υπολογισμός του συντελεστή συσχέτισης Pearson, που έγινε ύστερα από λογαριθμική μετατροπή των τιμών, έδειξε σημαντική θετική συσχέτιση ανάμεσα στα επίπεδα της ζεξιστίνης και στις τιμές του BMI ( $\Sigma\chi. 1, p < 0,001$ ), στις τιμές της ινσουλίνης ( $p < 0,01$ ) και στις τιμές της γλυκόζης ( $p < 0,05$ ), και σημαντική αρνητική συσχέτιση μεταξύ των επιπέδων της ζεξιστίνης και των τιμών της SHBG ( $p < 0,05$ ), καθώς και μεταξύ των επιπέδων της ζεξιστίνης και των τιμών του λόγου γλυκόζης προς ινσουλίνη ( $p < 0,05$ ). Με τη δοκιμασία, όμως, πολλαπλής εξάρτησης (Multiple regression analysis) βρέθηκε ότι ο δείκτης μάζας σώματος αποτελεί τον ανεξάρτητο παράγοντα, που επηρεάζει τα επίπεδα της ζεξιστίνης ( $p < 0,001$ ). Ανεξάρτητη από το BMI συσχέτιση, στατιστικά σημαντική, των υπολοίπων παραγόντων (ινσουλίνη, γλυκόζη, λόγος γλυκόζης προς ινσουλίνη, SHBG) με τη ζεξιστίνη δεν διαπιστώθηκε. Τα αποτελέσματα αυτά στηρίζουν τη θέση ότι η ζεξιστίνη σχετίζεται με την αντίσταση στην ινσουλίνη, όπως αυτή εκτιμήθηκε με τον αδρό δείκτη του λόγου γλυκόζης προς ινσουλίνη, μόνον όταν υπάρχει παχυσαρκία και όχι ανεξάρτητα από αυτή.

Ενδιαφέρον εύρημα της μελέτης, που δεν έχει αναφερθεί στη βιβλιογραφία, ήταν ότι στις γυναίκες με το σύνδρομο των πολυκυστικών ωοθηκών δε διαπιστώθηκαν υψηλά επίπεδα ζεξιστίνης, όταν οι γυναίκες αυτές δεν εμφάνιζαν παχυσαρκία. Έτσι, δεν υπήρχε σημαντική διαφορά στα επίπεδα της ζεξιστίνης ανάμεσα στις λεπτόσωμες γυναίκες με PCOS (Ομάδα II) και στις μάρτυρες (Ομάδα III). Επιπλέον, δε διαπιστώθηκε συσχέτιση μεταξύ των επιπέδων της ζεξιστίνης και των τιμών των ανδρογόνων και των γοναδοτροπινών. Τέλος, ο μό-

νος ανεξάρτητος παράγοντας που παρουσίαζε υψηλή θετική συσχέτιση, στατιστικά σημαντική, με τη ζεξιστίνη ήταν ο δείκτης μάζας σώματος. Τα ευρήματα αυτά συνηγορούν υπέρ της άποψης ότι η ζεξιστίνη δε φαίνεται να παίζει σημαντικό ρόλο στην παθογένεια του συνδρόμου των πολυκυστικών ωοθηκών.

## ABSTRACT

**Panidis D, Koliakos G, Kourtis A, Farmakiotis D, Mouslech T, Roussos D.** Serum resistin levels in women with polycystic ovary syndrome. *Hell Jatr* 2004, 70: 59-65.

This study was designed in order to measure serum resistin levels in women with polycystic ovary syndrome (PCOS) and assess possible correlations of resistin to the hormonal and metabolic parameters of the syndrome. We studied 90 selected women who were classified as follows: Group I: 35 women with PCOS ( $BMI > 25 \text{ Kg/m}^2$ ). Group II: 35 women with PCOS ( $BMI < 25 \text{ Kg/m}^2$ ). Group III: 20 ovulating women without hyperandrogenemia ( $BMI < 25 \text{ Kg/m}^2$ ). Blood samples were collected between the 6th and the 9th day of the menstrual cycle, at 9:00 a.m., after an overnight fast. Serum levels of FSH, LH, PRL, 17 $\alpha$ -hydroxy-progesterone, SHBG, androgens, insulin, resistin and glucose were measured. It was found that resistin levels were found to be significantly increased in group I compared to those of group II and those of group III. No significant difference in resistin levels was found between groups II and III, despite significant differences in insulin levels, and the glucose/insulin ratio. Multiple regression analysis showed that resistin levels do not correlate with any parameter independent of BMI. Based on the above findings, we presume that resistin is unlikely to be a major determining factor of PCOS-associated insulin resistance and is not actively involved in the pathogenesis of the syndrome.

## ΒΙΒΛΙΟΓΡΑΦΙΑ

- Franks S. Polycystic ovary syndrome. *N Engl J Med* 1995, 333: 853-61.
- Homburg R. Polycystic ovary syndrome-from gynaecological curiosity to multisystem endocrinopathy. *Hum Reprod* 1996, 11: 29-39.
- Adams J, Polsen DW, Franks S. Prevalence of polycystic ovaries in women with anovulation and idiopathic hirsutism. *Br Med J* 1986, 293: 355-59.

4. Hull MG. Epidemiology of infertility and polycystic ovarian disease: endocrinological and demographic studies. *Gynaecol Endocrinol* 1987, 1: 235-45.
5. Dunaif A. Insulin resistance and the polycystic ovary syndrome: mechanism and implications for pathogenesis. *Endocr Rev* 1997, 18: 774-800.
6. Dunaif A, Segal KR, Futterweit W, Dobrjansky A. Profound peripheral insulin resistance, independent of obesity, in polycystic ovary syndrome. *Diabetes* 1989, 38: 1165-74.
7. Franks S. Polycystic ovary syndrome: a changing perspective. *Clin Endocrinol* 1989, 31: 87-120.
8. Dunaif A. Molecular mechanisms of insulin resistance in the polycystic ovary syndrome. *Semin Reprod Endocrinol* 1994, 12: 15-20.
9. Ehrmann DA, Barnes RB, Rosenfield RL, Cavaghan MK, Imperial J. Prevalence of impaired glucose tolerance and diabetes in women with polycystic ovary syndrome. *Diabetes Care* 1999, 22: 141-6.
10. Futterweit W. Polycystic ovary syndrome: clinical perspectives and management. *Obstet Gynaecol Surv* 1999, 54: 403-13.
11. Vernon RG, Denis RGP, Sorensen A. Signals of adiposity. *Dom An Endocrinol* 2001, 21: 197-214.
12. Steppan CM, Lazar MA. Resistin and obesity-associated insulin resistance. *Trends Endocrinol Metab* 2002, 13: 18-22.
13. Steppan CM, Bailey ST, Bhat S, Brown EJ, Banerjee RR, Wright CM, et al. The hormone resistin links obesity to diabetes. *Nature* 2001, 409: 307-12.
14. Way JM, Gorgun CZ, Tong Q, Uysal KT, Brown KK, Harrington WW, et al. Adipose tissue resistin expression is severely suppressed in obesity and stimulated by peroxisome proliferator-activated receptor gamma agonists. *J Biol Chem* 2001, 276: 25651-3.
15. Juan CC, Au LC, Fang VS, Kang SF, Ko YH, Kuo SF, et al. Suppressed gene expression of adipocyte resistin in an insulin-resistant rat model probably by elevated free fatty acids. *Biochem Biophys Res Commun* 2001, 289: 1328-3.
16. Fasshauer M, Klein J, Neumann S, Eszlinger M, Paschke R. Isoproterenol inhibits resistin gene expression through a G(S)protein-coupled pathway in 3T3-L1 adipocytes. *FEBS Lett* 2001, 500: 60-3.
17. Le Lay S, Boucher J, Rey A, Castan-Laurell I, Krief S, Ferre P, et al. Decreased resistin expression in mice with different sensitivities to a high-fat diet. *Biochem Biophys Res Commun* 2001, 289: 564-7.
18. Martinez JA, Margareto J, Marti A, Milagro FI, Larrarte E, Moreno Aliaga MJ. Resistin overexpression is induced by a beta3 adrenergic agonist in diet-related overweightness. *J Physiol Biochem* 2001, 57: 287-8.
19. Levy JR, Davenport B, Clore JN, Stevens W. Lipid metabolism and resistin gene expression in insulin-resistant Fischer 344 rats. *Am J Physiol Endocrinol Metab* 2002, 282: E626-3.
20. Nagaev I, Smith U. Insulin resistance and type 2 diabetes are not related to resistin expression in human fat cells or skeletal muscle. *Biochem Biophys Res Commun* 2001, 285: 561-4.
21. Savage DB, Sewter CP, Klenk ES, Segal DG, Puig AV, et al. Resistin / Fizz3 Expression in Relation to Obesity and Peroxisome Proliferator-Activated Receptor-γ. *Diabetes* 2001, 50: 2199-202.
22. Janke J, Engeli S, Gorzelnik K, Luft FC, Sharma AM. Resistin gene expression in human adipocytes is not related to insulin resistance. *Obesity Research* 2002, 10: 1-5.
23. Zawadski JK, Dunaif A. Diagnostic criteria for polycystic ovary syndrome: Towards a rational approach. In: Dunaif A, Givens JR, Haseltine FP, Merriam GE, eds. Hershman SM, series ed. *Polycystic Ovary Syndrome. Current Issues in Endocrinology and Metabolism*. Boston: Blackwell Scientific Publications, 1992: 377.
24. Kim KH, Lee K, Soo Y, Moon YS, Sul HS. A cysteine-rich adipocyte tissue-specific secretory factor inhibits adipocyte differentiation. *J Biol Chem* 2001, 276: 1152-6.
25. Li J, Yu X, Pan W, Unger RH. Gene expression profile of rat adipose tissue at the onset of high fat diet obesity. *Am J Physiol Endocrinol Metab* 2002, 282: E1334-41.
26. Desvergne B, Wahli W. Peroxisome proliferator activated receptors: Nuclear control of metabolism. *Endocr Rev* 1999, 20: 649-88.
27. Nolan JJ, Ludvik B, Beerdse P, Joyce M, Olefsky J. Improvement in glucose tolerance and insulin resistance in obese subjects treated with troglitazone. *N Eng J Med* 1994, 331: 1188-93.
28. Moore GB, Chapman H, Holder JC, Lister CA, Piercy V, Smith SA, et al. Differential regulation of adipocytokine mRNAs by rosiglitazone in db/db mice. *Bioch Biophys Res Commun* 2001, 286: 735-41.
29. Haugen F, Jorgensen A, Drevon CA, Trayhurn P. Inhibition by insulin of resistin gene expression in 3T3-L1 adipocytes. *FEBS Lett* 2001, 507: 105-8.
30. Li Y, Lazar MA. Differential gene regulation by PPAR gamma agonist and constitutively active PPA Rgamma. *Mol Endocrinol* 2002, 16 : 1040-8.
31. McTernan CL, McTernan PG, Harte AL, Levick PL, Barnett AH, Kumar S. Resistin, central obesity, and type 2 diabetes. *Lancet* 2002, 359: 46-7.
32. McTernan PG, McTernan CL, Chetty R, Jenner K, Fisher FM, Laurer MN, et al. Increased resistin gene and protein expression in human abdominal adipose tissue. *J Clin Endocrinol Metabol* 2002, 87: 2407-10.

**Αλληλογραφίας:**

Α. Κούρτης  
Αριστοτέλους 45,  
552 36, Πανόραμα Θεσσαλονίκη

**Corresponding author:**

A. Kourtis  
45, Aristotelous  
552 36 Panorama  
Thessaloniki Greece

## Τραχειοστομία σε βαρέως πάσχοντες ασθενείς Σύγκριση χειρουργικής και διαδερμικής τεχνικής

I. Κεσίσογλου, N. Δεληγιαννίδης, Δ. Αποστολίδης, E. Βόλακλη,  
X. Σκούρτης, O. Γαμβρός

Γ' Χειρουργική Κλινική ΑΠΘ, Μονάδα Εντατικής Θεραπείας Αναισθησιολογίας,  
Νοσοκομείο ΑΧΕΠΑ, Θεσσαλονίκη

**Περιληψη.** Η τραχειοστομία είναι η επέμβαση που κρίνεται απαραίτητη σε ασθενείς που βρίσκονται σε παρατεταμένη διασωλήνωση για αναπνευστική υποστήριξη. Σκοπός της εργασίας αυτής είναι να συγκρίνει τα αποτελέσματα δύο διαφορετικών τεχνικών τραχειοστομίας. Μελετήθηκαν αναδρομικά 200 ασθενείς, 129 άνδρες και 71 γυναίκες, οι οποίοι νοσηλεύθηκαν σε πολυδύναμη Μονάδα Εντατικής Θεραπείας (ΜΕΘ) τριτοβάθμιου νοσοκομείου σε διάρκεια τριών ετών. Οι ασθενείς χωρίστηκαν σε δύο ομάδες από 100 αρρώστους η κάθε μια, με παρόμοια δημηγραφικά στοιχεία. Στους ασθενείς της ομάδας Α εκτελέσθηκε χειρουργική τραχειοστομία, ενώ στους ασθενείς της ομάδας Β εκτελέσθηκε διαδερμική τραχειοστομία κατά Griggs. Η κύρια παθολογία εισόδου καθώς και η βαρύτητα της νόσου, όπως εκτιμήθηκε με την κλίμακα APACHE II, ήταν όμοια και στις δύο ομάδες. Όλοι οι ασθενείς ήταν ήδη διασωληνωμένοι και βρισκόταν σε μηχανικό αε-

ρισμό. Στην ομάδα Α η τραχειοστομία εκτελέστηκε από την ίδια ομάδα χειρουργών υπό συνθήκες γενικής αναισθησίας και μυοχάλασης. Στην ομάδα Β όλες οι διαδερμικές τραχειοστομίες έγιναν από ιατρούς της ΜΕΘ, υπό τις ίδιες συνθήκες με την ομάδα Α. Δεν υπήρξε θάνατος ή άλλη επιπλοκή απειλητική για τη ζωή σχετιζόμενη με την επέμβαση σε καμιά από τις δύο ομάδες. Συμπεραίνεται ότι και οι δύο μέθοδοι τραχειοστομίας έχουν υψηλό ποσοστό ασφάλειας, έχουν μικρό ποσοστό κινδύνου και μικρά ποσοστά επιπλοκών, όμως η διαδερμική μέθοδος θεωρείται ταχύτερη και γίνεται ευκολότερα στην κλίνη του ασθενούς. Αυτό έχει ως αποτέλεσμα τα τελευταία χρόνια η διαδερμική τεχνική να εφαρμόζεται συστηματικά, περιορίζοντας την εφαρμογή της χειρουργικής μεθόδου σε περιπτώσεις τεχνικών δυσκολιών.

Ελλην. Ιατρ. 2004, 70: 66 - 72.

Η τραχειοστομία είναι μια αρχαία χειρουργική διαδικασία η οποία αναπτύχθηκε με τους αιώνες. Η τραχειοστομία είναι πιθανόν να εκτελούνταν στην αρχαία Αίγυπτο. Το γεγονός αυτό υποστηρίχτηκε με βάση εικονογραφημένα στοιχεία, αλλά δεν έχει αποδειχτεί. Η Σχολή του Ασκληπιού ήταν δημιουργός της επέμβασης<sup>1</sup> και η πρώτη εκλεκτική τραχειοστομία αποδίδεται στους Ασκληπειάδες της Βιθυνίας το 100 π.Χ. περίπου<sup>2</sup>. Η τραχειοστομία θεωρούνταν μια πολύ επικινδυνή επέμβαση μέχρις ότου το 1909 ο Chevalier Jackson<sup>3</sup>

περιέγραψε τη σύγχρονη τεχνική της χειρουργικής τραχειοστομίας (ΧΤ). Ο Jackson έδωσε έμφαση στην εκτέλεση μεγάλης τομής, στην καλή παρασκευή, τη διατομή του ισθμού του θυρεοειδούς και, σε μια μεταγενέστερη δημοσίευσή του, την αποφυγή της διατομής του πρώτου και του δευτέρου δακτυλίου της τραχείας<sup>4</sup>.

Αν και με την πάροδο του χρόνου η επέμβαση καθιερώθηκε, η ανάπτυξη της ενδοτραχειακής διασωλήνωσης διευκόλυνε σημαντικά την επέμβαση, καταργώντας τον επείγοντα χαρακτήρα της σε

πολλές περιπτώσεις. Επίσης, ο έλεγχος της διφθερίτιδας με την ανοσοποίηση του πληθυσμού και η ύπαρξη αντιβιοτικών για την αντιμετώπιση των φλεγμονών των ανώτερων αναπνευστικών οδών έκαναν την τραχειοστομία μια εκλεκτική επέμβαση για τους περισσότερους ασθενείς. Οι ενδείξεις της επέμβασης επεκτάθηκαν πέραν της οξείας απόφραξης του αεραγωγού και περιέλαβαν τη θεραπεία της χρόνιας αποφρακτικής πνευμονοπάθειας, μετά από τη διαπίστωση ότι η τραχειοστομία μειώνει το νεκρό χώρο των πνευμόνων<sup>5</sup>, παρέχει πρόσβαση για την απομάκρυνση των πνευμονικών εκκρίσεων σε πολλές παθολογικές καταστάσεις και βελτιώνει την άνεση του ασθενούς κατά τη διάρκεια της βαθμιαίας ανασύνδεσης/αποδέσμευσης από τον αναπνευστήρα. Πιθανόν η πιο δραματική ιατρική πρόσδοτος που αποδίδεται στην τραχειοστομία ήταν η αντιμετώπιση της αναπνευστικής παράλυσης από πολυομυελίτιδα, με την εφαρμογή της τραχειοστομίας για την παροχή αερισμού με θετική πίεση<sup>6</sup>.

Οι ενδείξεις της τραχειοστομίας ξεκαθάρισαν κατά την δεκαετία του 1960 οπότε και εισήχθησαν η χρήση της αναρρόφησης με άσπρτες συνθήκες και οι αλλαγές στον τραχειοσωλήνα<sup>7</sup>. Εμφανίστηκαν οι τραχειοσωλήνες με αεροθάλαμο, οι οποίοι όμως προκάλεσαν νέα προβλήματα όπως η στένωση της τραχείας, η απόφραξη του τραχειοσωλήνα από την πρόπτωση του αεροθαλάμου, ακόμη και έξodo του τραχειοσωλήνα, επιπλοκές που κατέληγαν μερικές φορές σε θανάτους<sup>8</sup>. Η εισαγωγή των αεροθαλάμων χαμηλής πίεσης για τους σωλήνες τραχειοστομίας σίγουρα βοήθησε στη μείωση των επιπλοκών αυτών, επιτρέποντας έτσι την παραταμένη διασωλήνωση. Αρχισε τότε μια νέα διαμάχη σχετικά με τη συνολική διάρκεια της διασωλήνωσης. Επίσης ο κατάλληλος χρόνος για τη διενέργεια της τραχειοστομίας σε διασωληνωμένους ασθενείς δεν έχει ακόμη οριστεί σαφώς<sup>9</sup>.

Η μέθοδος εκτέλεσης της χειρουργικής τραχειοστομίας παρέμεινε η ίδια χωρίς παραλλαγές, μέχρι την περίοδο κατά την οποία αναπτύχθηκε η τεχνική της διαδερμικής τραχειοστομίας (ΔΤ) από τους Sheldon και συν το 1957<sup>10</sup> και από τους Toyε και Weinstein το 1969<sup>11</sup>. Το 1985 οι Ciaglia και συν<sup>12</sup> περιέγραψαν μια τεχνική ΔΤ με τη χρήση διαστολέων οι οποίοι διεκβάλλονται πάνω από ένα οδηγό σύρμα, δημιουργώντας έτσι μια στομία στην οποία εφαρμόζει ένας στάνταρ τραχειοσωλήνας. Από τότε και άλλες τεχνικές ΔΤ έχουν προταθεί, όπως η τεχνική που περιγράφηκε από τους

Griggs και συν.<sup>13</sup>, κατά την οποία χρησιμοποιείται μια τροποποιημένη αιμοστατική λαβίδα Kelly για τη δημιουργία μιας στομίας με τη διαστολή των δακτυλίων της τραχείας.

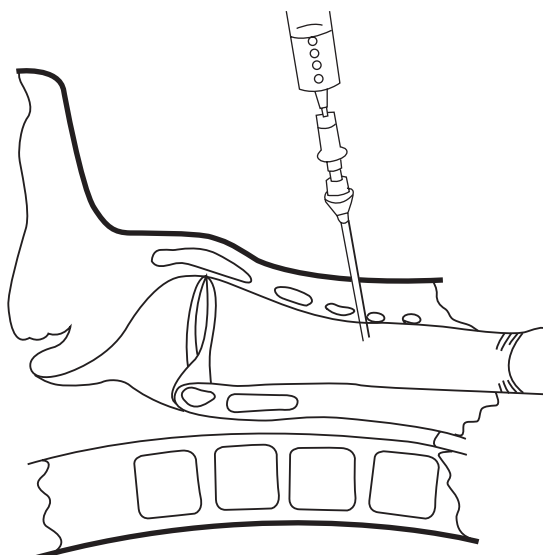
Η μελέτη αυτή παρουσιάζει τα αποτελέσματα της σύγκρισης δύο τεχνικών τραχειοστομίας, της χειρουργικής και της διαδερμικής τεχνικής, που εκτελέστηκαν από την ίδια ομάδα χειρουργών και αναισθησιολόγων στα πλαίσια της πολυδύναμης Μονάδας Εντατικής Θεραπείας ενός τριτοβάθμιου γενικού νοσοκομείου.

## ΥΛΙΚΟ ΚΑΙ ΜΕΘΟΔΟΣ

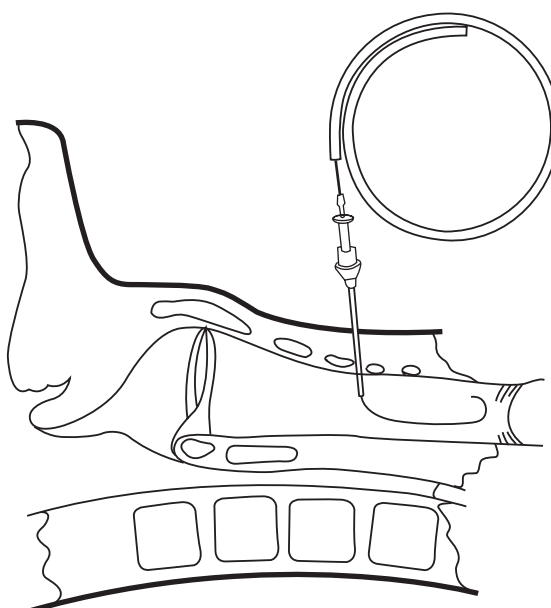
Στη μελέτη περιλήφθηκαν αναδρομικά 200 ασθενείς, οι οποίοι νοσηλεύτηκαν σε πολυδύναμη Μονάδα Εντατικής Θεραπείας (ΜΕΘ) τριτοβάθμιου γενικού νοσοκομείου σε χρονικό διάστημα τριών ετών. Από αυτούς οι 129 ήταν άνδρες και οι 71 γυναίκες. Οι ασθενείς χωρίστηκαν σε δύο ομάδες. Στην πρώτη ομάδα (Ομάδα Α) περιλήφθηκαν 100 ασθενείς, 58 άνδρες και 42 γυναίκες ηλικίας από 3 έως 89 ετών με μέσο όρο τα  $57,6 \pm 19,8$  έτη. Στην δεύτερη ομάδα (Ομάδα Β) περιλήφθηκαν 100 επίσης ασθενείς, 71 άνδρες και 29 γυναίκες, ηλικίας από 15 έως 77 ετών με μέσο όρο τα  $49,8 \pm 18,3$  έτη.

Στους ασθενείς της Ομάδας Α εκτελέστηκε χειρουργική τραχειοστομία από την ίδια ομάδα χειρουργών. Σε 34 ασθενείς η επέμβαση διενεργήθηκε στο χειρουργείο (ποσοστό 34%), ενώ σε 66 περιπτώσεις εκτελέστηκε στην κλίνη του ασθενούς στη ΜΕΘ (ποσοστό 66%). Η επέμβαση έγινε σε όλες τις περιπτώσεις υπό συνθήκες γενικής αναισθησίας και μυοχάλασης από δύο χειρουργούς παρουσία ενός αναισθησιολόγου. Η τραχειοστομία γινόταν στην τυπική θέση. Για την παρακολούθηση του ασθενούς γινόταν έλεγχος της αρτηριακής πίεσης, του καρδιακού ρυθμού και του κορεσμού του περιφερικού αύματος σε οξυγόνο. Χρησιμοποιήθηκαν τραχειοσωλήνες υψηλού όγκου και χαμηλής πίεσης. Για τους άνδρες χρησιμοποιήθηκαν τραχειοσωλήνες εσωτερικού διαμετρήματος 9 mm και για τις γυναίκες τραχειοσωλήνες εσωτερικού διαμετρήματος 8 mm.

Στους ασθενείς της Ομάδας Β εκτελέστηκε διαδερμική τραχειοστομία κατά Griggs<sup>13</sup> η οποία βασίζεται στην τεχνική Howard Kelly (Portex Ltd, UK). Η μέθοδος συνίσταται στην παρακέντηση της τραχείας μεταξύ του κρικοειδούς χόνδρου του λάρυγγα και του πρώτου δακτυλίου της τραχείας μετά από την εκτέλεση μικρής εγκάρσιας τομής 1,5 έως 2 εκατοστών και την απόσυρση του προϋπάρχοντος ενδοτραχειακού σωλήνα στο ύψος των φωνητικών χορδών (Εικ. 1). Μετά την είσοδο της βελόνας εντός της τραχείας διεκβάλλεται σύρμα τύπου Seldinger με εύκαμπτο άκρο σχήματος J (Εικ. 2). Μια ειδικά διαμορφωμένη αιμοστατική λαβίδα Howard-Kelly, στην οποία έχει αυξηθεί η κλίση και έχει δημιουργηθεί ένα κεντρικό κανάλι από την κορυφή μέχρι το μέσον των σκελών της, προωθείται κατά μήκος του σύρματος μέσω των μαλακών μορίων μέχρι να γίνει αισθητή κάποια αντίσταση. Τα σκέλη της λαβίδας διανοίγονται για την εκτέλεση διαστολής των ιστών προ της τραχείας. Η λαβίδα συγκλείεται και προωθείται εκ νέου μέχρι να εισέλθει στην τραχεία (Εικ. 3). Για την



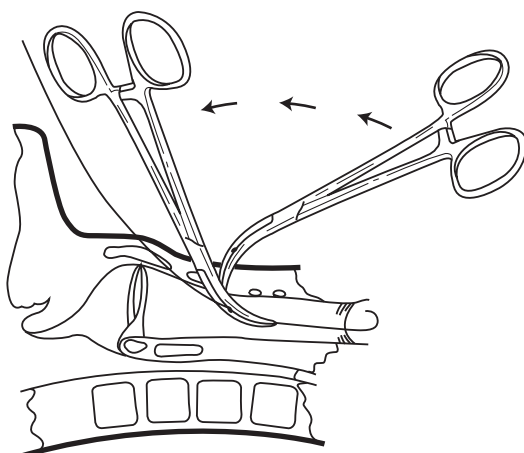
Εικ. 1. Παρακέντηση της τραχείας.



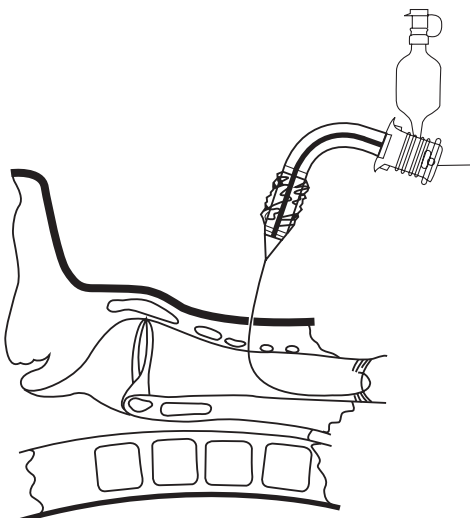
Εικ. 2. Εισαγωγή οδηγού σύρματος J.

προετοιμασία της στομίας η λαβίδα διανοίγεται τόσο όσο είναι η τομή του δέρματος. Κατόπιν η λαβίδα αποσύρεται και με οδηγό το σύρμα εισάγεται εντός της τραχείας ο τραχειοσωλήνας μαζί με ένα κατάλληλο τροκάρ (Εικ. 4). Τέλος αποσύρεται το σύρμα και το τροκάρ και φουσκώνται ο αεροθάλαμος του τραχειοσωλήνα.

Σε όλους τους ασθενείς της ομάδας Β η ΔΤ εκτελέστηκε στην κλίνη του ασθενούς στη ΜΕΘ (ποσοστό 100%) από την ίδια ομάδα αναισθησιολόγων. Σε όλες τις περιπτώσεις εγκαταστάθηκε το ίδιο monitoring, όπως και για τους ασθενείς της πρώτης ομάδας. Τέλος, χρησιμοποιήθηκαν παρόμοιοι τραχειοσωλήνες υψηλού όγκου και χαμηλής πίεσης και παρόμοιου εσωτερικού διαμετρήματος όπως και στην ομάδα Α.



Εικ. 3. Εισαγωγή ειδικά διαμορφωμένης λαβίδας Kelly.



Εικ. 4. Εισαγωγή του τραχειοσωλήνα.

Η βαρύτητα της κατάστασης των ασθενών και των δύο ομάδων εκτιμήθηκε με την χρήση του συστήματος APACHE II. Οι τιμές ήταν παρόμοιες και για τις δύο ομάδες: 10 έως 38 με μέση τιμή  $21,8 \pm 6,2$ . Επίσης η παθολογία εισόδου των ασθενών στη ΜΕΘ ήταν παρόμοια και για τις δύο ομάδες (Πίν. 1).

Στους ασθενείς της ομάδας Α στους οποίους εκτελέστηκε χειρουργική τραχειοστομία, η επέμβαση έγινε μεταξύ της 1<sup>ης</sup> και της 29<sup>ης</sup> ημέρας από τη διασωλήνωση της τραχείας (μέσος όρος  $14,3 \pm 7,3$  ημέρες). Αντίστοιχα στους ασθε-

#### Πίνακας 1. Παθολογία εισόδου των ασθενών στη ΜΕΘ

ΚΝΣ (εκτός κακώσεων)	33%
Αναπνευστικό σύστημα	11%
Καρδιαγγειακό σύστημα	11%
Γαστρεντερικό σύστημα	6%
Τραυματικές κακώσεις	40%
Πολυοργανική ανεπάρκεια	2%
Καρδιακή ανακοπή	4%

νείς της ομάδας Β όπου εκτελέσθηκε διαδερμική τραχειοστομία, η επέμβαση έγινε ανάμεσα στην 1<sup>η</sup> και την 18<sup>η</sup> ημέρα (μέσος όρος  $6,8 \pm 3,7$  ημέρες) από τη διασωλήνωση της τραχείας.

Η στατιστική επεξεργασία των αποτελεσμάτων έγινε με τα προγράμματα Microsoft Excel και GraphPad InStat και για τη σύγκριση των δεδομένων χρησιμοποιήθηκαν οι δοκιμασίες Anova και Fisher Exact test.

## ΑΠΟΤΕΛΕΣΜΑΤΑ

Σε όλες τις περιπτώσεις η τραχειοστομία διενεργήθηκε με επιτυχία και στις δύο ομάδες των ασθενών. Δεν υπήρξε κανένας θάνατος σε καμιά από τις δύο ομάδες που να σχετίζεται με την επέμβαση. Επίσης σε καμιά από τις δύο ομάδες δεν παρατηρήθηκε κάποια επιπλοκή απειλητική για τη ζωή των ασθενών, όπως καρδιοαναπνευστική ανακοπή, πνευμοθώρακας ή πνευμομεσοθωράκιο. Στην πρώτη ομάδα ασθενών που υποβλήθηκαν σε κλασική τραχειοστομία παρατηρήθηκαν 4 περιπτώσεις (ποσοστό 4%) αιμορραγίας μετεγχειρητικά. Σε όλες τις περιπτώσεις η αιμορραγία προερχόταν από τριχοειδή αγγεία του υποδοιού και αντιμετωπίσθηκε με πίεση τοπικά. Σε 6 ασθενείς της δεύτερης ομάδας (ποσοστό 6%), που υποβλήθηκαν σε διαδερμική τραχειοστομία, παρατηρήθηκαν τεχνικές δυσκολίες κατά την εκτέλεση της τραχειοστομίας: σε 3 υπήρξαν προβλήματα κατά την εισαγωγή του οδηγού σύρματος, σε έναν ασθενή ο τραχειοσωλήνας εισήλθε παρατραχειακά και χρειάστηκε επανατοποθέτησή του, σε έναν ασθενή το μήκος του τραχειοσωλήνα ήταν ακατάλληλο και τέλος σε έναν άλλον υπήρξαν δυσκολίες κατά την προσπέλαση της τραχείας. Σε 14 περιπτώσεις (ποσοστό 14%) παρατηρήθηκε αιμορραγία κατά τη διάρκεια της επέμβασης. Σε 2 ασθενείς η αιμορραγία ήταν σημαντική και απαιτήθηκε χειρουργική παρέμβαση, ενώ στους υπόλοιπους 12 η αιμορραγία ήταν μικρή και αντιμετωπίστηκε μόνο με την εφαρμογή πίεσης τοπικά. Τέλος, σε έναν ασθενή (ποσοστό 1%) παρατηρήθηκε ο σχηματισμός υποδοιού εμφυσήματος το οποίο δεν απαιτήσει θεραπευτική παρέμβαση και σε έναν άλλο (ποσοστό 1%) παρατηρήθηκε λοίμωξη του τραύματος η οποία αντιμετωπίστηκε συντηρητικά (Πίν. 2).

**Πίνακας 2.** Επιπλοκές τραχειοστομίας

	Ομάδα Α (ΧΤ)	Ομάδα Β (ΔΤ)
Αιμορραγία	4	14
Υποδόριο εμφύσημα	–	1
Λοίμωξη στομίας	–	1

Από τη σύγκριση των επιπλοκών ανάμεσα στις δύο ομάδες παρατηρήθηκε στατιστικώς σημαντική διαφορά ( $p < 0,05$ ). Επίσης, στατιστικώς σημαντική διαφορά παρατηρήθηκε κατά τη σύγκριση του χρόνου διασωλήνωσης πριν από την εκτέλεση της τραχειοστομίας ( $p < 0,001$ ).

## ΣΥΖΗΤΗΣΗ

Αν και η ανάπτυξη της ενδοτραχειακής διασωλήνωσης έχει μειώσει την ανάγκη εκτέλεσης της τραχειοστομίας, η επέμβαση αυτή είναι μια από τις συχνότερα εκτελούμενες επεμβάσεις στην Μονάδα Εντατικής Θεραπείας<sup>14</sup>. Οι παραδοσιακές ενδείξεις για την εκτέλεση τραχειοστομίας φαίνονται στο πίνακα 3.

Ο πιο κοινός τύπος ασθενή στον οποίο γίνεται τραχειοστομία σήμερα είναι αυτός που εξαρτάται από τον αναπνευστήρα ή απαιτεί παρατεινόμενο μηχανικό αεροισμό εξαιτίας των αιτίων που φαίνονται στον πίνακα 4.

Στους ασθενείς αυτούς η αντικατάσταση της ενδοτραχειακής διασωλήνωσης με τραχειοστομία παρέχει πολλά πλεονεκτήματα, όπως φαίνεται στον πίνακα 5.

Ενώ η χειρουργική τραχειοστομία (ΧΤ) είναι μια καταξιωμένη από το χρόνο επέμβαση, η διαδερμική τραχειοστομία (ΔΤ) αποτελεί μια ελκυστική εναλλακτική λύση για πολλούς λόγους. Από την αρχική περιγραφή της το 1985, η ΔΤ έτυχε ευρείας αποδοχής σαν μια μέθοδος που δημιουργεί μια εκλεπτική χειρουργική προσπέλαση στους αεραγωγούς των ασθενών που απαιτούν μακροχρόνια αναπνευστική υποστήριξη<sup>16</sup>. Όμως η ΔΤ δεν

## Πίνακας 3. Ενδείξεις τραχειοστομίας

1. Ασθενής ανίκανος να ελέγχει τη γλώσσα
2. Κάταγμα κάτω γνάθου
3. Οιδημα στοματοφάρυγγα ή γλωττίδας
4. Μη ελεγχόμενη ρινορραγία
5. Ασταθής θώρακας
6. Νευρολογικές βλάβες
7. Σκληρωτική, ακίνητη κάτω γνάθος
8. Κακοήθεις όγκοι του στοματοφάρυγγα

## Πίνακας 4. Αίτια εκτέλεσης τραχειοστομίας

1. Νευρομυϊκές διαταραχές
2. Χρόνιες αποφρακτικές πνευμονοπάθειες
3. Οιδηματώδης βλάβη των πνευμόνων
4. Πολυοργανική ανεπάρκεια
5. Πνευμονία ανθεκτική στη θεραπεία

**Πίνακας 5.** Πλεονεκτήματα από την εκτέλεση τραχειοστομίας<sup>15</sup>

**Ειδικά**

1. Πρόληψη της εισρόφησης από το φάρυγγα ή το γαστρεντερικό
  2. Ευκολότερη αναρρόφηση των εκκρίσεων
  3. Ευκολότερη μακροχρόνια αναπνευστική υποστήριξη
  4. Μείωση του αναπνευστικού νεκρού χώρου
- Γενικά**
1. Μείωση του τραυματισμού του λάρυγγα από ενδοτραχειακό σωλήνα
  2. Διευκόλυνση της νοσηλευτικής φροντίδας (αναρρόφηση, στοματική υγιεινή)
  3. Καλύτερη ανοχή από τον ασθενή, λιγότερη καταστολή, και μεγαλύτερη κινητικότητα
  4. Μακροχρόνια προστασία του αεραγωγού (γρήγορη μεταφορά από τη ΜΕΘ)
  5. Ευκολότερη βαθμιαία αποσύνδεση/αποδέσμευση

είναι δυνατόν να εφαρμοστεί σε κάθε περίπτωση και οι αντενδείξεις για την εφαρμογή της φαίνονται στον πίνακα 6.

Τα πλεονεκτήματα της ΔΤ, σύμφωνα με τους υποστηρικτές της, περιλαμβάνουν μικρότερη τομή στο δέρμα<sup>12,17</sup> και μικρότερη παρασκευή και κακώσεις των ιστών<sup>18,19</sup>, με αποτέλεσμα τη μικρότερη αιμορραγία<sup>20,21</sup>, λιγότερες φλεγμονές<sup>22</sup>, λιγότερα προβλήματα από την τραχεία,<sup>23</sup> καλύτερο κοσμητικό αποτέλεσμα<sup>24</sup> και τέλος τη δυνατότητα εκτέλεσής της από τους γιατρούς της ΜΕΘ στην κλίνη του ασθενούς, γεγονός που μειώνει την εξάρτηση από γιατρούς άλλων ειδικοτήτων (χειρουργούς, ΩΡΛ) και της διαθεσιμότητας χειρουργικής αίθουσας. Σε διάφορες συγκριτικές μελέτες επισημάνθηκε ότι η ΔΤ εμφανίζει λιγότερες άμεσες και απώτερες επιπλοκές σε σχέση με την ΧΤ<sup>20</sup>, σε άλλες όμως μελέτες δεν σημειώθηκε μείωση των επιπλοκών<sup>22</sup>. Επίσης παρατηρήθηκε αύξηση των περιεγχειρητικών επιπλοκών και της θνητότητας σε μελέτες όπου η ΔΤ έγινε από γιατρούς που δεν είχαν εμπειρία με την τεχνική<sup>25</sup>.

Σε καμιά από τις δύο σειρές των ασθενών που

**Πίνακας 6.** Αντενδείξεις διαδερμικής τραχειοστομίας

1. Άμεση προσπέλαση του αεραγωγού. Αν και η τεχνική μπορεί να εκτελεσθεί ταχέως από πεπειραμένο προσωπικό, η αντιμετώπιση πρώτης εκλογής είναι η κρικοθυρεοτομή.
2. Δύσκολη ανατομία, βραχύς και παχύς τράχηλος, ευμεγέθης θυρεοειδής ή ανικανότητα ψηλάφησης των ημικρικίων της τραχείας.
3. Φλεγμονή κοντά ή στη θέση της τραχειοστομίας.
4. Η διαταραχές της αιμόστασης είναι σχετική αντένδειξη.
5. Ύπαρξη κακοήθειας τοπικά.

υποβλήθηκαν σε τραχειοστομία δεν υπήρξε κάποια επιπλοκή απειλητική για τη ζωή. Στην ομάδα των ασθενών που υποβλήθηκαν σε ΧΤ παρατηρήθηκε σε 4 περιπτώσεις (ποσοστό 4%) μικρή αιμορραγία άμεσα μετεγχειρητικά που αντιμετώπιστηκε με την εφαρμογή πίεσης τοπικά. Στην ομάδα των ασθενών που υποβλήθηκαν σε ΔΤ παρατηρήθηκε αιμορραγία σε 14 περιπτώσεις (ποσοστό 14%). Η αντιμετώπιση της δεν αποτέλεσε σοβαρό πρόβλημα καθώς μόνο σε δύο περιπτώσεις απαιτήθηκε η τοποθέτηση αιμορραγιών ραφών, ενώ στους υπόλοιπους ασθενείς η άσκηση τοπικής πίεσης ήταν αρκετή για την παύση της αιμορραγίας. Επίσης σε έναν μόνο ασθενή της ιδίας ομάδας παρατηρήθηκε λοιμωξη του τραύματος η οποία αντιμετωπίστηκε συντηρητικά. Όσον αφορά τα τεχνικά προβλήματα κατά την διάρκεια της επέμβασης, δεν υπήρξε κανένα σε ασθενή της ομάδας της ΧΤ. Αντιθέτως σε 6 ασθενείς της ομάδας της ΔΤ υπήρξαν τεχνικές δυσκολίες κατά την εκτέλεση της τραχειοστομίας.

Παρά το γεγονός ότι από τη σύγκριση των επιπλοκών μεταξύ των δύο ομάδων παρατηρήθηκε στατιστικά σημαντική διαφορά ( $p < 0,05$ ), τόσον ο αριθμός όσο και η βαρύτητα των επιπλοκών στους ασθενείς που υποβλήθηκαν σε ΔΤ, ευρίσκονται σε χαμηλή επίπεδα, διότι η μέθοδος αυτή άρχισε να εφαρμόζεται μετά την πάροδο ικανού χρόνου από την έναρξη λειτουργίας της ΜΕΘ του νοσοκομείου μας, περίοδο κατά την οποία διενεργούνταν μόνο ΧΤ από την ίδια ομάδα χειρουργών συνεπικουρούμενων από τους ίδιους αναισθησιολόγους. Έτσι υπήρξε επαρκές χρονικό διάστημα για την εξοικείωση από το προσωπικό της ΜΕΘ με τη μέθοδο.

Ο χρόνος εκτέλεσης της τραχειοστομίας σε ασθενείς διασωληνωμένους υπό τεχνητό αερισμό παραμένει ένα θέμα συζήτησης. Οι Dulguerov και συν.<sup>2</sup> σε μια εκτεταμένη μετα-ανάλυση σχετικά με τη χειρουργική και τη διαδερμική τραχειοστομία αναφέρουν ότι στις δημοσιεύσεις από το 1960 έως το 1984 η διάρκεια της διαλαρυγγικής διασωλήνωσης προ της εκτελέσεως της ΧΤ ήταν  $4 \pm 3,6$  ημέρες κατά μέσο όρο, ενώ από το 1985 έως το 1996 ήταν αντίστοιχα  $12,7 \pm 5,2$  ημέρες. Αντίστοιχα για τους ασθενείς που υποβλήθηκαν σε ΔΤ η διάρκεια της διασωλήνωσης πριν από την επέμβαση ήταν  $13,1 \pm 3,9$  ημέρες. Ομοίως στην μετα-ανάλυση από τους Freeman και συν.<sup>16</sup> δε βρέθηκε διαφορά στο χρόνο της διασωλήνωσης πριν από την εκτέλεση της τραχειοστομίας ανάμεσα στις ομάδες των ασθενών που υποβλήθηκαν σε ΧΤ και ΔΤ. Στην πα-

ρούσα μελέτη ο χρόνος της διαλαρυγγικής διασωλήνωσης πριν από την επέμβαση ήταν  $14,3 \pm 7,3$  ημέρες για τους ασθενείς που υποβλήθηκαν σε ΧΤ και  $6,8 \pm 3,7$  για εκείνους που υποβλήθηκαν σε ΔΤ. Η διαφορά αυτή ήταν στατιστικά σημαντική ( $p < 0,001$ ). Αιτία για τη διαφορά αυτή είναι αφενός μεν η εξάρτηση από τους χειρουργούς (αδυναμία ανεύρεσής τους, έλλειψη χρόνου από μέρους τους) και αφετέρου η έλλειψη διαθέσιμης αίθουσας χειρουργείου, ιδιαίτερα στις πρώτες επεμβάσεις της σειράς αυτής. Το πρόβλημα αυτό παρακάμφθηκε εν μέρει όταν αποκτήθηκε ο κατάλληλος εξοπλισμός (εργαλεία, διαθερμία, φωτισμός) και η εμπειρία εκ μέρους του προσωπικού της ΜΕΘ. Γι' αυτό και οι τελευταίες χειρουργικές τραχειοστομίες εκτελέσθηκαν στην κλίνη του ασθενούς. Αντίθετα, οι ΔΤ εκτελέστηκαν από τους ίδιους ανασθησιολόγους οι οποίοι εργάζονται στη ΜΕΘ και έχουν την δυνατότητα να επιλέξουν οι ίδιοι το χρόνο εκτέλεσής τους.

Η ΔΤ είναι λοιπόν μια ελκυστική μέθοδος για πολλούς λόγους. Μπορεί να εκτελεστεί στην κλίνη του ασθενούς<sup>20,21</sup>, μειώνοντας έτσι τον κίνδυνο της μετακίνησης του ασθενούς μακριά από ένα περιβάλλον αυξημένης επιτήρησης και ασφάλειας<sup>26,27</sup>. Ένα ακόμη πλεονέκτημα της μεθόδου είναι και η μείωση του κόστους που σχετίζεται με τη χοήση αίθουσας χειρουργείου και την απασχόληση νοσηλευτικού προσωπικού<sup>28</sup>. Τέλος, μειώνει την εξάρτηση από τις χειρουργικές ειδικότητες και απαλείφει την ανάγκη εκτέλεσης προγραμματισμένης χειρουργικής επέμβασης, μειώνοντας ως εκ τούτου το χρόνο αναμονής των ασθενών για να υποβληθούν σε τραχειοστομία<sup>29</sup>.

## ABSTRACT

**Kesisoglou I, Deligiannidis N, Apostolidis D, Volakli E, Skourtis Ch, Gamvros O. Tracheostomy in critically ill patients. Comparison between surgical and percutaneous technique. Hell Iatr 2004, 70: 66-72.**

Tracheostomy is one of the more commonly performed operations in patients under long time intubation and mechanical ventilation support. In this study the results of two different tracheostomy techniques are compared. Two hundred patients (129 males and 71 females) were included in the study. The patients were admitted in the ICU of a general hospital during a three years period. The patients were separated in two groups of 100 patients

each with identical demographic data. In patients of group A a surgical tracheostomy was performed, while in patients of group B a transcutaneous Griggs tracheostomy was performed. The admittance pathology according to APACHE II score was the same in the two groups. The tracheostomy in group A was performed by the same team of surgeons under general anesthesia. In group B all tracheostomies were performed by the ICU doctors, under the same conditions as previously. No death or other complication threatening patients' lives connected to the procedure, were observed in this series. It is assumed that both methods of tracheostomy have a high safety percentage, low risk and low complication rate, but the percutaneous technique is faster and is more easily performed on patient's bed. As a result the percutaneous technique is performed regularly during the last years, and the classical technique is limited only in case of technical difficulties.

## ΒΙΒΛΙΟΓΡΑΦΙΑ

1. Bennet MW, Bodenham AR. Percutaneous tracheostomy. Clin Intensive Care 1993, 4(6): 270-5.
2. Dulguerov P, Gysin C, Perneger T, Chevrolet J-C. Percutaneous or surgical tracheostomy: a meta-analysis. Crit Care Med 1999, 27(8): 1617-25.
3. Jackson C. Tracheostomy. Laryngoscope 1909, 19: 285.
4. Jackson C. High tracheostomy and other errors, the chief causes of chronic laryngeal stenosis. Surg Gynecol Obstet 1921, 32: 392-400.
5. Carte BN, Giuseppi T. Tracheostomy, a useful procedure in thoracic surgery with particular reference to its employment in crushing injury of the thorax. J Thorac Surg 1951, 21: 495-503.
6. Lassen HCA. A preliminary report on the 1952 epidemic of poliomyelitis in Copenhagen with special reference to the treatment of acute respiratory insufficiency. Lancet 1953, i: 37-40.
7. Head JM. Tracheostomy in the management of respiratory problems. N Engl J Med 1960, 264: 587-91.
8. Watts JM. Tracheostomy in modern practice. Br J Surg 1963, 50: 954-75.
9. Heffner JE. Timing of tracheostomy in mechanically ventilated patients. Am Rev Respir Dis 1993, 147: 768-71.
10. Sheldon CH, Pudenz RH, Tichy FY. Percutaneous tracheostomy. JAMA 1957, 165: 2068-70.
11. Toye FJ, Weinstein JD. A percutaneous tracheostomy device. Surgery 1969, 384-9.
12. Ciaglia P, Firsching R, Syrie C. Elective percutaneous dilatational tracheostomy: a new and simple bedside procedure. A preliminary report. Chest 1985, 87: 715-9.
13. Griggs WM, Worthley LIG, Gilligan JE, et al. A simple percutaneous tracheostomy technique. Surg Gynecol Obstet 1990, 170: 534-5.

14. van Heurn LW. When and how should we do a tracheostomy? *Curr Opin Crit Care* 2000, 6(4): 267-70.
15. Soni N. Percutaneous tracheostomy: how to do it. *Br J Hosp Med* 1997, 57(7): 339-45.
16. Freeman B, Isabella K, Lin N, Buchman T. A meta-analysis of prospective trials comparing percutaneous and surgical tracheostomy in critically ill patients. *Chest* 2000, 118(5): 1412-8.
17. Friedman Y, Mayer AD. Bedside percutaneous tracheostomy in critically ill patients. *Chest* 1993, 104: 532-5.
18. Toye FJ, Weinstein JD. Clinical experience with percutaneous tracheostomy and cricothyroidotomy in 100 patients. *J Trauma* 1986, 26: 1034-40.
19. Delany S, Stokes J. Percutaneous dilatational tracheostomy: One's year experience. *N Z Med J* 1991, 104: 188-9.
20. Friedman Y, Fildes J, Mizock B, et al. Comparison of percutaneous and surgical tracheostomies. *Chest* 1996, 110: 480-5.
21. Hill BB, Zweng TN, Maley RH, et al. Percutaneous dilatational tracheostomy: report of 356 cases. *J Trauma* 1996, 40: 238-44.
22. Crofts SL, Alzeer A, McGuire PG, et al. A comparison of percutaneous and operative tracheostomies in intensive care patients. *Can J Anaesth* 1995, 9: 775-9.
23. Ivatury R, Siegel JH, Stahl WA, et al. Percutaneous tracheostomy after trauma and critical illness. *J Trauma* 1992, 32: 133-40.
24. Winkler WB, Karnik R, Seelman O, et al. Bedside percutaneous dilatational tracheostomy with endoscopic guidance: experience with 71 ICU patients. *Intensive Care Med* 1994, 20: 476-9.
25. Wang MB, Berke GS, Ward PH, et al. Early experience with percutaneous dilatational tracheostomy. *Laryngoscope* 1992, 102: 157-62.
26. Smith I, Fleming S, Cernainu A. Mishaps during transport from the intensive care unit. *Crit Care Med* 1990, 18: 278-81.
27. Cobean R, Beals M, Moss, C, Bredenberg CE. Percutaneous dilatational tracheostomy: a safe, cost-effective bedside procedure. *Arch Surg* 1996, 131(3): 265-71.
28. McHenry CR, Raeburn CD, Lange RL, Priebe PP. Percutaneous tracheostomy: a cost-effective alternative to standard open tracheostomy. *Am Surg* 1997, 63(7): 646-51.
29. Friedman Y, Mizock B. Percutaneous versus surgical tracheostomy: procedure of choice or choice of procedure. *Crit Care Med* 1999, 27(8): 1684-5.

*Αλληλογραφία:*

I. Κεσίσογλου  
Αρτέμιδος 3  
570 10 Πεύκα  
Θεσσαλονίκη

*Corresponding author:*

I. Kesisoglou  
3, Artemidos Str.  
570 10 Pefka  
Thessaloniki

## Σπονδυλοδισκίτιδα και παρασπονδυλικό απόστημα από βρουκέλλα. Περιγραφή τριών περιπτώσεων

Π. Νικολαίδης<sup>1</sup>, Σ. Μεταλλίδης<sup>1</sup>, Π. Κολλάρας<sup>1</sup>, Α. Σοφός<sup>1</sup>,  
Α. Δρεβελέγκας<sup>2</sup>, Α. Τσώνα<sup>1</sup>, Ε. Κουμεντάκη<sup>1</sup>, Α. Τουρκαντώνης<sup>1</sup>

<sup>1</sup> Α' Παθολογική Κλινική, Τμήμα Λοιμώξεων, Νοσοκομείο ΑΧΕΠΑ

<sup>2</sup> Ακτινολογικό Εργαστήριο, Νοσοκομείο ΑΧΕΠΑ, Θεσσαλονίκη

**Περίληψη.** Περιγράφονται τρεις περιπτώσεις ασθενών με σπονδυλοδισκίτιδα και σύγχρονη ανάπτυξη παρασπονδυλικών αποστημάτων από βρουκέλλα. Η εντόπιση των βλαβών και στους τρεις ασθενείς ήταν στην οσφυϊκή μοίρα της σπονδυλικής στήλης. Η διάγνωση της νόσου βασίστηκε στις ορολογικές δοκιμασίες της βρουκέλλωσης (τίτλος αντισωμάτων >1:160) και σε απεικονιστικές ακτινολογικές μεθόδους όπως η αξονική και μαγνητική τομογραφία. Η αγωγή ήταν τριπλή από την έναρξη λόγω των παρασπονδυλικών αποστημάτων. Οι δύο πρώτοι ασθενείς έλαβαν στρεπτομυκίνη για 21 ημέρες μαζί με δοξυκυκλίνη και ριφαμπικίνη, ενώ ο τρίτος ασθενής έλαβε δοξυκυκλίνη, ριφαμπικίνη και τριμεθοπρίμη - σουλφαμεθοξαζόλη. Η μέση διάρ-

κεια θεραπείας ήταν 130 ημέρες με πλήρη ύφεση της νόσου. Τα συμπτώματα, ευρήματα και εργαστηριακά ήταν μη ειδικά στην σπονδυλοδισκίτιδα από βρουκέλλα, με αποτέλεσμα να υπάρχει μεγάλη καθυστέρηση από την έναρξη των συμπτωμάτων μέχρι τη διάγνωση. Είναι γενικά αποδεκτό, ότι η διάρκεια θεραπείας της σπονδυλοδισκίτιδας είναι μεγαλύτερη από την απλή βρουκέλλωση. Όμως ακόμα και σήμερα η διάρκεια και το είδος της θεραπείας στηρίζονται στην κλινική εμπειρία. Οι υποτροπές είναι λιγότερες στα τριπλά σχήματα. Αναπτύσσονται τα διαγνωστικά και θεραπευτικά προβλήματα της νόσου μετά από ανασκόπηση της σύγχρονης βιβλιογραφίας.  
Ελλην Ιατρ 2004, 70: 73 - 79.

Η βρουκέλλωση είναι μια ζωονόσος που προκαλέεται από τα μικρόβια του γένους Brucella. Είναι μια συστηματική λοιμωξη που μπορεί να προσβάλλει πολλά οργανα και ιστούς. Η λοιμωξη του ανθρώπου προκύπτει από επαγγελματική επαφή με μολυσμένο ζώο ή από κατανάλωση μολυσμένου γάλακτος, γαλακτοκομικών προϊόντων ή μολυσμένων ιστών.

Η σπονδυλίτιδα από βρουκέλλα είναι η πιο σημαντική από τις οστεοαρθρικές επιπλοκές, αφορά συχνότερα τους ήλικιωμένους και σπάνια μπορεί να οδηγήσει στην δημιουργία παρασπονδυλικών αποστημάτων ή αποστημάτων στον νωτιαίο σωλήνα<sup>1</sup>. Είναι δύσκολη στην διάγνωση και απαιτείται υψηλός δείκτης υποψίας. Κύριο σύμπτωμα

είναι ο πόνος στην σπονδυλική στήλη. Δεν υπάρχουν σαφείς απόψεις για το είδος, τον αριθμό και την διάρκεια της θεραπείας. Στη διεθνή βιβλιογραφία δεν καθίσταται σαφές αν τα τριπλά σχήματα θεραπείας (στρεπτομυκίνη + δοξυκυκλίνη + ριφαμπικίνη) υπερτερούν των κλασικών διπλών σχημάτων ως προς την αποτελεσματικότητα. Επίσης δεν υπάρχουν στοιχεία για την ακριβή διάρκεια της θεραπείας και οι περισσότεροι συγγραφείς στηρίζονται στην κλινική ανταπόκριση, καθώς τα απεικονιστικά ευρήματα υποχωρούν με πολύ βραδύ όντιμο. Παραμένει πάντα το πρόβλημα της μη αποτελεσματικής διείσδυσης της στρεπτομυκίνης στα οστά και το ερώτημα κατά πόσο είναι απαραίτητη στα σχήματα θεραπείας.

Στην εργασία αυτή περιγράφονται, λόγω σπανιότητας, τρεις περιπτώσεις σπονδυλοιδικίτιδας με ταυτόχρονο σχηματισμό παρασπονδυλικών αποστημάτων από Brucella και αναπτύσσονται τα διαγνωστικά και θεραπευτικά προβλήματα της νόσου.

### ΑΣΘΕΝΕΙΣ ΚΑΙ ΜΕΘΟΔΟΙ

Τρεις περιπτώσεις με σπονδυλίτιδα από Brucella διαγνώστηκαν στην Α' Παθολογική Κλινική, ΑΠΘ στη διάρκεια 1999-2000.

Η διάγνωση της βρουκέλλωσης έγινε και στις τρεις περιπτώσεις με την αύξηση του τίτλου ( $>160$ ) της τυποποιημένης συγκολλητινοαντίδρασης για την Brucella (αντίδραση Wright) και την αύξηση του τίτλου της Coombs για μελιταίο. Η διάγνωση της σπονδυλίτιδας έγινε με βάση τα κλινικά συμπτώματα και τις απεικονιστικές ακτινολογικές μεθόδους.

Οι ασθενείς υποβλήθηκαν στον καθιερωμένο εργαστηριακό έλεγχο τόσο κατά την διάρκεια της νοσηλείας τους, όσο και κατά την διάρκεια της παρακολούθησης.

Απεικονιστικά κατά τη διαγνωστική προσπέλαση έγιναν και στους τρεις ασθενείς σπινθηρογράφημα οστών με οραδιενεργό τεχνήτιο, αξονική τομογραφία και μαγνητική τομογραφία. Η παρακολούθηση των ασθενών έγινε με την βοήθεια της μαγνητικής τομογραφίας και σε μία από τους α-ασθενείς έγινε επιπλέον ολοσωματικό σπινθηρογράφημα με μονοκλωνικά αντισώματα έναντι κοκκιοκυττάρων (Leukoscan).

Η διάρκεια της θεραπείας στηρίχτηκε στην κλινική ανταπόκριση των ασθενών, την εργαστηριακή και την απεικονιστική αξιολόγηση.

### Περίπτωση πρώτη

Γυναίκα 66 ετών νοσηλεύτηκε σε περιφερικό γενικό νοσοκομείο λόγω διάχυτου κοιλιακού άλγους και πυρετού (έως 38°C, χωρίς φύγος) από 20μέρου. Ιστορικό αρτηριακής υπέρτασης.

Από τον εργαστηριακό έλεγχο προέκυψαν: Λευκά αιματοφαίρια 10300/ $\mu$ L, ουδετερόφιλα 62%, TKE 64 mm/h, αιματοκρίτης 34,9 %, SGOT 45 U/L, SGPT 49 U/L, ALP 150 mg/dL, LDH 470 mg/dL, CRP 5 mg/dL και Wright 1/320.

Η αξονική τομογραφία κοιλίας ήταν φυσιολογική. Ανέφερε τη βρώση μη ελεγμένων γαλακτοκομικών προϊόντων και διαμονή σε ενδημική περιοχή για μελιταίο. Με την διάγνωση της βρουκέλλωσης (στηρίχτηκε στην αύξηση του τίτλου της τυποποιημένης συγκολλητινοαντίδρασης για τη Brucella - αντίδραση Wright  $>1/160$  σε συνδυασμό με το επιδημιολογικό κριτήριο) έγινε έναρξη διπλού σχήματος με στρεπτομυκίνη (1 g x 1 im για 21 ημέρες) και δοξυκυακλίνη (100 mg x 2 p.o.). Η ασθενής παρουσίασε ύφεση του πυρετού και έλαβε εξιτήριο. Μετά 10ήμερο παρουσίασε έντονη οσφυαλγία και ισχιαλγία αριστερά με φλεγμονώδη χαρακτήρα του πόνου (πόνος που παρουσίαζε ύφεση κατά την κινητοποίηση, επιδεινωση με την κατάκλιση και επίσης πρωνή δυσκαμψία). Εισαγωγή στην κλινική μας με την πιθανή διάγνωση σπονδυλίτιδας από Brucella.

Στο σπινθηρογράφημα οστών (οραδιενεργό τεχνήτιο) παρατηρήθηκε θερμή βλάβη στα παρακείμενα τμήματα των  $O_2-O_3$  σπονδύλων και στο  $O_4-O_5$  διάστημα με χαρακτήρα δισκίτιδας και ιερολαγονίτιδα άμφω.



**Εικ. 1. Οσφυϊκή Μοίρα Σπονδυλικής Στήλης (ΟΜΣΣ), Μαγνητική Τομογραφία σε T1 ακολουθία, επιμήκης τομή. Προσβολή του μεσοσπονδύλιου διαστήματος  $O_2-O_3$ , των παρακείμενων σπονδυλικών σωμάτων και επέκταση της φλεγμονής προς τον πρόσθιο επιμήκη σύνδεσμο.**

Στην αξονική τομογραφία οσφυϊκής μοίρας σπονδυλικής στήλης (ΟΜΣΣ) παρατηρήθηκε στο ύψος του  $O_2-O_3$  μεσοσπονδύλιου διαστήματος προσπονδύλική εξεργασία με πυκνότητες μαλακών μορίων και μικρό υποπυκνωτικό τμήμα.

Στην μαγνητική τομογραφία ΟΜΣΣ παρατηρήθηκε διάβρωση του προσθίου κάτω τμήματος του  $O_2$  και του προσθίου άνω του  $O_3$  σπονδύλου με συνοδές αλλοιώσεις και παθολογικό εμπλούτισμό του δίσκου, παρουσία προσπονδύλικής μάζας με περιφερικό παθολογικό εμπλούτισμό και κεντρικές νευρώσεις, που επεκτείνεται στο ύψος των  $O_2-O_3$  σπονδύλων, διόγχωση του τελικού τμήματος του μυελικού κώνου και της ισπουρίδας με ασαφοποίηση του επισκληρίδιου λίπους που θέτει την υπόνοια επέκτασης της φλεγμονής ενδοκαναλικά (Εικ. 1).

Με τη διάγνωση της σπονδυλοιδικίτιδας από βρουκέλλα και τη συμπλήρωση 20 ημερών αγωγής με στρεπτομυκίνη, η ασθενής συνέχισε με διπλό σχήμα: δοξυκυακλίνη + οιφαμικίνη (600 mg x 2 από του στόματος). Δυο μήνες μετά, παρά την θεραπεία η ασθενής παρουσίασε επέκταση της παρασπονδύλικής μάζας στη μαγνητική τομογραφία και ετέθει σε τριπλό σχήμα με προσθήκη στην αγωγή της τριμεθοπριμίζ - σουλφαμεθαξαζόλης (800 + 160 mg x 2 p.o.). Η ασθενής παρουσίασε βελτίωση. Η συνολική διάρκεια θεραπείας ήταν 150 ημέρες.

### Περίπτωση δεύτερη

Γυναίκα 47 ετών, προσήλθε για επίμονη οσφυαλγία από δημήνου με συνοδό μικρή αδυναμία των κάτω άκρων και ισχιαλγία δεξιά. Το άλγος είχε φλεγμονώδη χαρακτήρα Πα-



**Εικ. 2.** ΟΜΣΣ, Μαγνητική Τομογραφία σε  $T1$  ακολούθια, επιμήκης τομή. Στένωση μεσοσπονδύλιου διαστήματος  $O_3-O_4$  με προβολή του δίσκου, ανωμαλία της παραφής των επιφανειών των παρακείμενων σπονδυλικών σωμάτων και χαμηλό σήμα ενδεικτικό του οιδήματος.

ρουσίασε πυρέτιο έως  $37,8^{\circ}\text{C}$  που καλύπτονταν από τη συνεχή χρονήγμηση αντιρευματικών-αναλγητικών. Από την νευρολογική εξέταση διαπιστώθηκαν ελαττωμένα αντανακλαστικά των κάτω άκρων. Υπήρχε ισοτρικό πολιομυελίτιδας σε παιδική ηλικία και οστεοπόρωση από 5ετίας. Σε μαγνητική τομογραφία ως εξωτερική ασθενής προ τριμήνου βρέθηκε κήλη μεσοσπονδύλιου δίσκου αριστερά στο ύψος  $O_3-O_4$  σπονδύλου και συνεπήθη χειρουργική αποκατάσταση. Αναφέρει βρώση μη ελεγμένων γαλακτοκομικών προϊόντων.

Από τον εργαστηριακό έλεγχο διαπιστώθηκαν: Λευκά αιμοσφαίρια  $6000/\mu\text{L}$ , Ουδετερόφιλα  $70\%$ , Hct  $36\%$ , CRP  $12 \text{ mg/dl}$ , TKE  $64 \text{ mm/h}$ , Wright  $1/800$ .

Στο σπινθηρογράφημα οστών παρατηρήθηκε έντονη πρόσληψη του ραδιενεργού ισοτόπου (τεχνήτιο) στον  $O_3-O_4$  σπόνδυλο και τις ιερολαγόνιες άμφω.

Στην μαγνητική τομογραφία ΟΜΣΣ παρατηρήθηκε παθολογικός εμπλούτισμός των σπονδυλικών σωμάτων και των σύστοιχων δίσκων ( $O_3-O_4$ ), παθολογικός εμπλούτισμός αφορούσε του προσπονδύλικου χώρου όπισθεν του προσθίου επιμήκους συνδέσμου και του παρασπονδυλικού χώρου που επεκτείνεται αριστερά προς τον σύστοιχο ψοϊτή και περιβάλλει το έλυτρο των  $O_3-O_4$  ριζών (Εικ. 2, 3).

Με τη διάγνωση της σπονδυλοιδικίτιδας από Brucella έγινε έναρξη τριπλού σχήματος με στρεπτομυκίνη ( $1 \text{ g} \times 1 \text{ im.}$  για  $21 \text{ ημέρες}$ ), οφαμπικίνη ( $600 \text{ mg} \times 2 \text{ p.o.}$ ) και δοξυκυανίνη ( $100 \text{ mg} \times 2 \text{ p.o.}$ ). Είκοσι μέρες μετά την έναρξη της αγωγής παρουσίασε άλγος στη δεξιά κατά γόνυ άρθρωση με σύλλογη υγρού στον υπεργονατιδικό σύνδεσμο. Η καλλιέργεια του υγρού ήταν αρνητική για βρουκέλλα και χαρακτηρίστηκε αντιδραστική αρθρίτιδα από τη βρουκέλλα. Προστέθηκε στην



**Εικ. 3.** Εγκάρσια τομή στο ως άνω διάστημα σε  $T1$  ακολούθια μετά έγχυση παραμαγνητικής ουσίας. Παρατηρείται παθολογικός εμπλούτισμός του μεσοσπονδύλιου δίσκου ως και των παρακείμενων παρασπονδυλικών μαλακών μορίων με σχηματισμό μικροσπαστημάτων.

αγωγή τριμεθοπρόμη-σουλφαμεθοξαζόλη ( $800+160 \text{ mg} \times 2$  από του στόματος) σε αντικατάσταση της στρεπτομυκίνης. Λόγω της επιμονής των συμπτωμάτων η διάρκεια της θεραπείας ήταν  $150 \text{ ημέρες}$ . Κατά τη διάρκεια της παρακολούθησης παρατηρήθηκε προοδευτική πτώση του τίτλου της Wright και βελτίωση των απεικονιστικών ευρημάτων στην MRI.

### Περίπτωση τρίτη

Άνδρας 25 ετών, νοοτρεύτηκε σε ορθοταυδική κλινική λόγω άλγους στην οσφυϊκή μοίρα της σπονδυλικής στήλης, με αντανάκλαση στην κάτω κοιλία από  $40 \text{ μέρον}$ . Ο ασθενής δεν παρουσίασε νευρολογική σημειολογία και ο πόνος είχε φλεγμονώδη χαρακτήρα. Δεν αναφέρει επαφή με ζώα ή βρώση μη ελεγμένων γαλακτοκομικών προϊόντων, αλλά ήταν κάτοικος ενδημικής περιοχής για μελιταίο.

Από τον εργαστηριακό έλεγχο προέκυψαν: Λευκά αιμοσφαίρια  $7230/\mu\text{L}$ , Ουδετερόφιλα  $54\%$ , Hct  $41,3\%$ , TKE  $12 \text{ mm/h}$ , CRP  $0,1 \text{ mg/dl}$ , Wright  $1/360$ , αντίδραση Coombs για βρουκέλλωση  $1/1280$ .

Στο σπινθηρογράφημα οστών παρατηρήθηκε αυξημένη καθήλωση του ραδιοφαρμάκου στον  $O_3$  σπόνδυλο.

Στην αξονική ΟΜΣΣ παρατηρήθηκε παρουσία δύο λυτικών αλλοιώσεων με σκληρυντικό όριο στις αρθρικές επιφάνειες των  $O_2$  και  $O_3$  σπονδύλων και ανάπτυξη παρασπονδυλικής μάζας μαλακών μορίων δεξιά. Ο ασθενής διακομίστηκε στην κλινική μας.

Σε μαγνητική τομογραφία ΟΜΣΣ παρατηρήθηκε προσβολή των παρακείμενων αρθρικών επιφανειών στο μεσοσπονδύλιο διάστημα  $O_2$  και  $O_3$  υπό μορφή αυξημένου σήματος και παθολογικού εμπλούτισμού ο οποίος επεκτείνεται προς τα δεξιά, όπου εντός του δεξιού ψοϊτή παρατηρούνται μικροσπαστημάτια (Εικ. 4).

Με την διάγνωση της σπονδυλίτιδας από Brucella, έγινε



**Εικ. 4.** Η μαγνητική τομογραφία της ΟΜΣΣ σε T2 ακολουθία δείχνει ανξημένο σήμα σπονδυλικών σωμάτων  $O_2-O_3$  ως και του μεσοσπονδύλιου δίσκου, χαρακτηριστικό του οιδήματος αυτών.

έναρξη θεραπείας τριπλού σχήματος με φιφαμπικίνη (600 mg x 2 από τον στόματο), δοξυκαντίνη (100 mg x 2 p.o.) και τριμεθοπριμί - σουλφαμεθοξαζόλη (800+160 mg x 2 από τον στόματο). Η διάρκεια της θεραπείας ήταν 90 ημέρες με προοδευτική ελάττωση του τίτλου της οροαντίδρασης Wright και υποχώρηση των κλινικών εκδηλώσεων και βελτίωση στην MRI.

### ΣΥΖΗΤΗΣΗ

Η βρουκέλλα είναι μικρός, μη κινητός, gram αρρητικός κοκκοβάκιλος, που δε σχηματίζει σπόρους. Υπάρχουν τέσσερα είδη βρουκέλλας, που προκαλούν λοιμώξη στον άνθρωπο. Η *B. melitensis* είναι η περισσότερο παθογόνος και ακολουθείται από την *B. suis*, την *B. abortus* και την *B. canis*. Παγκοσμίως η *B. melitensis* είναι η συνηθέστερη αιτία βρουκέλλωσης.

Η επίπτωση της βρουκέλλωσης στον άνθρωπο σχετίζεται άμεσα με τον επιπολασμό της νόσου στα ζώα. Κύριος στόχος των προγραμμάτων πρόληψης είναι ο έλεγχος του νοσήματος στα ζώα. Στην Ελλάδα το 1975 άρχισε να εφαρμόζεται πρόγραμμα καταπολέμησης της νόσου στα ζώα. Τα επόμενα χρόνια ελαττώθηκε σημαντικά ο επιπολασμός του νοσήματος στα ζώα και από το 1982 παρατηρήθηκε σημαντική ελάττωση των περιπτώσεων βρουκέλλωσης στον άνθρωπο. Το 1990 άρχισε

η εφαρμογή του προγράμματος εκρίζωσης της νόσου στα ζώα, που όμως δεν εφαρμόστηκε πλήρως, με αποτέλεσμα από το 1994 την αύξηση των περιπτώσεων της νόσου στον άνθρωπο<sup>2</sup>.

Το 1998 δηλώθηκαν στο Εθνικό Κέντρο Επιδημιολογικής Παρακολούθησης και Παρέμβασης (ΕΚΕΠΑΠ) 439 περιπτώσεις βρουκέλλωσης. Παράλληλα στο Σύστημα Εργαστηριακής Παρακολούθησης του ΕΚΕΠΑΠ δηλώθηκαν 637 θετικές ορολογικές εξετάσεις και 38 απομονώσεις βρουκέλλας. Βέβαια αν και η δήλωση της βρουκέλλωσης είναι υποχρεωτική στην Ελλάδα, πιστεύεται ότι ο πραγματικός αριθμός περιπτώσεων είναι μεγαλύτερος από αυτόν που δηλώνεται<sup>3</sup>.

Οστεοαρθρικές επιπλοκές της βρουκέλλωσης αναφέρονται σε ποσοστό 20-60 % των ασθενών<sup>4</sup>. Το φάσμα των οστικών και αρθρικών εκδηλώσεων περιλαμβάνει αρθρίτιδα, σπονδυλίτιδα, οστεομυελίτιδα, τενοντίτιδα και θυλακίτιδα. Η ιερολαγονίτιδα είναι η πιο συχνά αναφερόμενη επιπλοκή. Οι περιφερικές αρθρώσεις που προσβάλλονται πιο συχνά είναι τα ισχία, τα γόνατα και οι αγκώνες. Η σπονδυλίτιδα αφορά συχνότερα τους ηλικιωμένους και μπορεί να οδηγήσει σπάνια στην δημιουργία παρασπονδυλικών αποστημάτων.

Η σπονδυλοιδικίτιδα από βρουκέλλα είναι ασυνήθης στις αναπτυγμένες χώρες, όπου η βρουκέλλα έχει εκριζωθεί στα ζώα, όμως περιγράφεται σε περιοχές όπου η νόσος ενδημεί, όπως η Μεσόγειος, η Λατινική Αμερική και η Μέση Ανατολή.

Στη διεθνή βιβλιογραφία υπάρχουν μόνο 5 μεγάλες σειρές με σπονδυλοιδικίτιδα από βρουκέλλα από το 1974 έως το 1999<sup>4-8</sup>. Αφορούν σε ενήλικες ηλικίας 50-60 ετών, κυρίως άνδρες που ζουν σε ενδημικές περιοχές και έχουν επαγγελματική ενασχόληση με ζώα ή καταναλώνουν μη παστεριωμένα γαλακτοκομικά προϊόντα. Η συχνότερη εντόπιση είναι η οσφυϊκή μοίρα της σπονδυλικής στήλης (70-80%) και ακολουθεί η αυχενική και θωρακική μοίρα. Τα κυριότερα συμπτώματα είναι ο πόνος (95-100%) και ο πυρετός (60-85%). Η ανάπτυξη παρασπονδυλικών αποστημάτων ή φλεγμονώδων μαζών κυμαίνεται από 6-85%<sup>4</sup>. Η *Brucella melitensis* είναι η πιο συχνή αιτία οστεομυελίτιδας και ακολουθούν η *Brucella suis* και *Brucella abortus*.

Η διάγνωση της σπονδυλίτιδας από βρουκέλλα είναι δύσκολη, γιατί τα συμπτώματα και ευρήματα είναι μη ειδικά, με αποτέλεσμα να υπάρχει μεγάλη καθυστέρηση από την έναρξη των συμπτωμάτων μέχρι τη διάγνωση. Στην διεθνή βιβλιογρα-

φία το διάστημα αυτό είναι 70 ημέρες ( $SD=63$ )<sup>4</sup>. Στις τρεις περιπτώσεις που περιγράφαμε το διάστημα αυτό ήταν 68 ημέρες ( $SD=53$ ).

Το κύριο σύμπτωμα είναι ο πόνος στην περιοχή της σπονδυλικής στήλης, με εντόπιση στην οσφυϊκή μοίρα. Επειδή η οσφυαλγία είναι πολύ συχνό σύμπτωμα στο γενικό πληθυσμό, είναι πολύ σημαντικό να αποσαφηνίζεται ο χαρακτήρας του πόνου, δηλαδή εάν είναι μηχανικός ή φλεγμονώδης. Φλεγμονώδης είναι ο πόνος που εκδηλώνεται αυτόματα, δεν υποχωρεί με την ανάπτυση και συνοδεύεται από έντονη πρωινή δυσκαμψία. Στις λοιμώδεις σπονδυλίτιδες ο πόνος είναι χαρακτηριστικά φλεγμονώδης<sup>5</sup>.

Ο πυρετός δεν είναι συνήθως υψηλός και σε αρκετές περιπτώσεις μπορεί να μην υπάρχει ή να καλύπτεται από τη συνεχή χορήγηση αναλγητικών, όπως συνέβη με την ασθενή της 2<sup>ης</sup> περίπτωσης. Η απώλεια βάρους, η κακουχία και η ανορεξία είναι μη ειδικά συμπτώματα, που πρέπει όμως να εγγίζουν την υπόνοια της φλεγμονώδους αιτιολογίας του πόνου. Η συνοδός ιερολαγονίτιδα είναι ένας δείκτης φλεγμονώδους αιτιολογίας της βλάβης.

Τα εργαστηριακά ευρήματα είναι συνήθως μη ειδικά, όπως ήπια αναιμία, ως αποτέλεσμα της παρατεταμένης λοιμωξής και μετρια αυξημένη ΤΚΕ που ανευρίσκονται στην πλειονότητα των περιπτώσεων. Η C-ντιδρώσα πρωτεΐνη (CRP) είναι μετρίως αυξημένη<sup>5</sup>.

Οι θετικές καλλιέργειες αίματος είναι διαγνωστικές και πρέπει να λαμβάνονται πολλαπλά δείγματα αίματος πάντοτε. Η βρουκέλλα όμως απομονώνεται σε αναλογία μόνο 20-50% των περιπτώσεων λοιμωξής από *B. abortus* και 10-70% για την *B. melitensis*<sup>2</sup>. Η καλλιέργεια του μεσοσπονδυλίου δίσκου ή οστικών τμημάτων που αφαιρούνται χειρουργικά ή έπειτα από αναρρόφηση με βελόνη, μπορεί να οδηγήσουν στην απομόνωση του μικροοργανισμού.

Η διάγνωση της βρουκέλλωσης μπορεί να στηριχθεί σε ορολογικές δοκιμασίες, όπως είναι η αύξηση του τίτλου της συγκολλητινοαντίδρασης Wright ή η έμμεση Coombs. Όλες σχεδόν οι ορολογικές δοκιμασίες ανιχνεύουν αντισώματα έναντι του λιποπλυσακχαρίτη της εξωτερικής μεμβράνης του μικροβίου. Για την οξεία βρουκέλλωση θεωρείται θετικός τίτλος της αντίδρασης Wright  $> 1:160$ . Μετά την ίαση μπορεί να διατηρηθεί τίτλος 1:80 ή και ψηλότερος έως και 5 χρόνια. Άτομα με ιαθείσα βρουκέλλωση μπορεί να εμφανίσουν τίτλο έως και 1:160 κατά την διάρκεια εμπύρετων νοσημάτων, ο

οποίος υποχωρεί σε 7-10 ημέρες. Η αρνητική Wright δεν αποκλείει την νόσο. Τα αποτελέσματα των διαφόρων ορολογικών δοκιμασιών παρουσιάζουν κάποιες διαφορές στην οξεία και στην χρόνια νόσο. Στην αρχή της νόσου παράγονται IgM αντισώματα και στην συνέχεια, περίπου τη δεύτερη εβδομάδα εμφανίζονται IgA και IgG αντισώματα. Έτσι στην οξεία νόσο θετικοποιείται πρώτα η αντίδραση Wright (IgM, IgG2), ενώ στη χρόνια βρουκέλλωση, όπου παραμένουν μόνο τα IgG αντισώματα, η αντίδραση Wright μπορεί να είναι αρνητική και η έμμεση Coombs να είναι θετική (ανιχνεύει μη ειδικές συγκολλητίνες IgG1, IgG2 και IgA)<sup>2</sup>.

Τα απεικονιστικά ευρήματα είναι χρήσιμα για τον καθορισμό της βλάβης και διακρίνονται σε τοπικά και διάχυτα.

Στην πρώτη περίπτωση παρατηρείται μια εστία τοπικής αλλοιώσης ή σκληρίας στο πρόσθιο και άνω τμήμα του σπονδύλου λόγω της μεγάλης αιμάτωσης στην περιοχή αυτή. Η ύπαρξη της τοπικής σκληρίας υποδηλώνει τη βραδεία εξέλιξη της νόσου. Ο παρακείμενος μεσοσπονδύλιος δίσκος και τα παρακείμενα μαλακά μόρια είναι φυσιολογικά. Στην τοπική αυτή προσβολή η διαφορική διάγνωση παλαιών αλλοιώσεων από ενεργό νόσο γίνεται με βάση το ιστορικό, τα εργαστηριακά ευρήματα, το σπινθηρογράφημα οστών και την μαγνητική τομογραφία.

Στην περίπτωση της διάχυτης προσβολής προσβάλλεται ολόκληρο το σώμα του σπονδύλου ή παρακείμενων σπονδύλων, παρατηρείται η ύπαρξη μάζας μαλακών μορίων, που επεκτείνεται είτε παρασπονδυλικά, είτε στον επισκληρίδιο χώρο. Τα ευρήματα αυτά αναδεικνύονται καλύτερα με τη μαγνητική τομογραφία όπου παρατηρούνται περιοχές χαμηλού σήματος στις  $T_1$  εικόνες, υψηλού στις  $T_2$  και παθολογικός εμπλούτισμός μετά την έγχυση παραμαγνητικής ουσίας. Ο εμπλούτισμός αφορά στον ίδιο στοιχείο παρακείμενου σπονδύλου, το μεσοσπονδύλιο δίσκο και τα παρακείμενα μαλακά μόρια.

Η διαφορική διάγνωση με την φυματιώδη σπονδυλίτιδα, με βάση τα απεικονιστικά ευρήματα, αν και δεν είναι ειδική, μπορεί να στηριχθεί στο γεγονός ότι στη σπονδυλίτιδα από βρουκέλλωση ο σπονδύλος διατηρεί το σχήμα του, δεν παρατηρούνται εκσεσημασμένα παρασπονδυλικά αποστήματα, προσβάλλει κυρίως την οσφυϊκή μοίρα της σπονδυλικής στήλης και μπορεί να παρατηρηθεί η ύπαρξη αερίων εντός του μεσοσπονδύλιου δίσκου.

Η θεραπεία της σπονδυλοδισκίτιδας από βρουκέλλα δεν είναι σαφής ως προς το είδος, τον αριθμό και την διάρκεια των χρησιμοποιούμενων αντιβιοτικών. Εναπόκειται στην εμπειρία του γιατρού η επιλογή του καταλληλότερου θεραπευτικού σχήματος.

Είναι γενικά αποδεκτό, ότι η διάρκεια της θεραπείας της σπονδυλίτιδας από βρουκέλλα είναι μεγαλύτερη από αυτή της απλής βρουκέλλωσης. Η μέση διάρκεια θεραπείας στη σειρά των Solera et al (1999) ήταν 120 ημέρες (45-535) και το 83% των ασθενών έλαβαν αγωγή για περισσότερο από 90 ημέρες<sup>4</sup>. Στις περιπτώσεις που περιγράψαμε η μέση διάρκεια θεραπείας ήταν 130 ημέρες (90-150).

Ο πιο ευρέως χρησιμοποιούμενος συνδυασμός αντιβιοτικών είναι η τετρακυκλίνη (κυρίως η δοξυκυκλίνη 100 mg x 2 p.o.) με αμινογλυκοσίδη (κυρίως στρεπτομυκίνη 1 g x 1 im, τουλάχιστον για 14 με 21 ημέρες)<sup>9</sup>. Αυτός ο συνδυασμός προκαλεί βελτίωση των συμπτωμάτων σε ποσοστό 60 - 90 % των ασθενών<sup>1</sup>. Πολύ συχνό είναι και το τριπλό σχήμα με την προσθήκη της οιφαμπικίνης (600 mg x 2 p.o.) στο παραπάνω σχήμα<sup>4</sup>. Άλλα φάρμακα, που μπορεί να χρησιμοποιηθούν με μικρότερα ποσοστά επιτυχίας, είναι η σιρόφλοξασίνη (500 mg x 2 p.o.)<sup>10</sup> και η τριμεθοπριζίμη - σουλφαμεθοξαζόλη (800 + 160 mg x 2 p.o.)<sup>11</sup>.

Όταν υπάρχουν παρασπονδυλικές μάζες αυξάνεται το ποσοστό αποτυχίας του διπλού σχήματος<sup>1</sup>. Αποτυχίες που οφείλονται σε ανθεκτικότητα στα αντιβιοτικά είναι σπάνιες.

Στις περιπτώσεις που περιγράψαμε, λόγω των παρασπονδυλικών αποστημάτων η αγωγή ήταν τριπλή από την έναρξη. Οι δύο πρώτοι ασθενείς έλαβαν στρεπτομυκίνη για 21 ημέρες μαζί με δοξυκυκλίνη και οιφαμπικίνη, ενώ ο τρίτος ασθενής έλαβε δοξυκυκλίνη, οιφαμπικίνη και τριμεθοπριζίμη - σουλφαμεθοξαζόλη.

Στην 1<sup>η</sup> περίπτωση, λόγω της επιδείνωσης της παρασπονδυλικής μάζας, προστέθηκε στην αγωγή μετά 2 μηνα τριμεθοπριζίμη-σουλφαμεθοξαζόλη. Στην 2<sup>η</sup> περίπτωση λόγω της αντιδραστικής αρθρίτιδας που παρουσιάστηκε, προστέθηκε τριμεθοπριζίμη - σουλφαμεθοξαζόλη.

Η χειρουργική παρέμβαση σπάνια ενδείκνυται, εκτός από τις περιπτώσεις με νευρολογική σημειολογία.

Η θνητότητα είναι σπάνια και περιορίζεται σε περιπτώσεις με τετραπληγία ή επέκταση της φλεγμονής στην κοιλιακή αορτή.

Οι υποτροπές κυμαίνονται διεθνώς από 4-

55%<sup>1-5</sup>. Σημαντικό ρόλο στις διαφορές που εμφανίζονται στις διάφορες σειρές παιζει το είδος, ο αριθμός και η διάρκεια της θεραπείας. Η εφαρμογή τριπλών σχημάτων ελαττώνει το ποσοστό των υποτροπών.

## ABSTRACT

*Nikolaidis P, Metallidis S, Kollaras P, Sofos A, Drevelegas A, Tsona A, Koumentaki E, Tourkantonis A. Spondylitis and paravertebral abcess due to Brucella. Report of three cases. Hell Iatr 2004, 70: 73 - 79.*

We describe three cases of patients who had brucellar spondylitis and paravertebral abscesses. In all three patients the findings were in the lumbar region of the spine. Diagnosis was based on serological findings (titers of antibodies to Brucella of >1:160) and imaging procedures such as CT and MRI. The treatment was triple since the beginning due to the paravertebral abscesses. The first two patients received streptomycin for 21 days combined with doxycycline and rifampin, while the third patient received doxycycline, rifampin and trimethoprim-sulfamethoxazole. The mean duration of treatments was 130 days until the complete remission of the disease. The symptoms, signs and laboratory results are not specific for brucellar spondylitis, which may lead to a very long period of investigation from the start of symptoms to the final diagnosis. It is a generally accepted concept that the duration of the spondylitis' treatment should be longer than that of the common brucellosis. But even today the duration and the type of treatment are completely based to clinical experience. The number of relapses is reduced when triple regimens are used. In this article the therapeutic and diagnostic problems of this disease are discussed after review of the current bibliography.

## ΒΙΒΛΙΟΓΡΑΦΙΑ

1. Pina MA, Ara PR, Madrego PJ, Juyol MC, Capaelo JL. Brucellar epidural abscess, Eur J Neurol 1999, 6: 87-9.
2. Κανουνίδης Α. Εργαστηριακή διάγνωση βρουκέλλωσης. Επιδημιολογικό Δελτίο Λοιμωδών Νοσημάτων Ελλάδος 1998, 3: 2-3.
3. Επιδημιολογικό Δελτίο Λοιμωδών Νοσημάτων Ελλάδος. Η βρουκέλλωση στην Ελλάδα 1998, 3: 1,7.
4. Solera J, Lozano E, Martinez-Alfaro E. Brucellar Spondylitis : Review of 35 cases and literature survey. Clin Infect Dis 1999, 29: 1440-49.
5. Colmenero JD, Jimenez-Mejias ME, Sanchez-Lora FJ, et al. Pyogenic, tuberculous and brucellar vertebral osteomy-

- elitis: a descriptive and comparative study of 219 cases. Ann Rheum Dis 1997; 56: 709-15.
6. Lifeso RM, Harder E, McCorkell SJ. Spinal brucellosis. J Bone Joint Surg Br 1985, 67: 345-51.
7. Ariza J, Gudiol F, Valverde J, et al. Brucellar spondylitis. A detailed analysis based on current findings. Rev Infect Dis 1985, 7: 656-64.
8. Tekkok IH, Berker M, Ozcan OE, Ozgen T, Akalin E. Brucellosis of the spine. Neurosurgery 1993, 33: 838-44.
9. Solera J, Rodriguez-Zapata M, Geijo P, et al. Doxycycline - rifampin versus doxycycline - streptomycin in treatment of human brucellosis due to *Brucella melitensis*. Antimicrob Agents Chemother 1995, 39: 2061-7.
10. Agalar C, Usubutun S, Turkyilmaz R. Ciprofloxacin and rifampicin versus doxycycline and rifampicin in the treatment of brucellosis. Eur J Clin Microbiol Infect Dis 1999, 18,8: 535-8.
11. Malik GM. Early clinical response to different therapeutic regimens for human brucellosis. Am J Trop Med Hyg 1998, 58,2: 190-1.

**Αλληλογραφία:**

Π. Νικολαΐδης  
Α' Παθολογική Κλινική  
Τμήμα Λοιμώξεων  
Στ. Κυριακίδη 1  
540 06 Θεσσαλονίκη

**Corresponding author:**

P. Nikolaidis  
A' Medical Department  
Infections Section  
AHEPA Hospital  
Aristotle University of Thessaloniki  
1, St. Kyriakidi Str.  
540 06 Thessaloniki  
Greece

## ΟΙ ΣΥΝΕΠΕΙΕΣ ΤΟΥ ΚΑΠΝΟΥ ΑΠΟ ΤΗΝ ΚΑΛΗΙΕΡΓΕΙΑ, ΕΠΕΞΕΡΓΑΣΙΑ... έως την κατανάλωση

Γεώργιος Ηλονίδης

Δ' Παθολογική Κλινική ΑΠΘ, Νοσοκομείο «Ιπποκράτειο», Θεσσαλονίκη

Το έναυσμα για τη συγγραφή αυτού του άρθρου δόθηκε από την ενδιαφέρουσα εργασία των Χλωρού και συν.<sup>1</sup> που δημοσιεύεται στο παρόν τεύχος.

Στις αρχές του 16<sup>ου</sup> αιώνα οι Agricola και Paracelsus διατυπώνουν τις πρώτες ιατρικές παρατηρήσεις για επαγγελματικά νοσήματα. Στις αρχές του 18<sup>ου</sup> αιώνα το 1713, ο Ramazzini<sup>2</sup> πρώτος περιγράφει τα επεισόδια δύσπνοιας σε εργαζομένους σε μύλους και το ίδιο χρονικό διάστημα έγραψε για νοσήματα σχετιζόμενα με τους εργαζομένους σε καπνό.

Η αλματώδης ανάπτυξη της βιομηχανίας και βιοτεχνίας είχε ως τίμημα την αύξηση των περιπτώσεων με αναπνευστικά προβλήματα, με πρώτη το βρογχικό άσθμα, που ονομάζεται επαγγελματικό άσθμα, που αμεσότατα συνδέθηκε με την επαγγελματική έκθεση του ατόμου σε συγκεκριμένες ουσίες. Ο αριθμός των καταγραφόμενων ουσιών που ευθύνονται για το επαγγελματικό άσθμα και γενικά οι εκδηλώσεις από το αναπνευστικό διαρκώς αυξάνονται ως τίμημα της βιομηχανικής και τεχνολογικής εξέλιξης.

Οι Ghosh και συν.<sup>3</sup> παρατήρησαν ότι σημαντικό ποσοστό των αγροτών που καλλιεργούν καπνό εμφανίζουν συμπτώματα που αποδίδονται στην απορρόφηση της νικοτίνης των πράσινων φύλλων του καπνού από το δέρμα “green symptoms” και αφορούν τη ναυτία, κεφαλαλγία, εμέτους, ζάλη, επιπεφυκίτιδα και ερεθισμό των χειλέων.

Η επαγγελματική έκθεση στον καπνό, όπως αυτή των καπνεργατών δεν σχετίζεται με την επαγγελματική νόσο των αγροτών που καλλιεργούν καπνό<sup>4</sup>. Η επαγγελματική έκθεση των καπνεργατών εκδηλώνεται με μια σειρά συμπτωμάτων που αφορούν το αναπνευστικό όπως ο βήχας,

ο συριγμός, η δύσπνοια, η καταρροή και αυτοτελή νοσήματα όπως το βρογχικό άσθμα, η χρόνια βρογχίτιδα, οινίτιδα, εξωγενή αλλεργική κυψελίτιδα, διάχυτη πνευμονική ίνωση<sup>4</sup>.

Η σκόνη καπνού μπορεί να περιέχει βακτηρίδια, ενδοτοξίνες, σπόρους μυκήτων, γύρεις, ακάρεα. Αυτή η σκόνη μπορεί να είναι αυτία αλλεργικών εκδηλώσεων από το ανώτερο και κατώτερο αναπνευστικό σύστημα, ενώ ο καπνός τσιγάρου σε ευαισθητοποιημένα άτομα έναντι χημικών ουσιών αυξάνει σημαντικά την πιθανότητα επαγγελματικού άσθματος<sup>5,6</sup>. Οι Vali και Beri<sup>7</sup> επισημαίνουν ότι η συχνότητα εμφάνισης και η βαρύτητα των συμπτωμάτων σχετίζονται άμεσα με το περιβάλλον εργασίας και ειδικότερα με την επάρκεια συστημάτων εξαερισμού, την υγρασία του χώρου και κυρίως με τη συγκέντρωση σωματιδίων της σκόνης που απομένει ως υπόλειμμα της επεξεργασίας των ξηρών φύλλων καπνού.

Εντυπωσιακά είναι τα αποτελέσματα των Lander και Gravesen<sup>8</sup> που βρήκαν ότι το 69% των εργαζομένων σε καπνό παρουσίασαν συμπτωματολογία επαγγελματικού άσθματος και χρόνιας βρογχίτιδας. Σε αυτή τη μελέτη διαπιστώθηκε ότι σε εβδομαδιαία παρακολούθηση οι ημερήσιες μεταβολές της PEFR (μεγίστης εκπνευστικής ροής) ήταν 14,3% στους εργάτες, ενώ στην ομάδα μαρτύρων το ποσοστό των διακυμάνσεων ήταν 9,8%. Επίσης, στην ίδια μελέτη διαπιστώθηκε σημαντική πτώση της FVC (δυναμική ζωτική χωρητικότητα), όπως του FEV<sub>1</sub> (δυναμικός εκπνευστικός όγκος αέρα στο πρώτο δευτερόλεπτο).

Οι Veige και συν.<sup>9</sup> διαπίστωσαν εκδηλώσεις από το ανώτερο αναπνευστικό σύστημα, όπως η οινίτιδα και το κατώτερο αναπνευστικό σύστημα,

όπως αυτές της συρίττουσας αναπνοής και δύσπνοιας και σε εργαζομένους με την παρασκευή τσιγάρων και πούρων μη σχετιζόμενες με την επεξεργασία φύλλων καπνού.

Οι Mukhatar και συν.<sup>10</sup> διαπίστωσαν σε καπνεργάτες βλάβη των μικρών αεραγωγών που αποδόθηκε στη σκόνη καπνού. Οι διαταραχές της αναπνευστικής λειτουργίας δεν συσχετίσθηκαν με τη διάρκεια έκθεσης στα φύλλα καπνού.

Οι Mustajbegovic και συν.<sup>4</sup> διαπίστωσαν σημαντική επικράτηση των χρόνιων αναπνευστικών συμπτωμάτων στους καπνεργάτες. Το 6,2% παρουσίασε επαγγελματικό άσθμα. Οι τιμές του FEV<sub>1</sub> και της FEF<sub>50</sub> και FEF<sub>25</sub> (δυναμική εκπνευστική ροή) μεταξύ 25-50%, της FVC ήταν σημαντικά μικρότερες των προβλεπόμενων τιμών. Τα ευρήματα δείχνουν τη σαφή επίδραση της σκόνης καπνού στους μικρούς αεραγωγούς.

Τα ευρήματα των Xlwarouύ και συν.<sup>1</sup> διαφέρουν από αυτά των αναφερθέντων ερευνητών. Είναι αξιοπαρατήρητο και εκφράζει περισσότερο την πραγματικότητα η εργασία αυτή, για το βασικό λόγο του μεγάλου αριθμού των περιπτώσεων που μελετήθηκαν. Η συχνότητα της χρόνιας βρογχίτιδας όπως και αυτή της αποφρακτικής πνευμονοπάθειας ήταν μεγαλύτερη στην ομάδα μαρτύρων, προφανώς λόγω της σαφούς υπεροχής των καπνιστών στην ομάδα αυτή. Οι τιμές FEF 25-75% λίγο απείχαν από τις προβλεπόμενες τιμές. Η ανεύρεση των διαταραχών στους μικρούς αεραγωγούς έχει επισημανθεί και από τους Mokhart και συν.<sup>10</sup>.

Εκείνο που κάνει εντύπωση από την εργασία των Xlwarouύ και συν.<sup>1</sup> είναι η αυξημένη συχνότητα ρινίτιδας (27,3%). Φαίνεται από δεδομένα της σύγχρονης βιβλιογραφίας, ότι είναι το μεγαλύτερο ποσοστό ρινίτιδας σε εργαζομένους σε παρόμοιους χώρους. Αυτό μπορεί να αποδοθεί στην αυξημένη πυκνότητα της αιωρούμενης σκόνης στο χώρο εργασίας που είναι η αιτία του υψηλού ποσοστού ρινίτιδας. Πρόγματι καμία από τις δημιουργείσες εργασίες δεν παρουσιάζει τόσο σημαντικές ποσότητες αιωρούμενης σκόνης στον χώρο εργασίας. Ίσως αυτό να αποτελεί βάσιμο λόγο για την αυξημένη συχνότητα της ρινίτιδας και πιθανό να αποδίδεται σε χημικό ερεθισμό.

Από την ανασκόπηση της βιβλιογραφίας διαφαίνεται ότι οι επιπτώσεις στους εργαζομένους στην παρασκευή τσιγάρων και πούρων δεν έχει σοβαρές συνέπειες στην υγεία.

Είναι όμως ηθική υποχρέωση δίχως υποκρισία αλλά και υπερβολές να επισημανθούν επιλε-

κτικά μέρος των συνεπειών της χρήσης καπνού. Οι θάνατοι οι οφειλόμενοι στο κάπνισμα είναι περισσότεροι από το άθροισμα των θανάτων από τα πυροβόλα όπλα, τα ναρκωτικά, τις αυτοκτονίες, το AIDS και τα αυτοκινητιστικά ατυχήματα<sup>11,12</sup>. Το 90% των καρκίνων του πνεύμονα οφείλονται στη χρήση καπνού.

Οι ετήσιοι θάνατοι στις ΗΠΑ ανέρχονται σε 410.000 ενώ στην Ε.Ε. στις 500.000 και σχεδόν στα 2.000.000 στις αναπτυσσόμενες χώρες. Οι καπνοβιομηχανίες μιλούν για θέσεις εργασίας και ελευθερίες του ατόμου. Στις δημοκρατίες όμως η άσκηση ενός δικαιώματος όπως το κάπνισμα εμπεριέχει και μια ευθύνη, η ανάληψη της οποίας προϋποθέτει την πληροφόρηση<sup>12</sup>. Συνεπώς είναι αδήριτη ανάγκη του κάθε χρήστη καπνού να γνωρίζει τις συνέπειες της συνήθειάς του ώστε να μπορεί να αναλάβει συνειδητά την ευθύνη της συνέχισης της<sup>12</sup>.

Η εργασία των Xlwarouύ και συν.<sup>1</sup> είναι μια παράσταση ενός έργου, όπου δεν καταγράφονται σοβαρές συνέπειες στην υγεία των εργαζομένων στην επεξεργασία φύλλων καπνού. Η άλλη όψη όμως δηλαδή η κατανάλωση προϊόντων καπνού εκφράζει ανάγλυφα μια ζοφερή πραγματικότητα της χρήσης του καπνού που διαχρονικά προκαλεί μη αναστρέψιμες βλάβες της υγείας και είναι μια συνεχής απειλή της ζωής των πολιτών.

## ABSTRACT

*Ilonidis G. Health consequence from cultivation, processing... use of tobacco products. Hell Iatr 2004, 70: 80-82.*

## ΒΙΒΛΙΟΓΡΑΦΙΑ

1. Xlwaros Δ, Σιγλετίδης Λ, Κυριαζής Γ, Βλαχογιάννη Ε, Τσιότοιος Ι, Κακούρα Μ. Επιπτώσεις στο αναπνευστικό σύστημα από την επεξεργασία ξηρών φύλλων καπνού. Ελληνική Ιατρική 2004, 70, 1.
2. Ramazzini B. Disease of workers. New York: NY Ilafner Publishing Company, 1964: 14-51.
3. Ghosh SK, Saiyed HN, Gokani VN, et al. Occupational health problems among workers handling Virginia tobacco. Int Arch Occup Environ Health 1986, 58: 47-52.
4. Mustajbegovic J, Zuskin E, Schachter N, Kern J, et al. Respiratory findings in Tobacco Workers. Chest 2003, 123;5: 1740-48.
5. Blair A, Bemey BW, Heid MF, et al. Causes of death among workers in the tobacco industry. Arch Environ Health 1983, 38: 223-28.
6. Frew JA. Advances in environmental and occupational disease 2003. J Allergy Clin Immunol 2004, 113: 1161-66.
7. Valic F, Beritic D, Butkovic D. Respiratory response to

- tobacco dust exposure. Am Rev Respir Dis 1976, 113: 751-55.
8. Lander F, Gravesen S. Respiratory disorders among tobacco workers. Br J Ind Med 1988, 45: 500-2.
9. Viegi G, Paggiaro PL, Begliomini E, et al. Respiratory effects of occupational exposure to tobacco dust. Br J Ind Med 1986, 43: 802-8.
10. Mukhtar MSR, Rao EMM, Gamra NS, et al. Respiratory effects of occupational exposure to tobacco dust. Respiration 1991, 58: 271-76.
11. Rivara FP, Ebel BE, Garrison MM, Christakis DA, et al. Prevention of smoking-related deaths in the United States. Am J Prev Med 2004, 27,2: 118-25.
12. Ρούσσος Χ. Κάπνισμα: Η μεγάλη επιδημία (Η πολιτική και ηθική ευθύνη των γιατρών). Πνεύμων 2000, 1: 1323-35.

*Αλληλογραφία:*

G. Ηλονίδης

Δ' Παθολογική Κλινική ΑΠΘ

Νοσοκομείο Ιπποκράτειο

Αλ. Παπαναστασίου, 50

544 54 Θεσσαλονίκη

*Corresponding author:*

G. Ilonidis

D' Department of Medicine

Aristotle University

Hippokratio Hospital

50, Al. Papanastasiou Str.

544 54 Thessaloniki

Greece

## Αντιβιοτικάντοχα βακτήρια και δημόσια υγεία

Παύλος Κοίδης

Κτηνιατρική Σχολή ΑΠΘ, Θεσσαλονίκη

Στο τεύχος 70, 1, 2004 της Ελληνικής Ιατρικής περιλαμβάνεται και η ερευνητική εργασία με τίτλο “Απομόνωση στελεχών Escherichia coli O157:H7 από τρόφιμα ζωικής προέλευσης και παραγωγικά ζώα”. Η προαναφερόμενη εργασία είναι πολύ καλά δομημένη, με σωστή μεθοδολογία και πρόφατη βιβλιογραφία. Επίσης τα αποτελέσματά της θεωρούνται πολύ ενδιαφέροντα διότι για πρώτη φορά ανιχνεύθηκε σε τρόφιμα ζωικής προέλευσης η *Escherichia coli* O157:H7 που θεωρείται από άποψη δημόσιας υγείας ως ένα από τα σπουδαιότερα τροφιμογενή παθογόνα βακτήρια για τον άνθρωπο.

Παίρνοντας αφορμή από την εργασία θεώρησα σκόπιμο να αναφερθώ σε ένα σοβαρό πρόβλημα δημόσιας υγείας που έχει σχέση με την αντιβιοτικοαντοχή που αναπτύσσουν πολλά τροφιμογενή παθογόνα βακτήρια απέναντι στις διάφορες αντιμικροβιακές ουσίες που χρησιμοποιούνται σήμερα στην κλινική πράξη. Αυτό σημαίνει πρακτικά ότι πολλά αντιβιοτικά δεν μπορούν να θεραπεύσουν την υγεία των ανθρώπων και των ζώων.

Είναι γνωστό ότι η αντοχή στα αντιβιοτικά που επιδεικνύουν τα παθογόνα βακτήρια του ανθρώπου, αποδίδεται κυρίως στην αλόγιστη χρήση των αντιβιοτικών στην ιατρική, ωστόσο υποστηρίζεται η άποψη ότι και η χρήση των αντιβιοτικών στην κτηνιατρική συμβάλλει στο πρόβλημα για πολλά παθογόνα βακτήρια<sup>1,2</sup>.

Η εισαγωγή των αντιβιοτικών στην κτηνιατρική πράξη συνέβαλλε σημαντικά στην βελτίωση της υγείας και της παραγωγικότητας των ζώων τις τελευταίες δεκαετίες. Παρά την εντατική και μερικές φορές μη σωστή χρήση τους, τα αντιβιοτικά εξακολουθούν να παραμένουν αποτελεσματικά ενάντια στους περισσότερους λοιμωγόνους παράγοντες. Ωστόσο η απώλεια της δραστικότητάς τους

εξαιτίας της ανάπτυξης της αντιβιοτικοαντοχής γίνεται όλο και πιο συχνή. Είναι σαφές ότι παθογόνα βακτήρια του ανθρώπου και των ζώων εμφανίζονται όλο και πιο ανθεκτικά σε αντιβιοτικά της πρώτης γραμμής συμπεριλαμβανομένων των ευρέως φάσματος κεφαλοσπορινών, αμινογλυκοσιδών και φλουριδοκινολονών<sup>3,4</sup>.

Η χρήση και η κατάχρηση των αντιβιοτικών σε ιατρική και κτηνιατρική οδήγησε στην αυξημένη συγκέντρωσή τους στο φυσικό περιβάλλον. Αυτό διευκόλυνε την ανάπτυξη ανθεκτικότητας τόσο στα παθογόνα όσο και στα μη παθογόνα βακτήρια. Η αυξημένη παρουσία ανθεκτικών μικροβίων στο περιβάλλον (ρέοντα απόβλητα, υπόνομοι, χώμα) συνιστά μια τεράστια πηγή ανθεκτικών μικροβίων, από όπου η ανθεκτικότητα μπορεί να μεταφερθεί σε ανθρώπους και ζώα<sup>5-9</sup>.

Η ανάπτυξη παθογόνων ανθεκτικών στα αντιβιοτικά βακτηρίων στα ζώα αποτελεί κίνδυνο όχι μόνο για την υγεία των ζώων, αλλά επηρεάζει και τη δημόσια υγεία, όταν αυτά μεταφέρονται στον άνθρωπο ως σιτισμείς μιλυσματικού παράγοντες<sup>3,10,11</sup>.

Τα περισσότερα επιστημονικά δεδομένα τα τελευταία 10 χρόνια, υποστηρίζουν την άποψη ότι ο άνθρωπος μολύνεται με τα αντιβιοτικοάντοχα στελέχη των παθογόνων βακτηρίων των ζώων με την κατανάλωση μιλυσμένων ζωικών τροφίμων και από το περιβάλλον. Τα ζωικά τρόφιμα μολύνονται με αντιβιοτικοάντοχα βακτήρια, παθογόνα ή μη, κατά τη διαδικασία προετοιμασίας του σφαγίου (κατά τον εκσπλαχνισμό) ή αργότερα κατά τη διαδικασία της προετοιμασίας του. Ωστόσο πρέπει να αναφερθεί ότι υπάρχουν δεδομένα που υποστηρίζουν ότι πηγή αντιβιοτικοανθεκτικών βακτηρίων στη φάρμα μπορεί να είναι ο ίδιος ο άνθρωπος ή και άλλα ζώα ακόμη και πτηνά που με

τα απόβλητά τους μολύνουν το περιβάλλον και ότι η παρουσία ανθεκτικών βακτηρίων στα ζώα είναι ανεξάρτητη της θεραπείας με αντιβιοτικά. Επομένως τρόφιμα μολυσμένα με αντιβιοτικοάντοχα βακτήρια μπορεί να προέρχονται από ζώα στα οποία δεν χορηγήθηκαν αντιβιοτικά. Τέλος επιδημιολογικές μελέτες αποδεικνύουν τη μόλυνση του ανθρώπου μετά από επαφή με ζώα συντροφιάς στα οποία χορηγήθηκαν αντιβιοτικά για θεραπευτικούς λόγους<sup>2,6,9,12-14</sup>.

Η κατανάλωση μολυσμένων τροφίμων οδηγεί σε μόλυνση του ανθρώπου με βακτήρια παθογόνα και ανθεκτικά σε ένα ή περισσότερα αντιοβιτικά που θα μπορούσαν να χρησιμοποιηθούν για τη θεραπεία του. Μερικά σημαντικά τροφομογενή παθογονεί βακτήρια, είναι κάποια που ανήκουν στα γένη *Salmonella*, *Campylobacter*, καθώς και η εντεροτοξικόγονος *Escherichia coli*. Αυτά όλα είναι βακτήρια ικανά να προκαλέσουν σοβαρές λοιμώξεις<sup>4,15-17</sup>.

Το πρόβλημα της αντιβιοτικοανθεκτικότητας είναι διεθνές. Η επιστημονική κοινότητα έχει την υποχρέωση να επαγρυπνεί. Η Αμερικανική Εταιρεία Μικροβιολογίας από την πλευρά της αποτρέπει αντιμικροβιακές ουσίες που χρησιμοποιούνται θεραπευτικά στον άνθρωπο, να χορηγούνται μη θεραπευτικά στα ζώα. Οι Phillips και συν.<sup>2</sup> υποστηρίζουν ότι οι προσπάθειες πρέπει να επικεντρωθούν στην αποτροπή μεταφοράς όλων των παθογόνων τροφιμογενών βακτηρίων ανεξαρτήτως αντιβιοτικοαντοχής με την εφαρμογή «σωστής υγιεινής πρακτικής» στη φάρμα, στο σφαγείο, στην επεξεργασία και διάθεση των τροφίμων και τέλος από τον καταναλωτή. Σε όλες σχεδόν τις χώρες της Ευρωπαϊκής Ένωσης από αρκετά χρόνια έχουν αναπτυχθεί δίκτυα ελέγχου για την αντιμετώπιση του προβλήματος.

Η νομιθεσία για την προστασία της δημόσιας Υγείας από πλευράς Κτηνιατρικής, προβλέπει:

- Υπεύθυνο κτηνίατρο της κτηνοτροφικής μονάδας του οποίου ένα από τα καθήκοντά του θα είναι και οι έλεγχοι των χρόνων αναμονής των φαρμάκων που χορηγούνται στα ζώα.
- Τήρηση βιβλίου νοσηλείας των ζώων στην εκτροφή.
- Υποχρεωτική συνταγογράφηση.

## ABSTRACT

**Koidis P.** Antibiotic resistant bacteria and public health. *Hell Iatr* 2004, 70: 83 - 84.

## ΒΙΒΛΙΟΓΡΑΦΙΑ

1. Casewell M, Friis C, Marco E, McMullin P, Phillips I. The European ban on growth-promoting antibiotics and emerging consequences for human and animal health. *J Antimicrob Chemother*, 2003, 52: 159-61.
2. Phillips I, Casewell M, Cox T, De Groot B, Friis C, Jones R, Nightingale C, Preston R, Waddell J. Does the use of antibiotics in food animals pose a risk to human health? A critical review of published data. *J Antimicrob Chemother* 2004, 53: 28-52.
3. McDermott PF, Zhao S, Wagner DD, Simjee S, Walker RD, White DG. The food safety perspective of antibiotic resistance. *Anim Biotechn* 2002, 13(1): 71-84.
4. Μεθενίτον Γ. Ανθεκτικότητα μικροβίων έναντι αντιμικροβιακών παραγόντων στον άνθρωπο από τη διατροφική αλισίδα. 3ο Παν. Συμπόσιο Υγιεινής και Τεχνολογίας τροφίμων. Αθήνα.
5. Alonso A, Sanchez P, Martinez JL. Environmental selection of antibiotic resistance genes. *Environ Microbiol* 2001, 3(1): 1.
6. Laxminarayan R. Antibiotic resistance: An emerging environmental health treat. Resources for the future, August-Issue Brief 2002: 9-19.
7. Lipsitch M, Singer RS, Levin BR. Antibiotics in agriculture: When is it time to close the barn door? *PNAS* 2002, 99(9): 5752-4.
8. Anonymous. FAO/OIE/WHO Expert Workshop on Non-Human Antimicrobial Usage and Antimicrobial Resistance: Scientific assessment. Geneve, 2003, 1-5.
9. Kümmerer K. Significance of antibiotics in the environment. *J Antimicrob Chemother* 2003, 52: 5-7.
10. Threlfall JE, Ward LR, Frost JA, Willshaw GA. The emergence and spread of antibiotic resistance in food-borne bacteria. *Int J Food Microbiol* 2000, 62: 1-5.
11. Van den Bogaard AE, Stobberingh EE. Epidemiology of resistance to antibiotics links between animals and humans. *Int J Food Microbiol* 2000, 14: 327-35.
12. Danielsen M. Antibiotic resistance in food. BIO forum Europe, (Mar), 2003.
13. Langsrud S, Sidhu MS, Heir E, Holck AL. Bacterial disinfectant resistance - a challenge for the food industry. *Int Biodeter & Biodegrad*, 2003, 51(4): 283-290.
14. Παπαδοπούλου Χ, Σακκάς Η, Γκεσούλη Ε, και συν. Ευαισθησία στα αντιβιοτικά στελεχών βακτηρίων και απομονώθηκαν από τρόφιμα ζωικής προέλευσης. 3ο Παν. Συμπόσιο Υγιεινής και Τεχνολογίας τροφίμων, Αθήνα 2004.
15. Levy SB. Factors impacting on the problem of antibiotic resistance. *J Antimicrob Chemother* 2002, 49: 25-30.
16. White DG, Zhao S, Simjee S, Wagner DD, McDermott PF. Antimicrobial resistance of foodborne pathogens. *Microb Infect* 2002, 4: 404-12.
17. Στέργης Β, Ιωσηφίδου Ε. Αντιβιοτικοαντοχή και ασφάλεια τροφίμων. Συμπόσιο Υγιεινής και Τεχνολογίας τροφίμων. Αθήνα 2004.